

Я.И. ГЕРАСИМОВ, А.Н. КРЕСТОВНИКОВ,
А.С.ШАХОВ

ХИМИЧЕСКАЯ
ТЕРМОДИНАМИКА
В ЦВЕТНОЙ
МЕТАЛЛУРГИИ

II

СЕМЬАУЧЕМСЛТ-4231

ХИМИЧЕСКАЯ ТЕРМОДИНАМИКА В ЦВЕТНОЙ МЕТАЛЛУРГИИ

том II

Термодинамика меди,
свинца, олова, серебра
и их важнейших соединений

СПРАВОЧНОЕ РУКОВОДСТВО



ГОСУДАРСТВЕННОЕ
НАУЧНО-ТЕХНИЧЕСКОЕ ИЗДАТЕЛЬСТВО
ЛИТЕРАТУРЫ ПО ЧЕРНОЙ И ЦВЕТНОЙ МЕТАЛЛУРГИИ
Москва 1961

В составлении II тома принимали участие:

по меди — ассистенты А. Г. ДУДАРЕВА и А. Л. ЛОМОВ,

по свинцу — ассистент Е. И. ФЕЙГИНА,

по олову — инженер И. А. ВЫГОДСКИЙ,

по серебру — аспиранты Ф. А. КУЗНЕЦОВ и В. И. ЛАВРЕНТЬЕВ

АННОТАЦИЯ

Во второй том «Термодинамики в цветной металлургии» включен справочный материал по термодинамическим свойствам меди, свинца, олова, серебра и их важнейших соединений.

Книга предназначена для широкого круга инженеров, научных работников и студентов старших курсов ВТУЗов.

ОТ АВТОРОВ

Во втором томе представлены справочные данные по термодинамическим свойствам меди, свинца, олова, серебра и их важнейших соединений:

В составлении второго тома принимали участие А. Г. Дударева и А. Л. Ломов (меди), Е. И. Фейгина (свинец), И. А. Выгодский (олово) и Ф. А. Кузнецов и В. И. Лаврентьев (серебро).

Замечания о недостатках книги и свои пожелания по содержанию или оформлению материала авторы просят направлять в издательство. Они будут учтены при дальнейшей работе над справочником.

Глава I

ТЕРМОДИНАМИЧЕСКИЕ СВОЙСТВА МЕДИ И ЕЕ ВАЖНЕЙШИХ СОЕДИНЕНИЙ

§ 1. МЕДЬ МЕТАЛЛИЧЕСКАЯ

Кристаллическая структура, плотность, температура плавления

Медь ($M = 63,54$) обладает кубической гранецентрированной решеткой. Тип структуры A1. Координационные числа: 12 и 6.

Параметр кристаллической решетки меди по Страуманиусу и Меллису [1] составляет $3,6075 \text{ \AA}$.

Плотность. Довольно существенное колебание опубликованных величин плотности твердой меди в значительной мере определяется наличием в ней газовых включений. Так, по данным Руера и Кушмана [2], плотность электролитической меди с $8,9181 \text{ g/cm}^3$ падает после нагрева ее на воздухе до $8,35 \text{ g/cm}^3$. Хонда и Шимицу [3] наблюдали снижение плотности меди при деформации до $8,88 \text{ g/cm}^3$ при первоначальном значении $8,92 \text{ g/cm}^3$, что весьма хорошо совпадает со значением плотности по рентгенографическим данным. Вычисленная из рентгенографических данных плотность твердой меди при 20° составляет $8,923 \text{ g/cm}^3$ [4].

Данные по жидкой меди, приводимые Славинским [5], следующие:

Температура, $^\circ\text{C}$. . .	1100	1125	1150	1175	1200	1250
Плотность, g/cm^3 . . .	8,3601	8,3492	8,3384	8,3276	8,3168	8,2952

Термическое расширение. Коэффициент линейного расширения меди для температур от 50 до 825° , вычисленный по формуле $\alpha = 15,89 \cdot 10^{-6} + 4,492 \cdot 10^{-9} t + 3,888 \cdot 10^{-12} t^2$, приведен в табл. I.

Для низких температур средние значения коэффициентов линейного расширения приведены в табл. 2.

Таблица 1
КОЭФФИЦИЕНТ
ЛИНЕЙНОГО РАСШИРЕНИЯ МЕДИ

Температура, °C	$\alpha \cdot 10^6$	Температура, °C	$\alpha \cdot 10^6$
49,6	16,12	553,2	19,56
133,6	16,56	610,5	20,08
213,1	17,03	654,3	20,49
278,2	17,44	715,9	21,10
328,3	17,78	771,2	21,66
404,7	18,35	825,7	22,55
472,2	18,88		

Средние значения коэффициента объемного расширения по Гмелину [6]:

Интервал температур, °C —253 до —185 —185 до —103 —103 до 0 0—101

Средний коэффициент β , 10^6 13,2 36,1 45,6 49,9

Температура плавления. Рядом исследований температура плавления чистой меди установлена равной 1083° С.

Давление насыщенного пара и температура кипения

Температурная зависимость давления насыщенного пара меди представлена в табл. 3.

По Ван-Лимпту [21] зависимость давления пара меди от температуры выражается следующими уравнениями: для твердой меди ($Q = 2740$ по Ричардсу; $K_2 = 2,02$)

$$\lg P_{am} = -\frac{24180}{T} + 9,64,$$

для жидкой меди ($Q = 10800$; $K = 42,12$; $T = 2565$)

$$\lg P_{am} = -\frac{23600}{T} + 9,20.$$

Таблица 2
СРЕДНИЕ ЗНАЧЕНИЯ КОЭФФИЦИЕНТОВ
ЛИНЕЙНОГО РАСШИРЕНИЯ МЕДИ
ПРИ ТЕМПЕРАТУРАХ НИЖЕ 0° С [6]

Пределы температур (ниже нуля) °C	$\alpha \cdot 10^6$	Пределы температур (ниже нуля) °C	$\alpha \cdot 10^6$
От 0 до 20	16,15	100—120	14,07
От 20 до 40	15,86	120—140	13,32
От 40 до 60	15,50	140—183	11,48
От 60 до 80	15,19	183—196	9,08
От 80 до 100	14,72		

По Хильдебранду [9]:

$$\lg P_{am} = -\frac{14600}{T} + 8,52,$$

$$\lg P_{am} = -\frac{14600}{T} + 5,64.$$

По Джонстону [18]:

$$\lg P_{am} = -\frac{16400}{T} + 9,14.$$

Таблица 3

ДАВЛЕНИЕ НАСЫЩЕННОГО ПАРА МЕДИ В ЗАВИСИМОСТИ
ОТ ТЕМПЕРАТУРЫ

Температура °C	Давление пара mm rt. ст.	Автор	Литературный источник
810	$5,4 \cdot 10^{-7}$	Шоффлд	[10]
1080	$1 \cdot 10^{-2}$	Ван Аркель*	[11]
1400	1,0	Майснер	[12, 13]
1520	1,0	Ван Аркель*	[11]
1628	1,0	Стелл и Синке	[7]
1640	10	Ормонт*	[14]
1795	2	Стелл и Синке	[7]
1879	10	Страуманис и Меллис	[1]
1970	20	Стелл и Синке	[7]
1980	100	Микрюков и Работнов	[15]
2067	40	Стелл и Синке	[7]
2127	60	Стелл и Синке	[7]
2200	385	Стелл и Синке	[7]
2207	100	Славинский	[5]
2215	300	Микрюков и Работнов	[15]
2245	404	Майснер	[12]
2258	556	Стелл и Синке	[7]
2310	760	Пауэлл	[16]
2325	200	Стелл и Синке	[7]
2360	760	Стелл и Синке	[7]
2465	400	Майснер	[17]
2595	760		
2837	760		

* Вычислено по формуле автора.

Миллар [19] составил уравнения для давления пара твердой и жидкой меди, используя данные о теплоемкости и энтропии; исходя из точки кипения 2583° К (по Гринвуду), он получил

для возгонки

$$\lg P = -0,811 \lg T - \frac{15210}{T} + 11,811,$$

для испарения

$$\lg P = -1,625 \lg T - \frac{15010}{T} + 14,241.$$

Приняв за исходную величину точку кипения 2470°K (по Вартенбергу), Миллар получил для испарения:

$$\lg P = 18,41 \lg T - 2,687 (\lg T)^2 - \frac{12900}{T} - 23,44.$$

Ввиду более точного определения величин, следует предпочтеть второе уравнение Миллара первому, хотя точка кипения по Вартенбергу отклоняется от опытных данных других авторов.

В табл. 4 приведены расчетные данные Джонса, Лангмюра и Маккэя [20].

Таблица 4
РАСЧЕТНЫЕ ЗНАЧЕНИЯ ДАВЛЕНИЯ ПАРА МЕДИ [20]

Температура, °К	Давление пара			Температура, °К	Давление пара		
	бары	атм	мм рт. ст.		бары	атм	мм рт. ст.
500	$5,71 \cdot 10^{-24}$	$5,70 \cdot 10^{-30}$	—	1400	$3,6 \cdot 10^{-1}$	$3,6 \cdot 10^{-7}$	—
600	$5,08 \cdot 10^{-18}$	$5,07 \cdot 10^{-24}$	—	1600	$1,2 \cdot 10^{+1}$	$1,2 \cdot 10^{-5}$	—
700	$8,81 \cdot 10^{-14}$	$8,80 \cdot 10^{-20}$	—	1800	$1,8 \cdot 10^{+2}$	$1,8 \cdot 10^{-4}$	—
800	$1,33 \cdot 10^{-10}$	$1,32 \cdot 10^{-16}$	—	2000	$1,4 \cdot 10^{+3}$	$1,4 \cdot 10^{-3}$	—
900	$3,13 \cdot 10^{-8}$	$3,12 \cdot 10^{-14}$	—	2200	$7,9 \cdot 10^{+3}$	$7,9 \cdot 10^{-3}$	6,0
1000	$3,59 \cdot 10^{-6}$	$3,53 \cdot 10^{-12}$	—	2400	$3,2 \cdot 10^{+4}$	$3,2 \cdot 10^{-2}$	24,3
1100	$1,44 \cdot 10^{-4}$	$1,43 \cdot 10^{-10}$	—	2600	$1,1 \cdot 10^{+5}$	$1,1 \cdot 10^{-1}$	83,6
1200	$3,10 \cdot 10^{-3}$	$3,09 \cdot 10^{-9}$	—	2800	$2,9 \cdot 10^{+5}$	$2,9 \cdot 10^{-1}$	220,4
1300	$4,08 \cdot 10^{-2}$	$4,07 \cdot 10^{-8}$	—	3000	$6,8 \cdot 10^{+5}$	$6,8 \cdot 10^{-1}$	516,9
				3200	$1,0 \cdot 10^{+6}$	1,0	—

Для metallurgических расчетов авторы настоящего справочника рекомендуют пользоваться уравнениями Кубашевского и Эванса [22]:

для твердой меди (в интервале $298^\circ\text{K} - T_{\text{пл}}$)

$$\lg P_{\text{м.м.}} = -17870 \cdot T^{-1} - 0,236 \lg T - 0,16 \cdot 10^{-3} T + 10,63,$$

для жидкой меди (в интервале $T_{\text{пл}} - T_{\text{кип}}$)

$$\lg P_{\text{ж.м.}} = -17650 T^{-1} - 1,273 \lg T + 13,39.$$

Температура кипения. Данные различных исследователей, определивших температуру кипения меди при атмосферном давлении, сильно расходятся между собой ($2292 - 2855^\circ$). По Стеллу [25] медь кипит при 2595° , по Стеллу и Синке [7] — при 2855°K .

Теплоемкость, теплоты плавления и испарения

Теплоемкость твердой меди. Значения истинной и средней теплоемкостей меди по данным различных авторов приведены в табл. 5, 6 и 7.

Кок и Кезом [69] исследовали теплоемкость меди при температурах от $1,2$ до 20° ; было найдено, что теплоемкость меди можно представить в виде уравнения

$$C_p = D \left(\frac{335}{T} + 1,777 \cdot 10^{-4} T \right).$$

Используя теплоемкость меди при $273,1^\circ$ ($5,84 \text{ кал/г-атом·град}$) и теплосодержание при $1073,1^\circ$ (5140 кал), Бронсон, Чишолм и Докерти [42] предложили уравнение

$$C_p = 5,44 + 1,462 \cdot 10^{-3} T (1\%, 273 - 1357^\circ).$$

Это уравнение можно рекомендовать для metallurgических расчетов.

Теплоемкость жидкой меди. На основании критической оценки данных Умино [70], а также Вюста, Мейтена и Дюррера [72], Келли [71] рекомендует теплоемкость меди в расплавленном состоянии принять равной $7,50 \text{ кал/г-атом}$ (вне зависимости от температуры).

Теплоемкость газообразной меди. Келли [73] рассчитал теплоемкость газообразной одноатомной меди и нашел следующую зависимость:

$$\begin{array}{llllllllll} \text{Температура, } ^\circ\text{К} & \dots & 1500 & 2000 & 2500 & 3000 & 3500 & 4000 & 4500 & 5000 \\ C_p, \text{ кал/г-атом·град} & \dots & 4,895 & 5,120 & 5,477 & 6,025 & 6,632 & 7,169 & 7,561 & 7,795 \end{array}$$

Для термодинамических расчетов в интервале от 273 до 2000°K рекомендуется среднее значение (погрешность 1%):

$$C_p = 5,00.$$

Таблица 5

Истинная теплоемкость меди

Температура °C	Теплоемкость		Автор	Литератур- ный источник
	удельная кал/г·град	атомная кал/г· атом·град		
-258,6	0,0006	0,0396		
-257,5	0,0008	0,0506		
-255,9	0,0011	0,0687		
-252,4	0,0019	0,1217		
-249,6	0,0035	0,223	Кезом и Оннес	[44]
-249,6	0,0035	0,223	Нернст и Линдеманн	[45]
-245,4	0,0051	0,324	Гриффитс	[29]
-243,4	0,0059	0,377	Нернст и Линдеманн	[45]
-239,7	0,0085	0,538	Кезом и Оннес	[44]
-223	0,0208	1,32	Нернст и Линдеманн	[45]
-223,1	0,0226	1,434	Гриффитс	[29]
-203	0,0407	2,59	Кезом и Оннес	[44]
-186	0,0524	3,33	Нернст и Линдеманн	[45]
-186	0,0588	3,75	Бен	[46]
-184	0,0541	3,44	Кезом и Оннес	[44]
-183	0,0547	3,48	Гриффитс	[29]
-136	0,0719	4,57	Нернст и Линдеманн	[45]
-79	0,0822	5,24	Бен	[46]
-39	0,0879	5,59	Нернст и Линдеманн	[45]
-23	0,0897	5,70	Гриффитс	[29]
0	0,0939	5,98	Ричардс	[47]
0	0,0907	5,78	Бен	[46]
15	0,09339	5,95	Бартоли Стракачиати	[48]
17	0,0911	5,79	Нернст и Линдеманн	[45]
17	0,0924	5,87	Наккари	[41]
18	0,0916	5,84	Бен	[46]
19	0,0940	6,00	Колоссовский	[49]
20	0,0915	5,82	Харпер	[35, 50]
20	0,0952	6,07	Дуринкель и Вернер	[38]
28	0,0923	5,87	Гриффитс	[29, 40]
50	0,0927	5,89	Харпер	[35, 50]
67	0,0939	5,97	Гриффитс	[29, 40]
97	0,0952	6,05		
100	0,0941	6,00	Дуринкель и Вернер	[38]
100	0,0947	6,04	Клинкхардт	[51]
100	0,0970	6,18	Умино	[52]
177	0,0958	6,09	Нернст и Линдеманн	[53]
200	0,0978	6,23	Клинкхардт	[51]
200	0,0998	6,36	Умино	[52]
298	—	5,85	Стелл и Синке	[7]
300	0,1004	6,40	Клинкхардт	[51]
300	0,0985	6,26	Наккари	[41]
300	—	5,85	Стелл и Синке	[7]
300	0,1034	6,59	Умино	[52]

Продолжение табл. 5

Температура °C	Теплоемкость		Автор	Литератур- ный источник
	удельная кал/г·град	атомная кал/г· атом·град		
300	0,1008	—	Туровский и Бартенев	[54]
400	—	6,01	Стелл и Синке	[7]
400	0,1020	6,50	Дуринкель и Вернер	[38]
400	0,1028	5,55	Клинкхардт	[51]
400	0,1063	6,78	Умино	[52]
400	0,1038	—	Туровский и Бартенев	[54]
500	—	6,16	Стелл и Синке	[7]
500	0,1050	6,70	Клинкхардт	[51]
500	0,1124	7,17	Умино	[52]
500	0,1070	—	Туровский и Бартенев	[54]
600	—	6,31	Стелл и Синке	[7]
600	0,1073	6,83	Клинкхардт	[51]
600	0,1134	7,21	Умино	[52]
600	0,1090	—	Туровский и Бартенев	[54]
700	—	6,46	Стелл и Синке	[7]
700	0,1076	6,99	Клинкхардт	[51]
700	0,1170	7,47	Умино	[52]
700	0,1108	—	Туровский и Бартенев	[54]
800	—	6,61	Стелл и Синке	[7]
800	0,1120	7,14	Клинкхардт	[51]
800	0,1125	7,17	Дуринкель и Вернер	[38]
800	0,1213	7,73	Умино	[52]
800	0,1126	—	Туровский и Бартенев	[54]
900	—	6,76	Стелл и Синке	[7]
900	0,1259	8,00	Ричардс	[47]
900	0,1250	7,97	Умино	[52]
900	0,1150	—	Туровский и Бартенев	[54]
1000	0,1185	—	Стелл и Синке	[7]
1000	—	6,91	Умино	[52]
1025	0,1336	8,52	Туровский и Бартенев	[54]
1100	—	7,06	Стелл и Синке	[7]
1200	—	7,21	Умино	[52]
1250	0,122	7,78	Стелл и Синке	[7]
1300	—	7,36	Умино	[52]
1350	0,122	7,78	Туровский и Бартенев	[54]
1450	0,122	7,78	Стелл и Синке	[7]

При более высоких температурах (2000—5000° К) пренебречь электронной составляющей теплоемкости невозможно, приходится рекомендовать линейное уравнение [74] (погрешность 2%):

$$C_p = 3,16 + 0,97 \cdot 10^{-3} T.$$

Стелл и Синке [7] приводят теплоемкость меди в состоянии идеальногоmonoатомного газа, теплоемкость увеличивается с 4,97 при 298° К до 6,01 кал/г·атом·град при 3000° К.

СРЕДНЯЯ ТЕПЛОЕМКОСТЬ МЕДИ

Таблица 6

Пределы температур °C	Теплоемкость		Автор	Литературный источник
	удельная кал/г·град	атомная кал/г·атом·град		
От -253 до -196	0,0245	1,56	Девар	[55]
От -189,8 до -83,1	0,0720	4,57	Кореф	[56]
От -186 до -79	0,0716	4,5	Бен	[57]
От -188 до 20	0,0789	5,01	Ричардс и Джексон	[58]
От -192 до 20	0,0798	5,07	Шмитц	[59]
От -79 до 18	0,0883	5,6	Бен	[57]
0-100	0,09272	5,91	Кальбаум, Рот и Зидлер	[60]
0-100	0,09332	5,95	Томлинсон	[61]
15-98	0,09515	6,06	Реньо	[62]
15-100	0,09331	5,95	Беде	[63]
15-100	0,09232	5,88	Тилден	[64, 65]
18-100	0,0928	5,9	Шюбель	[43]
17-100	0,0936	5,97	Бен	[57]
20-100	0,0936	5,97	Шмитц	[59]
23-100	0,09471	6,04	Ватерманн	[66]
15-238	0,0951	6,05	Магнус	[34]
17-247	0,0968	6,17	Беде	[63]
18-300	0,0954	6,06	Шюбель	[43]
15-338	0,0957	6,09	Магнус	[34]
0-360	0,104	6,6	Ле Веррер	[67]
26-948	0,1106	7,03	Глазер	[68]
26-1084	0,1556	9,89		
580-780	0,09	5,7	Ле Веррер	[67]
780-1000	0,118	7,5		

Таблица 7

СРЕДНЯЯ ТЕПЛОЕМКОСТЬ МЕДИ [52]

Пределы температур °C	Средняя теплоемкость		Пределы температур °C	Средняя теплоемкость	
	удельная кал/г·град	атомная кал/г·атом·град		удельная кал/г·град	атомная кал/г·атом·град
20-100	0,0931	5,92	20-1000	0,1105	7,02
20-200	0,0950	6,04	20-1050	0,1105	7,02
20-300	0,0975	6,19	20-1100	0,1580	10,04
20-400	0,0992	6,31	20-1150	0,1565	9,95
20-500	0,1010	6,42	20-1200	0,1552	9,87
20-600	0,1036	6,58	20-1250	0,1535	9,76
20-700	0,1055	6,71	20-1300	0,1526	9,70
20-800	1,1069	6,79	20-1400	0,1502	9,55
20-900	0,1090	6,93	20-1500	0,1482	9,43

Теплота плавления меди. Данные различных авторов приведены в табл. 8.

ТЕПЛОТА ПЛАВЛЕНИЯ МЕДИ

Таблица 8

Теплота плавления		Год	Автор	Литературный источник
атомная кал/г·атом	удельная кал/г			
2650	41,6	1904	Глазер	[68]
3240	51,0	1918	Вюст, Мейтен, Дюррер	[72]
3210	50,5	1927	Умино	[70]
3240	51,0	1950	Кубашевский, Брицке, Хухлеро, Иох, Рейнарти	[79]
3110±200	—	1936	Келли	[80]
3120	—	1956	Стелл и Синке	[7]
3120	—	1954	Коулун	[8]

Величины (в кал/г·атом), рекомендуемые Ландольт-Бернштейном [75] — 3240, Фихте [76] — 3110, Ланге [77] — 3110±200, Брицке и Капустинским и др. [74] — 3110, Кубашевским и Эвансом [22] — 3110±100. Авторы настоящего справочника считают возможным пользоваться величиной $L_{пл} = 3110$ кал/г·атом.

А. Н. Вольский [78] предлагает уравнение зависимости теплоты плавления меди от температуры:

$$L_{пл} = 400 + 2,86T - 1,18 \cdot 10^{-3} T^2 + 2,23 \cdot 10^{-7} T^3.$$

Теплота испарения меди. Теплоты испарения, вычисленные из давления насыщенного пара меди, см. в табл. 9.

ТЕПЛОТА ИСПАРЕНИЯ МЕДИ

Таблица 9

Темпера-тура °C	$L_{исп}$ кал/г·атом	$L_{исп}$ кал/г	Автор	Литера-турный источник
—	59 250	929		
25	66 480	1043	Рендалл и Скотт	[82]
25	82 000	—	Джонс, Лангмур, Маккэй	[20]
25	79 316	—	Келли	[83]
2595	72 814	—		
25	82 200	—	Эйкен	[23]
2557	73 600	—		
25	81 240±740	—	Маршалл, Дорнте, Нортон	[24]
—	72 800	—	Стелл и Синке	[7]

Кубашевский и Эванс [22] рекомендуют принимать в расчетах теплоту испарения меди 79300 ± 2500 кал/г·атом при 25°C и 72800 ± 2500 кал/г·атом при 2590°C . Авторы настоящего справочника рекомендуют использовать в расчетах величину $L_{исп} = 79316$ кал/г·атом, взятую у Келли (при 25°C).

Считая пар меди одноатомным газом ($C_p = 4,97$), принимая теплоемкость жидкой меди, равной 7,75, и используя опытные величины давления пара, Рендалл, Нильсен и Вест [81] нашли уравнения для ΔZ плавления, откуда

$$L_{\text{исп}} = 88500 - 2,78T,$$

т. е. при $25^\circ L_{\text{исп}} = 87672$, а при $1083^\circ L_{\text{исп}} = 84630$.

Таким же путем, но вычислив константу I в уравнении ΔZ из энтропии испарения, те же авторы получили

$$L_{\text{исп}} = 73040 - 2,78T,$$

т. е. при $25^\circ L_{\text{исп}} = 72211$, при $1083^\circ L_{\text{исп}} = 69170$.

Теплота возгонки меди. Пользуясь значениями давления насыщенного пара меди, Рендалл, Нильсен и Вест [81] подсчитали для возгонки меди

$$\Delta L_{298} = 90400 \text{ кал/г-атом.}$$

Кубашевский и Эванс [22] рекомендуют величины теплоты возгонки для меди: 79750 ± 1500 кал/г-атом при $T_{\text{пл}}$ и 81500 ± 2000 кал/г-атом при 25° .

Энталпия, энтропия, функции Φ'' , изобарные потенциалы фазовых превращений

Энталпия меди. Величины $H_T - H_0 = \int_0^T C_p dT$, основанные на опытной кривой теплоемкости твердой меди, были вычислены в работе Митинг (табл. 10).

ТАБЛИЦА 10
ЭНТАЛЬПИЯ ТВЕРДОЙ МЕДИ [84], кал/г-атом

Температура °К	Энталпия $H_T - H_0$	Температура °К	Энталпия $H_T - H_0$	Температура °К	Энталпия $H_T - H_0$
10	0,039	170	473	300	1191
20	0,590	180	524	320	1308
30	2,950	190	575	340	1426
50	20,2	200	628	360	1545
60	37,7	210	681	380	1664
70	61,1	220	736	400	1784
80	89,4	230	791	420	1904
90	122	240	847	440	2025
100	158	250	903	460	2147
110	198	260	960	480	2269
120	240	270	1018	500	2392
130	283	273,1	1056	520	2515
140	329	280	1075	540	2639
150	376	290	1133	560	2762
160	424	298,1	1199	580	2887
				600	3012

В табл. 11, 12 и 13 приведена энталпия меди по справочнику Брицке и др., а также по данным Стелла и Синке.

ТАБЛИЦА 11

ЭНТАЛЬПИЯ ТВЕРДОЙ МЕДИ
ПО СПРАВОЧНИКУ БРИЦКЕ, КАПУСТИНСКОГО И ДР. [74], кал/г-атом

Температура, °C	Энталпия		
	$H_T - H_0$	$H_T - H_{273}$	$H_T - H_{298}$
100	1647	591	448
200	2258	1202	1059
300	2886	1830	1687
400	3526	2470	2327
600	4836	3780	3637
800	6196	5140	4997
1000	7596	6540	6397

ТАБЛИЦА 12

ЭНТАЛЬПИЯ ТВЕРДОЙ МЕДИ [7], кал/г-атом

Температура °K	Энталпия $H_T^{\circ} - H_{298}^{\circ}$	Температура °K	Энталпия $H_T^{\circ} - H_{298}^{\circ}$	Температура °K	Энталпия $H_T^{\circ} - H_{298}^{\circ}$
298	0	600	1845	1000	4490
300	10	700	2480	1100	5190
400	600	800	3130	1200	5895
500	1215	900	3800	1300	6615

ТАБЛИЦА 13

ЭНТАЛЬПИЯ ЖИДКОЙ И ГАЗООБРАЗНОЙ МЕДИ [7], кал/г-атом

Температура °K	Энталпия $H_T^{\circ} - H_{298}^{\circ}$	Температура °K	Энталпия $H_T^{\circ} - H_{298}^{\circ}$	Температура °K	Энталпия $H_T^{\circ} - H_{298}^{\circ}$
Жидкая		Жидкая		Газообразная	
1400	10480	2200	16480	2900	94500
1500	11230	2300	17230	3000	95090
1600	11980	2400	17980		
1700	12730	2500	18730		
1800	13480	2600	19480		
1900	14230	2700	20230		
2000	14980	2800	20980		
2100	15730				

Энталпия меди в состоянии идеального моноатомного газа приведена в табл. 14.

Таблица 14
ЭНТАЛЬПИЯ МЕДИ В СОСТОЯНИИ ИДЕАЛЬНОГО МОНОАТОМНОГО ГАЗА [7]. кал/г-атом

Температура °К	Энталпия $H_T - H_{298}$	Температура °К	Энталпия $H_T - H_{298}$	Температура °К	Энталпия $H_T - H_{298}$
298	0	1200	4481	2200	9525
300	9	1300	4978	2300	10051
400	506	1400	5475	2400	10585
500	1003	1500	5973	2500	11127
600	1500	1600	6472	2600	11679
700	1996	1700	6973	2700	12241
800	2493	1800	7476	2800	12813
900	2990	1900	7981	2900	13396
1000	3487	2000	8491	3000	13991
1100	3384	2100	9005		

Энтропия меди. Согласно данным Майера и Андерсона [30], Мидса [31], Келли [80], а также Жокэ и Мидса [85], энтропия твердой меди при 25° С равна $7,97 \pm 0,05$ кал/г-атом·град. Эту цифру рекомендуют все справочники.

В табл. 15, 16 и 17 приведены данные об энтропии меди по Стеллу и Синке [7].

Таблица 15
ЭНТРОПИЯ ТВЕРДОЙ МЕДИ [7]. кал/г-атом·град

Температура °К	Энтропия S_T^0	Температура °К	Энтропия S_T^0	Температура °К	Энтропия S_T^0
298	7,97	600	12,22	1000	15,58
300	8,01	700	13,20	1100	16,25
400	9,70	800	14,07	1200	16,87
500	11,07	900	14,86	1300	17,44

Энтропия газообразной одноатомной меди подсчитывается по уравнению Закура с добавлением члена $R \ln 2$, учитывающего квантовый вес низшего энергетического состояния, которое практически является единственным состоянием атомов при 298°. В результате $S_{298} = 39,75 \pm 0,01$ кал/г-атом·град.

Эта величина и рекомендуется для пользования в расчетах.

Таблица 16
ЭНТРОПИЯ ЖИДКОЙ МЕДИ [7]. кал/г-атом·град

Температура °К	Энтропия S_T^0	Температура °К	Энтропия S_T^0	Температура °К	Энтропия S_T^0
1400	20,29	1900	22,58	2400	24,33
1500	20,81	2000	22,96	2500	24,64
1600	21,29	2100	23,33	2600	24,93
1700	21,74	2200	23,68	2700	25,21
1800	22,17	2300	24,01	2800	25,49

Таблица 17
ЭНТРОПИЯ МЕДИ В СОСТОЯНИИ ИДЕАЛЬНОГО МОНОАТОМНОГО ГАЗА [7].
кал/г-атом·град

Температура °К	Энтропия S_T^0	Температура °К	Энтропия S_T^0	Температура °К	Энтропия S_T^0
298	39,74	1200	46,66	2200	49,71
300	39,77	1300	47,06	2300	49,95
400	41,20	1400	47,43	2400	50,17
500	42,31	1500	47,77	2500	50,39
600	43,22	1600	48,09	2600	50,61
700	43,98	1700	48,40	2700	50,82
800	44,65	1800	48,68	2800	51,03
900	45,23	1900	48,96	2900	51,24
1000	45,75	2000	49,22	3000	51,44
1100	46,23	2100	49,47		

Рендалл, Нильсен и Вест [81] подсчитали для двухатомной газообразной меди приближенное значение $S_{298} = 58,88$ кал/г-атом·град.

Погрешность этой величины, вероятно, большая, но указать точно ее пределы не представляется возможным. Принимается округленное значение $S_{298} = 58,9$ кал/г-атом·град.

Для расчета энтропий меди при различных температурах можно использовать уравнения Келли [80] для теплоемкостей твердой, жидкой и газообразной меди, из которых получаем: $Cu_{(тв)}$:

$$S_T^0 = S_{298} + 12,5 \lg T + 1,46 \cdot 10^{-3} T - 31,435;$$

$Cu_{(ж)}$:

$$S_T^0 = S_{298} + 12,5 \lg T - 31,0 \text{ (до } 2000^\circ\text{K});$$

$Cu_{(г)}$:

$$S_T^0 = S_{298} + 7,25 \lg T + 0,97 \cdot 10^{-3} T - 18,179,$$

2 Я. И. Герасимов и др.

Энтропии плавления и испарения меди. Из теплоемкостей и теплоты плавления (по Умино) Рендалл, Нильсен и Вест [81] нашли:

$$\Delta S_{298} = 1,00 \text{ кал/г-атом·град.}$$

$$\Delta S_{1356} = 2,37 \text{ кал/г-атом·град.}$$

Россини и др. [86] для энтропии плавления меди рекомендуют величину, равную 2,29 кал/г-атом·град. Из энтропии твердой меди и газообразной найдена [83] стандартная величина энтропии испарения меди $\Delta S_{исп} = 29,594 \text{ кал/г-атом·град.}$

Из уравнения для теплоты испарения и изобарного потенциала испарения получаются следующие уравнения:

$$\Delta S_{исп} = 51,75 - 2,78 \ln T = 51,75 - 6,402 \lg T \quad (\text{I})$$

$$(\Delta S_{298} = 36,912, \Delta S_{1356} = 32,69);$$

$$\Delta S_{исп} = 45,435 - 2,78 \ln T = 45,435 - 6,402 \lg T \quad (\text{II})$$

$$(\Delta S_{298} = 29,595, \Delta S_{1356} = 20,378).$$

Уравнение (I) согласуется с опытными данными по давлению пара меди, уравнение (II) — с опытными данными Умино по теплоемкостям и теплотам плавления.

Россини и др. [86] для энтропии испарения меди рекомендуют величину 25,4 кал/г-атом·град при температуре 2582° С (2855° К).

Функции Φ'' для меди. По Стэллу и Синке [7] значения функций Φ'' даны в табл. 18 и 19.

Таблица 18

ФУНКЦИИ Φ'' ДЛЯ МЕДИ [7], кал/г-атом·град

Температура °К	Функция Φ''	Температура °К	Функция Φ''	Температура °К	Функция Φ''
298	7,97	1200	11,96	2200	16,19
300	7,98	1300	12,36	2300	16,52
400	8,20	1400	12,81	2400	16,84
500	8,64	1500	13,33	2500	17,15
600	9,15	1600	13,81	2600	17,44
700	9,66	1700	14,26	2700	17,72
800	10,16	1800	14,69	2800	18,00
900	10,64	1900	15,10	2900	18,66
1000	11,09	2000	15,47	3000	19,75
1100	11,54	2100	15,84		

Таблица 19
ФУНКЦИЯ Φ'' ДЛЯ МЕДИ В СОСТОЯНИИ ИДЕАЛЬНОГО МОНОАТОМНОГО ГАЗА
[7] кал/г-атом·град.

Температура, °К	Функция. Φ''	Температура, °К	Функция. Φ''	Температура, °К	Функция. Φ''
298	39,74	1200	42,93	2200	45,39
300	39,74	1300	43,24	2300	45,58
400	39,94	1400	43,52	2400	45,76
500	40,31	1500	43,79	2500	45,94
600	40,72	1600	44,05	2600	46,12
700	41,13	1700	44,30	2700	46,29
800	41,54	1800	44,53	2800	46,46
900	41,91	1900	44,76	2900	46,63
1000	42,28	2000	44,98	3000	46,78
1100	42,61	2100	45,19		

Изменение изобарного потенциала для фазовых превращений меди. Принимаем следующие уравнения теплоемкостей меди в различных фазовых состояниях:

$Cu_{(тв)}$:

$$C_P = 5,44 + 1,46 \cdot 10^{-3} T,$$

$Cu_{(ж)}$:

$$C_P = 7,5,$$

$Cu_{(г)}$:

$$C_P = 5,00 \text{ (интервал } 273\text{--}2000^\circ\text{K}),$$

$Cu_{(ж)}$:

$$C_P = 3,16 + 0,97 \cdot 10^{-3} T \text{ (интервал } 2000\text{--}5000^\circ\text{K}).$$

Для испарения жидкой меди

$Cu_{(ж)} = Cu_{(г)}; \Delta C_P = C_P(g) - C_P(j) = 5 - 7,5 = -2,5$ (изменение теплоемкости в интервале 273—2000° К).

Теплота испарения:

$$L_{исп} = L_{0,исп} + \int_0^T \Delta C_P dT = L_{0,исп} + \int_0^T (C_P(g) - C_P(j)) dt = \\ = L_{0,исп} + \int_0^T (-2,5) dT = L_{0,исп} - 2,5T.$$

Полагая по Келли [83] при 25° С теплоту испарения меди равной 79316 кал/г-атом, получаем:

$$L_{0,\text{исп}} = L_{\text{исп}} + 2,5T = 79316 + 2,5 \cdot 298,1 = 80061.$$

Исходя из уравнения (см. уравнение 54а на стр. 49 первого тома настоящего справочника):

$$\frac{d}{dT} \left(\frac{\Delta Z^\circ}{T} \right) = -\frac{\Delta H}{T^2} = -\frac{L_{\text{исп}}}{T^2},$$

получаем

$$\Delta Z_t^\circ = -T \int \frac{L_{\text{исп}}}{T^2} dT + IT.$$

Выше было найдено $L_{\text{исп}} = L_{0,\text{исп}} - 2,5 T$; следовательно,

$$\Delta Z_t^\circ = -T \int \frac{L_{0,\text{исп}} - 2,5 T}{T^2} dT = L_{0,\text{исп}} + 2,5T \ln T + IT.$$

Для нахождения константы интегрирования используем уравнение давления насыщенного пара жидкой меди.

Среднее значение константы I равно 41,41.

Таким образом, приходим к уравнению

$$\text{Cu (ж)} = \text{Cu (г)} \text{ (интервал } 273\text{--}2000^\circ\text{K)}$$

$$\Delta Z_t^\circ = 80061 + 2,5T \ln T - 41,41T,$$

откуда

$$\Delta Z_{298}^\circ = 71960 \text{ кал/г-атом и}$$

$$\Delta Z_{1356}^\circ = 48320 \text{ кал/г-атом.}$$

Для возгонки твердой меди в интервале 273—2000° К имеем

$$\begin{aligned} C_P(\text{г}) - C_P(\text{тв}) &= 5,00 - (5,44 + 1,46 \cdot 10^{-3} T) = \\ &= -0,44 - 1,46 \cdot 10^{-3} T. \end{aligned}$$

Теплота возгонки

$$\begin{aligned} L_{\text{возг}} &= L_{0,\text{возг}} + \int_0^T (-0,44 - 1,46 \cdot 10^{-3} T) dT = \\ &= L_{0,\text{возг}} - 0,44T - 0,73 \cdot 10^{-3} T^2. \end{aligned}$$

Подставляя значение $L_{\text{возг}} = 81500$ кал/г-атом при 298° К (по данным Келли), имеем

$$L_{0,\text{возг}} = 81696 \text{ кал/г-атом.}$$

Аналогично предыдущему расчету составляем уравнение для $\Delta Z_{\text{возг}}^0$:

$$\Delta Z_{T_{\text{возг}}}^0 = 81696 + 0,44T \ln T + 0,73 \cdot 10^{-3} T^2 + 11,79T.$$

Как разность уравнений для возгонки и испарения, получаем уравнение для плавления

$$\begin{aligned} \Delta Z_{\text{пл}}^0 &= \Delta Z_{\text{возг}}^0 - \Delta Z_{\text{исп}}^0 = 1634,7 - 2,14T \ln T + \\ &+ 0,73 \cdot 10^{-3} T^2 + 53,2T. \end{aligned}$$

Стелл и Синк [7] приводят в интервале температур от 298 до 2800° К теплоту возгонки и испарения меди, соответственно от 81100 до 72933 кал/г-атом, изобарный потенциал возгонки и испарения от 71628 до 1421 кал/г-атом и константу $\lg K_p$ от —55,506, до —0,110.

§ 2. ЗАКИСЬ МЕДИ Cu_2O

Кристаллическая структура, плотность, температура плавления

Закись меди (куприт, $M = 143,14$) обладает специфической линейно-тетраэдрической решеткой типа С3. Атомы О образуют кубическую объемноцентрированную решетку, атомы Cu—кубическую гранецентрированную. Каждый атом меди окружен 12 атомами Cu, находящимися друг от друга на расстоянии 3,02 Å [89]. Каждый атом O окружен четырьмя атомами Cu на расстоянии 1,841 Å и восемью атомами Cu на расстоянии 3,682 Å [90].

Постоянная решетки — 4,24 Å [91].

Плотность. Вычисленная из рентгенографических данных плотность Cu_2O составляет 6,14 г/см³ [92]. Известные в литературе данные по плотности Cu_2O характеризуются значительным разбросом (5,75—6,10 г/см³).

Температура плавления. По данным ряда работ можно установить температуру плавления Cu_2O , равной 1230° С. Россини и др. [86], ссылаясь на работы Труса [93], Келли [83], Рендалла, Нильсена и Веста [81], а также Вартенберга, Реуша и Сарана [94], рекомендуют температуру плавления 1229° С. Кубашевский и Эванс [22] дают значение температуры плавления Cu_2O , равное 1230° С.

Полиморфные превращения. Температура предполагаемого перехода прозрачного куприта (природного) в непрозрачный по Кубашевскому и Эвансу [22] равна 56° С.

Ауверс [95] сообщил о наблюдавшемся им превращении около 329° К, однако эти данные в настоящее время не получили подтверждений.

Давление диссоциации $2\text{Cu}_2\text{O} = 4\text{Cu} + \text{O}_2$

Фут и Смис [96] показали, что Cu_2O устойчива при $1025-1070^\circ\text{C}$; ниже этих температур Cu_2O окисляется до CuO ; окисление идет еще быстрее при 700°C , на что указал Вальден [97].

Непосредственные измерения диссоциации были сделаны Робертсом и Смитом [101]. Аллен и Хевит [102] определяли давление диссоциации Cu_2O по реакции окисления Cu парами воды. Данные Аллена и Хевита нужно признать наиболее достоверными.

Халла [103], основываясь на данных Ишикава и Кимура [100] по ΔZ и ΔH , Магнуса по теплоемкости для CuO и Истмена по теплоемкости для Cu, составил уравнение

$$\lg p_{\text{O}_2} = -\frac{17940}{T} - 0,242 \lg T - 0,000641T + 9,417.$$

В табл. 20 даны значения давления диссоциации Cu_2O , вычисленные по уравнению Халла, по уравнению Рендалла и Нильсена для изобарного потенциала, а также опытные данные Роберта и Смита, Аллена и Хевита и др.

Таблица 20

ДАВЛЕНИЕ ДИССОЦИАЦИИ Cu_2O

Температура, $^\circ\text{C}$	$\lg p$ (ам) по Халла [103]	p , мм рт. ст. по Рендаллу и Нильсену [81]	Опытные данные	
			p ат.	p , мм рт. ст.
25	-51,417	$4,408 \cdot 10^{-49}$	$3 \cdot 10^{-53}$ [99]	—
200	-29,43	—	$3 \cdot 10^{-52}$ [100]	—
250	-25,98	—	—	—
300	-23,02	—	—	—
400	-18,40	$1,06 \cdot 10^{-12}$	—	$7,56 \cdot 10^{-26}$ [98]
500	-14,98	—	—	—
600	-12,45	—	—	—
650	-11,33	—	—	—
700	-9,90	—	—	—
1064	-6,74	—	—	$0,00014$ [102]
1090	-6,31	—	—	$0,00037$ [102]
1119,2	0,0058	0,016	$0,04368$ [101]	$0,028$ [101]
1150	-5,72	—	—	$0,0014$ [102]
1150,4	0,0105	0,020	$0,0460$ [101]	$0,035$ [101]
1184,5	0,0195	0,056	$0,04540$ [101]	$0,045$ [101]
1250	-4,42	—	—	$0,03$ [102]
1350	-3,52	—	—	$0,23$ [102]

Давление диссоциации жидкой Cu_2O (в растворе с медью) измерено Слейдом и Фэрроу [104]. Суммарное давление пара над двухслойным раствором: при 1205°C — 4 мм, 1240°C — 10 мм, 1260°C — 12 мм и 1324°C — 25 мм рт. ст. Давление пара меди при этих температурах меньше 1 мм рт. ст. (по Гринвуду).

Теплоемкость, теплота плавления, теплота превращения, энталпия, энтропия и функции Φ' и Φ''

Теплоемкость. Теплоемкость Cu_2O измерялась Магнусом [105], Милларом [106], Рендаллем, Нильсеном и Вестом [81], Ауверсом [95], Велером и Иохумом [107], Келли [108, 109], Нейманом [110] и др.

По Кубашевскому и Эвансу [22] теплоемкость Cu_2O при 25°C равна 16,2 кал/моль·град. Россини и др. [86] дают для той же температуры $C_p = 16,7$ кал/моль·град.

По данным измерений Миллара (табл. 21) для теплоемкости низкотемпературной формы Cu_2O имеем уравнение $C_p = 9,86 + 16,6 \cdot 10^{-3} T$ (точность 1%, интервал $273-329^\circ\text{K}$).

Таблица 21
ИСТИННАЯ ТЕПЛОЕМКОСТЬ Cu_2O [106]

Температура, $^\circ\text{C}$	Теплоемкость, кал/моль·град	Температура, $^\circ\text{C}$	Теплоемкость, кал/моль·град	Температура, $^\circ\text{C}$	Теплоемкость, кал/моль·град
-197,3	8,366	-113,3	11,66	-25,6	13,93
-194,8	8,519	-103,2	11,89	-21,1	13,98
-186,2	8,935	-90,3	12,32	-14,2	14,12
-176,3	9,355	-80,3	12,67	+0,3	14,36
-167,9	9,721	-67,1	12,98	15,9	14,50
-156,2	10,18	-49,7	13,40	17,8	14,66
-125,2	11,22	-37,1	13,70		

Измерением теплоемкости Cu_2O при высоких температурах занимались Магнус [105] (табл. 22), Велер и Иохум [107]. Результаты измерений дают уравнение теплоемкости Cu_2O для высокотемпературной области:

$$C_p = 15,10 + 5,40 \cdot 10^{-3} T$$

(точность 3%, интервал $329-1233^\circ\text{K}$).

Таблица 22

СРЕДНЯЯ ТЕПЛОЕМКОСТЬ Cu_2O [34]

Пределы температуры, $^\circ\text{C}$	Теплоемкость	
	удельная, кал/г·град	мольная, кал/моль·град
17-100	0,1146	16,41
17-541	0,1242	17,78

Это уравнение рекомендуют Брицке, Капустинский и др. [74].

Рендалл, Нильсен и Вест [81] приводят уравнение для теплоемкости

$$C_P = 14,34 + 6,2 \cdot 10^{-3} T$$

(интервал 350—1500° К).

Это уравнение можно рекомендовать для металлургических расчетов.

Теплота плавления. По Коулину [8], Гласснеру [111] и Келли [112] теплота плавления Cu₂O равна 13 400 кал/моль.

Теплота превращения. Брицке, Капустинский и др. [74] рекомендуют для теплоты превращения α-Cu₂O → β-Cu₂O величину 50 кал/моль.

Энтальпия. Брицке, Капустинский и др. [74], ссылаясь на работы Магнуса [105], Велера и Иохума [107], приводят следующие данные для энтальпии Cu₂O (табл. 23).

Таблица 23

ЭНТАЛЬПИЯ Cu₂O [74], кал/моль

Температура, °C	Энталпия $H_T - H_{273}$	Температура, °C	Энталпия $H_T - H_{273}$
0	0	300	5130
25	37,4	400	6980
100	1610,0	600	10870
200	3320	800	14920

Энтропия. Из данных Миллара по теплоемкости Cu₂O (см. табл. 21) подсчитано: $S_{298} = 24,1 \pm 1,5$ кал/моль·град.

Ланге [77] на основании энтропий для Cu и O₂, а также данных по энтропии образования Cu₂O ($\Delta S_{298} = -17,72$), дает значение для Cu₂O: $S_{298} = 22,5$ кал/моль·град.

По Гласснеру [111] $S_{298} = 22,44$ кал/моль·град.

Кубашевский и Эванс [22] приводят для энтропии Cu₂O значение $S_{298} = 21,7 \pm 2,0$ кал/моль·град.

Как и ряд авторов (Келли [109], Брицке и др. [74], Россини и др. [86]), мы рекомендуем значение $S_{298} = 24,1 \pm 1,5$ кал/моль·град.

Используя уравнение Миллара [106] для теплоемкости Cu₂O при низких температурах (273—329°), получаем следующую зависимость энтропии Cu₂O от температуры:

$$S_T = S_{298}^0 + \int_{298}^T \frac{C_p}{T} dT = 24,1 + \int_{298}^T \left(\frac{9,86 + 16,6 \cdot 10^{-3} T}{T} \right) dT = \\ = 22,7 \lg T + 16,6 \cdot 10^{-3} T - 36,8.$$

Для расчета энтропии при высоких температурах (329—1223° К) использовалось уравнение

$$C_p = 15,1 + 5,4 \cdot 10^{-3} T,$$

тогда

$$S_T = S_{298}^0 + \int_{298}^T \frac{C_p}{T} dT = 24,1 + \\ + \int_{298}^T \left(\frac{15,1 + 5,4 \cdot 10^{-3} T}{T} \right) dT = 34,8 \lg T + 5,4 \cdot 10^{-3} T - 63,5.$$

Вычисленные по этим двум уравнениям энтропия и функции Φ' и Φ'' приведены в табл. 24 и 25.

Таблица 24

ЭНТРОПИЯ Cu₂O, кал/моль·град

Температура, °C	Энтропия S_T°
0	22,9
25	24,1
100	28,2
200	31,0
300	35,5
400	38,5
600	43,2
800	46,2

ФУНКЦИИ Φ' И Φ'' ДЛЯ Cu₂O, кал/г·атом·град

Температура, °C	Функции	
	Φ'	Φ''
0	22,0	23,0
25	23,0	24,10
100	24,0	24,60
200	25,1	25,8
300	26,1	26,62
400	27,75	28,56
600	30,5	31,1
800	31,5	32,6

Теплота, энтропия и изобарный потенциал образования Cu₂O

Теплота образования. Для температуры 25° С значения теплоты образования Cu₂O приведены в табл. 26.

Таблица 26

ТЕПЛОТА ОБРАЗОВАНИЯ Cu₂O
(для температуры 25°C)

Теплота образования кал/моль	Метод	Год	Автор	Литературный источник
-42500	Для реакции: $Cu_2O_{(тв)} + H_2SO_4 \rightarrow 2Cu_{(тв)} + CuSO_4 + H_2O_{(ж)}$	1882, 1883, 1886	Томсен	[113]
-43800	$2Cu_{(тв)} + 1/2O_2 = Cu_2O_{(тв)}$	1897	Бертло	[114]

Продолжение табл. 26

Теплота образования кал/моль	Метод	Год	Автор	Литературный источник
-40830	Из электродвижущих сил	1927	Ишикава и Кимура	[100]
-40640	По данным для энтропии и свободной энергии: $\text{Cu}_2\text{O}_{(\text{тв})} + \text{H}_2 \rightarrow 2 \text{Cu}_{(\text{тв})} + \text{H}_2\text{O}_{(\text{ж})}$	1929	Миллар	[106]
-41350 -40920	$\text{Cu}_2\text{O}_{(\text{тв})} + \text{H}_2 \rightarrow 2 \text{Cu}_{(\text{тв})} + \text{H}_2\text{O}_{(\text{г})}$ $\text{Cu}_2\text{O}_{(\text{тв})} + \text{H}_2 \rightarrow 2 \text{Cu}_{(\text{тв})} + \text{H}_2\text{O}_{(\text{ж})}$	1929	Майер	[115]
-40600	—	1931	Рот	[116]
-43000	Из равновесия $\text{Cu}_2\text{O}_{(\text{тв})} + \text{H}_2 \rightarrow 2 \text{Cu}_{(\text{тв})} + \text{H}_2\text{O}$	1933	Велер и Иохум	[107]
-41000	$2 \text{Cu}_{(\text{тв})} + \frac{1}{2} \text{O}_2 \rightarrow \text{Cu}_2\text{O}_{(\text{тв})}$	1949	Ланге	[77]
-39840	$2 \text{Cu}_{(\text{тв})} + \frac{1}{2} \text{O}_2 \rightarrow \text{Cu}_2\text{O}_{(\text{тв})}$	1957	Гласнер	[111]

Для металлургических расчетов можно принимать теплоту образования Cu_2O при 25°C , равной 41 000 кал/моль.

Изменение теплоты образования Cu_2O в зависимости от температуры показано в табл. 27 и 28.

Таблица 27

ТЕПЛОТА ОБРАЗОВАНИЯ Cu_2O В ЗАВИСИМОСТИ ОТ ТЕМПЕРАТУРЫ [8]

Температура, $^\circ\text{K}$	Теплота образования $-\Delta H$, кал/моль	Температура, $^\circ\text{K}$	Теплота образования $-\Delta H$, кал/моль	Температура, $^\circ\text{K}$	Теплота образования $-\Delta H$, кал/моль
298,16	40400	1100	38800	1502	43100
400	40200	1200	38400	1502	29700
500	40100	1300	38000	1600	29200
600	39900	1357	37700	1700	28800
700	39700	1357	43900	1800	28300
800	39500	1400	43700	1900	27800
900	39300	1500	43100	2000	27400
1000	39000				

Таблица 28

УРАВНЕНИЯ ЗАВИСИМОСТИ ТЕПЛОТЫ ОБРАЗОВАНИЯ Cu_2O ОТ ТЕМПЕРАТУРЫ

Уравнение	Температурный интервал $^\circ\text{K}$	Реакция	Автор	Литературный источник	Год
$\Delta H = -40716 - 1,17T + 1,58 \times 10^{-3}T^2 + 42,84 \cdot T^{1/2}$	298—1357	$2\text{Cu}_{(\text{тв})} + \frac{1}{2}\text{O}_2 \rightleftharpoons \text{Cu}_2\text{O}_{(\text{тв})}$	Магнус	[105]	1910
$\Delta H = -40630 - 0,68T + 1,58 \times 10^{-3}T^2 - 0,94 \cdot 10^5 T^{-1}$	—	$2\text{Cu}_{(\text{тв})} + \frac{1}{2}\text{O}_2 \rightleftharpoons \text{Cu}_2\text{O}_{(\text{тв})}$	Рот	[116]	1936
$\Delta H = -43950 - 4,80T + 3,04 \times 10^{-3}T^2 - 0,94 \cdot 10^5 T^{-1}$	—	$2\text{Cu}_{(\text{ж})} + \frac{1}{2}\text{O}_2 \rightleftharpoons \text{Cu}_2\text{O}_{(\text{тв})}$	Ланге	[77]	1949
$\Delta H = -44051 - 5,29T + 3,01 \times 10^{-3}T^2 + 42,84 \cdot T^{1/2}$	1357—1509	$2\text{Cu}_{(\text{ж})} + \frac{1}{2}\text{O}_2 \rightleftharpoons \text{Cu}_2\text{O}_{(\text{тв})}$	Томпсон	[117]	1952
$\Delta H = -27066 - 5,29T + 3,01 \times 10^{-3}T^2 + 42,84 \cdot T^{1/2}$	1509—1573	$2\text{Cu}_{(\text{ж})} + \frac{1}{2}\text{O}_2 \rightleftharpoons \text{Cu}_2\text{O}_{(\text{ж})}$	Томпсон	[117]	1952

Энтропия образования. Для энтропии реакции

$$2\text{Cu}(\text{тв.}) + \frac{1}{2}\text{O}_2 = \text{Cu}_2\text{O}(\text{тв.})$$

Ланге [77] приводит следующее значение:

$$\Delta S_{298} = -16,35 \text{ кал/моль·град.}$$

В результате сопоставления данных калориметрических измерений и определений давления кислорода для реакции $\text{Cu}_2\text{O}(\text{тв.}) + \frac{1}{2}\text{O}_2 = 2\text{CuO}$ тот же автор нашел для энтропии образования Cu_2O (тв.) по указанной реакции $\Delta S_{298} = -17,72 \text{ кал/моль·град.}$

Изобарный потенциал образования. Значения изобарного потенциала образования Cu_2O по данным различных авторов приведены в табл. 29.

Таблица 29
ИЗОБАРНЫЙ ПОТЕНЦИАЛ ОБРАЗОВАНИЯ Cu_2O ПРИ 25°

$-\Delta Z^{\circ}$ кал/моль	Метод	Год	Автор	Литератур- ный ис- точник
34672+200 39576 34990 35312	Из э. д. с. $2\text{Cu}(\text{ж.к.}) + \frac{1}{2}\text{O}_2 = \text{Cu}_2\text{O}(\text{тв.})$ $2\text{Cu}(\text{тв.}) + \frac{1}{2}\text{O}_2 = \text{Cu}_2\text{O}(\text{тв.})$ Из теплоты образования и энтропии	1929 1931	Майер Рендалл, Нильсен, Вест	[115] [81]
35720 36130	$2\text{Cu}(\text{тв.}) + \frac{1}{2}\text{O}_2 = \text{Cu}_2\text{O}(\text{тв.})$ Из теплоты образования и энтропии	1949	Ланге	[77]

Авторы справочного руководства рекомендуют использовать для расчетов величину $\Delta Z^{\circ} = -35300 \text{ кал/моль.}$

Округленные значения и изменения изобарного потенциала образования Cu_2O в зависимости от температуры приведены в табл. 30 и 31.

Таблица 30
ИЗОБАРНЫЙ ПОТЕНЦИАЛ ОБРАЗОВАНИЯ Cu_2O
В ИНТЕРВАЛЕ ТЕМПЕРАТУР 298–2000 °К [8]

Температура °К	Изобарный потенциал $-\Delta Z$ кал/моль	Температура °К	Изобарный потенциал $-\Delta Z$ кал/моль	Температура °К	Изобарный потенциал $-\Delta Z$ кал/моль
298, 16	35000(± 1500)	1100	21800	1600	15200
400	33200	1200	20200	1700	15200
500	31500	1300	18700	1720	14200
600	29800	1357	17900	1720	13300
700	28200	1357	17900	1800	12400
800	26500	1400	17100	1900	11600
900	24900	1500	15200	2000	10700
1000	23300				

Таблица 31

УРАВНЕНИЯ ЗАВИСИМОСТИ ИЗОБАРНОГО ПОТЕНЦИАЛА ОБРАЗОВАНИЯ Cu_2O ОТ ТЕМПЕРАТУРЫ

Уравнение	Температур- ный интервал °К	Реакция	Автор	Литератур- ный ис- точник	Год
$\Delta Z = -40630 + 1,57T \lg T - 1,58X$ $\times 10^{-3}T^2 - 0,47 \cdot 10^5 \cdot T^{-1} + 12,22T$	—	$2\text{Cu}(\text{тв.}) + \frac{1}{2}\text{O}_2 = \text{Cu}_2\text{O}(\text{тв.})$	Ланге	[77]	1949
$\Delta Z = -43950 + 11'06T \lg T - 3,04X$ $\times 10^{-3}T^2 - 0,47 \cdot 10^5 T^{-1} - 11,72T$	—	$2\text{Cu}(\text{ж.к.}) + \frac{1}{2}\text{O}_2 = \text{Cu}_2\text{O}(\text{тв.})$	Ланге	[77]	1949
$\Delta Z = -38490 - 11,52T \lg T + 51,80T$	—	$2\text{Cu}(\text{ж.к.}) + \frac{1}{2}\text{O}_2 = \text{Cu}_2\text{O}(\text{ж.к.})$	Ланге	[77]	1949
$\Delta Z = -42185 + 1,177 \ln T - 1,545X$ $\times 10^{-3}T^2 + 85,68 \cdot T^{1/2} + 11,18T$	300–1357	$2\text{Cu}(\text{тв.}) + \frac{1}{2}\text{O}_2 = \text{Cu}_2\text{O}(\text{тв.})$	Томпсон	[117]	1952
$\Delta Z = -44051 + 5,29T \ln T - 3,01X$ $\times 10^{-3}T^2 + 85,68 \cdot T^{1/2} - 18,278T$	1357–1509	$2\text{Cu}(\text{ж.к.}) + \frac{1}{2}\text{O}_2 = \text{Cu}_2\text{O}(\text{ж.к.})$	Томпсон	[117]	1952
$\Delta Z = -27066 + 5,29T \ln T - 3,01X$ $\times 10^{-3}T^2 + 85,68 \cdot T^{1/2} - 29,53T$	1509–1573	$2\text{Cu}(\text{ж.к.}) + \frac{1}{2}\text{O}_2 = \text{Cu}_2\text{O}(\text{ж.к.})$	Томпсон	[117]	1952
$\Delta Z = -40550 - 1,15T \lg T - 1,10X$ $\times 10^{-3}T^2 - 0,10 \cdot 10^5 T^{-1} + 21,92T$	298–1357	$2\text{Cu}(\text{тв.}) + \frac{1}{2}\text{O}_2 = \text{Cu}_2\text{O}(\text{тв.})$	Гласнер	[111]	1957
$\Delta Z = -43880 + 8,47T \lg T - 2,60X$ $\times 10^{-3}T^2 - 0,10 \cdot 10^5 T^{-1} - 3,72T$	1357–1502	$2\text{Cu}(\text{ж.к.}) + \frac{1}{2}\text{O}_2 = \text{Cu}_2\text{O}(\text{ж.к.})$	Гласнер	[111]	1957
$\Delta Z = -37710 - 12,48T \lg T + 0,25X$ $\times 10^{-3}T^2 - 0,10 \cdot 10^5 T^{-1} + 54,44T$	1502–2000	$2\text{Cu}(\text{ж.к.}) + \frac{1}{2}\text{O}_2 = \text{Cu}_2\text{O}(\text{ж.к.})$	Гласнер	[111]	1957

§ 3. ОКИСЬ МЕДИ CuO

Кристаллическая структура, плотность, температура плавления

Окись меди (тенорит $M = 79,57$), обладает специфической моноклинной решеткой типа B26. Каждый атом O окружен четырьмя атомами меди на расстоянии $1,95 \text{ \AA}$, образующим углы искаженного тетраэдра; каждый атом Cu окружен четырьмя атомами O, лежащими в вершинах прямоугольника. По Гмелину [123] $a = 4,653 \text{ \AA}$, $b = 3,410 \text{ \AA}$; $c = 5,108 \text{ \AA}$, ($\pm 0,010 \text{ \AA}$); $\beta = 99^{\circ}29' \pm 20'$.

Плотность. Вычисленная из рентгенографических данных [124] плотность CuO составляет $6,569 \text{ г/см}^3$. По данным последних измерений [123] плотность окиси меди колеблется в пределах $6,3 - 6,48 \text{ г/см}^3$.

Температура плавления. Известны два значения для температуры плавления окиси меди, полученные путем экстраполяции кривой ликвидуса, 1336° [81] и 1447° C [112].

Температура плавления CuO (тв) по Бруеру [125] равна 1609° K , а по Коулину [8] 1720° K .

Давление насыщенного пара

Ничтожное по величине давление насыщенного пара CuO было измерено оригинальным методом Маком, Остерхофом и Краннером [126]. Они пропускали ток кислорода сквозь слой окиси меди, нагретой в печи до определенной температуры. Газ, насыщенный паром CuO, промывался подкисленной водой, в которой растворялась CuO; при этом получалась ничтожная концентрация ионов меди. В этом растворе проводилась реакция окисления Na_2SO_3 , для которой ион меди является активным катализатором. Сравнивая скорость реакции в данном случае со скоростями той же реакции в растворах с известными концентрациями Cu^{2+} можно вычислить неизвестную концентрацию ионов меди.

Полученные таким путем величины (табл. 32) могут служить лишь нижним пределом вследствие возможных потерь.

Теплоемкость и теплота плавления

Теплоемкость. По данным различных авторов истинная теплоемкость CuO приведена в табл. 33.

Таблица 33
ИСТИННАЯ ТЕПЛОЕМКОСТЬ CuO

Температура, $^{\circ}\text{K}$	Теплоемкость, кал/моль	Литературный источник	Температура, $^{\circ}\text{K}$	Теплоемкость, кал/моль	Литературный источник	Температура, $^{\circ}\text{K}$	Теплоемкость, кал/моль	Литературный источник
30	0,46	[128]	138,1	5,704	[127]	216,0	8,913	[106]
40	0,99	[128]	140	6,02	[106]	217,0	8,955	[106]
50	1,52	[128]	142,1	5,941	[128]	219,2	9,030	[106]
60	2,064	[128]	150	6,48	[106]	221,3	9,215	[106]
70	2,590	[128]	153,8	6,389	[106]	224,4	9,378	[106]
71,3	2,58	[106]	175,2	6,564	[106]	228,8	9,415	[106]
73,7	2,710	[128]	160	6,92	[106]	229,1	9,418	[106]
75,8	2,824	[128]	163,0	6,802	[128]	230,5	9,566	[106]
78,7	2,974	[128]	169,2	7,054	[106]	233,5	9,183	[106]
80,0	3,116	[128]	170	7,36	[106]	235,2	9,17	[106]
81,8	3,123	[128]	180	7,76	[128]	238,2	9,185	[106]
84,8	3,272	[128]	183,5	7,637	[128]	239,9	9,211	[106]
88,2	3,437	[128]	190	8,18	[106]	240,7	9,379	[106]
90	3,62	[128]	193,8	8,154	[128]	241,1	9,402	[106]
91,7	3,574	[106]	197,6	8,239	[106]	246,0	9,336	[106]
95,2	3,730	[106]	199,5	8,383	[106]	248,7	9,517	[106]
99,5	3,972	[106]	200	8,54	[128]	258,3	9,578	[106]
100	4,14	[128]	201,1	8,344	[106]	261,2	9,589	[106]
108,5	4,416	[106]	203,5	8,578	[106]	261,5	9,636	[106]
110	4,62	[128]	204,5	8,503	[106]	265,7	9,616	[106]
111,6	4,560	[106]	204,7	8,532	[106]	271,4	9,684	[106]
115,2	4,725	[106]	208,1	8,792	[106]	280,6	9,852	[106]
120	5,10	[106]	209,7	8,800	[106]	281,2	9,849	[106]
122,2	5,113	[128]	210,1	8,880	[106]	284,9	9,910	[106]
125,5	5,215	[106]	211,1	8,918	[106]	284,9	9,985	[106]
130	5,58	[106]	211,6	9,016	[106]	287,5	10,01	[106]
130,7	5,418	[128]	212,3	9,138	[106]	289,1	10,03	[106]
133,7	5,531	[106]	212,6	9,117	[106]	293,6	10,06	[106]
137,2	5,60	[106]	214,4	8,976	[106]	295,2	10,39	[127]
						299,0	10,28	[106]
						301,6	10,27	[106]

Таблица 34
СРЕДНЯЯ ТЕПЛОЕМКОСТЬ [34]

Предельные температуры, $^{\circ}\text{C}$	Теплоемкость	
	удельная кал/г	мольная кал/моль
17—100	0,1342	10,68
17—299	0,1438	11,45
17—537	0,1224	11,45

По Брицке и др. [74] теплоемкость CuO при 298° K равна $10,27 \text{ кал/моль} \cdot \text{град}$. Келли [71] приводит следующую зависимость теплоемкости от температуры:

Температура, °К 10 25 50 100 150 200 298,1
 C_P , кал/моль·град (0,02) (0,28) 1,51 3,99 6,25 8,45 10,09

Кубашевский и Эванс [22] рекомендуют пользоваться уравнением (2% ; 273—813° К)

$$C_P = 10,87 + 3,576 \cdot 10^{-3} T - 1,506 \cdot 10^5 T^{-2}.$$

Теплота плавления. Сравнивая уравнения для теплот образование твердого и жидкого CuO, Рендалл, Нильсен и Вест [81] получили $L_{\text{пл}} = 13300$ кал/моль. Эту величину, как и другие авторы (Кубашевский и Эванс [22], Брицке и др. [74]), мы рекомендуем для metallургических расчетов.

Таблица 35
ЭНТАЛЬПИЯ CuO, кал/моль

Темпера- тура, °С	Энталпия		
	$H_T - H_0$	$H_T - H_{273}$	$H_T - H_{298}$
0	1254,8	0	-34,05
25	1288,8	34,05	0
100	2309,8	1055	1021
200	3434,8	2180	2146
300	4629,8	3375	3347
400	5674,8	4620	4386
500	7269,8	6015	5981
600	8494,8	7240	7206
800	11151,8	9960	9863

также Миллара [106], с достаточной точностью определена энтропия CuO при 298° К, которая равна $10,4 \pm 0,2$ кал/моль·град. Эту величину рекомендуют Ланге [77], Брицке и др. [74], Келли [131]. Кубашевский и Эванс [22], Россини и др. [86], Латимер [87].

В табл. 36 представлены значения энтропии окиси меди CuO при различных температурах, рассчитанные с помощью уравнения теплопроводности, предложенного Келли [71].

Таблица 36
ЕНТРОПИЯ CuO,
кал/моль·град
[71]

Темпера- тура, °С	Энтропия S_T	Функции	
		Ф'	Ф''
0	8,57	0	3,97 9,82
25	10,4	25	6,08 10,4
100	13,86	100	7,66 11,12
200	16,76	200	9,75 12,21
300	17,61	300	9,61 11,76
400	19,47	400	11,02 12,97
500	19,5	500	10,05 11,8
600	20,08	600	10,3 12,84
800	24,54	800	14,14 15,34

Таблица 37
ФУНКЦИИ Ф' И Ф''
ДЛЯ CuO [111],
кал/г·атом·град

Темпера- тура, °С	Энтропия S_T	Функции	
		Ф'	Ф''
0	8,57	0	3,97 9,82
25	10,4	25	6,08 10,4
100	13,86	100	7,66 11,12
200	16,76	200	9,75 12,21
300	17,61	300	9,61 11,76
400	19,47	400	11,02 12,97
500	19,5	500	10,05 11,8
600	20,08	600	10,3 12,84
800	24,54	800	14,14 15,34

По данным Гласснера [111], для CuO (тв.)

$$S_T = 2,303 \cdot 14,34 \lg T + 6,2 \cdot 10^{-3} T - 61,11,$$

для CuO (ж)

$$S_T = 2,303 \cdot 22 \lg T - 98,91.$$

По тем же данным в табл. 37 приведены значения функций Ф' и Ф'' при разных температурах.

Теплота, энтропия и изобарный потенциал образования CuO

Теплота образования. Основные из множества данных по теплоте образования CuO приведены в табл. 38.

ТЕПЛОТА ОБРАЗОВАНИЯ CuO
(при температуре 25°С)

Таблица 38

Теплота обра- зования, кал/моль	Метод	Автор	Литера- турный источник
-37160	—	Томсен	[132]
-34400	По равновесию	Руер и	[133]
-38400	$\text{Cu}_2\text{O}_{(\text{крист})} + \text{H}_2\text{O}_{(\text{ж})} = 2 \text{CuO}_{(\text{крист})} + \text{H}_2_{(\text{г})}$	Накамота	[115]
-33490	$\text{Cu}_2\text{O}_{(\text{тв})} + \frac{1}{2} \text{O}_2 = 2 \text{CuO}_{(\text{тв})}$	Майер	
-51900	$\text{Cu}_2\text{O}_{(\text{ж})} + \frac{1}{2} \text{O}_2 = 2 \text{CuO}_{(\text{тв})}$		
-6950	$\text{Cu}_2\text{O}_{(\text{тв})} + \frac{1}{2} \text{O}_2 = 2 \text{CuO}_{(\text{ж})}$	Рендалл,	[81]
-38500	$\text{CuO}_{(\text{крист})} + \text{H}_2_{(\text{г})} = \text{Cu}_{(\text{крист})} + \text{H}_2\text{O}_{(\text{ж})}$	Нильсен,	
		Вест	
-33020	—	Вартен-	[134]
-36400	—	берг и	
-37500	—	Верт	
-37500 ± 1000	—	Велер и	[107]
		Иохум	
		Бильц,	[135]
		Ральфс,	
		Фогель	
		Рот	[136]
		Улих,	[137]
		Шварц,	
		Крузе	

Авторы настоящего справочника рекомендуют принимать теплоту образования CuO при 25° С равной —37500 кал/моль. Эту величину рекомендуют также Ланге [77], Кубашевский и Эванс [22], Брицке и др. [74].

Зависимость теплоты образования CuO от температуры показана в табл. 39 и 40.

З. Я. И. Герасимов и др.

Таблица 39

УРАВНЕНИЕ ЗАВИСИМОСТИ ТЕПЛОТЫ ОБРАЗОВАНИЯ CuO ОТ ТЕМПЕРАТУРЫ

Уравнение	Температурный интервал °К	Реакция	Автор	Литературный источник	Год
$\Delta H = -34670 + 2,074 T - 4,976 \cdot 10^{-3} T^2 + 1,25 \cdot 10^{-6} T^3$	273—810	$Cu_{(тв)} + \frac{1}{2} O_2(r) = CuO_{(тв)}$	Рендалл Нильсен, Вест	[81]	1931
$\Delta H = -33500 - 0,95 T + 0,00375 T^2$	—	$Cu_2O_{(тв)} + \frac{1}{2} O_2(r) = 2 CuO_{(тв)}$	То же	[81]	1931
$\Delta H = -51950 - 0,95 T + 0,00375 T^2$	—	$Cu_2O_{(ж)} + \frac{1}{2} O_2 = 2 CuO_{(тв)}$	» »	[81]	1931
$\Delta H = -6950 - 0,95 T + 0,00375 T^2$	—	$Cu_2O_{(тв)} + \frac{1}{2} O_2 = 2 CuO_{(ж)}$	» »	[81]	1931
$\Delta H = -38170 + 1,30 T + 0,99 \cdot 10^{-3} T^2 + 0,57 \cdot 10^6 T^{-1}$	—	$Cu_{(тв)} + \frac{1}{2} O_2 = CuO_{(тв)}$	Ланге	[77]	1949
$\Delta H = -34641 - 2,33 T + 3,91 \cdot 10^{-3} T^2 + 42,84 T^{1/2}$	273—1353,3	$Cu_2O_{(тв)} + \frac{1}{2} O_2 = 2 CuO_{(тв)}$	Томпсон	[117]	1952
$\Delta H = -37678 - 1,752 T + 2,73 \cdot 10^{-3} T^2 + 42,84 T^{1/2}$	—	$Cu_{(тв)} + \frac{1}{2} O_2 = CuO_{(тв)}$	»	[117]	1952
$\Delta H = -51630 - 2,33 T - 3,91 \cdot 10^{-3} T^2 + 42,84 T^{1/2}$	—	$Cu_2O_{(ж)} + \frac{1}{2} O_2 = 2 CuO_{(тв)}$	»	[117]	1952
$\Delta H = -8041 - 2,33 T + 3,91 \cdot 10^{-3} T^2 + 42,84 T^{1/2}$	—	$Cu_2O_{(тв)} + \frac{1}{2} O_2 = 2 CuO_{(ж)}$	»	[117]	1952

Таблица 40

ТЕПЛОТА ОБРАЗОВАНИЯ CuO В ЗАВИСИМОСТИ ОТ ТЕМПЕРАТУРЫ [111]. кал/моль

Температура °К	Теплота образования $-\Delta H$	Температура °К	Теплота образования $-\Delta H$	Температура °К	Теплота образования $-\Delta H$
298,16	37600 (±2000)	1000	36100	1600	37000
400	37500	1100	35800	1700	36600
500	37300	1200	35400	1720	36400
600	37100	1300	35100	1720	33600
700	36900	1357	34900	1800	33300
800	36600	1400	38000	1900	32900
900	36400	1500	37800	2000	32500

Энтропия образования. По Гласнеру [111] для реакции $Cu_{(тв)} + \frac{1}{2} O_2(r) = CuO_{(тв)}$ (в пределах 298—1356° К).

$$\Delta S = -0,64 \cdot \lg T + 2,17 \cdot 10^{-3} T - 0,45 \cdot 10^5 \cdot T^{-2} + 20,9;$$

для реакций $Cu_{(ж)} + \frac{1}{2} O_2(r) = CuO_{(тв)}$ (в пределах 1356—1609° К).

$$\Delta S = -5,53 \cdot \lg T + 4,7 \cdot 10^{-3} T - 0,45 \cdot 10^5 \cdot T^{-2} + 10,1,$$

для реакции $Cu_{(ж)} + \frac{1}{2} O_2(r) = CuO_{(ж)}$ (в пределах 1609—2200° К).

$$\Delta S = 6,68 \lg T - 0,1 \cdot 10^{-3} T - 0,45 \cdot 10^5 \cdot T^{-2} + 35,5.$$

Изобарный потенциал образования. Данные для изобарного потенциала образования CuO из твердой Cu и O₂ при 25° С, а также в зависимости от температуры приведены в табл. 41 и 42.

Таблица 41

ИЗОБАРНЫЙ ПОТЕНЦИАЛ ОБРАЗОВАНИЯ CuO ПРИ 25° С ПО РЕАКЦИИ $Cu_{(тв)} + \frac{1}{2} O_2 = CuO_{(тв)}$

$-\Delta Z_{298}^{\circ}$ кал/с	Метод	Автор	Литературный источник	Год
30800 ± 200	Из э. д. с. гальванического элемента	Майер	[115]	1929
30419	Из теплового эффекта и энтропий	Рендалл Нильсен, Вест	[81]	1931
30920	—	Ланге	[77]	1949
30600	—	Гласнер	[111]	1957

ЗАВИСИМОСТЬ ИЗОБАРНОГО ПОТЕНЦИАЛА ОБРАЗОВАНИЯ CuO ОТ ТЕМПЕРАТУРЫ

Уравнение	Реакция	Автор	Литературный источник	Год
$\Delta Z = -37353 - 0,16 T \ln T - 0,00169 T^2 - 0,95 T^3 + 25,082 T$	$\text{Cu}_{(\text{TB})} + \frac{1}{2} \text{O}_2 = \text{CuO}_{(\text{TB})}$	Рендалл и др.	[81]	1931
$\Delta Z = -38170 - 2,99 T \ln T - 0,99 \cdot 10^{-3} T^2 + 0,28 \cdot 10^5 T^{-1} + 31,72 T$	$\text{Cu}_{(\text{TB})} + \frac{1}{2} \text{O}_2 = \text{CuO}_{(\text{TB})}$	Данге	[77]	1949
$\Delta Z = -34641 + 2,33 T \ln T - 3,91 \cdot 10^{-3} T^2 + 85,68 \cdot T^{1/2} + 12,029 T$	$\text{Cu}_2\text{O}_{(\text{TB})} + \frac{1}{2} \text{O}_2 = 2 \text{CuO}_{(\text{TB})}$	Томпсон	[117]	1952
$\Delta Z = -37578 - 1,732 T \ln T - 2,73 \cdot 10^{-3} T^2 + 85,86 \cdot T^{1/2} + 9,493 T$	$\text{Cu}_{(\text{TB})} + \frac{1}{2} \text{O}_2 = \text{CuO}_{(\text{TB})}$	»	[117]	1952
$\Delta Z = -51630 + 2,33 T \ln T - 3,91 \cdot 10^{-3} T^2 + 85,68 \cdot T^{1/2} + 22,48 T$	$\text{Cu}_2\text{O}_{(\text{жк})} + \frac{1}{2} \text{O}_2 = 2 \text{CuO}_{(\text{TB})}$	»	[117]	1952
$\Delta Z = -8041 + 2,33 T \ln T - 3,91 \cdot 10^{-3} T^2 + 85,68 \cdot T^{1/2} - 4,51 T$	$\text{Cu}_2\text{O}_{(\text{TB})} + \frac{1}{2} \text{O}_2 = 2 \text{CuO}_{(\text{жк})}$	»	[117]	1952

§ 4. ПОЛУСЕРНИСТАЯ МЕДЬ Cu_2S

Кристаллическая структура, плотность, температура плавления

В настоящее время общепризнанными являются две модификации Cu_2S ($M = 159,21$) — ромбическая и гексагональная.

Ромбическая модификация, или низкотемпературный халькоzin $\alpha\text{-Cu}_2\text{S}$, имеет решетку типа OR с параметрами: $a = 11,90 \text{ \AA}$, $b = 27,28 \text{ \AA}$, $c = 13,41 \text{ \AA}$ ($a : b : c = 0,437 : 1 : 0,492$).

Гексагональная модификация, или высокотемпературный халькоzin $\beta\text{-Cu}_2\text{S}$, имеет решетку типа H. Параметры решетки: $a = 3,89 \text{ \AA}$, $c = 6,68 \text{ \AA}$, $c/a = 1,717$ [14].

Температура полиморфного превращения $\beta \rightleftharpoons \alpha$ по Гмелину, [123] равна 105° . Многие относят это превращение к 103° C [108, 139].

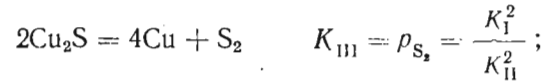
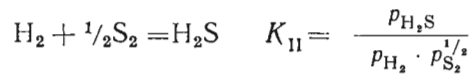
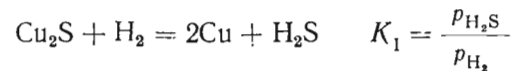
Имеются предположения о наличии второго превращения в интервале 240 — 250° C [22, 140, 81, 74].

Плотность. Плотность синтетической Cu_2S , как и плотность чистого естественного медного блеска (халькоzина), составляет при комнатной температуре $5,785$ — $5,783 \text{ g/cm}^3$ [123].

Температура плавления. Считается, что Cu_2S плавится при 1130° C , хотя некоторые авторы (Келли [141] Россини и др. [86]) рекомендуют температуру плавления 1127° C .

Давление диссоциации

Давление диссоциации Cu_2S вычислено из констант равновесия реакций Еллинеком и Цаковским [142].



При 835° C $p_{\text{S}_2} = 0,07145 \text{ at}$ ($\lg p = -7,84$); при 910° C $p_{\text{S}_2} = 0,07119 \text{ at}$ ($\lg p = -7,16$).

По Россини [86] $\lg K_f = 15,10$, где K_f означает константу равновесия реакции образования Cu_2S при 298° K .

Константа равновесия реакции $4\text{Cu} + \text{S}_2 \rightleftharpoons 2\text{Cu}_2\text{S}$ была определена также Вагихани и Сато [143].

Теплоемкость, теплота и изобарный потенциал превращения, теплота плавления

Теплоемкость. В табл. 43 и 44 приведены значения истинной и средней теплоемкостей Cu_2S по данным различных авторов.

Таблица 43
ИСТИННАЯ ТЕПЛОЕМКОСТЬ Cu_2S

Темпера- тура, $^{\circ}\text{K}$	Теплоемкость		Темпера- тура, $^{\circ}\text{K}$	Теплоемкость	
	удельная кал/г·град	мольная кал/моль·град		удельная кал/г·град	мольная кал/моль·град
<i>По Андерсону [148]</i>					
53,7	—	7,674	177,2	—	15,800
56,1	—	7,677	193,3	—	16,130
58,0	—	7,988	206,8	—	16,530
62,6	—	8,567	210,4	—	16,680
66,1	—	8,931	232,5	—	17,270
71,3	—	9,524	243,0	—	17,350
84,4	—	10,680	255,6	—	17,560
97,6	—	11,710	271,4	—	17,860
111,6	—	12,910	285,4	—	18,080
126,0	—	14,050	292,2	—	18,180
139,0	—	14,330	<i>По Беллати и Луссана [145]</i>		
157,0	—	14,990	323,2	0,1210	19,350
			373,2	0,1339	21,320
			463,2	0,1454	23,150

Таблица 44
СРЕДНЯЯ ТЕПЛОЕМКОСТЬ Cu_2S

Пределы температур $^{\circ}\text{C}$	Теплоемкость		Автор	Литературный источник
	удельная кал/г·град	мольная кал/моль·град		
19–52	0,1200	19,10	Копп	[149]
0–100	0,1432	22,80	Борнеманн	[150]
9–97	0,1212	19,29	Реньо	[151]
0–300	0,1690	26,90		
0–400	0,1603	25,52		
0–500	0,1523	24,24		
0–600	0,1479	23,54		
0–700	0,1449	23,07	Борнеманн	150
0–800	0,1393	22,18		
0–900	0,1372	21,84		
0–1000	0,1373	21,86		
0–1100	0,1369	21,79		

Уайт [146, 147] нашел область аномально высокой средней теплоемкости (приблизительно при 573°K), указывающую, что истинная теплоемкость проходит через максимум, однако данные оказались недостаточно надежными, чтобы указать температуру этого максимума.

Результаты Уайта, относящиеся к температурам выше точки превращения (при 376°K), при экстраполяции точно совпадают с данными Беллати и Луссана [145], которые вычислили среднюю теплоемкость из опытных данных. Этого нельзя сказать о соответствующих измерениях теплоемкостей, выполненных Борнеманном и Хенгстенбергом [144].

Согласно данным Уайта теплоемкость $\alpha\text{-Cu}_2\text{S}$ при 273°K составляет $17,9 \text{ кал/моль·град}$.

Брицке, Капустинский и др. [74] на основании данных о теплоемкости, найденной различными авторами, приводят таблицу зависимости теплоемкости Cu_2S от температуры (табл. 45).

Согласно Андерсону [148] теплоемкость $\alpha\text{-Cu}_2\text{S}$ при 298°K равна $18,24 \text{ кал/моль·град}$. Эту цифру в качестве рекомендуемой приводят Россини и др. [86], Келли [108], Кубашевский и Эванс [22].

По Келли [112] зависимость теплоемкости $\alpha\text{-Cu}_2\text{S}$ от температуры может быть представлена следующим уравнением:

$$C_p = 9,38 + 31,2 \cdot 10^{-3} T.$$

Для $\beta\text{-Cu}_2\text{S}$ Келли [108] приводит значение теплоемкости $C_p = 20,9 \text{ кал/град}$ (376 – 1173°C). Эту же величину рекомендуют Ланге [77], Брицке, Капустинский и др. [74], Кубашевский и Эванс [22].

Теплота превращения. Определением теплоты превращения Cu_2S занимались многие исследователи. Результаты ряда работ приведены в табл. 46.

Теплоты превращения полусернистой меди Cu_2S также определялись Борнеманном и Хенгстенбергом [144], Капустинским и Маколкиным [152].

Рекомендуемое значение теплоты превращения Cu_2S [77, 22, 86] 1340 кал/моль .

Таблица 45
ТЕМПЕРАТУРНАЯ
ЗАВИСИМОСТЬ
ТЕПЛОЕМКОСТИ Cu_2S

Темпера- тура, $^{\circ}\text{K}$	Теплоемкость кал/моль·град
10	0,55*
25	3,05*
50	6,96*
100	11,94
150	14,81
200	16,45
298,1	18,24

* Неточные данные.

Таблица 46
ТЕПЛОТА ПРЕВРАЩЕНИЯ Cu_2S

Теплота превращения кал/моль	Температура $^{\circ}\text{C}$	Превращение	Метод	Автор	Литературный источник
896	103	$\alpha \rightarrow \beta$	—	Беллати, Луссана Вычислено из данных Беллати Вычислено из теплоемкостей Борнеманна	[145] [81] [108]
1313	91	$\alpha \rightarrow \alpha'$	Вычислено из данных Беллати		
1046	250	$\alpha' \rightarrow \beta$	Вычислено из теплоемкостей Борнеманна		
1340	103	$\alpha \rightarrow \beta$	—		

Изобарный потенциал превращения. Рендалл, Нильсен и Вест [81] нашли следующие уравнения для изобарного потенциала превращения Cu_2S :

$\alpha \rightleftharpoons \alpha'$:

$$\Delta Z_T = 1477 + 0,45T \ln T - 6,709T;$$

$\alpha \rightleftharpoons \beta$:

$$\Delta Z_T = -2520 - 13,7T \ln T + 0,0123T^2 + 83,32T;$$

$$\Delta Z_{326} = 0 \text{ (точка превращения).}$$

Теплота плавления. Келли [112] вычислил теплоту плавления Cu_2S , которая оказалась равной 5500 кал/моль при температуре 1127°C . Эту цифру в качестве рекомендуемой предлагают Брицке и др. [74], Кубашевский и Эванс [22], Россини и др. [86].

Энтальпия и энтропия

Энтальпия. Термосодержание Cu_2S было найдено нами графически из данных Андерсона [148] по теплоемкостям. Результаты графического расчета приведены в табл. 47.

Энтропия. Графическим интегрированием кривой теплоемкости Андерсон [148] нашел $S_{298\text{K}} = 28,9 \pm 0,8 \text{ кал/моль} \cdot \text{град}$.

Как и ряд авторов [153, 22, 74, 86] эту величину мы рекомендуем для металлургических расчетов.

Для других температур авторы использовали уравнения теплоемкости, предложенные Келли [112] и [108]; вычисленные значения энтропии и функций Φ' и Φ'' приведены в табл. 48.

Таблица 47
ЭНТАЛЬПИЯ Cu_2S ПО РЕЗУЛЬТАТАМ ГРАФИЧЕСКОГО РАСЧЕТА, кал/моль

Температура $^{\circ}\text{C}$	Энталпия		
	$H_T - H_0$	$H_T - H_{273}$	$H_T - H_{298}$
0	3220	0	-373
25	3593	373	0
100	5170	1950	1577
200	8360	5140	4767
300	10690	7470	7097
400	12970	9750	9377
600	17230	14010	13637
800	21210	17990	17617

ЭНТРОПИЯ И ФУНКЦИИ Φ' И Φ'' ДЛЯ Cu_2S , кал/моль·град

Температура $^{\circ}\text{C}$	S_T	Φ'	Φ''
0	27,1	15,3	28,46
25	28,9	15,8	28,9
100	33,2	19,4	29,0
200	39,0	21,3	29,1
300	42,5	23,9	30,2
400	45,5	26,2	31,6
600	51,9	31,2	35,4
800	55,2	33,7	37,1

Энтропия превращения. Келли [108] указывает, что при переходе из α - Cu_2S в β - Cu_2S выделяется (при 376°K) 1340 кал, что соответствует 3,56 э. е.

Теплота, энтропия и изобарный потенциал образования Cu_2S

Теплота образования. Данные ряда авторов по теплоте образования Cu_2S приведены в табл. 49.

Таблица 49

ТЕПЛОТА ОБРАЗОВАНИЯ Cu_2S ПРИ 25°C					
Теплота образования кал/моль	Метод	Модификация	Автор	Литературный источник	Год
-18260	Cu_2S^*	—	Томсен	[113]	1882—1886
-18970	$2\text{Cu} + \text{S}_{\text{ромб}}$	α	Вартенберг	[154]	1909
-18900	Cu_2S^*	—	Васюхнова	[155]	1909
-16580	$2\text{Cu} + \text{S}_{\text{ромб}}$	α	Рендалл и др.	[81]	1931
-24177	—	—	Банников, Киселева	[156]	1939
-19000 \pm 500	—	—	Вейбке, Кубашевский	[157]	1943
-19970	$2\text{Cu} + \text{S}_{\text{ромб}}$	α	Брукс	[158]	1953

* Термопотенциал образования определена прямыми измерениями для реакций с участием Cu_2S .

** Термопотенциал образования определена для реакции $2\text{Cu}(\text{тв}) + \text{S}_{\text{ромб}} = \text{Cu}_2\text{S}$.

Для металлических расчетов можно рекомендовать величину $\Delta H_{298} = -19000 \text{ кал/моль}$.

Используя уравнения теплоемкостей для Cu и Cu_2S , Рендалл, Нильсен и Вест [81] составили уравнение для теплоты образования Cu_2S :

$$\Delta H = -33079 + 4,88T - 0,00257T^2 + 0,036T^3.$$

Ланге [77] для реакции $2\text{Cu}(\text{тв}) + \text{S}_{\text{ромб}} = \text{Cu}_2\text{S}(\beta)$ принимает данные Келли [108]:

$$\Delta H = -19190 + 6,39T + 4,66 \cdot 10^{-3} T^2.$$

Энтропия образования. Келли [131] вычислил для реакции $2\text{Cu} + \text{S}_{\text{ромб}} = \text{Cu}_2\text{S}(\alpha)$

$$\Delta S_{298,1} = 5,3 \text{ кал/моль}\cdot\text{град.}$$

Брукс [158] для той же реакции определил $\Delta S^\circ_{298,1} = 4,11 \text{ кал/моль}\cdot\text{град.}$

Изобарный потенциал образования. Значения изобарного потенциала по данным различных авторов приведены в табл. 50.

Таблица 50

ИЗОБАРНЫЙ ПОТЕНЦИАЛ ОБРАЗОВАНИЯ Cu_2S ПРИ 25° С

$-\Delta Z_2$, ккал	Метод	Автор	Литературный источник	Год
20840	Из абсолютных энтропий меди, твердой серы и Cu_2S	Андерсон	[148]	1932
20000	—	Равитц	[159]	1936
20550	—	Келли	[108]	1937
20600	—	Россини	[86]	1952
21198	—	Брукс	[158]	1953
22607*	Из э. д. с.	Дж. Вагнер и К. Вагнер	[119]	1957

* Авторы справочника считают эту величину, заслуживающей наибольшего внимания.

Для определения изобарного потенциала образования Cu_2S в зависимости от температуры авторы рекомендуют в расчетах применять уравнения, приведенные в справочнике Ланге [77]:

1) для реакции $2\text{Cu}(\text{тв}) + \text{S}_{\text{ромб}} = \text{Cu}_2\text{S}(\alpha)$

$$\Delta Z^\circ = -18440 + 11,70T \lg T - 11,02 \cdot 10^{-3} \cdot T^2 - 32,76T,$$

откуда $\Delta Z^\circ_{298} = -19668 \text{ кал/моль};$

2) для реакции $2\text{Cu}(\text{тв}) + \text{S}_{\text{ромб}} = \text{Cu}_2\text{S}(\beta)$

$$\Delta Z^\circ = -19190 - 14,72T \lg T + 4,66 \cdot 10^{-3} T^2 + 31,42T,$$

откуда $\Delta Z^\circ_{298} = -21726 \text{ кал/моль}.$

§ 5. СЕРНИСТАЯ МЕДЬ CuS

Кристаллическая структура, плотность, температура плавления

Сернистая медь ($M = 95,64$) имеет гексагональную решетку специфического типа В18 с параметрами $a = 3,80 \text{ \AA}$, $c = 16,4 \text{ \AA}$, $c/a = 4,32$. Решетка сернистой меди имеет сложное слоистое строение.

Плотность. Природная CuS имеет плотность 4,59—4,69 $\text{г}/\text{см}^3$ [160]; синтетическая — 4,65 $\text{г}/\text{см}^3$ [161]; очень чистая — 4,68 $\text{г}/\text{см}^3$ [162].

Температура плавления. Сернистая медь плавится при 1110° С с выделением серы [163].

Давление диссоциации

Сернистая медь диссоциирует по уравнению



Выделяющиеся при диссоциации Cu_2S пары серы состоят из молекул S_8 , S_6 , S_2 и S .

Таблица 51

ДАВЛЕНИЕ ДИССОЦИАЦИИ CuS

Температура °C	Давление диссоциации мм рт. ст.	Литературный источник	Температура °C	Давление диссоциации мм рт. ст.	Литературный источник
393,3	0,6	[155]	467,9	93	[166]
399,3	1,5	[166]	469,9	200	[167]
405,7	1,6	[155]	474,0	190—210	[164]
409,9	2,7	[166]	474,9	250	[167]
421,4	5,3	[155]	474,9	170	[166]
433,6	11,2	[166]	474,9	313	[167]
436,1	14,0	[155]	481,9	320	[166]
447,3	29,0	[155]	483,7	295	[155]
449,9	80,0	[167]	484,9	393	[166]
459,9	55,0	[166]	489,9	510	[166]
460,0	80—90	[155]	502,2	595	[155]
467,2	110	[155]			

В табл. 51 приводится суммарное давление диссоциации CuS; парциальные давления различных молекул S можно оценить с помощью данных Прейнера и Шуппа [164], изучавших диссоциацию паров серы. Парциальные давления S₂ при 460 и 474° С по оценке Бильца и Юза [165] равны 18—19 и 33—34 мм рт. ст. соответственно.

Теплоемкость, теплота возгонки, теплота и изобарный потенциал диссоциации CuS

Теплоемкость. В табл. 52 и 53 приведена теплоемкость CuS по данным различных авторов.

Таблица 52

ИСТИННАЯ ТЕПЛОЕМКОСТЬ CuS

Температура °К	Теплоемкость		Автор	Литературный источник
	удельная кал/г·град	мольная кал/моль·град		
59,8	—	4,413		
61,9	—	4,548		
68,6	—	5,041		
75,1	—	5,344		
89,0	—	6,179		
109,9	—	7,241		
138,2	0,0853	8,16		
139,0	—	8,509		
164,4	—	9,279		
177,6	—	9,618		
188,0	—	9,822		
203,2	—	10,16		
215,4	—	10,39		
229,4	—	10,56		
234,2	0,1109	10,60		
245,4	—	10,81		
284,1	—	11,37		
289,9	—	11,10		
294,6	—	11,34		
298,2	0,1243	11,89		
1323,2	0,1369	13,09	Рассел Борнеманн, Хенгстенберг	[127] [144]

Приближенное уравнение теплоемкости CuS [81]:

$$C_p = 11,2 + 0,0038T.$$

Келли [108] приводит уравнение

$$C_p = 10,6 + 2,64 \cdot 10^{-3} T \text{ (273—1273°K)}$$

Теплота возгонки. Триведи [168] вычислил из спектра поглощения для возгонки CuS $L_{\text{возг}} = 75\,500$ кал/моль.

Теплота диссоциации. По Бильцу и Юзу [165] теплота диссоциации CuS по реакции $4\text{CuS} = 2\text{Cu}_2\text{S} + \text{S}_2$ составляет 35 000 кал.

Изобарный потенциал диссоциации. На основании данных Васюхновой [155], Аллена и Ломбарда [166], Рендалл, Нильсен и Вест [81] получили следующее уравнение:

$$\Delta Z^\circ = 43100 + 1,9T \ln T + 0,0049T^2 - 67,056T,$$

откуда

$$\Delta Z_{298}^\circ = 26\,773.$$

ЭНТАЛЬПИЯ И ЭНТРОПИЯ CuS

Энтальпия. В табл. 54 приведены величины энтальпии CuS, рассчитанные нами с помощью уравнения теплоемкости по Келли [108]:

$$C_p = 10,6 + 2,64 \cdot 10^{-3} T \text{ (273—1273°K)},$$

и данных для $H_{273} - H_0$ и $H_{298} - H_0$ по таблицам Митинг [84].

Таблица 54

ЭНТАЛЬПИЯ CuS, кал/моль

T, °К	$H_T - H_0$	$H_T - H_{273}$	$H_T - H_{298}$
273	842	0	-156
298	998	156	0
373	1863	1021	865
473	3021	2179	2023
573	4231	3389	3233
673	5456	4614	4458
873	7981	7139	6983
1073	10651	9809	9643
1273	12841	11999	11843

Таблица 55

ЭНТРОПИЯ И ФУНКЦИИ Ф' И Ф'' для CuS, кал/моль·град

Температура, °К	S_T°	Φ'	Φ''
0	15,04	11,96	15,61
25	15,9	12,55	15,90
100	18,6	13,60	16,30
200	21,37	14,97	17,10
300	23,83	16,45	18,18
400	25,69	17,59	19,06
600	28,82	19,67	20,82
800	31,74	21,81	22,74
1000	34,00	24,00	24,70

Энтропия. Андерсон [148] путем графического интегрирования кривой теплоемкости CuS определил энтропию CuS: $S_{298}^\circ =$

$= 19,9 \pm 0,4$ кал/град·моль. Это значение энтропии рекомендуют Келли [108], Брицке, Капустинский и др. [74], Россини и др. [86].

С помощью уравнения теплоемкости CuS по Келли [108] находим

$$S_T^0 = -45,08 + 24,4 \lg T + 2,64 \cdot 10^{-3} T.$$

Рассчитанные по этому уравнению энтропия и функции Φ' и Φ'' приведены в табл. 55.

Теплота и изобарный потенциал образования CuS

Теплота образования. Прямыми измерениями теплоту образования CuS определили: Вартенберг [154] — 11 670 кал/моль, Васюхнова [155] — 11 900 кал/моль, Борнеманн и Хенгстенберг — 11 600 кал/моль.

Последняя величина рекомендуется для металлургических расчетов.

Келли [108] на основании ряда вспомогательных уравнений для реакции $\text{Cu} + \text{S}_{\text{ромб}} = \text{CuS}$ вычислил $\Delta H_{298} = -11 730$ кал/моль.

Изобарный потенциал образования. Из теплоты образования (11 600 кал) и абсолютных энтропий меди, ромбической серы и CuS Андерсон [148] для реакции $\text{Cu}(\text{тв}) + \text{S}_{\text{ромб}} = \text{CuS}(\text{тв})$ нашел $\Delta Z_{298,1}^{\circ} = -11 720$ кал/моль. Эта величина рекомендуется для металлургических расчетов.

Зависимость изобарного потенциала образования CuS от температуры подчиняется уравнению [22]

$$\Delta Z_T = -11700 + 0,05T.$$

Келли [108] рекомендует уравнение

$$\Delta Z_T = -11860 - 3,64T \lg T + 2,53 \cdot 10^{-3} T^2 + 8,79T.$$

§ 6. СЕРНОКИСЛАЯ МЕДЬ CuSO_4

Кристаллическая структура, плотность, температура плавления

Безводная сернокислая медь CuSO_4 ($M = 159,64$) имеет ромбическую решетку с параметрами $a = 4,88 \text{ \AA}$, $b = 6,66 \text{ \AA}$, $c = 8,32 \text{ \AA}$.

Известные в литературе значения плотности сернокислой меди находятся в пределах 3,516—3,63 г/см³.

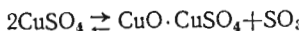
По Кубашевскому и Эвансу сернокислая медь CuSO_4 плавится при 200° С.

Давление диссоциации

Полученные Рейндерсом и Гудрианом [169] результаты измерения давления диссоциации CuSO_4 и $\text{CuO} \cdot \text{CuSO}_4$ (табл. 56 и 57) являются суммарными давлениями смесей $\text{SO}_2 + \text{O}_2 + \text{SO}_3$, образующейся в результате диссоциации SO_3 .

Таблица 56

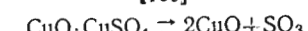
ДАВЛЕНИЕ ДИССОЦИАЦИИ [169]



Температура, °C	Давление диссоциации $p(\text{SO}_2 + \frac{1}{2}\text{O}_2)$ мм рт. ст.	Температура, °C	Давление диссоциации $p(\text{SO}_2 + \frac{1}{2}\text{O}_2)$ мм рт. ст.
680	34	750	235
710	76	760	287
730	131	770	371
732	142	780	442
740	169		

Таблица 57

ДАВЛЕНИЕ ДИССОЦИАЦИИ [169]



Температура, °C	Давление диссоциации $p(\text{SO}_2 + \frac{1}{2}\text{O}_2)$ мм рт. ст.
740	61
760	84
780	144
800	224
810	284
812	354

Теплоемкость

Приближенными методами авторы настоящего справочника построили уравнение теплоемкости CuSO_4 :

$$C_p = 25,70 + 4,30 \cdot 10^{-3} T - 2,15 \cdot 10^5 T^{-2} (5\%; 273-873^\circ\text{K}),$$

хорошо согласующееся с экспериментальными данными, полученными Шоттки [170] и Эвальдом [171]; данные Крестовникова и Фейгиной [172] при температурах выше 773°, по-видимому, завышены.

Келли [108] рекомендует уравнение теплоемкости CuSO_4 (тв)

$$C_p = 17,9 + 21,9 \cdot 10^{-3} T (\pm 6\%; 298-800^\circ\text{K}),$$

а для теплоемкости $\text{CuO} \cdot \text{CuSO}_4$:

$$C_p = 28,77 + 25,48 \cdot 10^{-3} T - 1,506 \cdot 10^5 T^{-2}.$$

В металлургических расчетах теплоемкость CuSO_4 при 25° С можно принимать равной 24,1 кал/моль.

Энтальпия, энтропия и функция Φ''

Энтальпия. Расчетные значения энтальпии CuSO_4 приведены в табл. 58. Для расчетов $H_T - H_{298}$ использованы данные Брицке и Капустинского [74], а также приведенное выше уравнение теплоемкостей.

Таблица 58
ЭНТАЛЬПИЯ CuSO_4

Темпера- тура, $^{\circ}\text{K}$	Энталпия, кал/моль	
	$H_T - H_{273}$	$H_T - H_{298}$
298	611	0
373	2510	1899
473	5100	4489
573	8010	7399
673	10900	10289
873	16800	16189

Энтропия и функция Φ'' . Ишикава и Муроока [173] вычислили энтропию CuSO_4 из э. д. с. и давления диссоциации гидратов CuSO_4 : $S^{\circ}_{298} = 29,1$ кал/моль·град.

На основании расчетов Келли [108] Брицке и Капустинский [74] предлагаю $S^{\circ}_{298} = 25,3$ кал/моль·град.

Кубашевский и Эванс [22], основываясь на данных Келли [153], рекомендуют $S^{\circ}_{298} = 25,3 \pm 2,0$ кал/моль·град.

Для metallurgicalических расчетов можно пользоваться данными, приведенными в табл. 59.

Теплота и изобарный потенциал образования CuSO_4

Теплота образования и изобарный потенциал образования CuSO_4 по различным данным приведены в табл. 60 и 61.

Таблица 60
ТЕПЛОТА ОБРАЗОВАНИЯ CuSO_4 ПРИ 25°C

Теплота образования кал/моль	Метод	Автор	Литератур- ный источник	Год
-182430	Из Cu , SO_2 и O_2	Томсен	[113]	1882
-181700	—	Бертело	[174]	1895
-184300	$\text{Cu} + \text{S} + 2\text{O}_2 = \text{CuSO}_4$	Ишикава Муроока	[173]	1910
-188690	—	Майер	[115]	1929
-171605*	Из данных по теплоем- костям Cu , SO_2 , O_2 и давлению диссо- циации CuSO_4	Рендалл, Нильсен, Вест	[81]	1931

* Авторы настоящего справочника считают эту величину заслуживающей наибольшего внимания.

Таблица 59
ЭНТРОПИЯ И ФУНКЦИЯ Φ''
ДЛЯ CuSO_4 КАЛ/МОЛЬ·ГРАД

$^{\circ}\text{K}$	S°_T	Φ''
273	22,37	—
298	25,3	25,3
373	31,18	26,08
473	37,33	27,83
673	47,94	29,44
873	54,60	36,10

Таблица 61
ИЗОБАРНЫЙ ПОТЕНЦИАЛ
ОБРАЗОВАНИЯ CuSO_4 ПРИ 298°K

ΔZ_{298}	Автор	Литерату- рный источник
-157950	Ишикава и Муроока	[173]
-161300	Рейндерс и Гудриан	[175]
-161520	Майер*	[115]

* Авторы справочного руководства рекомендуют для расчетов пользоваться данными Майера.

Для реакции $\text{Cu} + \text{S}$ (ромб.) + $2\text{O}_2 = \text{CuSO}_4$ Ишикава и Муроока [173] приводят уравнение зависимости теплоты образования CuSO_4 от температуры:

$$\Delta H = -183880 - 7,66T + 6,84 \cdot 10^{-3} T^2 + 3,754 \cdot 10^5 T^{-1}.$$

Для той же реакции указанные авторы нашли значение изобарного потенциала образования CuSO_4 :

$$\Delta Z_T = -183880 + 17,64 T \lg T - 6,84 \cdot 10^{-3} T^2 + 1,877 \cdot 10^5 T^{-1} + 43,26T.$$

На основании этих данных Келли [108] рекомендует пользоваться более простым уравнением:

$$\Delta Z_T = -185100 + 90,2T \quad (10\%; 298-T).$$

§ 7. ХЛОРИСТАЯ МЕДЬ CuCl

Кристаллическая структура, плотность, температура плавления

Хлористая медь ($M=99,03$) имеет кубическую решетку типа цинковой обманки (сфалерита) В3. Постоянная решетки $a = 5,41 \text{ \AA}$ [14]. Расстояние между ионами Cu^+ и Cl^- составляет $2,334 \text{ \AA}$ [176].

Плотность. Для плотности CuCl , вычисленной из рентгенографических данных, Саркисов [176] приводит два значения: $3,93$ и $4,15 \text{ g/cm}^3$.

Плотность чистой хлористой меди, по данным Бильца и Герцера [177], находится в интервале $4,139$ — $4,145 \text{ g/cm}^3$. Плотность расплавленной CuCl :

Температура, $^{\circ}\text{C}$	436	499	585
Плотность, g/cm^3	3,655	3,620	3,552

Температура плавления. Данные о температуре плавления CuCl различных авторов находятся в интервале 415 — 440°C [5, 22, 111, 178—189].

Для metallurgicalических расчетов следует принимать температуру плавления CuCl , равной 430°C .

4 Я. И. Герасимов и др.

Таблица 62
ДАВЛЕНИЕ
НАСЫЩЕННОГО ПАРА
 CuCl [191]

Темпера- тура $^{\circ}\text{C}$	Давление мм рт. ст.
878	61,5
907	75,6
1045	178,8
1115	258,0
1335	675,9
1369	769,7
1367	760

Температура кипения, давление насыщенного пара CuCl

По отдельным определениям температура кипения CuCl находится в пределах 1367—1490° С [111, 191, 192].

Методом определения точки кипения в вакууме Вартенберг и Боссе [191] нашли давление насыщенного пара CuCl (табл. 62).

По Келли [83] зависимость давления пара CuCl от температуры выражается уравнением

$$\lg P_{\text{мм}} = -8000T^{-1} - 7,04 \lg T + 10^{-3}T + 31,17.$$

Теплоемкость, теплоты плавления и испарения

Теплоемкость. Средняя теплоемкость CuCl по Реньо [194] для температур в пределах 17—98° С составляет 0,1383 кал/г·град, или 13,68 кал/моль·град.

Крестовников и Каретников [195] изучали теплоемкость CuCl в температурном интервале от 15 до 900° С. Пересчитанные на истинную теплоемкость их значения при температуре 100° С располагаются ниже данных Реньо, а вблизи точки плавления значения теплоемкости, по-видимому, завышены.

Если использовать данные Реньо ($C_p = 13,68$ кал/моль·град) при температуре от 290 до 371° и среднюю теплоемкость $C_p^{673} = 15,09$ кал/моль·град, измеренную Крестовниковым и Каретниковым [195], то уравнение теплоемкости CuCl будет иметь вид:

$$C_p = 10,50 + 9,70 \cdot 10^{-3} T \quad (3\%; \text{ } 273—695^\circ\text{K}).$$

Теплоемкость жидкой CuCl [195]:

$$C_p = 16,0 \text{ кал/моль·град} \quad (5\%; \text{ } 695—1173^\circ\text{K}).$$

Теплоты плавления, испарения и возгонки. В табл. 63 приведены данные ряда авторов, определявших теплоту плавления CuCl . Рекомендуется теплота плавления $L_{\text{пл}}$, равная 2500 кал/моль.

Майер [192] по наклону кривой давления пара CuCl вычислил $L_{\text{исп}} = 16990$ кал/моль. По Келли [83] теплота испарения для процесса $\text{Cu}_2\text{Cl}_2 \text{ (ж)} = \text{Cu}_2\text{Cl}_2 \text{ (г)}$ выражается уравнением

$$L_{\text{исп}} = 36\,600 - 14T.$$

ХЛОРИСТАЯ МЕДЬ CuCl

Келли [83], Гайдон [198] и Буэр [199] рекомендуют теплоту возгонки CuCl принимать равной 35 000 кал/моль.

Таблица 63
ТЕПЛОТА ПЛАВЛЕНИЯ CuCl

$L_{\text{пл}}$	Метод	Автор	Литературный источник
3870	Из реакций восстановления твердой и жидкой CuCl	Ватанабе	[196]
2545	Калориметрический	Крестовников, Каретников	[195]
2445	Из бинарных систем расплавленных солей	Келли	[112]

ЭНТАЛЬПИЯ И ЭНТРОПИЯ

Энталпия. Для расчета энталпии (табл. 64) нами использованы данные по справочнику Брицке, Капустинского и др. [74], а также теплоемкости CuCl .

$$C_p = 10,50 + 9,7 \cdot 10^{-3} T \quad (273—695^\circ\text{K})$$

$$C_p = 16,0 \quad (695—1173^\circ\text{K})$$

Энтропия. Ватанабе [200] исследовал реакцию $\text{Cu}(\text{тв}) + \frac{1}{2}\text{Cl}_2 \text{ (г)} = \text{CuCl}(\text{тв})$. Энтропия этой реакции $\Delta S_{298} = -13,8$.

Учитывая энтропии меди и хлора, находим для CuCl (тв).

$$S_{298} = 20,8 \pm 1,0 \text{ кал.}$$

Капустинский [201] в выведенном уравнении изобарного потенциала реакции $2\text{CuCl} + \text{H}_2 = 2\text{Cu} \text{ (тв)} + 2\text{HCl} \text{ (г)}$ допустил ошибку при сложении, вследствие чего получил значение энтропии CuCl , равное 18,28 кал. Правильно вычисленная (и при использовании новых данных для энтропии Cu и Cl_2) энтропия твердой CuCl равна 22,00 кал.

Таблица 64

ЭНТАЛЬПИЯ CuCl

Температура $^{\circ}\text{C}$	$\text{^{\circ}K}$	Энталпия, кал/моль	
		$H_T - H_{273}$	$H_T - H_{298}$
0	273	0	-325
25	298	325	0
100	373	1375	1050
200	473	2840	2515
300	573	4380	4055
400	673(тв)	6040(тв)	5715
600	873(ж)	11880(ж)	9223
800	1073	15050	12430

Келли [153] приводит значение $S_{298}^0 = 21,0 \pm 1,0$ кал.

Кубашевский и Эванс [22] рекомендуют $S_{298}^0 = 21,0 \pm 1,0$ кал.

Россини и др. [86] в справочнике рекомендуют значение $S_{298}^0 = 21,9$ кал, Гласснер [111] $S_{298}^0 = 20,8$ кал.

Из спектроскопических данных для CuCl (г) Келли [153] определил $S_{298}^0 = 57,3 \pm 1,0$ кал.

Фихте [76] на основании данных Келли для процесса Cu_2Cl_2 (ж) = Cu_2Cl_2 (г) приводит $\Delta S_{1743} = 6,8$ кал.

Температурная зависимость энтропии хлористой меди в твердом и жидким состояниях выражается уравнениями [111]: CuCl (тв):

$$S_T = 20,9 \lg T + 7,7 \cdot 10^{-3} \cdot T - 33,3;$$

CuCl (ж):

$$S_T = 36,3 \cdot \lg T - 68,4.$$

Функция Φ'' рассчитывается по следующим формулам [111]: CuCl (тв):

$$\Phi'' = \frac{Z_T - H_{288}}{T} = 20,9 \lg T - 3,85 \cdot 10^{-3} T - 24,2 + 3,051 T^{-1};$$

CuCl (ж):

$$\Phi'' = 36,4 \cdot \lg T - 52,6 + 3,439 \cdot T^{-1};$$

CuCl (г):

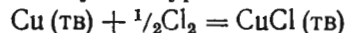
$$\Phi'' = 20,5 \cdot \lg T + 0,235 \cdot 10^5 T^{-2} - 12,42 - 44,66 \cdot T^{-1}.$$

Теплота, энтропия и изобарный потенциал образования CuCl

Теплота образования CuCl . В табл. 65 приведена теплота образования CuCl .

Для металлургических расчетов теплоту образования CuCl можно принимать равной —32600 кал/моль.

Для определения теплоты образования CuCl в зависимости от температуры рекомендуются уравнения Фихте [76]:



$$\Delta H_T^o = -32950 + 2,22T + 2,06 \cdot 10^{-3} T^2;$$



$$\Delta H_T^o = -31840 + 6,26T - 0,87 \cdot 10^{-3} T^2;$$



$$\Delta H_T^o = -33500 + 4,20T - 0,14 \cdot 10^{-3} T^2.$$

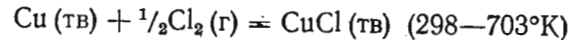
Таблица 65
ТЕПЛОТА ОБРАЗОВАНИЯ CuCl

Теплота образования $-\Delta H_{298}^o$ кал/моль	Метод	Год	Автор	Литера- турный источник
32900	$\text{Cu}_{(\text{тв})} + \text{Cl}_{2(\text{г})}$	1902	Бодлендер и Шторбек	[203]
37150	$3\text{CuCl}_{(\text{тв})} + 1\frac{1}{2}\text{Sn}_{(\text{тв})} =$ $= 1\frac{1}{2}\text{SnCl}_2 + 3\text{Cu}$	1918	Нойес и Чай	[204]
32000	$\text{CuCl}_{(\text{тв})} + \text{AgCl}_{(\text{тв})} =$ $= \text{CuCl}_{2(\text{ж})} + \text{Ag}_{(\text{тв})}$	1922	Эдгар и Кэнон	[205]
33900	$\text{Cu}_{(\text{тв})} + \text{CuCl}_{2(\text{тв})} =$ $= 2\text{CuCl}_{(\text{тв})}$	1927	Зиверс и Гогта	[206]
32600	$\text{CuCl}_2 + \text{H}_2$	1929		
32100 \pm 400		1930	Ватанабе	[207]
32000 \pm 700		1936	Вартенберг и Верт	[208]
32605	$\text{Cu}_{(\text{тв})} + \frac{1}{2}\text{Cl}_{(\text{г})} =$ $= \text{CuCl}_{(\text{тв})}$	1933	Капустинский	[201]
32600	$\text{Cu}_{(\text{тв})} + \frac{1}{2}\text{Cl}_{2(\text{г})} =$ $= \text{CuCl}_{(\text{тв})}$	1950	Ватанабе	[200]
			Бруер и др.	[199]

Энтропия образования CuCl . Используя данные Ватанабе [196] и Капустинского [201], найденные экспериментально по равновесию восстановления водородом, и данные Вартенберга [208] по теплоте реакции, Фихте [76] для изменения энтропии реакции $\text{Cu}(\text{тв}) + \frac{1}{2}\text{Cl}_2 = \text{CuCl}(\text{тв})$ приводит:

$$\Delta S_{298} = -12,63 \text{ кал/моль} \cdot \text{град.}$$

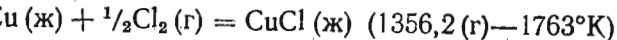
Зависимость энтропии образования хлористой меди от температуры описывается следующими уравнениями (Гласснер [111]):



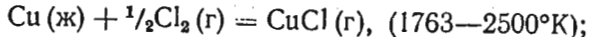
$$\Delta S = -1,61 \lg T + 6,1 \cdot 10^{-3} T + 0,15 \cdot 10^5 T^{-2} + 11,5;$$



$$\Delta S = 13,8 \lg T - 1,6 \cdot 10^{-3} T + 0,15 \cdot 10^5 T^{-2} + 46,6;$$



$$\Delta S = 8,95 \lg T - 0,1 \cdot 10^{-3} T + 0,15 \cdot 10^5 T^{-2} + 35,8;$$



$$\Delta S = -7,11 \lg T - 0,1 \cdot 10^{-3} T - 0,05 \cdot 10^5 T^{-2} - 36,1.$$

Изобарный потенциал образования CuCl . Данные различных авторов приведены в табл. 66.

Таблица 66

ИЗОБАРНЫЙ ПОТЕНЦИАЛ ОБРАЗОВАНИЯ CuCl ПРИ 298° К

$-\Delta Z$ кал/моль	Метод	Автор	Литературный источник
30000	Из э. д. с.	Бодлендер и Шторбек	[203]
278000		Томпсон	[209]
28481	Из реакции восстановления CuCl	Ватанабе	[196]
28340	Для реакции $\text{Cu}_{(\text{тв})} + \frac{1}{2}\text{Cl}_2 = \text{CuCl}_{(\text{тв})}$	Капустинский	[201]
28340	Из э. д. с.	Нильсен и Броун	[210]

Фихте [76] на основании данных Ватанабе, Капустинского, Келли, Крестовникова и Каретникова предлагает уравнения для реакции $\text{Cu}_{(\text{тв})} + \frac{1}{2}\text{Cl}_2 = \text{CuCl}_{(\text{тв})}$:

$$\Delta Z^\circ = -32950 - 5,11T \lg T - 2,06 \cdot 10^{-3}T^2 + 28,76T;$$

$$\Delta Z_{298}^\circ = -28340$$

(эту величину можно рекомендовать для расчетов);
для реакции $\text{Cu}_{(\text{тв})} + \frac{1}{2}\text{Cl}_2 = \text{CuCl}_{(\text{ж})}$:

$$\Delta Z^\circ = -31840 - 14,42 \cdot T \lg T + 0,87 \cdot 10^{-3}T^2 + 51,66T;$$

а для реакции $\text{Cu}_{(\text{ж})} + \frac{1}{2}\text{Cl}_2 = \text{CuCl}_{(\text{ж})}$:

$$\Delta Z^\circ = -33500 - 7,67 \cdot T \lg T + 0,14 \cdot 10^{-3}T^2 + 32,73T.$$

Для процесса испарения Cu_2Cl_2 (ж) = Cu_2Cl_2 (г) тот же автор предлагает уравнение

$$\Delta Z^\circ = 36600 + 32,2T \lg T - 129,25T.$$

§ 8. ХЛОРНАЯ МЕДЬ CuCl_2

Кристаллическая структура, плотность, температура плавления

Хлорная медь CuCl_2 ($M=134,48$) образует кристаллическую решетку моноклинной симметрии с параметрами $a=6,85 \text{ \AA}$, $b=3,30 \text{ \AA}$, $c=6,70 \text{ \AA}$; $\beta = 121^\circ$. Атомы Cu и Cl связаны в бесконечные цепочки; каждый атом Cu находится в одной плоскости с четырьмя атомами Cl, а каждый атом Cl связан с двумя атомами Cu.

Нормальное расстояние Cu—Cl равно $2,30 \pm 0,03 \text{ \AA}$.

Плотность. Вычисленная из рентгенографических данных [123] плотность CuCl_2 составляет $3,44 \text{ g/cm}^3$.

Бильц и Фишер [189] получили значение плотности $3,387 \text{ g/cm}^3$.

Температура плавления. По Бильцу и Фишеру [189] температуру плавления хлорной меди можно принять равной $630 \pm 10^\circ \text{C}$. Авторы отмечают, что определение точки плавления CuCl_2 затрудняется диссоциацией этой соли, приводящей к образованию смеси CuCl_2 — CuCl переменного состава, чем и объясняется резкое расхождение результатов многих авторов. Бильц и Фишер измеряли температуры плавления в атмосфере хлора при повышенном давлении, но, несмотря на это, смогли провести измерение лишь до 75,9% (мол.) CuCl_2 в смеси. Приводимая ими величина ($630 \pm 10^\circ \text{C}$) экстраполирована по криевой плавления.

По Гласснеру [111] CuCl_2 разлагается при 810°K .

Давление насыщенного пара и давление диссоциации

Давление насыщенного пара CuCl_2 по Майеру [192] приведено в табл. 67.

Таблица 67
ДАВЛЕНИЕ НАСЫЩЕННОГО ПАРА CuCl_2 [192]

Темпера- тура, °C	Давление па- ра, мм рт. ст.	Темпера- тура, °C	Давление па- ра, мм рт. ст.	Темпера- тура, °C	Давление па- ра, мм рт. ст.
309,7	3,0	436,5	64,9	510,2	483,9
325,2	4,6	459,8	90,0	511,9	571,2
354,5	8,4	475,9	150,8	516,7	685,3
382,5	13,7	485,1	209,9	521,0	789,1
401,4	20,2	491,0	278,7	523,6	849,0
426,3	35,3	499,3	342,7		

Давление диссоциации $2 \text{CuCl}_2 \rightleftharpoons \text{Cu}_2\text{Cl}_2 + \text{Cl}_2$ вычислили Еллинек и Копп [213] по константам равновесия следующих реакций:

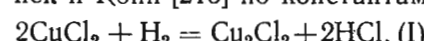
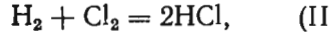


Таблица 68

ДАВЛЕНИЕ ДИССОЦИАЦИИ CuCl_2 [213]

Темпера- тура, °C	Давление диссоциации $p, \text{ atm}$	$\lg p$
251	0,0 ₁₉ 46	-19,835
325	0,0 ₁₆ 219	-16,659
397	0,0 ₁₄ 362	-14,442



$$K_{\text{II}} = \frac{p_{\text{HCl}}^2}{p_{\text{H}_2} \cdot p_{\text{Cl}_2}}.$$

Отсюда



$$K_{\text{III}} = \frac{K_1}{K_{\text{II}}} = p_{\text{Cl}_2}.$$

При этом давление пара CuCl_2 в расчет не принималось. Результаты расчета приведены в табл. 68.

Теплоемкость, теплота возгонки

Теплоемкость. По теплоемкостям CuCl_2 имеются данные Реньо [194]. Фихте [76] предлагает следующее уравнение теплоемкости CuCl_2 , составленное с использованием данных Реньо и выравненных теплоемкостей Крестовникова и Каратникова [195]:

$$C_p = 16,0 + 7,62 \cdot 10^{-3} T.$$

Для подсчетов, не претендующих на точность более чем $\pm 5\%$, можно использовать уравнение, составленное Крестовниковым и Каратниковым [195]:

$$C_p = 16,80 + 8,50 \cdot 10^{-3} T (\pm 5\%, 273—773^\circ).$$

Кубашевский и Эванс [22] на основании данных Крестовникова и Каратникова предлагают уравнения CuCl_2 (тв):

$$C_p = 16,77 + 5,54 \cdot 10^{-3} T (+5\%, 298—903^\circ\text{K});$$

CuCl_2 (ж):

$$C_p = 21,3 (+5\% \text{ при } T_{\text{пл}}).$$

Теплота возгонки. Вычисленная в пределах 325—400° (по уравнению Клаузиуса—Клапейрона) из давления пара по данным Майера [192] теплота возгонки CuCl_2 равна 15590 кал/моль. В указанных пределах она постоянна.

Энталпия и энтропия CuCl_2

Для расчетов $H_T - H_{298}$ (табл. 69) использовалось приведенное выше уравнение Фихте [76] для теплоемкости CuCl_2 и данные по энталпии по справочнику Брицке, Капустинского и др. [74].

Фихте [76] вычислил $S_{298} = 22,36 \text{ кал/моль}\cdot\text{град}$.

Кубашевский и Эванс [22] рекомендуют $S_{298} = 30,7 \pm 2,0 \text{ кал/моль}\cdot\text{град}$.

Зависимость энтропии CuCl_2 от температуры по Гласснеру [111] выражается уравнением

$$S^*_T \approx 35,2 \lg T + 2,77 \cdot 10^{-3} T - 70,7.$$

Таблица 69
ЭНТАЛЬПИЯ CuCl_2

Температура °C	Температура °K	Энталпия, кал/моль	
		$H_T - H_{273}$	$H_T - H_{298}$
0	273	0	-455,0
25	298	455	0
100	373	1965	1510
200	473	4020	3565
300	573	6150	5695
400	673	8360	7905

Таблица 70
ЭНТРОПИЯ И ФУНКЦИЯ Φ'
для CuCl_2
кал/моль·град

°C	°K	S^0_T	Φ''
25	298	—	22,36
100	373	26,53	22,48
200	473	30,98	23,43
300	573	34,96	25,04
400	673	38,21	26,51

Вычисленные по этому уравнению данные приведены в табл. 70.

Теплота, энтропия и изобарный потенциал образования CuCl_2

Теплота образования. В табл. 71 приведены данные различных авторов.

Таблица 71
ТЕПЛОТА ОБРАЗОВАНИЯ CuCl_2

$-\Delta H$ кал/моль	Метод	Год	Автор	Литературный источник
29400	$\text{CuCl} \text{ (тв)} + \frac{1}{2} \text{Cl}_2 \text{ (г)} = \text{CuCl}_2 \text{ (тв)}$	1929	Еллинек и Кооп	[213]
50800	Из элементов	1930	Вартенберг, Верт	[208]
29000	$\text{CuCl} \text{ (тв)} + \frac{1}{2} \text{Cl}_2 \text{ (г)} = \text{CuCl}_2 \text{ (тв)}$	1938	Крустинсон	[214]

Уравнение зависимости теплоты образования CuCl_2 от температуры по Фихте [76]

$$\Delta H = -54360 + 2,38T + 2,80 \cdot 10^{-3} T^2,$$

$$\Delta H_{298} = -53400 \text{ кал/моль.}$$

Энтропия образования CuCl_2 . По Фихте [76] энтропия образования CuCl_2 согласно реакции $\text{CuCl} \text{ (тв)} + \frac{1}{2} \text{Cl}_2 = \text{CuCl}_2 \text{ (тв)}$ равна $-38,92 \text{ кал/моль}\cdot\text{град}$.

Зависимость энтропии образования CuCl_2 от температуры [111]:

$$\Delta S_T = -6,0 \lg T + 3,77 \cdot 10^{-3} \cdot T - 0,3 \cdot 10^5 \cdot T^{-2} + 50,3$$

Изобарный потенциал образования CuCl_2 . Вычисленный из давлений диссоциации, найденных Еллинеком и Коппом [213], изобарный потенциал образования CuCl_2 приведен в табл. 72.

Таблица 72
ИЗОБАРНЫЙ ПОТЕНЦИАЛ ОБРАЗОВАНИЯ CuCl_2

Температура, °C	Изобарный потенциал, кал/моль
251	-23 754
325	-22 767
397	-22 110

По Фихте [76] для реакции $\text{Cu}(\text{тв}) + \text{Cl}_2 = \text{CuCl}_2(\text{тв})$
 $\Delta Z_f^0 = -54\ 360 - 5,48T \lg T - 2,80 \cdot 10^{-3} T^2 + 56,55T$.

Глава II

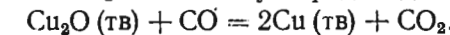
ТЕРМОДИНАМИКА МЕДИ. РЕАКЦИИ ПРЯМОГО ВОССТАНОВЛЕНИЯ, ОКИСЛЕНИЯ И ХЛОРИРОВАНИЯ

§ 9. РЕАКЦИИ С ОКИСЛАМИ МЕДИ

Восстановление Cu_2O окисью углерода

При переплавке меди в атмосфере окиси углерода не замечается никаких следов окисления. Это объясняется тем, что CO чничтожно мало растворима как в жидкой, так и в твердой меди.

Восстановление Cu_2O окисью углерода идет по реакции



Майер [217] подсчитал изобарный потенциал и константы равновесия с помощью уравнения для ΔZ , составленного из термических данных, и значения $\Delta Z_{298,1}$ для Cu_2O :

$$\begin{aligned} \Delta Z = & -27\ 380 + 1,47T \ln T - 1,4 \cdot 10^{-3} T^2 + \\ & + 1,5 \cdot 10^{-6} T^3 - 7,01T. \end{aligned}$$

$$\lg K_p = \lg \frac{p_{\text{CO}_2}}{p_{\text{CO}}} = -\frac{5980}{T} + 0,74 \lg T - 0,306 \cdot 10^{-3} T + 0,11 \cdot 10^{-6} T^2 - 1,53.$$

Концентрация CO в равновесной газовой фазе при восстановлении Cu_2O из расплавленной медной ванны хотя и повышается обратно пропорционально концентрации Cu_2O в ванне, тем не менее даже при очень низкой концентрации Cu_2O — до 0,01% (вес.) — не превышает нескольких сотых долей процента. Это обстоятельство объясняет трудную (по сравнению, например, с Fe) окисляемость Cu углекислыми и дымовыми газами.

Для раствора Cu_2O в Cu можно приблизительно принять прямую пропорциональность между мольной концентрацией Cu_2O в Cu и равновесным составом газовой фазы, т. е. $K_p = \frac{p_{\text{CO}}}{p_{\text{CO}_2}} [\text{Cu}_2\text{O}]$, или $K_p = p_{\text{CO}} [\text{Cu}_2\text{O}]$, так как p_{CO_2} можно считать близким к 1 при $p_{\text{CO}_2} = 1$ ат.

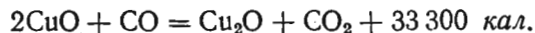
Приняв $p_{\text{CO}} = 10^{-2} \text{ ат}$, 10^{-3} ат и т. д., можно вычислить минимальную концентрацию Cu_2O в Cu , которой можно достигнуть при восстановлении жидкой меди окисью углерода. Поскольку термодинамические величины (теплоемкость, скрытая теплота плавления), принятые Майером, имеют приближенный характер, Вольский [219] приводит лишь несколько расчетов, выполненных по Майеру для $t = 1084^\circ \text{C}$:

$$p_{\text{CO}} = 10^{-2} \text{ ат}; [\text{Cu}_2\text{O}] = 0,119\% \text{ (вес.)};$$

$$p_{\text{CO}} = 10^{-3} \text{ ат}; [\text{Cu}_2\text{O}] = 1,192\% \text{ (вес.)}.$$

Восстановление CuO окисью углерода

Реакция восстановления CuO окисью углерода протекает по уравнению



В более старых работах имеются указания на начальную температуру реакции: Хаузер [220] нашел 265° , Кембелл [221] 100 — 105° , Райт и Лефф [216] 68 — 150° для различных препаратов. Будуар [222], изучавший равновесие этой реакции, нашел, что при 445° равновесная смесь содержит 99% CO_2 и 1% CO .

Полный термодинамический расчет дан в работе Халла [103], который нашел константу равновесия и ΔZ рассматриваемой реакции как функцию температуры (табл. 73).

Таблица 73

ИЗОБАРНЫЙ ПОТЕНЦИАЛ РЕАКЦИИ
 $2\text{CuO} + \text{CO} = \text{Cu}_2\text{O} + \text{CO}_2$ [103]

Темпера- тура, $^\circ\text{C}$	Изобарный потенциал ΔZ° кал/моль	Температура $^\circ\text{C}$	Изобарный потенциал ΔZ° кал/моль	Температура $^\circ\text{C}$	Изобарный потенциал ΔZ° кал/моль
200	52 130	550	41 010	960	38 290
250	50 940	600	40 310	1000	37 820
300	40 610	650	42 620	1031	38 150
400	39 390	785	36 790	1080	38 320
500	41 700	845	39 870	1105	37 730

Восстановление Cu_2O и CuO углеродом

Восстановление окиси и окиси меди твердым углеродом проходит по реакциям $\text{Cu}_2\text{O} + \text{C} = 2\text{Cu} + \text{CO}$ и $\text{CuO} + \text{C} = \text{Cu} + \text{CO}$.

При нанесении на диаграмму Будуара [222] кривых равновесия реакций восстановления окислов меди с помощью CO получается, что в присутствии угля эти реакции протекают до кон-

ца в сторону восстановления меди почти при всех температурах, при которых скорости реакции Будуара имеют измеримую величину.

Экспериментальное изучение этих реакций дает весьма разнородные результаты у различных исследователей.

Впервые температуру начала восстановления Cu_2O углеродом определили Райт и Лефф [216] — 160° , затем Глазер [223] — 55°C . Температуру заметного восстановления CuO углеродом определили: Райд и Лефф [216] — в пределах 390 — 440° , Дельц и Грауман [224] — 700° ; Глазер [223] — 390 и 700° ; по Тамману и Зворыкину [225] температура начала заметного восстановления CuO углем и графитом составляет 700 — 790° .

Суммарное равновесное давление $\text{CO} + \text{CO}_2$, которое увеличивается при нагревании смеси углерода с окислами меди, достигает уже при низких температурах весьма большой величины.

Восстановление Cu_2O водородом

Разные исследователи отмечали восстановление Cu_2O водородом по реакции



уже при температуре 232 — 248° .

Озанн [226] и Хаузер [220] нашли температуру начала восстановления Cu_2O водородом в пределах 232 — 248° .

Велер и Бальц [98] определили константы равновесия $K_p = p_{\text{H}_2\text{O}}/p_{\text{H}_2}$ методом пропускания газа с постоянной скоростью: H_2O над Cu и H_2 над Cu_2O . Константа равновесия при 450° найдена равной 19 для первого пути и 16,7 — для второго; в среднем $K_p = 18$, отсюда

$$\Delta Z^\circ = -4,571 \cdot 723 \lg 18 = -4148.$$

Майер [217] нашел константы равновесия при более высоких температурах (табл. 74).

Ишикава и Кимура [227] нашли ΔZ° для этой реакции из электродвижущих сил при 25° : $\Delta Z^\circ = -27445$, отсюда

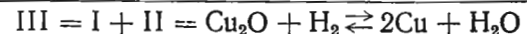
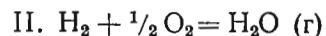
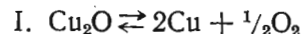
$$\lg K_p = -\frac{\Delta Z^\circ}{4,571 \cdot 298} = 20,13;$$

$$K_p = 7,47 \cdot 10^{-21}.$$

Таблица 74
 КОНСТАНТА РАВНОВЕСИЯ
 РЕАКЦИИ ВОССТАНОВЛЕНИЯ
 Cu_2O ВОДОРОДОМ [217]

Темпера- тура, $^\circ\text{C}$	$\lg K_p$	$-\Delta Z^\circ$
900	4,70	25 200
950	4,54	25 380
1000	4,40	25 600
1050	4,27	25 830

Термодинамический расчет данной реакции возможен путем сопоставления уравнений изобарного потенциала реакций:



$$\Delta Z_{\text{III}}^0 = \Delta Z_{\text{I}}^0 + \Delta Z_{\text{II}}^0.$$

Для первой реакции применимо уравнение Ланге [77] (см. стр. 29):

$$\begin{aligned} \Delta Z_{\text{I}}^0 = & +40\,630 - 1,57T \ln T + 1,58 \cdot 10^{-3} T^2 + \\ & + 0,47 \cdot 10^5 T^{-1} - 12,22T; \end{aligned}$$

для реакции образования водяного пара (см. том I, стр. 121).

$$\begin{aligned} \Delta Z_{\text{II}}^0 = & -56\,460 + 8,66T \ln T - 0,92 \cdot 10^{-3} T^2 - \\ & - 0,47 \cdot 10^5 T^{-1} - 14,62T. \end{aligned}$$

Вычисленные значения ΔZ_{III}^0 при некоторых температурах приведены в табл. 75.

Таблица 75

РАСЧЕТ ИЗМЕНЕНИЯ ИЗОБАРНОГО ПОТЕНЦИАЛА
РЕАКЦИИ ВОССТАНОВЛЕНИЯ Cu_2O
ВОДОРОДОМ. кал/моль

Темпера- тура, $^{\circ}\text{К}$	ΔZ_{I}^0	$-\Delta Z_{\text{II}}^0$	$-\Delta Z_{\text{III}}^0$
298	36130	54760	18630
723	29440	49670	20230
873	27180	47740	20560
1173	22860	43740	20880
1223	22140	43050	20910
1273	21450	42670	21220
1323	20760	41670	20910

Из термических данных и констант равновесия Рендалл, Нильсен и Вест [81] составили уравнения изобарного потенциала реакции (с резко различными константами интегрирования для данных Велера и Бальца [98] и данных Майера [217])

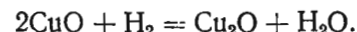
$$\begin{aligned} \Delta Z^0 = & -16\,260 + 2,21T \ln T + 0,00128T^2 + 0,038T^3 - \\ & - 24,768T \text{ (Майер);} \end{aligned}$$

$$\begin{aligned} \Delta Z^0 = & -16\,260 + 2,21T \ln T + 0,00128T^2 + 0,038T^3 + \\ & + 1,29T \text{ (Велер и Бальц).} \end{aligned}$$

По уравнению Майера $\Delta Z_{298}^0 = -21610$, а по уравнению Велера и Бальца $\Delta Z_{298}^0 = -12011$. Более надежны данные Майера, так как вычисляемый из его данных изобарный потенциал реакции $\text{Cu}_2\text{O} + \text{H}_2$ близок к найденной другими путями.

Восстановление CuO водородом

Реакция идет в первой стадии по уравнению



Начало реакции отмечено при различных температурах: 150° по Глазеру [223], 140° по С. Джону [228], 83—175° по Райту и Леффу [216].

Равновесие, измеренное Велером и Бальцем [98] (методом циркуляции), достигалось при 450°. Константа равновесия для реакции восстановления ($2\text{CuO} + \text{H}_2$) найдена равной 26,3; для реакции окисления ($\text{Cu}_2\text{O} + \text{H}_2\text{O}$) она оказалась равной 30,1.

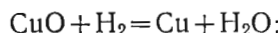
Термодинамический расчет реакции полного восстановления CuO водородом может быть проведен следующим образом. Уравнение изобарного потенциала диссоциации CuO на Cu и $\frac{1}{2}\text{O}_2$ (см. стр. 36):

$$\Delta Z_{\text{I}} = 37\,353 + 0,16T \ln T + 0,00169T^2 + 0,095T^3 - 25,082T.$$

Изобарный потенциал образования водяного пара (табл. I, стр. 121):

$$\begin{aligned} \Delta Z_{\text{II}} = & -56\,460 + 8,66T \ln T - 0,92 \cdot 10^{-3} T^2 - \\ & - 0,47 \cdot 10^5 T^{-1} - 14,62T. \end{aligned}$$

Для реакции



$$\Delta Z_{\text{III}} = \Delta Z_{\text{I}} + \Delta Z_{\text{II}} =$$

$$\begin{aligned} & = -19\,107 + 8,82T \ln T + \\ & + 0,77 \cdot 10^{-3} T^2 + 0,0695T^3 - \\ & - 0,47 \cdot 10^5 T^{-1} - 39,7T. \end{aligned}$$

Вычисленные по этому уравнению данные приведены в табл. 76.

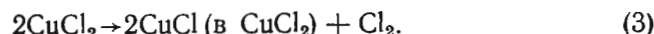
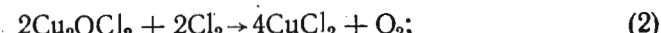
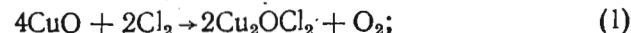
Таблица 76

РАСЧЕТ ИЗМЕНЕНИЯ
ИЗОБАРНОГО ПОТЕНЦИАЛА
РЕАКЦИИ ВОССТАНОВЛЕНИЯ CuO
ВОДОРОДОМ. кал/моль

Температура, $^{\circ}\text{К}$	ΔZ_{I}	$-\Delta Z_{\text{II}}$	$-\Delta Z_{\text{III}}$
298	30320	54760	24440
473	26430	51720	25290
573	24290	51540	27250
723	21200	49670	28470
873	18290	47740	29450

Хлорирование окиси меди

Изучением равновесия реакции $2\text{CuO}(\text{тв}) + \text{Cl}_2(\text{г}) = 2\text{CuCl}(\text{ж}) + \text{O}_2(\text{г})$ и скорости хлорирования CuO занимались Сано и Окадзима [229]. Ими найдено, что в пределах температур $418\text{--}529^\circ$ для указанной реакции $\lg K_p = -2738,9/T + 5,3601$. Авторы отмечают три стадии хлорирования:



Последние две реакции протекают одновременно.

§ 10. РЕАКЦИИ С СУЛЬФИДАМИ МЕДИ

Восстановление Cu_2S углеродом

Парравано и Мальквори [230] указали, что расчет равновесия реакции $2\text{Cu}_2\text{S} + \text{C} = 4\text{Cu} + \text{CS}_2$ можно провести следующим образом:

$$\text{I. C (аморфн)} + \text{S}_2 = \text{CS}_2 \quad K_1 = \frac{p_{\text{CS}_2}}{p_{\text{S}_2}}$$

(данные Корефа),

$$\text{II. Cu}_2\text{S} + \text{H}_2 = 2\text{Cu} + \text{H}_2\text{S} \quad K_{\text{II}} = \frac{p_{\text{H}_2\text{S}}}{p_{\text{H}_2}}$$

(данные Еллинека и Цаковского),

$$\text{III. } 2\text{H}_2\text{S} = 2\text{H}_2 + \text{S}_2 \quad K_{\text{III}} = \frac{p_{\text{H}_2}^2 \cdot p_{\text{S}_2}}{p_{\text{H}_2\text{S}}^2}$$

(по уравнению для ΔZ , приведенному в томе I, на стр. 122),

$$\text{IV} = \text{I} + \text{II} + \text{III}: \text{C (аморфн)} + 2\text{Cu}_2\text{S} = 4\text{Cu} + \text{CS}_2,$$

$$K_{\text{IV}} = K_1 \cdot K_{\text{II}}^2 \cdot K_{\text{III}} = p_{\text{CS}_2}.$$

Расчет, приведенный нами для трех температур (табл. 77), указывает на ничтожное восстановление Cu_2S углем (в отсутствии кислорода).

Таблица 77

РАСЧЕТ КОНСТАНТЫ РАВНОВЕСИЯ РЕАКЦИИ
 $\text{C аморфн} + 2\text{Cu}_2\text{S} = 4\text{Cu} + \text{CS}_2$

Температура °К	K_1	K_{II}	K_{III}	K_{IV}
1179	0,115	$3,3 \cdot 10^{-3}$	$1,42 \cdot 10^{-3}$	$1,78 \cdot 10^{-9}$
1282	0,179	$3,5 \cdot 10^{-3}$	$6,38 \cdot 10^{-3}$	$1,40 \cdot 10^{-8}$
1383	0,258	$3,9 \cdot 10^{-3}$	$2,16 \cdot 10^{-2}$	$8,48 \cdot 10^{-8}$

Восстановление Cu_2S водородом

Согласно данным ряда авторов реакция $\text{Cu}_2\text{S} + \text{H}_2 \rightleftharpoons 2\text{Cu} + \text{H}_2\text{S}$ идет при температуре 600° .

Хампе [233] нашел, что полусернистая медь восстанавливается полностью при красном калении; Филлипс и Люерсидас [234] также отметили температуру реакции 600° .

Равновесие реакции изучали Еллинек и Цаковский [142], Брицке и Капустинский [236], Булгакова и Герасимов [237] методом пропускания газа с постоянной скоростью.

Равновесные константы рассматриваемой реакции были получены Кихира и Сано [238]:

$$\lg K_p = -1429,45/T - 1,693 (650\text{--}1000^\circ).$$

Величины K_p от 800 до 1000° хорошо согласуются с данными Келли [108], а при $650\text{--}750^\circ$ — с данными Кокса и др. [239], которые также определяли константу равновесия данной реакции.

Из последних работ Вагихаши и Сато [143], изучавших равновесие реакции восстановления Cu_2S водородом, было получено

$$\lg K_p = \lg \frac{p_{\text{H}_2\text{S}}}{p_{\text{H}_2}} = -1214/T - 1,393.$$

Томпсон [117] использовав данные Еллинека и Цаковского, а также Брицке и Капустинского, составил уравнения для ΔH и ΔZ реакции восстановления $\beta\text{-Cu}_2\text{S}$ водородом:

$$\Delta H^0 = 13\,400 - 9,49T + 2,72 \cdot 10^{-3} T^2,$$

$$\Delta Z^0 = 13\,400 + 21,86T \lg T - 2,72 \cdot 10^{-3} T^2 - 63,64T,$$

откуда

$$\Delta H_{298} = 10\,810 \text{ кал/моль}, \quad \Delta Z_{298} = 10\,310 \text{ кал/моль}.$$

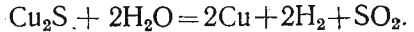
5 Я. И. Герасимов и др.

Взаимодействие Cu_2S с парами воды

Крестовников и Натансон [121] указывают, что одной из возможных реакций восстановления сульфида меди Cu_2S водяным паром является реакция Готье:

Таблица 78
КОНСТАНТЫ РАВНОВЕСИЯ РЕАКЦИИ
ВОССТАНОВЛЕНИЯ Cu_2S
ВОДЯНЫМ ПАРОМ [121]

Температура $^{\circ}\text{C}$	K_p	c
700	$1,63 \cdot 10^{11}$	$3,14 \cdot 10^{14}$
900	$0,96 \cdot 10^9$	$2,22 \cdot 10^{12}$
1100	$1,61 \cdot 10^7$	$4,37 \cdot 10^{10}$



Величины констант равновесия K_p и K_c для этой реакции приведены в табл. 78.

В расчетах констант равновесия диссоциации воды не учитывалась.

Окисление сульфидов меди

При окислительном обжиге Cu_2S образуются Cu_2O , CuO , CuSO_4 , CuS , и $\text{CuSO}_4 \cdot \text{CuO}$, а в газообразной фазе — SO_2 и SO_3 . Равновесие в этой сложной системе, состоящей из трех компонентов ($\text{Cu} — \text{S} — \text{O}$) и условия образования того или другого вещества далеко еще не изучены. Несколько исследований были посвящены лишь частному случаю (отсутствие свободного кислорода); при этом были выяснены условия существования различных твердых фаз в присутствии SO_2 .

Исследователи получили согласные результаты относительно реакции



которая играет важную роль в металлургии меди.

Хайн и Бауэр [249] нашли, что SO_2 не действует на твердую медь при $900—1000^{\circ}$; растворяясь в жидкой меди, SO_2 при затвердевании её выделяется вновь и только частично остается в меди в виде окклюдированного газа.

Зависимость давления SO_2 от температуры для приведенной выше реакции по данным Рейндерса и Гудриана [248] может быть выражена простым уравнением:

$$\lg p_{\text{SO}_2} = 8,172 - \frac{5380}{T}.$$

Вычисляемая отсюда теплота реакции равна 27598 кал.

Интересная попытка изучения реакции $\text{Cu}_2\text{S} + 2\text{Cu}_2\text{O} \rightleftharpoons 6\text{Cu} + \text{SO}_2$ в жидкой фазе и применения к ней закона действующих масс была сделана Стеббсом [247] и Сивертом и Крумхаром

Таблица 79

ТЕРМОДИНАМИЧЕСКИЕ ВЕЛИЧИНЫ НЕКОТОРЫХ РЕАКЦИЙ С СУЛЬФИДАМИ МЕДИ

ΔZ	ΔH	Реакция	Автор	Литературный источник
$\Delta Z = 31,826 + 10,427 \ln T - 0,00559 T^2 + 0,0857 T^3 - 98,827$ $\Delta Z_{298} = 19,563$	$\Delta H_{298} = 29,200$	$2\text{Cu}_2\text{O}(\text{тв}) + \text{Cu}_2\text{S} = 6\text{Cu}(\text{тв}) + \text{SO}_2(\text{г})$	Рейндерс и Гудриан	[248]
$\Delta Z = 35,600 - 25,477 \lg T + 7,6 \cdot 10^{-3} T^2 + 3,28 \cdot 10^6 + 30,287$ $\Delta Z_{298} = 27,610$	$\Delta H = 35,600 + 11,067 - 7,60 \cdot 10^{-3} T^2 + 6,56 \cdot 10^5$ $\Delta H_{298} = 40,420$	$4\text{CuSO}_4 + \text{Cu}_2\text{O} = 3(\text{CuO} \cdot \text{CuSO}_4) + \text{SO}_2$	То же	[248]
$\Delta Z = 41,900 - 25,477 \lg T + 7,60 \cdot 10^{-3} T^2 + 3,28 \cdot 10^5 T^{-1} + 16,78 \cdot 10^{-3} T^2 + 4,49 \cdot 10^5 T^{-1} - 39,177 \lg T + 16,78 \cdot 10^{-3} T^2 + 4,49 \cdot 10^5 T^{-1} + 39,177 \lg T + 16,78 \cdot 10^{-3} T^2 + 4,49 \cdot 10^5 T^{-1} - 29,427$ $\Delta Z_{298} = 119,300$	$\Delta H = 41,900 + 11,067 - 7,60 \cdot 10^{-3} T^2 + 6,56 \cdot 10^5 T^{-1} + 8,979 \cdot 10^5 T^{-1} + 151,500 + 17,017 - 16,78 \cdot 10^{-3} T^2 + 8,979 \cdot 10^5 T^{-1} + 154,000 - 17,017 - 16,78 \cdot 10^{-3} T^2 + 8,979 \cdot 10^5 T^{-1} + 119,300$ $\Delta H_{298} = 160,590$	$\text{CuO} \cdot \text{CuSO}_4 = 4\text{CuO} \cdot \text{CuSO}_4 + 2\text{SO}_2 + \text{O}_2$	» »	[248]
$\Delta Z = 46,063 + 7,297 \ln T - 0,00367^2 + 0,0627^3 - 146,417$ $\Delta Z_{298} = 14,494$	$\Delta H_{298} = 44,176$	$3\text{CuS} + \text{CuSO}_4 = 2\text{Cu}_2\text{S}(\beta) + 2\text{SO}_2$	Рейндерс и Гудриан Шенк и Хемпельман	[248, 246]
$\Delta Z = 43,109 + 6,397 \ln T - 0,00367^2 + 0,0627^3 - 147,917$ $\Delta Z_{298} = 9,569$	$\Delta H_{298} = 41,490$	$3\text{CuS} + \text{CuSO}_4 = 2\text{Cu}_2\text{O} + \text{SO}_2$	То же	[248, 246]
$\Delta Z = 32,000 - 16,777 \lg T + 6,98 \cdot 10^{-3} T^2 + 1,022 \cdot 10^5 T^{-1} - 12,527$	$\Delta H = 32,000 + 7,287 - 6,98 \cdot 10^{-3} T^2 + 2,045 \cdot 10^5 T^{-1}$	$3\text{Cu} + \text{CuSO}_4 = 2\text{Cu}_2\text{O} + \text{SO}_2$	Рейндерс и Гудриан	[248]

68 РЕАКЦИИ ПРЯМОГО ВОССТАНОВЛЕНИЯ, ОКИСЛЕНИЯ И ХЛОРИРОВАНИЯ

[218]. Они нашли, что растворимость SO_2 в жидкой меди при $1123-1327^\circ$ растет с температурой согласно уравнению:

$$\sqrt{p} = km,$$

где m — число растворенных молей SO_2 .

Термодинамические данные для других реакций с сульфидами меди приведены в табл. 79.

§ 11. РЕАКЦИИ С ХЛОРИДАМИ МЕДИ

Восстановление CuCl водородом

Константы равновесия реакции восстановления $\text{CuCl}(\text{ж})$ и $\text{CuCl}(\text{тв.})$ водородом по данным различных авторов приведены в табл. 80 и 81.

Таблица 80

КОНСТАНТА РАВНОВЕСИЯ РЕАКЦИИ
 $2\text{CuCl}(\text{ж}) + \text{H}_2 \rightleftharpoons 2\text{Cu}(\text{ж}) + 2\text{HCl}(\text{г})$

$T^\circ\text{K}$	$\lg K_p$	Автор	Литературный источник
709	-0,066	Ватанабе	[193]
720	-0,855	Еллинек и Улот	[241]
743	-0,393	Багдасарян	[242]
758	-0,302	Багдасарян	[242]
773	0,030	Еллинек и Улот	[241]
780	0,243	Ватанабе	[193]
786	-0,206	Багдасарян	[242]
825	0,395	Ватанабе	[193]
833	0,041	Багдасарян	[242]
868	0,595	Ватанабе	[193]
875	0,140		
885	0,237		
890	0,185	Багдасарян	[242]
890	0,240		
894	0,244		
938	0,732	Ватанабе	[193]
976	0,539	Багдасарян	[242]
999	0,871	Ватанабе	[193]
1043	0,755		
1110	0,841		
1178	0,977	Багдасарян	[242]
1190	1,008		
1223	1,087		

РЕАКЦИИ С ХЛОРИДАМИ МЕДИ

Таблица 81
КОНСТАНТА РАВНОВЕСИЯ РЕАКЦИИ $2\text{CuCl}_{(\text{тв.})} + \text{H}_2 \rightleftharpoons 2\text{Cu}_{(\text{тв.})} + 2\text{HCl}_{(\text{г})}$

$T^\circ\text{K}$	$\lg K_p$	Автор	Литературный источник
577	-1,301		[193]
593	-1,229	Капустинский	[240]
627	-0,740	Ватанабе	[193]
639	-0,767		
663	-0,554	Капустинский	[240]
674	-0,286	Ватанабе	[193]

Восстановление CuCl окисью углерода

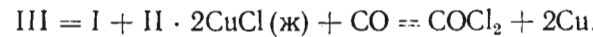
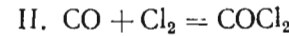
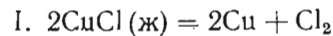
Таблица 82

КОНСТАНТА РАВНОВЕСИЯ РЕАКЦИИ ВОССТАНОВЛЕНИЯ CuCl ОКИСЬЮ УГЛЕРОДА [243]

Температура, $^\circ\text{C}$	$K_p = \frac{p_{\text{COCl}_2}}{p_{\text{CO}}}$
450	$0,17 \cdot 10^{-2}$
500	$0,25 \cdot 10^{-2}$
550	$0,51 \cdot 10^{-2}$

Опытное исследование равновесия реакции $2\text{CuCl} + \text{CO} = \text{COCl}_2 + 2\text{Cu}$ проведено Белладеном и др. [243], на шедшими динамическим методом (пропускание CO над CuCl) константы равновесия (экстраполированные к нулевой скорости), приведенные в табл. 82.

Константы равновесия можно найти и косвенным путем, комбинируя данные для простейших реакций:



$$K_{\text{I}} = p_{\text{Cl}_2}; \quad K_{\text{II}} = p_{\text{COCl}_2}/p_{\text{CO}} \cdot p_{\text{Cl}_2};$$

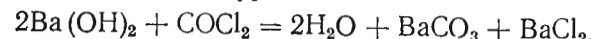
$$K_{\text{III}} = K_{\text{I}} \cdot K_{\text{II}} = p_{\text{COCl}_2}/p_{\text{CO}}.$$

Сравнение вычисленных значений K_{III} (табл. 83) с опытными величинами обнаруживает их полное расхождение. Белладен и др. [243] объясняют это расхождение тем, что металлическая медь катализически разлагает окись углерода, получающуюся CO_2 диссоциирует, кислород вытесняет хлор и т. д.

Таблица 83
ВЫЧИСЛЕННЫЕ КОНСТАНТЫ
РАВНОВЕСИЯ
РЕАКЦИИ ВОССТАНОВЛЕНИЯ CuCl
ОКИСЬЮ УГЛЕРОДА

Температура, °C	$\lg K_{III}$
450	-13,368
550	-12,051
650	-11,019

количество образующегося BaCO_3 значительно превышает то, что могло образоваться по уравнению



т. е. в газах имеется и свободная CO_2 .

Восстановление CuCl_2 водородом

Равновесие реакции $2\text{CuCl}_2 + \text{H}_2 = 2\text{CuCl} + 2\text{HCl}$ изучалось Еллинеком и Коппом [213] методом постоянного тока газа.

Из полученных констант $K_p = p_{\text{HCl}}^2 / p_{\text{H}_2}$ (табл. 84) вычислено давление диссоциации CuCl_2 . Полный термодинамический

расчет сродства и констант равновесия затруднителен вследствие отсутствия надежных данных по теплоемкостям CuCl_2 и CuCl .

Таблица 84
КОНСТАНТА РАВНОВЕСИЯ
РЕАКЦИИ
ВОССТАНОВЛЕНИЯ
 CuCl_2 ВОДОРОДОМ [213]

Температура, °C	$\lg K_p$
251	0,3221
325	0,2049
397	0,6717

Окисление CuCl_2

По исследованиям Еллинека и Рудата [244] реакция протекает в две стадии:

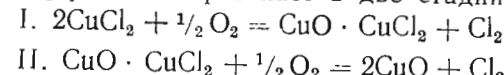
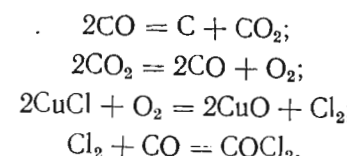


Таблица 85
КОНСТАНТА РАВНОВЕСИЯ
РЕАКЦИИ
 $2\text{CuCl}_2 + \frac{1}{2}\text{O}_2 = \text{CuO} \cdot \text{CuCl}_2 + \text{Cl}_2$

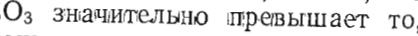
Температура, °C	$\lg K$	
	Еллинек [244]	Корфезе [275]
300	3,0416	3,526
350	3,9253	3,959
450	2,6965	2,679

Для обеих реакций найдены равновесные концентрации Cl_2 , из которых можно вычислить константы равновесия.

Корфезе [245] повторил опыт Еллинека и Рудата для реакции (I) при 408 и 447°, его результаты (табл. 85) совпадают с данными Еллинека.



в результате чего увеличивается концентрация фосгена. Для подтверждения своего предположения они улавливали CO_2 и COCl_2 едким барием и, определяя BaCO_3 и Cl^- , нашли, что количество образующегося BaCO_3 значительно превышает то, что могло образоваться по уравнению



т. е. в газах имеется и свободная CO_2 .

Глава III

ТЕРМОДИНАМИЧЕСКИЕ СВОЙСТВА СВИНЦА И ЕГО ВАЖНЕЙШИХ СОЕДИНЕНИЙ

§ 12. СВИНЕЦ МЕТАЛЛИЧЕСКИЙ

Кристаллическая структура, плотность и температура плавления

$M=207,21$; тип структуры А-1 (гранецентрированная кубическая). Параметр решетки при 25° (экстраполированный к абсолютно чистому металлу) $a=4,9396 \text{ \AA}$.

Плотность. Значения плотности твердого свинца у ряда авторов [1—11] колеблются в пределах 11,273—11,48 g/cm^3 .

Плотность жидкого свинца в зависимости от температуры следующая (по данным Дэя, Сосмана и Хостеттера [12]):

Температура, °C	327	350	400	450	500
Плотность, g/cm^3	10,686	10,658	10,597	10,536	10,477
Температура, °C	550	600	700	800	
Плотность, g/cm^3	10,418	10,359	10,245	10,132	

Температура плавления. Для металлургических расчетов температура плавления свинца может быть принята равной 327°.

Давление насыщенного пара

Давление насыщенного пара свинца или температуры его кипения измеряли многие авторы (табл. 86).

Келли, а также Стелл и Синке считают данные Лейтгебеля [25], Эджертона [13], Вартенберга [14], Ингольда [15], Руфа и Бергдаля [18] и Гринвуда [19] завышенными. Наибольшее значение придается данным Родебуша и Диксона [16].

Сглаженные величины давления пара свинца [28]:

$t, ^\circ\text{C}$	973	1099	1162	1234	1309	1358	1421	1519	1630	1744
$P, \text{мм рт. ст.}$	1	2	10	20	40	60	100	200	400	760

Уравнения зависимости давления насыщенного пара свинца от температуры дали Гринвуд [19], Ван-Лимпт [22], Джонстон [23], Эджертон [13], Ингольд [15], Гильдебранд [17], Ван-Аркель

[29], Баур и Бруннер [30]. По Родебушу и Диксону [16] для низких температур

$$\lg P \text{ (мм рт. ст.)} = -\frac{10372}{T} + 11,35;$$

для температур ниже 900°

$$\lg P \text{ (мм рт. ст.)} = -\frac{10100}{T} - 0,65 \lg T + 10,05;$$

Таблица 86

ДАВЛЕНИЕ НАСЫЩЕННОГО ПАРА СВИНЦА

<i>t</i> , °C	<i>P</i> , мм рт. ст.	Литературный источник	<i>t</i> , °C	<i>P</i> , мм рт. ст.	Литературный источник
526,8	$2,3 \cdot 10^{-5}$	[13]	1218,6	16,85	[16]
564,6	$1,2 \cdot 10^{-4}$	[13]	1234,8	19,70	[16]
600,8	$3,0 \cdot 10^{-4}$	[13]	1259,8	41,4	[15]
705,3	$6,0 \cdot 10^{-2}$	[13]	1263,5	25,81	[16]
727,5	$1,05 \cdot 10^{-2}$	[13]	1275	73	[18]
772,3	$2,59 \cdot 10^{-2}$	[13]	1315	105	[19]
808	0,08	[14]	1318	50,4	[30]
919	0,49	[15]	1323,8	48,5	[16]
926,8	0,435	[13]	1338	88,51	[15]
996	1,75	[14]	1339,8	90,3	[15]
999,8	1,77	[15]	1400	99,6	[30]
1056	3,0	[30]	1410	266	[19]
1069,8	4,75	[15]	1415	289	[18]
1080	3,9	[31]	1525	760	[20]
1117,8	5,70	[16]	1525	760	[19]
1119	6,5	[31]	1555	758	[18]
1134,8	6,80	[16]	1580 ± 20	760	[14]
1139,8	11,3	[15]	1600	760	[21]
1150,8	8,25	[16]	1613	766	[22]
1154	10,0	[31]	1619	760	[16]
1167,8	9,86	[16]	1630	760	[14]
1178	16,8	[14]	1640	760	[23]
1178	12,6	[30]	1700	760	[24]
1180	11,0	[16]	1740 ± 10	760	[25]
1184,8	11,82	[16]	1870	760	[26]
1191,8	14,21	[16]		6,3 ат	[19]
1204	16,5	[31]	2100	12,7 ат	[19]
1217,8	16,70	[16]	2870	93 ат	[27]

для более высоких температур

$$\lg P \text{ (мм рт. ст.)} = -\frac{9854}{T} + 7,822.$$

Теплоемкость, теплоты плавления и испарения

Теплоемкость. Истинная и средняя теплоемкости твердого свинца по данным различных авторов приведены в табл. 87, 88 и 89.

Таблица 87

ИСТИННАЯ ТЕПЛОЕМКОСТЬ ТВЕРДОГО СВИНЦА

Температура °C	Температура °K	Теплоемкость		Автор	Литера- турный источник
		удельная кал/г	атомная кал/г-атом		
-270,2	3	—	0,0233		
-269,2	4	—	0,0545		
-267,2	6	—	0,178		
-265,2	8	—	0,406		
-263,2	10	—	0,726		
-261,2	12	—	1,09		
-259,2	14	—	1,53		
-258,2	14,3	0,0075	1,56	Кезом, Онес	[33]
-257,2	16	—	1,91	Кезом, Энде	[32]
-257,1	16,1	0,0090	1,867	Эйкен, Шверс	[34]
-256,8	16,4	0,0096	1,99	Кезом, Онес	[33]
-255,2	18	—	2,25	Кезом, Энде	[32]
-254,8	18,4	0,0116	2,41	Кезом, Онес	[33]
-254,2	19,0	0,0113	2,354	Эйкен, Шверс	[34]
-253,2	20,0	—	2,62	Кезом, Энде	[32]
-251,9	21,3	0,0134	2,770	Эйкен, Шверс	[34]
-250	23,2	0,0143	2,96	Гриффитс	[35]
-249,6	23,6	0,0153	2,166	Эйкен, Шверс	[34]
-247,6	25,6	0,0169	3,510	Эйкен, Шверс	[34]
-245,6	27,6	0,0174	3,60	Кезом, Онес	[33]
-242,9	30,3	0,0197	4,80		
-232,9	40,3	0,0238	4,081	Эйкен, Шверс	[34]
-227,2	46,0	0,0238	4,94	Кезом, Онес	[33]
-225,7	47,5	0,0248	5,131	Эйкен, Шверс	[34]
-218,6	54,6	0,0257	5,333		
-292,5	70,7	0,0276	5,72	Кезом, Онес	[33]
-200	73,2	0,0267	5,53	Нернст	[36]
-187,0	86,2	0,0279	5,790	Эйкен, Шверс	[34]
-133,0	140,2	0,0288	5,97	Гриффитс	[35]
-100	173,2	0,0292	6,05		
0	273,2	0,0305	6,31	Нернст	[36]
0	273,2	0,0300	—	Бартенев	[72]
2,0	275,2	0,0307	6,365	Эйкен, Шверс	[34]
15	288,2	0,0299	6,19	Наккари	[37]
18	291,2	0,0308	6,39	Егер	[38]
25	298,16	—	6,32		
27	300	—	6,33		
27	300,2	0,0305	6,32	Гриффитс	[35]
50	323,2	0,0312	6,46	Клинкхард	[39]
50	323,2	0,03040	—	Наккари	[37]
	325	—	6,38		
	350	—	6,44		
100	373,2	0,03155	6,53	Егер	[38]
100	373,2	0,03108	—	Наккари	[37]

Продолжение табл. 87

Температура		Теплоемкость		Автор	Литературный источник
°C	°K	удельная кал/г	атомная кал/г-атом		
100	373,2	0,0320	6,64	Клинхард	[39]
100	373,2	0,0324	—	Бартенев	[72]
	375	6,50	6,56	Дуглас, Девер	[85]
	400	6,56			
142	415,2	0,0368	—	Бартенев	[72]
150	423,2	0,03176	—	Наккари	[37]
150	423,2	0,0329	6,81	Клинхард	[39]
	425	6,62	6,68	Дуглас, Девер	[85]
	450	6,68			
200	473,2	0,03243	—	Наккари	[37]
200	473,2	0,0338	7,00	Клинхард	[39]
200	473,2	0,0343	—	Бартенев	[72]
200	473,2	—	6,136	Бронсон и Вильсон	[57]
	475	—	6,73	Дуглас, Девер	[85]
	500	—	6,79		
250	523,2	0,0346	7,11	Клинхард	[39]
250	523,2	0,03312	—	Наккари	[37]
250	523,2	—	6,240	Бронсон и Вильсон	[57]
	525	—	6,85	Дуглас и Девер	[85]
	550	—	6,91		
300	573,2	0,0356	7,37	Клинхард	[39]
300	573,2	0,0338	7,00	Наккари	[37]
300	573,2	0,0363	—	Бартенев	[72]
300	573,2	—	6,344	Бронсон и Вильсон	[57]
	575	—	6,97	Дуглас, Девер	[85]
	600,6	—	7,03		
327	600,2	0,0362	7,50	Клинхард	[39]
327	600,2	0,0358	7,41	Иитака	[40]
327	600,2	0,0340	7,04		
327	600,2	0,0264	5,47	Вюст, Мейтен, Дюррер	[59]
327,6	600,2	макс.	—	Бартенев	[72]

Таблица 88

СРЕДНЯЯ ТЕПЛОЕМКОСТЬ ТВЕРДОГО СВИНЦА					
Пределы темпера-		Теплоемкость		Автор	Литера-
от	до	удельная кал/г	атомная кал/г-атом		
—253	—196	0,0240	4,69	Дьюар	[41]
—186	—79	0,0291	6,0	Беен	[42]
—183	—74	0,0294	6,08	Баршал	[43]
—190	—17	0,0286	5,92	Шимпф	[44]
—182	0	0,02889	5,99	Тэйлор, Ринкенлаш	[45]
—188	+20	0,0300	6,21	Рихардс, Джексон	[46]
—182	+79	0,02943	6,10	Тэйлор, Ринкенлаш	[45]
—76	—3	0,0303	6,22	Кореф	[47]
—79	+17	0,0292	6,05	Шимпф	[44]
	19	0,0315	6,52	Копп	[48]
	0	0,03151	6,52	Томлинсон	[49]
	17	0,0310	6,42	Шимпф	[44]
	18	0,0306	6,34	Шюбель (по данным Беда)	[82]
	18	100	0,0299	Шюбель (по данным Шпринга)	[82]
	18	100	0,0307	Шюбель (по данным Наккари)	[82]
	18	100	0,0317	Шюбель (по данным Магнуса)	[82]
	18	100	0,0326	Шюбель	[82]
	20	100	0,0309	Магнус	[50]
	20	100	0,03046	Шмидц	[51]
	17	108	0,03050	Шпринг	[52]
	0	159	0,0313	Иитака	[40]
	0	203	0,0312	То же	[40]
	13	191	0,03195	Шпринг	[52]
	18	198	0,0317	Глазер	[53]
	18	200	0,03026	Шюбель (по данным Беда)	[82]
	18	200	0,0312	Шюбель (по данным Наккари)	[82]
	18	200	0,0317	Шюбель (по данным Магнуса)	[82]
	18	200	0,0317	Шюбель	[82]
	16	256	0,0319	Магнус	[50]
	0	304	0,0320	Иитака	[40]
	0	—	0,03437	Шпринг	[52]
	18	300	0,0327	Шюбель (по данным Беда)	[82]
	18	300	0,0326	Шюбель	[82]
	18	380	0,0471	Глазер	[53]

Таблица 89

ТЕПЛОЕМКОСТЬ СВИНЦА [84]
кал/г-атом

$T, ^\circ K$	C_P						
298	6,32	1000	7,03	1700	6,51	2400	6,74
300	6,93	1100	6,95	1800	6,43	2500	6,95
400	6,56	1200	6,86	1900	6,36	2600	7,17
500	6,79	1300	6,80	2000	6,29	2700	7,37
600	7,02	1400	6,73	2100	6,10	2800	7,57
700	7,25	1500	6,66	2200	6,30	2900	7,76
800	7,17	1600	6,58	2300	6,52	3000	7,93
900	7,10						

В табл. 90 приведены уравнения зависимости мольной и удельной теплоемкости твердого свинца от температуры.

Таблица 90

ЗАВИСИМОСТЬ ТЕПЛОЕМКОСТИ ТВЕРДОГО СВИНЦА ОТ ТЕМПЕРАТУРЫ

Уравнение	Авторы	Литературный источник
$C_P = 5,92 + 3,92 \cdot 10^{-3}t$	Бед	[54]
$C_P = 0,0286 + 0,0419t$		
$C_P = 5,38 + 2,814 \cdot 10^{-3}t$	Наккари	[37]
$C_P = 0,0297 + 0,041358t$		
$C_P^{*1} = 7,50 + 3 \cdot 10^{-3}t - 2,7 \cdot 10^{-6}t^2$	Гриффитс	[55]
$C_P = 0,03020 (1 + 0,034t - 0,036t^2)$		
$C_P^{*2} = 5,97 - 4,4 \cdot 10^{-3}t + 1,61 \cdot 10^{-5}t^2$	Герасимов и Крестовников по данным Шпринга и Шюбеля	[56]
$C_P^{*3} = 5,77 + 2,02 \cdot 10^{-3}t$	Келли	[83]
$C_P^{*4} = 5,72 + 2,08 \cdot 10^{-3}t$	Бронсон и Вильсон	[57]

^{*1} В пределах 0—100° С.^{*2} В пределах 15—300° С.^{*3} В пределах 273—600,5° К.^{*4} В пределах 193—383° К. Этим уравнением рекомендуют пользоваться Брицке, Капустинский и др. [86].

Данные, полученные для теплоемкости жидкого свинца, сильно колеблются. Величина $C_P = 6,8$ кал/г-атом довольно хорошо отражает данные опыта и может быть принята с погрешностью в пределах $\pm 5\%$.

Теплота плавления. Данные различных авторов [39, 40, 52, 53, 60—72] по теплоте плавления свинца колеблются в пределах 990—1340 кал/моль.

Из приведенных у Келли [79] температурных зависимостей теплоты испарения и теплоты возгонки свинца получено уравнение для зависимости теплоты плавления свинца от температуры:

$$L_{пл} = 970 + 1,03T - 1,01 \cdot 10^{-3}T^2$$

при $327^\circ L_{пл} = 1225$ кал.

Этой величиной рекомендуем пользоваться для металлургических расчетов.

Теплота испарения. Данные различных авторов [74—80] по теплоте испарения свинца колеблются в пределах 36050—47500 кал/моль. Для металлургических расчетов можно принять рекомендацию Стелла и Синке [84], которые предлагают для $298^\circ L_{исп} = 46\ 800$ кал/моль, а для $2024^\circ K L_{исп} = 42\ 880$ кал/моль.

Келли [79] дает для зависимости теплоты испарения от температуры следующее уравнение:

$$L_{исп} = 45\ 750 - 1,83T.$$

Ниже приводится уравнение зависимости теплоты возгонки свинца от температуры, составленное Келли на основании давлений пара и теплоемкостей:

$$L_{возг} = 46\ 720 - 0,80T - 1,01 \cdot 10^{-3}T^2.$$

Энтальпия, энтропия, изобарные потенциалы, функции Φ' и Φ''

Энтальпия. Величины $H_T - H_0 = \int_0^T C_P dT$, основанные на опытной кривой теплоемкости твердого свинца, были вычислены в работе Митинг [191] (табл. 91).

Для высоких температур энтальпия свинца приведена в табл. 92.

Таблица 91
ЭНТАЛЬПИЯ ТВЕРДОГО СВИНЦА, кал/моль [191]

$T, ^\circ K$	$H_T - H_0$						
10	(1,74)	140	665	260	1402	420	(2437)
20	18,2	150	725	270	1466	440	(2570)
30	52,4	160	785	273,1	(1467)	460	(2705)
40	97,1	170	845	280	1529	480	(2841)
50	147	180	906	290	1593	500	(2977)
60	201	190	967	298,1	(1625)	520	(3115)
70	256	200	1028	300	1636	540	(3253)
80	313	210	1090	320	1784	560	(3392)
90	371	220	1152	340	1913	580	(3532)
100	429	230	1214	360	2042	600	(3776)
110	483	240	1277	380	2173		
120	546	250	1339	400	2304		
130	605						

Примечание. В скобках указаны недостаточно достоверные величины.

Таблица 92
ЭНТАЛЬПИЯ СВИНЦА [84], кал/моль

$T, ^\circ K$	$H_T - H_{298}$	$T, ^\circ K$	$H_T - H_{298}$	$T, ^\circ K$	$H_T - H_{298}$
Твердый		1100	6723	Газообразный	
298	0	1200	7415		
300	12	1300	8100	2100	56165
400	656	1400	8780	2200	56785
500	1324	1500	9450	2300	57430
600	2014	1600	10110	2400	58090
		1700	10760	2500	58770
		1800	11410	2600	59480
Жидкий		1900	12050	2700	60210
700	3884	2000	12680	2800	60950
800	4605			2900	61720
900	5318			3000	62500
1000	6024				

Энтропия. Рекомендованной величиной энтропии свинца в современной справочной литературе является $S^0_{298} = 15,49 \pm 0,05$. Экстраполяция ниже 3° вносит в эту величину только $0,007$ кал/град.

В табл. 93 приведена энтропия свинца по Стеллу и Синке [84].

Таблица 93
ЭНТРОПИЯ СВИНЦА [84], кал/моль·град

$T, ^\circ K$	S^0_T	$T, ^\circ K$	S^0_T	$T, ^\circ K$	S^0_T	$T, ^\circ K$	S^0_T
Твердый		1200	26,97	500	44,46	2000	51,53
298	15,49	1300	27,51	600	45,36	2100	51,82
300	15,53	1400	28,02	700	46,13	2200	52,11
400	17,38	1500	28,48	800	46,79	2300	52,39
500	18,87	1600	28,91	900	47,38	2400	52,67
600	20,13	1700	29,30	1000	47,90	2500	52,95
		1800	29,67	1100	48,38	2600	53,23
		1900	30,02	1200	48,81	2700	53,51
		2000	30,34	1300	49,22	2800	53,78
Жидкий		1400	49,59	2900	54,05		
700	23,15	1500	49,95	3000	54,31		
800	24,11	1600	50,29				
900	25,00	298	41,89	1700	50,61		
1000	25,70	300	41,92	1800	50,92		
1100	26,37	400	43,35	1900	51,23		
Газообразный							

По рекомендованной величине для теплоты плавления свинца (1225 кал) получаем для энтропии плавления $\Delta S_{пл} = 2,038$ кал/моль·град. Принимая для теплоты испарения величину 42059 кал получаем $\Delta S_{исп} = 20,82$ кал/моль·град.

Для расчета энтропий свинца при различных температурах используем уравнения Келли для теплоемкостей твердого и жидкого свинца и $L_{пл} = 1225$, из которых следует:

Pb (тв):

$$S_T^0 = -18,01 + 13,29 \lg T + 2,02 \cdot 10^{-3} T;$$

Pb (ж):

$$S_T^0 = -21,24 + 15,66 \lg T.$$

Изменение изобарного потенциала. Принимаем следующие уравнения теплоемкостей свинца в различных фазовых состояниях (по Келли):

Pb (тв):

$$C_P = 5,77 + 2,02 \cdot 10^{-3} T;$$

Pb (ж):

$$C_P = 6,80;$$

Pb (г): $C_P = 4,97$;

$$T_{пл} = 600,5^\circ K, L_{пл} = 1225 \text{ кал/моль};$$

$$T_{исп} = 2017^\circ K, L_{исп} = 42059 \text{ кал/моль}.$$

Исходя из этих данных получаем для $Pb(\text{ж}) = Pb(\text{г})$:

$$\Delta Z^\circ = 45\,743 + 4,215T \lg T - 36,35T,$$

$$\Delta Z_{2017^\circ} = 523 \text{ кал.}$$

В табл. 94 и 95 приведены значения функций Φ' и Φ'' .

Таблица 94

ФУНКЦИЯ Φ' ДЛЯ СВИНЦА

Темпера- тура, $^{\circ}\text{C}$	Φ'						
0	9,55	327	13,84	700	18,60	1200	20,10
25	10,04	400	15,07	800	18,95	1400	20,90
100	11,28	500	16,09	900	19,35	1600	21,50
200	12,64	600	17,11	1000	19,97	1744	22,06

ФУНКЦИЯ Φ'' ДЛЯ СВИНЦА [84]

Таблица 95

Темпера- тура, $^{\circ}\text{K}$	Φ''						
<i>Твердый</i>		1200	20,79	500	42,46	1900	46,93
298	15,49	1300	21,28	600	42,86	2000	47,15
300	15,49	1400	21,75	700	43,28	2100	47,37
400	15,74	1500	22,18	800	43,68	2200	47,58
500	16,23	1600	22,59	900	44,06	2300	47,77
600	16,78	1700	22,97	1000	44,42	2400	47,97
		1800	23,33	1100	44,76	2500	48,17
		1900	23,68	1200	45,08	2600	48,36
<i>Жидкий</i>		2000	24,00	1300	45,39	2700	48,55
700	17,59	<i>Газообразный</i> ¹	1400	45,67	2800	48,73	
800	18,35		1500	45,95	2900	48,91	
900	19,09	298	41,89	1600	46,21	3000	49,09
1000	19,68	300	41,89	1700	46,45		
1100	20,26	400	42,09	1800	46,69		

¹ Идеальныйmonoатомный газ.

§ 13. СЕРНИСТЫЙ СВИНЕЦ PbS

Кристаллическая структура, плотность, температура плавления

Кристаллическая структура PbS ($M = 239,276$) относится к типу B1; параметр решетки $a = 5,91 \text{ \AA}$. В элементарной ячейке 4 молекулы.

Данные о плотности сернистого свинца у ряда авторов колеблются в пределах $7,115$ — $7,70 \text{ г/см}^3$.

Температуру плавления PbS рекомендуется принимать равной 1110°C [87, 88].

Давление насыщенного пара

Опытные данные Шенка и Альберса [183], определявших давление насыщенного пара PbS при температурах 850 — 995°C , приведены в табл. 96.

Таблица 96

ДАВЛЕНИЕ НАСЫЩЕННОГО ПАРА PbS [183]

Темпера- тура, $^{\circ}\text{C}$	Давление мм рт. ст.						
850	2,0	940	6,0	980	12,9	981	13,0
917	4,0	968	10,5	980	13,0	995	17,0
932	5,4	975	11,9	980	13,4		

Сглаженные величины давления пара PbS из книги Стелла [28]:

$$t, ^\circ\text{C} \dots \quad 852 \quad 928 \quad 975 \quad 1005 \quad 1048 \quad 1074 \quad 1108 \quad 1160 \quad 1221 \quad 1281 \\ P, \text{мм рт. ст.} \quad 1 \quad 2 \quad 10 \quad 20 \quad 40 \quad 60 \quad 100 \quad 200 \quad 400 \quad 760$$

Для зависимости давления насыщенного пара PbS от температуры Келли предлагает уравнение

$$\lg P = -13\,300 T^{-1} - 0,81 \lg T + 14,85 (248 - 1200^\circ\text{K}).$$

Теплоемкость, теплоты плавления и возгонки

Теплоемкость. Средняя и истинная теплоемкости PbS приведены в табл. 97 и 98.

Таблица 97

СРЕДНЯЯ ТЕПЛОЕМКОСТЬ PbS

Интервал температур $^{\circ}\text{C}$	Средняя тепло- емкость		Литератур- ный источник	Интервал температур $^{\circ}\text{C}$	Средняя тепло- емкость		Литератур- ный источник
	удельная	моль- ная			удельная	моль- ная	
16—51	0,0490	11,63	[48]	0—400	0,0520	12,42	[92]
13—99	0,05086	12,17	[90]	16—400	0,0515	12,32	[93]
15—100*	0,0529	12,66	[91]	0—500	0,0526	12,55	[92]
15—100**	0,0557	13,33	[91]	15—500	0,0548	13,21	[93]
15—100***	0,117	28,0	[91]	0—600	0,0540	12,92	[92]
0—100	0,0500	11,96	[92]	15—600	0,0570	13,64	[93]
0—300	0,0526	12,55	[92]	15—800	0,0600	14,36	[93]

* Сплавленный.

** Кристаллический.

*** Аморфный.

Таблица 98
ИСТИННАЯ ТЕПЛОЕМКОСТЬ PbS

Темпера- тура °K	C_p		Литератур- ный исто- рник	Темпера- тура °K	C_p		Литератур- ный исто- рник
	удельная	мольная			удельная	мольная	
<i>Свинцовый блеск</i>							
63,9	0,0322	7,71	[94]	156,3	—	10,82	[96]
81,8	0,0368	8,80	[94]	172,1	—	11,24	[96]
100,2	—	9,53	[94]	201,9	—	11,36	[96]
114,4	0,0413	9,88	[94]	218,7	—	11,48	[96]
124,4	—	10,10	[94]	232,7	—	11,53	[96]
155,2	—	10,90	[94]	247,5	—	11,55	[96]
161,8	0,0453	10,84	[94]	271,3	—	11,76	[96]
180,2	—	11,3	[94]	280,4	—	11,78	[96]
196,9	—	11,50	[94]	282,6	—	11,74	[96]
237,2	—	11,86	[94]	289,4	—	11,75	[96]
363,9	—	12,16	[94]	<i>Синтетический возгоненный в вакууме</i>			
373,2	0,04658	11,14	[95]	54,0	—	6,530	[96]
473,2	0,04720	11,29	[95]	57,3	—	6,762	[96]
573,2	0,04784	11,14	[95]	61,1	—	7,078	[96]
623,2	0,04811	11,51	[95]	64,2	—	7,483	[96]
<i>Галенит</i>							
53,7	—	6,626	[96]	76,2	—	8,206	[96]
56,5	—	6,700	[96]	103,8	—	9,511	[96]
63,0	—	7,338	[96]	126,4	—	10,24	[96]
75,6	—	8,167	[96]	147,4	—	10,68	[96]
89,2	—	8,950	[96]	215,7	—	11,47	[96]
108,1	—	9,634	[96]	233,7	—	11,50	[96]
138,2	—	10,51	[66]	281,7	—	11,87	[96]

В справочнике Брицке, Капустинского и др. [86] в качестве рекомендованного приводится уравнение

$$C_p = 10,63 + 4,01 \cdot 10^{-3}T \text{ (3%, } 273 - 873^\circ\text{K).}$$

Келли [97] дает для теплоемкости PbS следующие уравнения: для PbS (тв.):

$$C_p = 10,66 + 3,92 \cdot 10^{-3}T \text{ (3%, } 298 - 900^\circ\text{K);}$$

для PbS (г):

$$C_p = 8,92 - 0,49 \cdot 10^5 T^{-2}.$$

Теплота плавления. Для металлургических расчетов можно принимать теплоту плавления сернистого свинца $L_{\text{пл}} = 4150 \text{ кал/моль}$ [70, 86].

Таблица 98

Теплота возгонки. Большинство справочников рекомендуют при $25^\circ L_{\text{возг}} = 60220 \text{ кал/моль}$ [86, 87, 88].

Энтальпия, энтропия и функции Φ' и Φ''

Энтальпия. Значения энтальпии PbS (крист) и PbS (г), помещенные в табл. 99 и 100, были рассчитаны из уравнений Келли для теплоемкостей и $H_T - H_{298}$ для PbS (крист) и PbS(г).

Таблица 99

ЭНТАЛЬПИЯ PbS (крист.), кал/моль

T°K	$H_T - H_{273}$	$H_T - H_{298}$
273	0	-297
298	297	0
373	1200	903
473	2426	2129
573	3697	3400
673	5306	5009
773	6356	6059
873	7745	7448

Таблица 100

ЭНТАЛЬПИЯ PbS (г.), кал/моль

T, °K	$H_T - H_{298}$	T, °K	$H_T - H_{298}$
273	-209	1073	6794
298	0	1273	8498
373	635	1473	10249
473	1500	1673	12125
573	2373	1873	13902
673	3251	2073	15689
873	5019		

Энтропия. Рекомендованная величина энтропии PbS (крист.).

$$S_{298}^0 = 21,8 \pm 0,6 \text{ кал/моль} \cdot \text{град.}$$

С помощью уравнения Келли для теплоемкости PbS (см. стр. 82) находим:

$$S_T = -40,03 + 24,52 \lg T + 3,92 \cdot 10^{-3}T.$$

Если принять для энтропии PbS (тв) величину $21,8 \pm 0,6 \text{ кал/моль} \cdot \text{град}$ и для энтропии сублимации PbS величину $38,8 \text{ кал/моль} \cdot \text{град}$ (полученную Веселовским [89] из измерений давления насыщенного пара), то энтропия PbS(г) составит:

$$S_{298}^0 = 60,6 \pm 0,8 \text{ кал/моль} \cdot \text{град.}$$

Рекомендованная величина для энтропии PbS (г) $S_{298}^0 = 61,2 \pm 1,5 \text{ кал/моль} \cdot \text{град}$ (из спектроскопических данных).

С помощью уравнения Келли для теплоемкости PbS (г) (см. стр. 82) находим:

$$S_T^0 = 7,69 + 20,52 \lg T + \frac{0,245 \cdot 10^5}{T^2}.$$

Функции Φ' и Φ'' для PbS приведены в табл. 101 и 102.

Таблица 101

ФУНКЦИИ Φ' И Φ''
ДЛЯ PbS (крист.),
кал/моль·град

Температура °C	Φ'	Φ''
0	9,07	21,97
25	9,98	21,80
100	12,60	22,05
200	15,47	22,91
400	19,26	24,50
600	22,81	26,85

Таблица 102
ФУНКЦИИ Φ' И Φ'' ДЛЯ PbS (Г.).
кал/моль·град

Температура °C	Φ'	Φ''
0	48,83	58,87
25	49,54	58,74
400	59,35	63,42
600	61,66	64,80
800	63,66	66,22
1000	65,09	67,24
1200	66,36	68,22
1400	67,50	69,14
1600	68,46	69,92

Теплота, энтропия и изобарный потенциал образования PbS

Теплота образования. Данные различных авторов [98—109] для теплоты образования PbS по реакции Pb (тв) + S (ромб) = PbS (тв) колеблются в пределах минус 20 000 — минус 26 200 кал/моль. При 25° С для металлургических расчетов авторы настоящего справочника рекомендуют принимать $Q_P = \Delta H = -22\,500$ кал/моль.

Келли составил уравнение зависимости теплоты образования PbS по реакции Pb (тв) + S (ромб) = PbS (тв)

$$\Delta H_T^\circ = -23\,310 + 1,28T - 2,12 \cdot 10^{-3}T^2.$$

Если сочетать это уравнение с уравнением для ΔH_T° реакции $2S$ (р) = S_2 (г), то зависимость теплоты образования PbS по реакции Pb (тв) + $\frac{1}{2}S_2$ (г) = PbS (тв) выразится уравнением:

$$\Delta H_T^\circ = -38\,990 + 0,98T + 0,78 \cdot 10^{-3}T^2.$$

Для реакции Pb (ж) + $\frac{1}{2}S_2$ (г) = PbS (тв) уравнение получено с использованием теплоты плавления и теплоемкости жидкого свинца:

$$\Delta H_T^\circ = -39\,960 - 0,05T + 1,78 \cdot 10^{-3}T^2.$$

Теплота образования PbS из газообразных свинца и серы определяется по уравнению

$$\Delta H_T^\circ = -85718 + 1,785T + 1,79 \cdot 10^{-3}T^2.$$

Энтропия образования PbS. Из рекомендованных величин для реакции Pb (тв) + S (р) = PbS (тв)

$$\Delta S_{298}^0 = -1,33.$$

По уравнениям ΔH° и ΔZ° (см. ниже) реакции образования PbS получаем

$$\Delta S = -7,33 - 4,14 \cdot 10^{-3}T + 2,95 \lg T;$$

$$\Delta S_{298}^0 = -1,27.$$

Изобарный потенциал образования PbS. Для металлургических расчетов при 25° С изобарный потенциал образования PbS по реакции Pb (тв) + S (ромб) = PbS (тв) рекомендуется принимать равным — 22 200 кал/моль.

Для температурной зависимости изобарного потенциала образования PbS по этой реакции Келли предложил уравнение:

$$\Delta Z_T^\circ = -23\,310 - 2,95T \lg T + 2,12 \cdot 10^{-3}T^2 + 8,61T.$$

$$\Delta Z_{298}^0 = -22\,730 \text{ кал/моль.}$$

Для изобарного потенциала образования PbS (тв) из газообразных свинца и серы нами вычислено уравнение

$$\Delta Z^\circ = -85\,710 - 4,11T \lg T - 1,79 \cdot 10^{-3}T^2 + 60,15T.$$

Вычисленные по этому уравнению данные приведены в табл. 103.

ТАБЛИЦА 103
ИЗОБАРНЫЙ ПОТЕНЦИАЛ И КОНСТАНТА ОБРАЗОВАНИЯ PbS ПО РЕАКЦИИ

Температура °C	ΔZ_T°	$\lg K_p$	$\lg p_{Pb}$ (ам)	K_p
25	-70870	51,62	-34,31	$4,169 \cdot 10^{51}$
400	-53851	17,49	-11,56	$3,090 \cdot 10^{17}$
500	-45094	11,29	-7,427	$1,950 \cdot 10^{11}$
800	-36592	7,454	-4,869	$2,844 \cdot 10^7$
1000	-28280	4,855	-3,237	$7,161 \cdot 10^4$
1200	-20165	2,993	-1,995	$9,840 \cdot 10^2$
1400	-12200	1,531	-1,021	$3,396 \cdot 10^1$

Давление диссоциации PbS

Данные по давлению диссоциации PbS приведены в табл. 104.

Таблица 104
ДАВЛЕНИЕ ДИССОЦИАЦИИ PbS
 $PbS = Pb + \frac{1}{2} S_2$

Температура °C	Давление		Автор	Литературный источник
	мм рт. ст.	ам		
515	0,08289	0,01380	Еллинек и Цаковский	[103]
630	0,0438	0,00576		
655	0,08192	0,01252		
700	0,06930	0,01121		
800	0,0348	0,00458	Еллинек и Дейбель	[109]
900	0,0105	0,004139		
1000	0,126	0,003166		

§ 14. ОКИСЬ СВИНЦА РЬО

$M = 223,21$. По латимеру [110] существует три модификации окиси свинца — красная, желтая и черная, из которых красная является наиболее устойчивой.

Температура превращения PbO (желт.) в PbO (красн.) лежит приблизительно при 580°C [111]. Славинский [112] дает точки превращения в пределах 450 — 500°C .

Кристаллическая структура, плотность, температура плавления

Кристаллическая структура PbO красной — тетрагональная, с параметрами решетки $a = 3,972 \pm 0,003 \text{ \AA}$; $c = 5,023 \pm 0,003 \text{ \AA}$. В элементарной ячейке 2 молекулы. PbO желтая кристаллизуется в орторомбическую решетку с параметрами $a = 5,476 \text{ \AA}$, $b = 4,743 \text{ \AA}$, $c = 5,876 \text{ \AA}$. В элементарной ячейке 4 молекулы.

Плотность PbO приведена в табл. 105.

Таблица 105

ПЛОТНОСТЬ PbS		
Плотность, $\text{г}/\text{см}^3$	Модификация	Литературный источник
9,52	Желтая	[113]
9,27	Красная, тетрагональная	[114]
8,70	Желтая, ромбическая	[114]
9,375	Кристаллическая	[115]

Данные ряда авторов о температуре плавления PbO колеблются в пределах 877 — 906°C . Для металлургических расчетов температуру плавления PbO следует принимать равной 885°C [88].

Давление насыщенного пара

Файзер [116] изучил летучесть PbO (а по ней и давление пара). Его метод основан на сравнении потерь в весе навески PbO и навески цинка или воды при одинаковой поверхности за равное время. Из этих данных вычисляют давление пара PbO на основании известных давлений пара цинка (табл. 106).

Таблица 106
ДАВЛЕНИЕ НАСЫЩЕННОГО ПАРА РЬО [116]

Температура, °C	Давление, мм	Температура, °C	Давление, мм	Температура, °C	Давление, мм	Температура, °C	Давление, мм
750	0,02	1000	3,7	1254	90	1470	650
800	0,08	1050	7,5	1306	150	1472	760
850	0,36	1100	14,9	1357	250	1470	760
900	0,9	1150	28,5	1425	450	1495	760
950	1,8	1200	51,4				

На основе данных Файзера (обработанных Келли) Стелл [28] приводят сглаженные величины давления пара:

$$t, {}^\circ\text{C} \dots \dots \dots \quad 943 \quad 1039 \quad 1085 \quad 1134 \quad 1189 \quad 1222 \quad 1265 \quad 1330 \quad 1402 \quad 1472 \\ P, \text{мм рт. ст.} \quad 1 \quad 2 \quad 10 \quad 20 \quad 40 \quad 60 \quad 100 \quad 200 \quad 400 \quad 760$$

Келли [87] на основе данных Файзера предлагает уравнения зависимости давления насыщенного пара PbO от температуры (P в мм рт. ст.):

$$\lg P = -13480 T^{-1} - 0,92 \lg T - 0,35 \cdot 10^{-3} T + \\ + 14,36 (298^\circ - T_{\text{пл}});$$

$$\lg P = -13310 T^{-1} - 2,77 \lg T + 19,47 (T_{\text{пл}} - T_{\text{кип}}).$$

Теплоемкость, теплоты плавления и испарения

Теплоемкость PbO. Данные различных авторов приведены в табл. 107 и 108.

Таблица 107
СРЕДНЯЯ ТЕПЛОЕМКОСТЬ РЬО

Пределы температур, °C	Теплоемкость		Литературный источник	Пределы температур, °C	Теплоемкость		Литературный источник
	удельная	мольная			удельная	мольная	
19—50	0,0533	11,89	[48]	19—269	0,0522	11,66	[48]
16—99	0,0508	11,34	[117]	16—300	0,0603	13,45	[93]
22—98	0,05118	11,56	[90]	16—400	0,0643	14,35	[93]
22—98	0,05059	11,36	[90]	16—500	0,0725	16,18	[93]

ИСТИННАЯ ТЕПЛОЕМКОСТЬ РЬО

Таблица 108

Температура, °K	Теплоемкость		Литературный источник	Температура, °K	Теплоемкость		Литературный источник
	удельная	мольная			удельная	мольная	
21,4	0,0069	1,55	[118]	199,3	0,0459	10,26	[119]
30,6	0,0111	2,47	[118]	275,2	0,0517	11,57	[119]
92,8	0,0288	6,42	[118]	298,2	0,0519	11,57	[120]
192,9	0,0349	7,75	[119]				

Используя величину 11,20 кал/град (теплоемкость при 273°) и 3140 кал (теплосодержание при 543°), Брицке и Капустинский [86] получили уравнение зависимости истинной теплоемкости от температуры:

$$C_p = 10,33 + 3,18 \cdot 10^{-3}T \text{ (2%, 273 — 544°).}$$

Эванс и Кубашевский [88] дают следующие уравнения зависимости истинной теплоемкости от температуры:
для PbO (красная).

$$C_p = 10,10 + 4,97 \cdot 10^{-3}T \text{ (2%, 298 — 923°);}$$

для PbO (желтая)

$$C_p = 16,75 - 1,92 \cdot 10^{-3}T - 7,35 \cdot 10^5 T^{-2} \text{ (2%, 298 — 923°).}$$

Теплота плавления. По данным Майера [105], теплота плавления PbO при 1163°K равна 2320 кал/мол.

Теплота испарения. Келли [87] приводит теплоту испарения PbO (при 1745°K) 51 310 кал/мол.

Энтальпия, энтропия, функции Φ' и Φ''

Энталпия. По опытным данным Келли [97] составил следующие уравнения для энталпии PbO:
для PbO (г)

$$H_T - H_{298} = 8,57T + 0,12 \cdot 10^{-3}T^2 + 0,79 \cdot 10^5 T^{-1} - 2831 \text{ (1%; 298 — 1200°K);}$$

для PbO (желтый)

$$H_T - H_{298} = 9,05T + 3,20 \cdot 10^{-3}T^2 - 2983 \text{ (1%; 298 — 1000°K);}$$

для PbO (красный):

$$H_T - H_{298} = 10,60T + 2,00 \cdot 10^{-3}T^2 - 3338 \text{ (1%; 298 — 900°K).}$$

Принимая по Митинг [191], Нерншту и Шверсу [118] $H_{273} - H_0 = 1994$ кал/моль и $H_{298} - H_0 = 2274$ кал/моль, мы рассчитали по приведенным выше уравнениям Келли энталпии PbO (г), PbO (красная) и PbO (желтая); результаты расчета приведены в табл. 109.

Таблица 109

ЭНТАЛЬПИЯ РЬО, кал/моль.

Температура, °C	$H_T - H_0$	$H_T - H_{273}$	$H_T - H_{298}$	Температура, °C	$H_T - H_0$	$H_T - H_{273}$	$H_T - H_{298}$
	PbO (желтая)	PbO (г.)	PbO (красная)		H _T - H ₀	H _T - H ₂₇₃	H _T - H ₂₉₈
100	3111	1117	837	300	4531	2537	2257
200	4287	2293	2013	400	5378	3384	3104
300	5528	3534	3254	500	6242	4248	3968
400	6829	4835	4555	600	7107	5113	4833
500	8198	6204	5924	700	7977	5983	5703
600	9630	7636	7356	800	8851	6857	6577
				900	9736	7737	7462
				1000	10610	8616	8336
				1100	11497	9503	9223
				1200	12387	10393	10113
100	3168	1174	894	1300	13270	11276	11892
200	4398	2404	2124	1400	14166	12172	12721
300	5667	3673	3393	1500	19954	17960	
400	6976	4982	4702				
500	8325	6331	6051				
600	9713	7719	7439				

Энтропия. Для желтой модификации PbO рекомендуется величина $S_{298} = 17 \pm 0,9$ эе [88, 121]; для красной модификации PbO — величина $S_{298} = 16,2$ эе [110, 122], для PbO (г) — величина $57,4$ эе [86, 122].

Используя уравнения Келли для теплоемкости PbO получаем:

для PbO (желтая)

$$S_T^0 = 20,84 \lg T + 6,40 \cdot 10^{-3}T - 39,44;$$

для PbO* (красная)

$$S_T^0 = 24,41 \lg T + 4,00 \cdot 10^{-3}T - 44,40;$$

для PbO (г)

$$S_T^0 = 7,42 + 19,73 \lg T + 0,24 \cdot 10^{-3}T - 0,395 \cdot 10^5 T^{-2}.$$

Вычисленные по этим уравнениям величины энтропии приведены в табл. 110.

Таблица 110
ЭНТРОПИЯ РВО

$t, ^\circ\text{C}$	S_T^0	$t, ^\circ\text{C}$	S_T^0	$t, ^\circ\text{C}$	S_T^0	$t, ^\circ\text{C}$	S_T^0
PbO (желтая)							
0	13,08	400	23,80	100	19,85	400	27,31
25	14,04	500	25,59	500	29,05	700	32,44
100	16,14	600	27,45	600	30,87		
200	19,35	700	29,09				
300	21,70	800	30,42				
PbO (г)							
PbO (красная)							
0	16,16	200	22,79	25	56,54	800	69,87
25	17,18	300	25,22	100	58,88	1000	71,74
				200	61,16	1200	73,46
				300	63,11	1400	75,09
				400	64,76	1600	76,49
				600	67,49	1800	77,84

Функции Φ' и Φ'' . Рассчитанные из величин $H_T - H_0$, $H_T - H_{298}$ и S_T функции Φ' и Φ'' для различных модификаций PbO приведены в табл. 111.

* Для расчета S_T^0 использовано изменение энтропии при переходе PbO (желтая) в PbO (красная), равное $-0,45$ кал/моль · град.

Таблица 111
ФУНКЦИИ Φ' И Φ'' ДЛЯ РВО

Температура $^\circ\text{C}$	PbO(желт)		PbO (красн)		PbO (газ)	
	Φ''	Φ'	Φ''	Φ'	Φ''	Φ'
100	13,90	7,82	17,45	10,64	—	—
200	15,10	10,29	18,30	13,05	—	—
300	16,02	12,06	19,30	15,33	59,17	55,20
400	17,04	13,65	20,32	16,95	60,15	55,77
500	17,93	14,69	21,22	18,29	—	—
600	19,00	16,41	21,35	19,74	61,95	59,34
800	—	—	—	—	63,74	61,62
1000	—	—	—	—	65,19	63,20
1200	—	—	—	—	66,60	65,06
1400	—	—	—	—	67,98	66,62

**Теплота, энтропия,
изобарный потенциал образования PbO**

Теплота образования. Даные различных авторов по теплоте образования PbO из элементов колеблются в пределах от -49610 до -52910 кал/моль.

Для металлургических расчетов можно применять рекомендованные Кубашевским и Эвансом [88] величины: $\Delta H_{298} = -52400$ кал/моль для PbO (красная) и $\Delta H_{298} = -52000 \pm 500$ кал/моль для PbO (желтая).

Приняв для теплоемкостей Pb и PbO уравнения Келли, для теплоты образования PbO значение -52200 кал/моль и для теплоты плавления Pb 1220 кал/моль, Ланге [124] установил следующие зависимости теплоты образования PbO от температуры:

$$\begin{aligned} \text{Pb (тв)} + \frac{1}{2}\text{O}_2 &= \text{PbO (красная)} Q_P = -52060 + \\ &+ 0,42T + 0,52 \cdot 10^{-3}T^2 - 0,94 \cdot 10^5 T^{-1}; \end{aligned}$$

$$\begin{aligned} \text{Pb (ж)} + \frac{1}{2}\text{O}_2 &= \text{PbO (тв)} Q_P = -53030 - 0,61T + \\ &+ 1,53 \cdot 10^{-3}T^2 - 0,94 \cdot 10^5 T^{-1}; \end{aligned}$$

$$\text{Pb (ж)} + \frac{1}{2}\text{O}_2 = \text{PbO (ж)} Q_P''' = -52920 + 3,0T$$

Вычисленная по этим уравнениям теплота образования приведена в табл. 112.

Таблица 112
ТЕПЛОТА ОБРАЗОВАНИЯ РЬО ПРИ РАЗЛИЧНЫХ ТЕМПЕРАТУРАХ*, кал/моль

$t, ^\circ\text{C}$	Q_P'	Q_P''	Q_P'''	$t, ^\circ\text{C}$	Q_P'	Q_P''	Q_P'''
25	-51480	-53090	-52030	600	-47720	-52400	-50300
100	-51180	-53050	-51700	800	-45610	-51920	-49700
200	-50700	-52980	-51500	1000	-43090	-51330	-49100
400	-49420	-52750	-50900	1200	-40150	-50610	-48500

* Данные округлены до десятков.

Ланге считает, что данные Келли по теплотам испарения, так же как оцененные им теплоемкости для газового состояния из-за их неточности, не могут быть использованы для вывода соответствующих уравнений.

Энтропия образования PbO. Рекомендуемая величина энтропии образования PbO из элементов $\Delta S_{298}^0 = -23,85 \text{ э.е.}$

Изобарный потенциал образования PbO. Данные различных авторов, определявших изобарный потенциал образования PbO при 25° из элементов, приведены в табл. 113.

Таблица 113

ИЗОБАРНЫЙ ПОТЕНЦИАЛ ОБРАЗОВАНИЯ ПРИ 25°

($\text{Pb}_{\text{тв}} + \frac{1}{2}\text{O}_2 = \text{PbO}_{\text{тв}}$)

$-\Delta Z_{298}^0$	Метод	Автор	Год	Литературный источник
45100		Майер	1934	[105]
44910	Из измерений э. д. с.	Ишикава, Шибата	1929	[123]
45360	То же	Эпплебей, Рейд	1922	[114]
45050*				
45250**		Латимер	1954	[110]

* PbO (желтая).

** PbO (красная).

Приняв теплоемкости (по Келли)
 $\text{Pb} (\text{г}):$

$$C_P = 4,97;$$

$\text{Pb} (\text{ж}):$

$$C_P = 6,8;$$

Pb (тв):

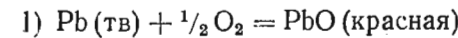
$$C_P = 5,77 + 2,02 \cdot 10^{-3}T;$$

$\text{O}_2:$

$$C_P = 8,27 + 0,26 \cdot 10^{-3}T - 1,88 \cdot 10^5 T^{-2};$$

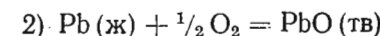
PbO (тв): $C_P = 10,33 + 3,18 \cdot 10^{-3}T,$

Ланге [124] рассчитал ΔZ для реакций:

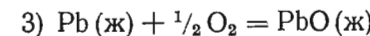


$$\Delta Z^\circ = -52060 + 0,97 T \lg T - 0,52 \cdot 10^{-3}T^2 - \\ - 0,47 \cdot 10^5 T^{-1} + 26,44 T,$$

$$\Delta Z_{298} = -45100;$$



$$\Delta Z^\circ = -53030 + 1,41 T \lg T - 1,53 \cdot 10^{-3}T^2 - \\ - 0,47 \cdot 10^5 T^{-1} + 22,05 T.$$



$$\Delta Z^\circ = -52920 - 6,91 T \lg T + 45,65 T.$$

Кубашевский и Эванс [88, стр. 358] дают для ΔZ реакции $\text{Pb} (\text{тв}) + \frac{1}{2}\text{O}_2 (\text{г}) = \text{PbO} (\text{тв})$ уравнение

$$\Delta Z_T^\circ = -52490 - 3,29T \lg T + 32,78T (298 - 600^\circ),$$

а для реакции $\text{Pb} (\text{ж}) + \frac{1}{2}\text{O}_2 = \text{PbO} (\text{тв})$

$$\Delta Z_T^\circ = -53200 + 24,2T (600 - 1150^\circ).$$

§ 15. ДВУОКИСЬ СВИНЦА РЬО₂

Молекулярный вес PbO₂ равен 239,2.

Тип структуры природной PbO₂ — платнерита — C₄ (тип руттила). Параметры решетки: $a = 4,93 \text{ \AA}$, $c = 3,37 \text{ \AA}$. В элементарной ячейке 2 молекулы.

Тип структуры синтетической PbO₂ — E₅. Параметры решетки: $a = 4,94 \text{ \AA}$, $b = 5,94 \text{ \AA}$, $c = 5,49 \text{ \AA}$. В элементарной ячейке 4 молекулы.

Теплоемкость, энталпия, энтропия и функции Φ' и Φ''

Теплоемкость. В справочнике Брицке, Капустинского и др. [86] для теплоемкостей PbO_2 при низких температурах приводятся следующие данные:

$T, ^\circ K$	10	25	30	100	150	200	298,1
$C_p, \text{кал/град}$	(0,08)	(1,04)	(3,64)	7,56	10,42	12,56	15,45

Эти значения теплоемкости интерполированы по опытным данным Миллара [126] от 70 до 300° К.

Для температурного интервала 298—1000° К Келли [121] приводит уравнение, составленное по данным Польмаера [125],

$$C_p = 12,7 + 7,8 \cdot 10^{-3}T.$$

Энталпия. По приведенному выше уравнению для теплоемкости вычислена энталпия PbO_2 (табл. 114) по уравнениям:

$$H_T - H_0 = 12,7T + 3,9 \cdot 10^{-3}T^2;$$

$$H_T - H_{273} = 12,7T + 3,9 \cdot 10^{-3}T^2 - 3716;$$

$$H_T - H_{298} = 12,7T + 3,9 \cdot 10^{-3}T^2 - 4113.$$

Таблица 114
ЕНТАЛПИЯ PbO_2 , кал/моль

Температура, °C	$H_T - H_0$	$H_T - H_{273}$	$H_T - H_{298}$	Температура, °C	$H_T - H_0$	$H_T - H_{273}$	$H_T - H_{298}$
0	3716	0	-397	400	10314	6598	6201
25	4113	397	0	600	14063	10347	9950
100	5292	1576	1179	800	18110	14394	13997
200	6881	3165	2768	1000	22480	18764	18367
300	8558	4842	4445				

Энтропия. Из данных Миллара [126] по теплоемкостям, определенным для температур выше 70°, вытекает значение энтропии PbO_2 : $S_{298} = 18,3 \pm 0,5$; экстраполяция до 0° дает $S = 3,50 \text{ кал/моль\cdot град}$.

Число Миллара единственное, его дают все справочники.

Зависимость энтропии PbO_2 от температуры можно установить, используя уравнение Келли для C_p :

$$S_T^\circ = S_{298}^\circ + \int_{298}^T \frac{C_p dT}{T},$$

$$S_T^\circ = -55,22 + 29,25 \lg T + 7,8 \cdot 10^{-3}T.$$

Вычисленная по этому уравнению энтропия PbO_2 при различных температурах приведена в табл. 115.

Функции Φ' и Φ'' . Значения функций Φ' и Φ'' при различных температурах приведены в табл. 116.

Таблица 115

ЭНТРОПИЯ PbO_2 , кал/моль\cdot град

Температура, °C	S_T°	Температура, °C	S_T°
25	18,30	400	30,10
100	21,43	600	34,18
200	24,86	800	37,60
300	27,68	1000	40,57

Таблица 116

ФУНКЦИИ Φ' И Φ'' ДЛЯ PbO_2 , кал/моль\cdot град

Температура, °C	Φ'	Φ''	Температура, °C	Φ'	Φ''
25	4,43	—	400	14,78	21,09
100	7,24	18,27	600	18,07	22,78
200	10,31	19,01	800	20,72	24,52
300	12,74	19,92	1000	22,91	26,14

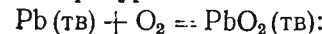
Теплота, энтропия, изобарный потенциал образования PbO_2

Теплота образования PbO_2 . Рекомендуемые значения теплоты образования PbO_2 из элементов приведены в табл. 117.

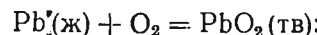
Таблица 117
РЕКОМЕНДУЕМЫЕ ЗНАЧЕНИЯ ТЕПЛОТЫ ОБРАЗОВАНИЯ PbO_2 (при 25°C)

Теплота образования, кал/моль	Год	Автор	Литературный источник
-64400	1949	Брицке, Капустинский и др.	[86]
-65000 ± 1000	1954	Кубашевский, Эванс	[88]
-66120	1954	Латимер	[110]
-66120	1952	Россини и др.	[122]

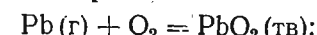
Приняв для теплоемкостей Pb и PbO_2 уравнения Келли, теплоту образования PbO_2 при 25° по Латимеру —66120 кал, теплоту плавления 1220 кал и теплоту испарения 42095 кал, можно составить следующие уравнения зависимости теплоты образования PbO_2 от температуры:



$$\Delta H_T = -70250 - 1,34T + 2,76 \cdot 10^{-3}T^2 - 1,88 \cdot 10^5 T^{-1};$$



$$\Delta H_T = -71220 - 2,37T + 3,77 \cdot 10^{-3}T^2 - 1,88 \cdot 10^5 T^{-1};$$



$$\Delta H_T = -116970 - 0,54T + 3,77 \cdot 10^{-3}T^2 - 1,88 \cdot 10^5 T^{-1}.$$

Энтропия образования PbO_2 . Стандартная энтропия образования PbO_2 (тв) из элементов $\Delta S^{\circ}_{298} = -46,19 \text{ эе}$.

Изобарный потенциал образования PbO_2 . По Латимеру [110] $\Delta Z = -52340 \text{ кал/моль}$ (из э. д. с. свинцовых аккумуляторов). Россини [122] дает то же значение ΔZ° .

§ 16. ЗАКИСЬ-ОКИСЬ СВИНЦА Pb_3O_4

Кристаллическая структура Pb_3O_4 ($M = 685,6$) — тетрагональная. Параметры решетки $a = 8,80 \text{ \AA}$, $c = 6,56 \text{ \AA}$. В элементарной ячейке 4 молекулы.

Плотность Pb_3O_4 (тв) равна $9,1 \text{ г/см}^3$, а Pb_3O_4 (ж) — $= 8,95 \text{ г/см}^3$.

Кубашевский и Гопкинс [127] дают значение температуры плавления Pb_3O_4 , равное 530°C .

Теплоемкость и энтропия

Теплоемкость. Для теплоемкости Pb_3O_4 Келли [121] предлагает следующие значения:

T°, K . . .	100	150	200	298
C_P . . .	20,84	26,98	31,29	35,14

Энтропия. Миллар [126] исследовал теплоемкость Pb_3O_4 между 70 и 300°K , однако расчет энтропии, произведенный Милларом, не подтверждается его опытными данными из-за допущенной автором арифметической ошибки. Расчет по экспериментальным данным приводит к $S_{298} = 50,5 \pm 1,6$; экстраполяция ниже $70,8^{\circ}$ дает $12,67 \text{ кал/моль\cdotград}$.

Все справочники [121, 88, 110, 86] предлагают в качестве рекомендованного значение $S_{298} = 50,5 \pm 1,6 \text{ эе}$.

Теплота, энтропия, изобарный потенциал образования Pb_3O_4

Теплота образования. Рекомендуемые значения теплоты образования Pb_3O_4 приведены в табл. 118.

Таблица 118

РЕКОМЕНДУЕМЫЕ ЗНАЧЕНИЯ ТЕПЛОТЫ ОБРАЗОВАНИЯ Pb_3O_4
(при 25°C)

Теплота образования кал/моль	Год	Автор	Литературный источник
-170380	1949	Бринке, Капустинский и др.	[86]
-171000 ± 1500	1954	Кубашевский, Эванс	[88]
-175600	1954	Латимер	[110]
-171000 ± 1500	1936	Быховский и Россини	[128]

Изобарный потенциал образования Pb_3O_4 . Россини [122], а также Латимер [110] рекомендуют $\Delta Z^{\circ} = -147600$.

По Рендаллу и Спенсеру [129] $\Delta Z^{\circ} = -147342$. Эти авторы предлагают следующее уравнение для изобарного потенциала диссоциации Pb_3O_4 по реакции Pb_3O_4 (тв) $\rightleftharpoons 3PbO$ (желтая) $+ \frac{1}{2}O_2$:

$$\Delta Z^{\circ}_T = 19179 - 1,30 T \ln T + 0,0021 T^2 - 15,109 T (718 - 880^{\circ}\text{K}),$$

$$\Delta Z^{\circ}_{298} = 12654.$$

Давление диссоциации

Из упрощенного уравнения Нернста и опытных данных Рейндерса и Гамбургера [192] авторы настоящего справочника вывели следующую зависимость:

$$\lg P (\text{мм}) = -\frac{32406}{4,571T} + 1,75 \lg T + 0,03216 T + 2,8.$$

Вычисленные по этому уравнению величины приведены в табл. 119.

§ 17. ХЛОРИСТИЙ СВИНЕЦ $PbCl_2$

Кристаллическая структура, плотность, температура плавления

Кристаллическая структура $PbCl_2$ ($M = 278,124$) относится к типу C_{23} . Параметры решетки: $a = 4,52 \text{ \AA}$, $b = 7,61 \text{ \AA}$, $c = 9,03 \text{ \AA}$. В элементарной ячейке 4 молекулы.

Плотность $PbCl_2$ может быть принята равной $5,9 \text{ г/см}^3$ [130, 131].

По Россини и др. [122] температура плавления $PbCl_2$ равна 498°C .

Давление насыщенного пара

Давление насыщенного пара $PbCl_2$ по данным различных авторов приведено в табл. 120.

Сглаженные величины давления насыщенного пара $PbCl_2$ по Стеллу [28]:

Температура, $^{\circ}\text{C}$	547	615	648	684	725	750	784	833	893	954
Давление, мм рт. ст.	1	5	10	20	40	60	100	200	400	760

7 Я. И. Герасимов и др.

Таблица 119
ДАВЛЕНИЕ ДИССОЦИАЦИИ
 $Pb_3O_4 \rightleftharpoons 3PbO$ (желтая) $+ \frac{1}{2}O_2$

Темпера- тура, $^{\circ}\text{C}$	Давление, мм рт. ст.	
	опытные дан- ные [192]	вычисленное
450	10,5	10,8
475	24	24,8
500	52	53,8
525	111	111
550	223	222
575	422	425
600	850	785

Таблица 120
ДАВЛЕНИЕ НАСЫЩЕННОГО ПАРА $PbCl_2$

Температура $^{\circ}\text{C}$	P , мм рт. ст.	Литературный источник	Температура $^{\circ}\text{C}$	P , мм рт. ст.	Литературный источник	Температура $^{\circ}\text{C}$	P , мм рт. ст.	Литературный источник
400	0,00174	132	740	68,0	11	926,4	557,3	[132]
400	0,00174	135	748,1	60,8	132	938	648,9	[134]
425	0,0058	135	760	88,6	12	948,4	754	[133]
450	0,0178	135	770	96,9	134	949,9	736,3	[132]
475	0,051	135	770	101,0	12	954	760	[134]
500	0,141	132	780	120,0	11	954	767,2	[134]
500	0,141	133	880	116	132	954	760	[134]
600	2,82	132	814	168,4	[135]	954,4	760	[132]
607,7	3,2	132	831,0	174,0	[132]	956	760	[136]
660	20,5	11	871,4	291,8	[132]	971	870,8	[132]
682,4	20,5	132	873	305,1	[134]	979,1	968,1	[132]
700	22,4	132	883,6	334,4	[132]	990,0	1082,1	[132]
700	38,5	11	900	433	[132]	993,2	1083,2	[132]
719	36,9	132	925	600	[133]			

Для зависимости давления насыщенного пара $PbCl_2$ от температуры Вартенберг и Боссе [134] дали уравнение:

$$\lg P(\text{мм}) = -28,518/4,571 T + 5,185.$$

Кубашевский и Эванс [88] на основании данных Каваками [138] и Кристинсона [139] приводят уравнение:

$$\lg P(\text{мм}) = -10\,000 T^{-1} - 6,65 \lg T + 31,60 \text{ (между } t_{\text{пл}} \text{ и } t_{\text{кип}}\text{).}$$

Теплоемкость, теплота плавления и испарения, энталпия и энтропия

Теплоемкость. Данные различных авторов по теплоемкости $PbCl_2$ приведены в табл. 121 и 122.

Таблица 121

Пределы температур. $^{\circ}\text{C}$	Теплоемкость			Пределы температур. $^{\circ}\text{C}$	Теплоемкость		
	удельная	мольная	Литературный источник		удельная	мольная	Литературный источник
0—20	0,06565	18,25	[142]	265—498	0,0778	21,64	[143]
0—100	0,0659	18,08	[11, B. II]	420—450	0,103	28,6	[93]
15—100	0,0667	18,52±0,06	[50]	450—500	0,119	33,1	[93]
15—250	—	18,97±0,04	[50]	498—578	0,121	33,7	[143]
16—300	0,0693	19,26±0,06	[50]	500—700	0,1042	28,98	[93]
16—350	—	19,58±0,06	[50]				

ХЛОРИСТИЙ СВИНЕЦ $PbCl_2$
ИСТИННАЯ ТЕПЛОЕМКОСТЬ $PbCl_2$

Температура $^{\circ}\text{C}$	Теплоемкость		Температура $^{\circ}\text{C}$	Теплоемкость	
	удельная	мольная		Литературный источник	удельная
-255,5	0,0078	2,16	[36]	17,5	—
-246,5	0,0175	4,88	[36]	100	0,06647
-185,4	0,0487	13,55	[36]	150	0,06779
-166,5	0,0536	14,91	[145]	200	0,07920
-67,5	0,0616	17,41	[145]	250	0,07043
0	0,069497	19,32	[95]	19,57	[95]

Для определения теплоемкости $PbCl_2$ в зависимости от температуры Брицке, Капустинский и др. [86] приводят уравнение, составленное по данным Эрхардта [146], Гудвина и Калмуса [147] и Магнуса [50]:

$$C_p = 15,88 + 8,35 \cdot 10^{-3} T (2\%, 273 — 771^{\circ}).$$

Келли [97] рекомендует для теплоемкости $PbCl_2$ следующее уравнение:

$$C_p = 15,96 + 8,00 \cdot 10^{-3} T.$$

Данные по теплоемкости жидкого $PbCl_2$ недостоверны. Приведенная в справочниках [86, 97] величина $C_p = 27,2$ (10%, 771—851°) относительно хорошо выражает теплоемкость жидкого $PbCl_2$.

Теплоты плавления, испарения и возгонки. Данные различных авторов, исследовавших теплоту плавления $PbCl_2$, колеблются в пределах 4450—5810 кал [70, 93, 136, 147—149]. По новейшим данным [155] теплота плавления $PbCl_2$ равна 3 600 кал.

Рекомендуемые величины для теплоты испарения $PbCl_2$:
Брицке, Капустинский: $L_{\text{исп}} = 28500$ (1193°),
Келли и Фихте: $L_{\text{исп}} = 29604$ (1227°).

В справочнике Брицке, Капустинского и др. [86] приводится теплота возгонки $PbCl_2$, вычисленная Фишером [153], — $L_{\text{возг}} = 35000$ кал.

Майер [105] подсчитал теплоту испарения $PbCl_2$ при разных температурах (табл. 123).

Энтальпия. По уравнениям Келли [97] в табл. 124 подсчитаны значения энталпии твердого и жидкого $PbCl_2$ для ряда температур.

Таблица 123
ТЕПЛОТА ИСПАРЕНИЯ
 $PbCl_2$ [105]

$t, ^\circ C$	$L_{\text{исп}} \text{ кал/моль}$
954,4	29510
926,7	29710
888,0	29800
828,4	30200
762,7	32110
718,9	34010

Таблица 124
ЭНТАЛЬПИЯ $PbCl_2$
(по уравнению Келли), кал/моль

Темпера- тура, $^\circ C$	$H_T - H_{298}$	Темпера- тура, $^\circ C$	$H_T - H_{298}$
0	-460	400	7437
25	0	498 (тв.)	9564
100	1408	498 (ж.)	15364
200	3314	600	18140
300	5314		

Приводимые в табл. 125 величины энталпии найдены графически как площади под кривой $C_P = f(T)$ от абсолютного нуля до T согласно формуле $\Delta H^\circ = \int_0^T C_P dT$. Основной ряд величин взят из таблиц Митинг, в которых опытная кривая $C_P = f(T)$ экстраполирована к абсолютному нулю по уравнению Дебая. При температурах 50, 100, 150° и т. д. приводятся значения энталпии из ICT по данным Нернста [36]. Расчет сделан на $1/3 PbCl_2$ (92,7 г).

Таблица 125
ЭНТАЛЬПИЯ ТВЕРДОГО $PbCl_2$,
(из таблиц Митинг), кал/моль

$$\begin{aligned}H_{273} - H_0 &= 3750 \\H_{298} - H_0 &= 4200\end{aligned}$$

Темпера- тура, $^\circ K$	$H_T - H_0$						
10	2,25	130	1305	240	3348	400	6117
20	21,30	140	1464	250	3528	420	6498
30	64,8	150	1626	260	3708	440	6792
40	131,7	160	1791	273,1	3750	460	7269
50	220,2	170	1956	280	9888	480	7659
60	327	180	2127	290	4068	500	8052
70	744	190	2298	298,1	4200	520	8448
80	573	200	2469	300	4251	540	8844
90	708	210	2643	320	4620	560	9143
100	849	220	2817	340	4989	580	9645
110	996	230	2986	360	5364	600	10050
120	1149	230	3171	380	5739		

Энтропия. Стандартная энтропия $PbCl_2$ была определена Нернстом [36] из измерений теплоемкостей, а также Герке [73] из электрохимических измерений для различных реакций в гальванических элементах. Такими путями получены следующие значения стандартной энтропии для $PbCl_2$ (тв): $S_{298} = 34,0 \pm 1,0$ [36], $S_{298} = 32,6 \pm 0,6$ [73] и $S_{298} = 31,7 \pm 1,5$ [23]. В справочниках Келли и Брицке, Капустинского и др. рекомендуется величина $32,6 \pm 0,6$.

Для стандартной энтропии $PbCl_2$ (г) подсчитано из энтропии возгонки и энтропии $PbCl_2$ (тв) значение $S_{298} = 75,9$ [87]. Полученная цифра указывает лишь на порядок величины.

Приводимые в табл. 126 значения энтропии через каждые $10^\circ K$ вычислены по формуле $\Delta S = \frac{\Delta H^\circ - \Delta Z^\circ}{T}$. ΔH° и ΔZ° взяты из таблиц Митинг. При температурах 50, 100, 150° и т. д. приводятся значения энтропии из найденных графически по уравнению $S = \int_0^T \frac{C_P}{T} dT$.

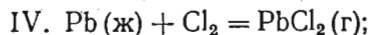
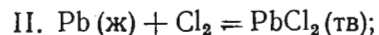
Теплота, энтропия
и изобарный потенциал образования $PbCl_2$

Теплота образования $PbCl_2$. Рекомендованными величинами для теплоты образования $PbCl_2$ из элементов являются: $\Delta H_{298} = -85850$ кал/моль [122], $\Delta H_{298} = -85500$ кал/моль [86], $\Delta H_{298} = -85790$ кал/моль (Фихте [155]).

Таблица 126
ЭНТРОПИЯ $PbCl_2$ (тв), кал/моль·град

Темпера- тура, $^\circ K$	S	Темпера- тура, $^\circ K$	S	Темпера- тура, $^\circ K$	S	Темпера- тура, $^\circ K$	S
10	(0,1025)	130	6,56	250	10,25	400	13,13
20	0,5140	140	6,95	260	10,48	420	13,47
30	1,2566	150	7,32	270	10,71	440	(13,47)
40	1,727	160	7,69	273	(10,68)	460	(14,03)
50	2,382	170	8,01	280	10,93	480	(14,30)
60	3,030	180	8,34	290	11,13	500	(14,30)
70	3,628	190	8,65	298,1	(11,22)	520	(14,57)
80	4,200	200	8,94	300	11,34	540	(14,83)
90	4,733	210	9,23	320	11,74	560	(15,08)
100	5,23	220	9,49	340	12,11	580	(15,32)
110	5,70	230	9,76	360	12,47	600	(15,56)
120	6,14	240	10,00	380	12,81		

Для определения теплоты образования $PbCl_2$ в зависимости от температуры по реакциям:



Фихте [155] составил следующие уравнения:

$$Q_P^{\text{I}} = -86\,580 + 1,83T + 2,89 \cdot 10^{-3}T^2;$$

$$Q_{298}^{\text{I}} = -85\,790 \text{ кал/моль};$$

$$Q_P^{\text{II}} = -87\,560 + 0,80T + 3,9 \cdot 10^{-3}T^2;$$

$$Q_P^{\text{III}} = -90\,200 + 12,12T - 0,28 \cdot 10^{-3}T^2;$$

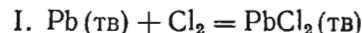
$$Q_P^{\text{IV}} = -44\,400 - 1,08T - 0,28 \cdot 10^{-3}T^2;$$

$$Q_P^{\text{V}} = -90\,150 + 0,75T - 0,28 \cdot 10^{-3}T^2.$$

Энтропия образования $PbCl_2$. Из данных, обработанных Фихте [155] для реакции $Pb(\text{тв}) + Cl_2 = PbCl_2(\text{тв})$, следует, что $\Delta S_{298} = +32,65 \text{ кал/моль}\cdot\text{град}$. Для других температур величины ΔS_T^0 могут быть вычислены из соотношения

$$\Delta S_T = \frac{\Delta H_T^0 - \Delta Z_T^0}{T} \quad \text{с использованием уравнений для } \Delta H_T^0 = f(T) \text{ и } \Delta Z_T^0 = f(T).$$

Изобарный потенциал образования $PbCl_2$. Для расчета величины ΔZ_T^0 образования $PbCl_2$ были использованы измерения электродвижущих сил в гальванических элементах, обработанные Фихте. Для реакций образования из элементов Фихте [155] получил следующие уравнения:

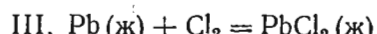


$$\Delta Z_T^0 = -86\,580 - 4,21T \lg T - 2,89 \cdot 10^{-3}T^2 + 50,12T;$$

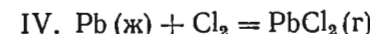
$$\Delta Z_{298}^0 = 75010.$$



$$\Delta Z_T^0 = -87\,560 - 1,84T \lg T - 3,9 \cdot 10^{-3}T^2 + 45,76T;$$



$$\Delta Z_T^0 = -90\,200 - 27,91T \lg T + 0,28 \cdot 10^{-3}T^2 + 121,23T;$$



$$\Delta Z_T^0 = -44\,400 + 2,49T \lg T + 0,28 \cdot 10^{-3}T^2 - 9,99T;$$



$$\Delta Z_T^0 = -90\,150 - 1,72T \lg T + 0,28 \cdot 10^{-3}T^2 + 26,60T.$$

§ 18. СЕРНОКИСЛЫЙ СВИНЕЦ $PbSO_4$

Молекулярный вес $PbSO_4$ равен 303,276.

Тип структуры — HO_2 . Параметры решетки: $a = 8,45 \text{ \AA}$, $b = 5,38 \text{ \AA}$, $c = 6,93 \text{ \AA}$. В элементарной ячейке 4 молекулы.

Данные о плотности $PbSO_4$ колеблются в пределах 6,0631—6,34 $\text{г}/\text{см}^3$. Для metallургических расчетов можно принимать плотность равной 6,201 $\text{г}/\text{см}^3$.

Данные ряда авторов, определявших температуру плавления $PbSO_4$ [186, 193, 194] колеблются в пределах 1080—1170° С.

Теплоемкость, энталпия, энтропия и функции Φ' и Φ''

Теплоемкость. Средняя и истинная теплоемкость $PbSO_4$ приведена в табл. 127.

Таблица 127
СРЕДНЯЯ И ИСТИННАЯ ТЕПЛОЕМКОСТЬ $PbSO_4$

Интервал температур °C	Средняя теплоемкость	Истинная теплоемкость			Литературный источник
		температура °C	теплоемкость	удельная кал/г·град	
20—50	0,0827	—	—	—	[48]
20—99	0,0872	—	—	—	[90]
15—300	0,0888	300	0,0987	29,933	[156]
15—400	0,0907	400	0,1016	30,812	[156]
15—500	0,0961	500	0,1046	31,722	[156]
15—600	0,1021	600	0,1082	32,814	[156]
15—700	0,1056	700	0,1122	34,027	[156]
15—800	0,1096	800	0,1164	35,301	[156]

Для теплоемкости $PbSO_4$ Келли [121] дает уравнение

$$C_p = 10,96 + 31,00 \cdot 10^{-3}T + 4,20 \cdot 10^5 T^{-2}.$$

Брицке, Капустинский и др. [86] предлагают уравнение

$$C_p = 20,73 + 14,00 \cdot 10^{-3}T (3\%, 273—1073^\circ).$$

Таблица 128
ЭНТАЛЬПИЯ РВСО₄, кал/моль

Температура, °C	$H_T - H_{298}$	$H_T - H_{298}$
0	0	-627
25	627	0
100	2559	1932
200	5156	4529
300	7999	7372
400	11163	10536
500	14570	13943
600	15862	15235
700	22308	21681
800	26599	25972

авторы подчеркивают, что оценить точность этого уравнения при температурах выше 673° затруднительно.

Энталпия. Исходя из уравнения Келли для теплоемкости, нами рассчитана энталпия РВСО₄.

Результаты расчета приведены в табл. 128.

Энтропия. Андерсон [157] из измеренных им теплоемкостей при низких температурах подсчитал $S_{298}=35,2 \pm 0,8$. Это значение энтропии РВСО₄ и рекомендуется.

Из приведенного выше уравнения теплоемкости РВСО₄, рекомендованного Келли, нами выведено уравнение зависимости энтропии от температуры

$$S_T = -34,115 + 25,24 \lg T + 31,00 \cdot 10^{-3} T - 2,10 \cdot 10^5 T^{-2},$$

по которому рассчитаны значения энтропии и функции Φ'' , приведенные в табл. 129 и 130.

Таблица 129
ЭНТРОПИЯ РВСО₄,
кал/моль·град

Температура		S_T
°C	°K	
25	298	34,46
100	373	40,86
200	473	45,60
300	573	52,62
400	673	57,65
500	673	62,23
600	873	66,90
700	973	71,42
800	1073	75,47

Таблица 130
ФУНКЦИЯ Φ'' ДЛЯ РВСО₄,
кал/моль·град

Температура		Φ''
°C	°K	
100	373	35,68
200	473	36,03
300	573	39,76
400	673	41,99
500	773	44,19
600	873	46,65
700	973	49,14
800	1073	51,27

Теплота, энтропия и изобарный потенциал образования РВСО₄

Теплота образования РВСО₄. Данные различных авторов, определявших теплоту образования РВСО₄ из элементов, колеблются в пределах минус 214000 — 219 990 кал/моль. Для

металлургических расчетов можно принимать рекомендуемую Келли [158] величину $\Delta H = -219\,290$ кал/моль.

Для определения теплоты образования РВСО₄ в зависимости от температуры Келли [158] дает уравнение

$$\Delta H = -216380 - 7,17T + 5,86 \cdot 10^{-3} T^2 - 3,754 \cdot 10^5 T^{-1},$$

$$\Delta H_{298} = -219290 \text{ кал/моль.}$$

Для реакции $Pb \text{ (г)} + \frac{1}{2} S_2 + 2O_2 = PbSO_4 \text{ (тв)}$ получим

$$\Delta H^\circ = -278780 - 6,665 T + 9,77 \cdot 10^{-3} T^2 - 3,754 \cdot 10^5 T^{-1}.$$

Энтропия образования РВСО₄. Келли [158] дает для энтропии образования РВСО₄ значение $\Delta S_{298} = -86,0$ э.е.

Изобарный потенциал образования РВСО₄. Данные различных авторов, определявших изобарный потенциал образования РВСО₄ из элементов, колеблются в пределах от —192 610 до —193 650. Для определения изобарного потенциала образования РВСО₄ по реакции $Pb \text{ (тв)} + S \text{ (р)} + 2O_2 = PbSO_4$ Келли [158] предлагает следующее уравнение:

$$\Delta Z = -216380 + 16,51 T \lg T - 5,86 \cdot 10^{-3} T^2 -$$

$$- 1,877 \cdot 10^5 T^{-1} + 39,36 T;$$

$$\Delta Z_{298} = 193650.$$

Для изобарного потенциала образования РВСО₄ из газообразных элементов по реакции $Pb \text{ (г)} + \frac{1}{2} S_2 + 2O_2 = PbSO_4 \text{ (тв)}$ получаем

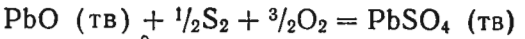
$$\Delta Z_I^0 = -278780 + 13,987 T \lg T - 9,77 \cdot 10^{-3} T^2 -$$

$$- 1,877 \cdot 10^5 T^{-1} + 90,90 T.$$

Состав газовой смеси, равновесной с РВСО₄ (тв) при его диссоциации, можно выяснить путем сопоставления последнего уравнения с уравнениями изобарного потенциала реакций образования РВ (тв), SO₂ (г) и SO₃ (г) из газообразных элементов. В результате получаем $Pb \text{ (г)} + \frac{1}{2} O_2 = PbO \text{ (тв)}$

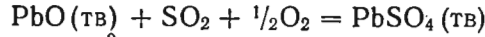
$$\Delta Z_{II}^0 = -98780 - 0,87 T \lg T - 1,53 \cdot 10^{-3} T^2 -$$

$$- 0,47 \cdot 10^5 T^{-1} + 58,67 T;$$



$$\Delta Z_{III}^0 = -180000 + 14,85 T \lg T - 8,24 \cdot 10^{-3} T^2 -$$

$$- 1,407 \cdot 10^5 T^{-1} + 32,23 T;$$



$$\Delta Z_{IV}^0 = -93685 + 13,135 T \lg T - 7,884 \cdot 10^{-3} T^2 -$$

$$- 1,491 \cdot 10^5 T^{-1} + 20,08 T;$$

Таблица 131

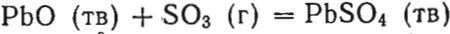
ТЕРМОДИНАМИЧЕСКИЕ ДАННЫЕ ДЛЯ ТЕРМИЧЕСКОЙ ДИССОЦИАЦИИ PbSO_4

Темпера- тура $^{\circ}\text{C}$	ΔZ_I°	$\Delta Z_{\text{II}}^{\circ}$	$\Delta Z_{\text{III}}^{\circ}$	$\Delta Z_{\text{IV}}^{\circ}$	ΔZ_V°	$-\lg K_1 =$	$-\lg K_{\text{II}} =$	$-\lg K_{\text{III}} =$	$-\lg K_{\text{IV}} =$	$-\lg p_{\text{SO}_4} =$
						$= \lg p_{\text{Pb}} \cdot p_{\text{S}_2}^{1/2} \cdot p_{\text{O}_2}$	$= \lg p_{\text{Pb}} \cdot p_{\text{O}_2}^{1/2}$	$= \lg p_{\text{S}_2}^{1/2} \cdot p_{\text{O}_2}^{1/2}$	$= \lg p_{\text{SO}_2} \cdot p_{\text{O}_2}^{1/2}$	$= \lg p_{\text{SO}_2}$
600	-17120	-51013	-120180	-48601	-44677	-42,86	-12,77	-30,49	-12,17	-11,19
700	-159132	-45683	-113415	-43557	-41019	-35,75	-10,27	-25,48	-9,79	-9,22
800	-147215	-40465	-106757	-38626	-38955	-29,98	-8,25	-21,76	-7,87	-7,94
900	-135470	-35237	-100180	-33792	-36293	-25,24	-6,57	-18,67	-6,30	-6,76
1000	-123197	-30065	-93751	-30342	-33719	-21,25	-5,16	-16,10	-5,21	-5,79
1200	-100958	-19772	-81206	-19996	-28965	-14,98	-2,93	-12,05	-2,97	-4,30
1400	-78682	-9564	-69064	-11326	-24686	-10,28	-1,25	-9,02	-1,48	-3,23

Таблица 132

СОСТАВ ГАЗОВОЙ СМЕСИ, РАВНОВЕСНОЙ С $\text{PbSO}_4 + \text{PbO}$

Темпера- тура $^{\circ}\text{C}$	p_{SO_4}	p_{O_2}	p_{Pb}	$\Sigma p = P$
600	$6,457 \cdot 10^{-12}$	$9,706 \cdot 10^{-9}$	$4,853 \cdot 10^{-9}$	$2,438 \cdot 10^{-9}$
700	$6,026 \cdot 10^{-10}$	$3,750 \cdot 10^{-7}$	$1,875 \cdot 10^{-7}$	$1,239 \cdot 10^{-7}$
800	$1,148 \cdot 10^{-8}$	$7,146 \cdot 10^{-6}$	$3,573 \cdot 10^{-6}$	$2,972 \cdot 10^{-6}$
900	$1,738 \cdot 10^{-7}$	$7,944 \cdot 10^{-5}$	$3,972 \cdot 10^{-5}$	$4,266 \cdot 10^{-5}$
1000	$1,622 \cdot 10^{-6}$	$4,236 \cdot 10^{-4}$	$2,118 \cdot 10^{-4}$	$4,753 \cdot 10^{-4}$
1200	$5,012 \cdot 10^{-5}$	$1,426 \cdot 10^{-2}$	$7,129 \cdot 10^{-3}$	$1,390 \cdot 10^{-2}$
1400	$5,888 \cdot 10^{-4}$	$1,3002 \cdot 10^{-1}$	$6,501 \cdot 10^{-2}$	$2,203 \cdot 10^{-1}$

УГЛЕКИСЛЫЙ СВИНЕЦ PbCO_3 

$$\Delta Z_V^0 = -72085 + 10,830 T \lg T - 7,884 \cdot 10^{-3} T^2 - 1,491 \cdot 10^5 T^{-1} + 6,64 T.$$

Подсчитанные по этим уравнениям термодинамические данные приведены в табл. 131.

Состав газовой смеси, равновесной с твердыми PbO и PbSO_4 , сложен; эта смесь состоит из SO_3 , SO_2 , O_2 , Pb и S_2 . Однако в присутствии SO_3 и O_2 количество свинца и серы в парах очень мало. Поэтому расчет состава газовой фазы над $\text{PbSO}_4 + \text{PbO}$ можно провести, подсчитав для реакций (V) и (IV) равновесные давления SO_3 , SO_2 и O_2 . Для последних с достаточной точностью имеем $p_{\text{SO}_2} = 2p_{\text{O}_2}$.

Используя далее величины констант реакций III и II нетрудно найти парциальные давления Pb и S_2 . Результаты таких подсчетов даны в табл. 132.

§ 19. УГЛЕКИСЛЫЙ СВИНЕЦ PbCO_3

Кристаллическая структура PbCO_3 ($M=267,22$) относится к типу GO_2 . Параметры решетки $a = 5,17 \text{ \AA}$, $b = 8,48 \text{ \AA}$, $c = 6,13 \text{ \AA}$. В элементарной ячейке содержится 4 молекулы.

Данные различных авторов, определявших плотность PbCO_3 , колеблются в пределах 6,43—6,72 g/cm^3 . Для metallurgических расчетов плотность PbCO_3 можно принимать равной 6,58 g/cm^3 .

Теплоемкость, энталпия и энтропия

Теплоемкость. Данные по теплоемкости PbCO_3 приведены в табл. 133.

СРЕДНЯЯ ТЕПЛОЕМКОСТЬ PbCO_3

Пределы температур $^{\circ}\text{C}$	Удельная теплоемкость кал/г·град	Мольная теплоемкость кал/моль·град	Литературный источник
16—47	0,0791	21,1	[48]
0—300	0,06392	17,07	[159]
0—350	0,08176	21,85	[159]

Келли и Андерсон [161] дают для температурной зависимости теплоемкости PbCO_3 следующее уравнение:

$$C_p = 12,39 + 28,6 \cdot 10^{-3} T (298 - 300 \text{ К});$$

По этому уравнению получаем:

<i>t</i> , °C	25	100	200	300	400	500
<i>C_p</i> , кал/моль·град	20,91	23,06	25,92	28,78	31,64	34,50

Теплоемкость карбоната свинца (церуссита) в интервале от 53 до 294° определил Андерсон [160]:

<i>T</i> , K	10	25	50	100	150	200	298,1
<i>C_p</i> , кал/моль·град	(0,59)	(3,43)	7,52	13,19	16,08	17,88	20,89

Энтальпия. Используя уравнение теплоемкости $PbCO_3$ Келли и Андерсона, рассчитываем энтальпию $PbCO_3$ (табл. 134).

Таблица 134

Таблица 135.

ЕНТАЛЬПИЯ РЬСО₃, кал/моль

Температура		$H_T - H_{298}$	$H_T - H_{273}$	$H_T - H_0$
°C	°K			
25	298	0	538	4963
100	373	1694	2232	6657
200	473	4098	4636	9061
300	573	6834	7372	11797
400	673	9852	10390	14815
500	773	13161	13699	18124
600	873	16737	17295	21710

ЭНТРОПИЯ РЬСО₃, кал/моль·град

Температура		S_T^o
°C	°K	
25	298	31,30
100	373	36,23
200	473	42,06
300	573	47,27
400	673	52,12
500	773	57,68

Энтропия. По данным Андерсона [160] энтропия $PbCO_3$ составляет $S^o_{298} = 31,3 \pm 0,8$ эе. Эту величину рекомендуют все справочники (Брицке, Капустинский и др., Латимер, Россини).

Расчет энтропии с помощью уравнения Келли и Андерсона для теплоемкости дает (табл. 135)

$$S_T^o = -47,80 + 28,53 \lg T + 0,0286 T.$$

ТЕПЛОТА, ЭНТРОПИЯ И ИЗОБАРНЫЙ ПОТЕНЦИАЛ ОБРАЗОВАНИЯ РЬСО₃

Теплота образования $PbCO_3$. Данные различных авторов, определявших теплоту образования $PbCO_3$ из элементов, колеблются в пределах от -166 600, до -169 860 кал/моль. Для металлургических расчетов можно принимать $\Delta H = -167\,300$ кал/моль.

Зависимость теплоты образования $PbCO_3$ от температуры (по Келли и Андерсону) [161]

$$\Delta H = -164510 - 8,46 T + 11,79 \cdot 10^{-3} T^2 - 3,985 \cdot 10^5 T^{-1},$$

$$\Delta H_{298} = -167360 \text{ кал/моль.}$$

Энтропия образования $PbCO_3$. Из величин стандартных энтропий получаем: $\Delta S^o_{298} = 59,05$.

Комбинируя уравнения ΔH и ΔZ образования $PbCO_3$ из элементов, получаем:

$$\Delta S^o = -15,80 - 19,48 \lg T + 23,58 \cdot 10^{-3} T - 2,063 \cdot 10^5 T^{-2},$$

$$\Delta S^o_{298} = -59,2.$$

Изобарный потенциал образования $PbCO_3$. Для реакции Pb (тв) + C + $^{3/2}O_2$ = $PbCO_3$ (тв) рекомендованной величиной является [161]

$$\Delta Z_{298} = -149710.$$

Для зависимости ΔZ от температуры Келли дает уравнение

$$\Delta Z = -164510 + 19,48 T \lg T - 11,79 \cdot 10^{-3} T^2 - 1,922 \cdot 10^5 T^{-1} + 7,34 T.$$

Комбинируя это уравнение с изобарными потенциалами образования PbO (красная) и CO_2 , получаем для реакции PbO (красная) + CO_2 = $PbCO_3$ (тв):

$$\Delta Z = -18860 + 17,11 T \lg T - 11,34 \cdot 10^{-3} T^2 - 1,072 \cdot 10^5 T^{-1} - 13,90 T.$$

Вычисленные по этому уравнению данные приведены в табл. 136.

Таблица 136
ТЕРМОДИНАМИЧЕСКИЕ ДАННЫЕ ДЛЯ ТЕРМИЧЕСКОЙ ДИССОЦИАЦИИ РЬСО₃ (тв)

Температура °C	ΔZ	$\lg p_{CO_2}$	p_{CO_2} мм рт. ст.
25	-11749	-7,006	$7,496 \cdot 10^{-5}$
100	-9525	-5,581	$1,995 \cdot 10^{-3}$
150	-7411	-3,830	$1,124 \cdot 10^{-1}$
200	-6549	-3,026	$7,158 \cdot 10^{-1}$
300	-3687	-1,406	29,84
400	-943	0,3063	375,4 атм
500	+1615	0,4565	2,86
600	+4165	1,042	11,02
700	+6520	1,464	29,11

Глава IV

ТЕРМОДИНАМИКА СВИНЦА. РЕАКЦИИ ПРЯМОГО ВОССТАНОВЛЕНИЯ, ОКИСЛЕНИЯ И ХЛОРИРОВАНИЯ

§ 20. РЕАКЦИИ С ОКИСЛАМИ СВИНЦА

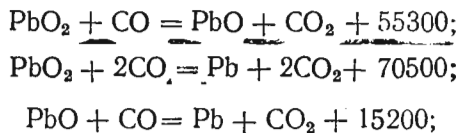
Восстановление окислов свинца окисью углерода

Борхерс [162], Дельц и Грауман [163], Бризли [164], Фай, Сикер, Лана и Ферузиона [165] установили, что температура, при которой было обнаружено первое появление углекислоты при реакции восстановления PbO окисью углерода, колеблется в пределах 160—185°, причем Борхерсом отмечено образование закиси свинца (Pb_2O). Райт и Люффер [166] подтвердили эти данные, тогда как Леблан и Эбериус [167] не обнаружили при восстановлении PbO окисью углерода наличия Pb_2O (они вели исследование в вакууме при разных температурах, для газовой фазы тензиметрически и для твердой фазы микроскопически и рентгеноскопически). Фрике и Акерман [168] при анализе структуры Pb_2O рентгеноскопически нашли лишь линии Pb и PbO красного цвета.

Роде [169] полагает (на основании термического анализа), что реакции восстановления окислов свинца окисью углерода могут быть выражены следующими уравнениями:

Таблица 137
ДАННЫЕ ПО РАВНОВЕСИЮ
РЕАКЦИИ
 PbO (тв) + CO = Pb (ж) + CO₂ [169]

Темп- ература °К	$\lg K_p = \lg \frac{p_{CO}}{p_{CO_2}}$	CO в смеси %
573	-5,17	0,001
1000	-2,87	0,13
1500	-1,24	5,10



Причисленные тепловые эффекты реакций вычислены им из термохимических данных для комнатной температуры.

Реакция PbO (тв) + CO = Pb (тв) + CO₂ + 15200 идет в твердых фазах при температуре ниже 327° С; выше этой темпера-

ратуры образуется жидкий свинец, и тепловой эффект реакции изменяется. Расплавленные Pb и PbO не растворяются друг в друге или растворяются настолько незначительно, что изменение состава системы Pb — PbO не должно изменять величины константы равновесия реакции восстановления PbO. Некоторые данные по равновесию этой реакции приведены в табл. 137.

Для реакций восстановления окиси свинца окисью углерода на основе уравнений ΔZ° для реакций Pb (тв) + $\frac{1}{2} O_2$ = PbO (тв); Pb (ж) + $\frac{1}{2} O_2$ = PbO (тв); Pb (ж) + $\frac{1}{2} O_2$ = PbO (ж), приведенных у Ланге, и уравнений ΔZ° для реакций $C + \frac{1}{2} O_2$ = CO и $C + O_2$ = CO₂, приведенных в гл. III, т. I настоящего справочника, нами выведены следующие уравнения:

1) для реакции PbO (тв) + CO = Pb (тв) + CO₂ (ниже 327°)

$$\begin{aligned} \Delta Z^\circ = -15920 + 1,89 T \lg T + 0,44 \cdot 10^{-3} T^2 + \\ + 1,15 \cdot 10^5 T^{-1} - 7,19 T; \end{aligned}$$

2) для реакции Pb (ж) + CO₂ = PbO (тв) + CO₂ (в интервале 327—890°)

$$\begin{aligned} \Delta Z^\circ = -14950 - 0,49 T \lg T + 1,45 \cdot 10^{-3} T^2 + \\ + 1,15 \cdot 10^5 T^{-1} - 2,80 T; \end{aligned}$$

3) для реакции Pb (ж) + CO₂ = PbO (ж) + CO (в интервале 890—1472°)

$$\begin{aligned} \Delta Z^\circ = -15060 + 7,83 T \lg T - 0,08 \cdot 10^{-3} T^2 + \\ + 0,68 \cdot 10^5 T^{-1} - 26,40 T. \end{aligned}$$

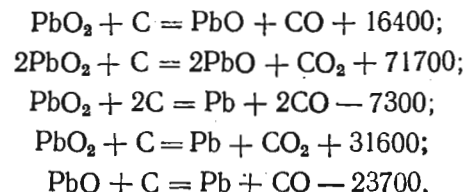
Вычисленные по этим уравнениям величины приведены в табл. 138.

Таблица 138
ИЗОБАРНЫЙ ПОТЕНЦИАЛ и $\lg K_p$ для реакций восстановления
окиси свинца окисью углерода

Темп- ература °C	$-\Delta Z$	$\lg K_p$	Темп- ература °C	$-\Delta Z$	$\lg K_p$	Темп- ература, °C	$-\Delta Z$	$\lg K_p$
150	16511	8,5065	600	17415	4,3657	1100	18431	2,9470
200	16587	7,6756	700	17611	3,9611	1200	17528	2,6040
300	16808	6,4202	800	17854	3,6414	1300	17355	2,4140
400	16940	5,5089	900	17892	3,3393	1400	17142	2,3732
500	17191	4,8535	1000	17767	3,0543			

Восстановление окислов свинца углеродом

Роде [169] полагает, что реакции восстановления окислов свинца углеродом могут быть выражены следующими уравнениями:



приведенные тепловые эффекты реакций вычислены им при комнатной температуре.

По Райту и Люффу [166] окись свинца начинает восстанавливаться пористым углем при 415° , а плотным сахарным — при 435° .

На кривых нагревания смесей окиси свинца с углеродом Роде [169] отметил две остановки, указывающие на восстановление окиси в две стадии. Первая отвечает восстановлению окиси до Pb_2O , а вторая — дальнейшему восстановлению Pb_2O до металла.

Тамманн и Зворыкин [171] получили данные, несколько отличные от Роде. Они нашли, что смесь PbO с углем (полученным из сахара) при 565° темнеет, а при 580° происходит обильное выделение CO, так что смесь при 700° уже содержит много капелек восстановленного свинца. Реакция протекает очень медленно и спокойно. Кривая течения реакции во времени не дает резких скачков.

Восстановление окислов свинца водородом

Глазер [172] и Джон [173] нашли начальную температуру восстановления PbO водородом, равной $185-189^\circ$. Борхерс [162] отметил при этом образование закиси свинца Pb_2O при $190-211^\circ$ и полное восстановление до металлического свинца при 235° .

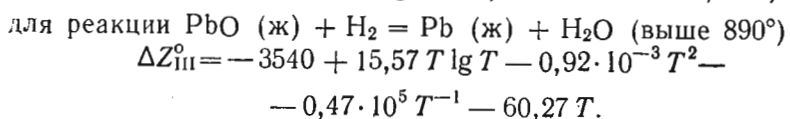
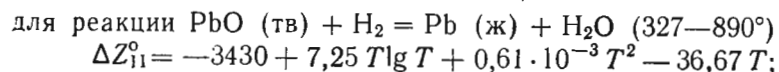
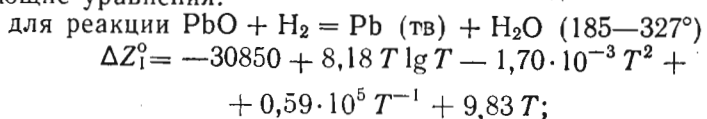
Фрид [174] на основании э. д. с. изученных им гальванических цепей $\text{Hg}/\text{HgO}, \text{NaOH}, \text{H}_2/\text{Pt}$ и $\text{Hg}/\text{HgO}, \text{NaOH}, \text{PbO}/\text{Pb}$ вычислил тепловой эффект реакции восстановления: $Q_p = 16\,603 \pm \pm 87$; эта величина находится в довольно хорошем согласии с цифрой 15 900, полученной из термохимических данных. Ишикава и Шибата [175] для реакции $\text{PbO} + \text{H}_2 = \text{Pb} + \text{H}_2\text{O}$ нашли $\Delta Z = 11\,639$ (при 25°C) и $Q_p = 17\,017$.

Гластон [176] вычислил из э. д. с. соответствующих гальванических цепей следующие значения свободной энергии:

- 1) для реакции $\text{PbO}_2 + \text{H}_2 = \text{PbO} + \text{H}_2\text{O}$ $\Delta Z_{290} = 40\,950$;
- 2) для реакции $3\text{PbO}_2 + 2\text{H}_2 = \text{Pb}_3\text{O}_4 + 2\text{H}_2\text{O}$ $\Delta Z_{290} = 86\,200$;
- 3) для реакции $\text{Pb}_3\text{O}_4 + \text{H}_2 = 3\text{PbO} + \text{H}_2\text{O}$ $\Delta Z_{290} = 40\,900$.

Для реакций восстановления окиси свинца водородом на основе уравнений ΔZ° для реакций $\text{Pb} (\text{тв}) + \frac{1}{2}\text{O}_2 = \text{PbO} (\text{тв})$,

$\text{Pb} (\text{ж}) + \frac{1}{2}\text{O}_2 = \text{PbO} (\text{тв})$, $\text{Pb} (\text{ж}) + \frac{1}{2}\text{O}_2 = \text{PbO} (\text{ж})$, приведенных у Ланге, и для реакции $\text{H}_2 + \frac{1}{2}\text{O}_2 = \text{H}_2\text{O}$, приведенной в гл. III, т. I настоящего справочника, нами выведены следующие уравнения:



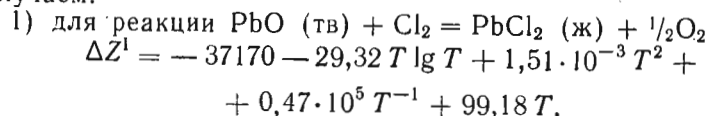
Вычисленные по этим уравнениям величины приведены в табл. 139.

Таблица 139
ИЗОБАРНЫЙ ПОТЕНЦИАЛ и $\lg K_p$
ДЛЯ РЕАКЦИЙ ВОССТАНОВЛЕНИЯ ОКИСИ СВИНЦА ВОДОРОДОМ

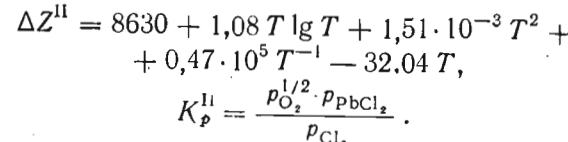
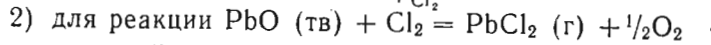
Темпера- тура, $^\circ\text{C}$	$-\Delta Z$	$\lg K_p$	Темпера- тура $^\circ\text{C}$	$-\Delta Z$	$\lg K_p$	Темпера- тура, $^\circ\text{C}$	$-\Delta Z$	$\lg K_p$
200	16105	7,439	700	18402	4,133	1100	20979	3,339
300	13812	5,267	800	18498	3,769	1200	21682	3,218
400	14044	4,560	900	19501	3,634	1300	22336	3,105
500	15255	4,314	1000	20237	3,475	1400	30093	3,931
600	16365	4,100						

Хлорирование PbO

Путем сопоставления данных для промежуточных реакций получаем:



$$K_p^I = \frac{p_{\text{O}_2}^{1/2}}{p_{\text{Cl}_2}};$$



Вычисленные по этим уравнениям величины приведены в табл. 140.

Таблица 140
ТЕРМОДИНАМИЧЕСКИЕ ХАРАКТЕРИСТИКИ РЕАКЦИЙ
ХЛОРИРОВАНИЯ ОКИСИ СВИНЦА

Температура, °C	-ΔZ ^I	-ΔZ ^{II}	lg K _p ^I	lg K _p ^{II}
400	25480	33000	8,275	10,72
500	24870	36770	7,033	10,40
600	24665	40580	6,176	10,16
700	24450	44420	5,493	9,98
800	24340	48305	4,958	9,84
900	24250	52215	4,519	9,73
1000	24290	56160	4,171	9,65

§ 21. РЕАКЦИИ С СУЛЬФИДОМ И СУЛЬФАТАМИ СВИНЦА

Восстановление PbS водородом

При высоких температурах водород вступает в реакцию с PbS по уравнению



Реакция восстановления PbS водородом была изучена экспериментально Елинеком с сотрудниками динамическим методом, пропусканием над PbS при различных температурах водорода, при этом состав газовой смеси анализировался.

Я. И. Герасимов и Б. П. Беринг [177] проверили эксперимен-

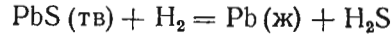
Таблица 141

ИЗОБАРНЫЙ ПОТЕНЦИАЛ
И КОНСТАНТА РАВНОВЕСИЯ
РЕАКЦИИ ВОССТАНОВЛЕНИЯ
PbS ВОДОРОДОМ

Температура, °C	K _p	lg K _p	ΔZ°
806	0,039	-1,409	6949
896	0,082	-1,0862	5804
998	0,176	-0,7545	4383

тально реакцию восстановления PbS водородом (динамическим методом), определив истинное значение константы из опыта и устранив этим необходимость нахождения ее экспрессией. На основе полученных ими данных вычислена свободная энергия реакции восстановления (табл. 141). Авторы подсчитали также для своих данных: Q₈₅₁° = 19900 и Q₉₄₇° = 22800.

Ватанабе [178] на основании констант равновесия, полученных Елинеком, подсчитал:



$$\Delta H = 19660 - 1,68T - 0,00235T^2 + 0,074T^3;$$

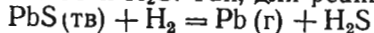
$$\Delta Z_1^o = 19660 + 3,87 T \lg T + 0,00235T^2 - 0,037T^3 - 26,22 T;$$



$$\Delta H = 19756 - 5,98T + 0,0115T^2 + 0,074T^3;$$

$$\Delta Z_{\text{II}}^o = 19756 + 13,77 T \lg T - 0,00115T^2 - 0,037T^3 - 51,52 T.$$

Термодинамические характеристики реакций восстановления PbS водородом можно получить на основании изобарных потенциалов образования PbS и H₂S. Так, для реакции



$$\Delta Z_{\text{III}}^o = 66305 + 11,815 T \lg T + 0,7575 \cdot 10^{-3} T^2 - 72,66 T.$$

Вычисленные по этому уравнению величины приведены в табл. 142.

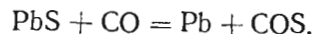
Таблица 142

ИЗОБАРНЫЙ ПОТЕНЦИАЛ И lg K_p ДЛЯ
РЕАКЦИИ ВОССТАНОВЛЕНИЯ PbS ВОДОРОДОМ
ПО УРАВНЕНИЮ ΔZ_{III}^o

Температура, °C	ΔZ ^o	lg K _p	Температура, °C	ΔZ ^o	lg K _p
200	47055	-21,74	700	27492	-6,176
300	43594	-16,63	800	24497	-4,991
400	36818	-11,96	900	21557	-4,021
500	33668	-9,519	1000	18692	-3,209
600	30562	-7,652	1100	10894	-1,734

Восстановление PbS окисью углерода

Оксись углерода реагирует с сернистым свинцом при высоких температурах, образуя сероокись углерода и металлический свинец по уравнению



Я. И. Герасимов и Б. П. Беринг изучили эту реакцию экспериментально (динамическим методом) и определили истинное значение константы равновесия (табл. 143).

По интегрированному уравнению изохоры найден тепловой эффект реакции для соответствующих температур: Q₈₅₀° = 6 900 кал, Q₉₀₃° = 7 300 кал, Q₉₅₀° = 8 700 кал, Q₁₀₂₅° = 48 200 кал, Q₁₀₅₀° = 34 500 кал.

Таблица 143

ИЗОБАРНЫЙ ПОТЕНЦИАЛ
И КОНСТАНТА РАВНОВЕСИЯ
РЕАКЦИИ ВОССТАНОВЛЕНИЯ
PbS ОКИСЬЮ УГЛЕРОДА

Температура, °C	lg K _p	K _p	ΔZ ^o
808	-2,523	0,003	12967
900	-2,398	0,004	12858
999	-2,301	0,005	12389
1050	-1,991	0,0102	12040
1098	-1,770	0,017	11092

8*

Восстановление PbS углеродом

Парравано и Мальквори [179] предлагают производить расчет равновесия реакции $2\text{PbS} + \text{C} = 2\text{Pb} + \text{CS}_2$ следующим путем:

$$\text{I. C(аморфн.)} + \text{S}_2 = \text{CS}_2; \quad K_{\text{I}} = \frac{p_{\text{CS}_2}}{p_{\text{S}_2}}$$

$$\text{II. PbS} + \text{H}_2 = \text{Pb} + \text{H}_2\text{S}; \quad K_{\text{II}} = \frac{p_{\text{H}_2\text{S}}}{p_{\text{H}_2}}$$

$$\text{III. } 2\text{H}_2\text{S} = 2\text{H}_2 + \text{S}_2; \quad K_{\text{III}} = \frac{p_{\text{H}_2}^2 \cdot p_{\text{S}_2}}{p_{\text{H}_2\text{S}}^2}$$

$$\text{IV} = \text{I} + 2\text{II} + \text{III};$$



Для начала заметного выделения CS_2 (следовательно, восстановления PbS углеродом) они приводят температуру 1100° С.

Действие фосгена на PbS

Шовене [180] изучал действие фосгена на PbS и установил, что реакция $\text{PbS} + \text{COCl}_2 = \text{PbCl}_2 + \text{COS}$ протекает очень быстро и что теплота реакции положительная, но меньшая чем в случае окисла. Начало реакции 350°.

Окисление PbS

В различных процессах, происходящих при обжиге PbS, образуются Pb, PbS, PbO, PbSO_4 и SO_2 .

Равновесие $7\text{PbSO}_4 + \text{PbS} = 4(\text{PbSO}_4 \cdot \text{PbO}) + 4\text{SO}_2$ изучалось Рейндерсом [18, 182], Шенком и Алберсом [183], Шенком и Боркенштейном [184]. По их данным были получены следующие уравнения теплоты и изобарного потенциала данной реакции:

$$\Delta H = 152600 + 20,13 T - 23,56 \cdot 10^{-3} T^2 + 8,180 \cdot 10^5 T^{-1},$$

$$\Delta Z^\circ = 152600 + 40,36 T \lg T + 23,56 \cdot 10^{-3} T^2 + 4,090 \cdot 10^5 T^{-1} - 38,50 T,$$

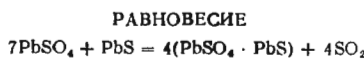
$$\Delta H_{298} = 159250, \quad \Delta Z_{298} = 110390.$$

Характеристика равновесия этой реакции приведена в табл. 144.

Равновесие $2(\text{PbSO}_4 \cdot \text{PbO}) + 3\text{PbS} = 7\text{Pb(ж)} + 5\text{SO}_2$ изучалось Рейндерсом [181, 182], Шенком и Алберсом [183] и Шенком и Россбахом [185, 186]. Для этой реакции

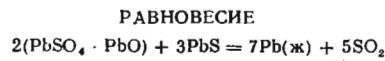
$$\Delta C_p = 14,61 - 52,32 \cdot 10^{-3} T - 10,225 \cdot 10^5 T^{-2},$$

Таблица 144



$t, {}^\circ\text{C}$	p_{SO_2} am	Литера- турный источник	$t, {}^\circ\text{C}$	p_{SO_2} am	Литера- турный источник
562	$3,28 \cdot 10^{-2}$	[184]	643	$2,30 \cdot 10^{-1}$	[184]
567	$3,40 \cdot 10^{-2}$	[184]	645	$2,40 \cdot 10^{-1}$	[184]
568	$1,22 \cdot 10^{-1}$	[184]	647	$1,86 \cdot 10^{-1}$	[183]
572	$3,78 \cdot 10^{-2}$	[184]	649	$2,07 \cdot 10^{-1}$	[184]
576	$4,38 \cdot 10^{-2}$	[184]	650	$2,95 \cdot 10^{-1}$	[184]
580	$5,26 \cdot 10^{-1}$	[184]	650	$2,16 \cdot 10^{-1}$	[183]
580	$3,29 \cdot 10^{-2}$	[183]	655	$2,32 \cdot 10^{-1}$	[183]
582	$3,42 \cdot 10^{-2}$	[181]	655	$2,05 \cdot 10^{-1}$	[181]
590	$3,95 \cdot 10^{-2}$	[181]	657	$2,67 \cdot 10^{-1}$	[184]
600	$5,66 \cdot 10^{-2}$	[182]	660	$2,90 \cdot 10^{-1}$	[184]
604	$6,58 \cdot 10^{-2}$	[181]	663	$2,99 \cdot 10^{-1}$	[184]
606	$7,37 \cdot 10^{-2}$	[181]	670	$3,45 \cdot 10^{-1}$	[184]
606	$9,42 \cdot 10^{-2}$	[184]	670	$9,22 \cdot 10^{-1}$	[181]
616	$1,27 \cdot 10^{-1}$	[184]	675	$3,87 \cdot 10^{-1}$	[184]
620	$9,47 \cdot 10^{-2}$	[181]	680	$2,20 \cdot 10^{-1}$	[184]
630	$1,24 \cdot 10^{-1}$	[181]	688	$5,49 \cdot 10^{-1}$	[184]
632	$1,37 \cdot 10^{-1}$	[183]	688	$4,55 \cdot 10^{-1}$	[183]
634	$1,32 \cdot 10^{-1}$	[181]	690	$5,79 \cdot 10^{-1}$	[184]
640	$2,20 \cdot 10^{-1}$	[184]			

Таблица 145



$t, {}^\circ\text{C}$	p_{SO_2} am	Литера- турный источник	$t, {}^\circ\text{C}$	p_{SO_2} am	Литера- турный источник
840	$1,84 \cdot 10^{-2}$	[183]	1023	$1,03 \cdot 10^{-1}$	[181]
908	$2,24 \cdot 10^{-2}$	[183]	1026	$1,15 \cdot 10^{-1}$	[181]
913	$2,37 \cdot 10^{-2}$	[183]	1032	$1,71 \cdot 10^{-1}$	[185]
923	$2,50 \cdot 10^{-2}$	[183]	1043	$2,42 \cdot 10^{-1}$	[185]
933	$2,63 \cdot 10^{-2}$	[183]	1043	$1,62 \cdot 10^{-1}$	[181]
943	$3,03 \cdot 10^{-2}$	[183]	1053	$2,85 \cdot 10^{-1}$	[185]
953	$3,16 \cdot 10^{-2}$	[183]	1063	$3,07 \cdot 10^{-1}$	[181]
954	$2,10 \cdot 10^{-2}$	[185]	1068	$4,03 \cdot 10^{-1}$	[185]
985	$3,62 \cdot 10^{-2}$	[181]	1083	$5,75 \cdot 10^{-1}$	[185]
989	$5,53 \cdot 10^{-2}$	[185]	1094	$7,21 \cdot 10^{-1}$	[185]
1013	$8,29 \cdot 10^{-2}$	[181]	1103	$9,34 \cdot 10^{-1}$	[185]
1014	$1,07 \cdot 10^{-1}$	[185]			

$$\Delta H = 274200 + 14,61 T - 26,16 \cdot 10^{-3} T + 10,225 \cdot 10^5 T^{-2},$$

$$\Delta Z^\circ = 274200 - 33,65 T \lg T + 26,16 \cdot 10^{-3} T +$$

$$+ 5,112 \cdot 10^5 T^{-2} - 174,33 T.$$

В точке плавления свинца $\Delta H_{600,5^\circ\text{K}} = 275240$, $\Delta Z^\circ_{600,5^\circ\text{K}} = 123650$.

Характеристика равновесия этой реакции приведена в табл. 145.

Для равновесия $2(\text{PbSO}_4 \cdot \text{PbO}) + 3\text{PbS} = 7\text{Pb} (\text{ж}) + 5\text{SO}_2$

$$\Delta C_P = 7,40 - 38,18 \cdot 10^{-3} T - 10,225 \cdot 10^5 T^{-2};$$

$$\Delta H = 267410 - 7,40 T - 19,09 \cdot 10^{-3} T^2 + 10,225 \cdot 10^5 T^{-1};$$

$$\Delta Z = 267410 - 17,04 T \lg T + 19,09 \cdot 10^{-3} T^2 +$$

$$+ 5,112 \cdot 10^5 T^{-1} - 204,93 T;$$

$$\Delta H_{298} = 27130; \Delta Z^\circ_{298} = 197160.$$

Равновесие $10(\text{PbSO}_4 \cdot \text{PbO}) + \text{PbS} = 7(\text{PbSO}_4 \cdot 2\text{PbO}) + 4\text{SO}_2$ изучалось Шенком и Алберсом [183] и Шенком и Боркенштейном [184]. Для этой реакции:

$$\Delta C_P = 20,13 - 47,13 \cdot 10^{-3} T - 8,180 \cdot 10^5 T^{-2};$$

$$\Delta H = 193300 + 20,13 T - 23,56 \cdot 10^{-3} T^2 + 8,180 \cdot 10^5 T^{-2};$$

$$\Delta Z^\circ = 193300 - 46,36 T \lg T + 23,56 \cdot 10^{-3} T^2 +$$

$$+ 4,090 \cdot 10^5 T^{-1} - 56,77 T;$$

$$\Delta H_{298} = 199950; \Delta Z^\circ_{298} = -145550.$$

Характеристика равновесия этой реакции приведена в табл. 146.

РАВНОВЕСИЕ
10 ($\text{PbSO}_4 \cdot \text{PbO}$) + $\text{PbS} = 7(\text{PbSO}_4 \cdot 2\text{PbO} + 4\text{SO}_2)$

$t, ^\circ\text{C}$	p_{SO_2} am	Литературный источник	$t, ^\circ\text{C}$	p_{SO_2} am	Литературный источник
910	$1,05 \cdot 10^{-2}$	[184]	1033	$1,26 \cdot 10^{-1}$	[183]
966	$4,84 \cdot 10^{-2}$	[184]	1040	$1,79 \cdot 10^{-1}$	[184]
988	$3,92 \cdot 10^{-2}$	[184]	1053	$1,80 \cdot 10^{-1}$	[183]
999	$6,58 \cdot 10^{-2}$	[184]	1062	$2,78 \cdot 10^{-1}$	[183]
1013	$9,60 \cdot 10^{-2}$	[184]	1073	$3,30 \cdot 10^{-1}$	[183]
1023	$1,00 \cdot 10^{-1}$	[183]	1073	$3,78 \cdot 10^{-1}$	[184]
1024	$1,29 \cdot 10^{-1}$	[184]	1083	$4,5 \cdot 10^{-1}$	[184]
1033	$1,35 \cdot 10^{-1}$	[184]			

Таблица 146

Равновесие $13(\text{PbSO}_4 \cdot 2\text{PbO}) + \text{PbS} = 10(\text{PbSO}_4 \cdot 3\text{PbO}) + 4\text{SO}_2$ изучалось Шенком и Алберсом [183].

Для этой реакции:

$$\Delta C_P = 20,13 - 47,13 \cdot 10^{-3} T - 8,180 \cdot 10^5 T^{-2};$$

$$\Delta H = 192600 + 20,13 T - 23,56 \cdot 10^{-3} T^2 + 8,180 \cdot 10^5 T^{-2};$$

$$\Delta Z^\circ = 192600 - 46,36 T \lg T + 23,56 \cdot 10^{-3} T^2 +$$

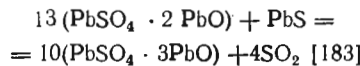
$$+ 4,090 \cdot 10^5 T^{-1} - 50,34 T;$$

$$\Delta H_{298} = 199250; \Delta Z^\circ_{298} = 146860.$$

Характеристика равновесия этой реакции приведена в табл. 147.

Таблица 147

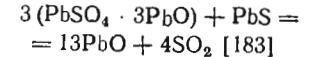
РАВНОВЕСИЕ



$t, ^\circ\text{C}$	p_{SO_2} am	$t, ^\circ\text{C}$	p_{SO_2} am
1043	$7,76 \cdot 10^{-2}$	1073	$1,70 \cdot 10^{-1}$
1043	$8,42 \cdot 10^{-2}$	1073	$1,64 \cdot 10^{-1}$
1052	$1,07 \cdot 10^{-1}$	1083	$1,97 \cdot 10^{-1}$
1052	$1,04 \cdot 10^{-1}$	1083	$2,00 \cdot 10^{-1}$
1063	$1,36 \cdot 10^{-1}$	1083	$2,05 \cdot 10^{-1}$
1063	$1,30 \cdot 10^{-1}$	1083	$1,99 \cdot 10^{-1}$
1073	$1,68 \cdot 10^{-1}$	1088	$2,25 \cdot 10^{-1}$

Таблица 148

РАВНОВЕСИЕ



$t, ^\circ\text{C}$	p_{SO_2}
1053	$8,29 \cdot 10^{-2}$
1063	$1,01 \cdot 10^{-1}$
1063	$1,01 \cdot 10^{-1}$
1072	$1,26 \cdot 10^{-1}$
1073	$1,22 \cdot 10^{-1}$
1073	$1,26 \cdot 10^{-1}$
1083	$1,53 \cdot 10^{-1}$
1083	$1,63 \cdot 10^{-1}$

Данные для реакции $2(\text{PbSO}_4 \cdot 3\text{PbO}) + 5\text{PbS} = 13\text{Pb} (\text{ж}) + 7\text{SO}_2$ были получены Шенком и Алберсом [183] и Шенком и Боркенштейном [184]:

$$\Delta C_P = 20,13 - 47,13 \cdot 10^{-3} T^2 - 8,180 \cdot 10^5 T^{-2};$$

$$\Delta H = 215200 + 20,13 T - 23,56 \cdot 10^{-3} T^2 + 8,180 \cdot 10^5 T^{-1};$$

$$\Delta Z^\circ = 215200 - 46,36 T \lg T + 23,56 \cdot 10^{-3} T^2 +$$

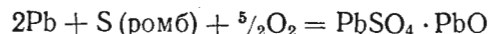
$$+ 4,090 \cdot 10^5 T^{-1} - 69,88 T;$$

$$\Delta H_{298} = 221850; \Delta Z^\circ_{298} = 163640.$$

Характеристика равновесия реакции $3(\text{PbSO}_4 \cdot 3\text{PbO}) + \text{PbS} = 13\text{PbO} + 4\text{SO}_2$ приведена в табл. 148.

Основные сульфаты свинца

Для реакции образования $\text{PbSO}_4 \cdot \text{PbO}$ из элементов



Келли [158] приводит следующие термодинамические характеристики:

$$\Delta C_p = -6,75 + 12,76 \cdot 10^{-3} T + 4,692 \cdot 10^5 T^{-2};$$

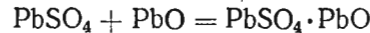
$$\Delta H = -275710 - 6,75 T + 6,38 \cdot 10^{-3} T^2 - 4,692 \cdot 10^5 T^{-1};$$

$$\Delta Z^\circ = -275710 + 15,55 T \lg T - 6,38 \cdot 10^{-3} T^2 - 2,346 \cdot 10^5 T^{-1};$$

$$\Delta H_{298} = -278730;$$

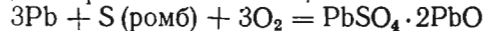
$$\Delta Z_{298}^\circ = -245160.$$

Для реакции образования $\text{PbSO}_4 \cdot \text{PbO}$ из сульфата свинца и окиси свинца



$$\Delta H_{298} = -7480; \quad \Delta Z_{298}^\circ = -6440; \quad \Delta S_{298} = -3,5.$$

Для реакции образования $\text{PbSO}_4 \cdot 2\text{PbO}$ из элементов



$$\Delta C_p = -6,32 + 13,79 \cdot 10^{-3} T + 5,631 \cdot 10^5 T^{-2};$$

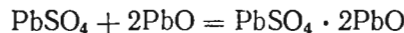
$$\Delta H = -329230 - 6,32 T + 6,90 \cdot 10^{-3} T^2 - 5,631 \cdot 10^5 T^{-1};$$

$$\Delta Z^\circ = -329230 + 14,55 T \lg T - 6,90 \cdot 10^{-3} T^2 -$$

$$-2,816 \cdot 10^5 T^{-1} + 95,19 T;$$

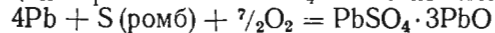
$$\Delta H_{298} = -332390; \quad \Delta Z_{298}^\circ = -291680.$$

Для реакции образования $\text{PbSO}_4 \cdot 2\text{PbO}$ из сульфата и окиси свинца



$$\Delta H_{298} = -9150; \quad \Delta Z_{298}^\circ = -7860; \quad \Delta S_{298} = -4,3.$$

Для реакции образования $\text{PbSO}_4 \cdot 3\text{PbO}$ из элементов



$$\Delta C_p = -5,89 + 14,82 \cdot 10^{-3} T^2 + 6,570 \cdot 10^5 T^{-2};$$

$$\Delta H = -382820 - 5,89 T + 7,41 \cdot 10^{-3} T^2 - 6,570 \cdot 10^5 T^{-1};$$

$$\Delta Z^\circ = -382820 + 13,56 T \lg T - 7,41 \cdot 10^{-3} T^2 - 3,285 \cdot 10^5 T^{-1} + 122,47 T;$$

$$\Delta H_{298} = -386120; \quad \Delta Z_{298}^\circ = -338070.$$

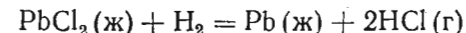
Для реакции образования $\text{PbSO}_4 \cdot 3\text{PbO}$ из сульфата и окиси свинца $\text{PbSO}_4 + 3\text{PbO} = \text{PbSO}_4 \cdot 3\text{PbO}$

$$\Delta H_{298} = -10890; \quad \Delta Z_{298}^\circ = -9150; \quad \Delta S_{298} = -5,8.$$

§ 22. РЕАКЦИИ С ХЛОРИДАМИ СВИНЦА

Восстановление PbCl_2 водородом

Реакция восстановления жидкого хлорида свинца идет по уравнению:



и константа выражается формулой

$$K_p = \frac{p_{\text{HCl}}^2}{p_{\text{H}_2}}.$$

Багдасарян [187] изучил эту реакцию для температурного интервала 600—950° (табл. 149) и на основании своих данных составил уравнение изобарного потенциала:

$$\Delta Z^\circ = 37095 + 2,07 T \lg T - 0,00005 T^2 - 39,52 T.$$

Парравано и Мальквori [188] также изучали реакцию экспериментально. Полученные ими данные приведены в табл. 150, где a — объемный процент HCl (г), P — общее давление газа.

Таблица 149

ИЗОБАРНЫЙ ПОТЕНЦИАЛ
И КОНСТАНТА РАВНОВЕСИЯ
РЕАКЦИИ ВОССТАНОВЛЕНИЯ
 $\text{PbCl}_2(\text{ж})$ ВОДОРОДОМ
(Багдасарян)

Темпера- тура, °C	ΔZ	$\lg K_p$	K_p
600	+7868	-1,976	0,011
700	+4597	-1,033	0,093
800	+1350	-0,2752	0,53
900	-1870	+0,3487	2,232
950	-3502	+0,6264	4,231

Таблица 150

КОНСТАНТА РАВНО-
ВЕСИЯ РЕАКЦИИ ВОС-
СТАНОВЛЕНИЯ $\text{PbCl}_2(\text{ж})$
ВОДОРОДОМ
(Парравано и Мальквori)

Темпера- тура, °C	$K_p = \frac{p_a^2}{100-a}$
400	1,21
445	1,53
500	2,18

Таблица 151

КОНСТАНТА РАВНО-
ВЕСИЯ РЕАКЦИИ ВОС-
СТАНОВЛЕНИЯ
 $\text{PbCl}_2(\text{ж})$ ВОДОРОДОМ
(Еллинек и Улот)

Темпера- тура, °C	$K_p = \frac{p_{\text{HCl}}^2}{p_{\text{H}_2}}$
560	0,08
650	0,20
760	0,57

Для той же реакции Еллинек и Улот [189] получили результаты, приведенные в табл. 151. На основании этих данных Еллинек и Улот подсчитали равновесные давления одноатомного и двухатомного хлора.

Уравнение ΔZ^0 для реакции $PbCl_2(\text{ж}) + H_2 = Pb(\text{ж}) + HCl$, составленное из уравнений ΔZ^0 реакций образования $PbCl_2(\text{ж})$ и HCl , рекомендуемых в этом справочнике:

$$\Delta Z^0 = 48380 + 31,37 T \lg T - 0,44 \cdot 10^{-3} T^2 - 135,95 T.$$

Подсчитанные по этому уравнению изобарный потенциал и $\lg K_p$ для реакции восстановления $PbCl_2(\text{ж})$ водородом следующие:

$t, ^\circ\text{C}$	400	500	600	700	800	900	1000
ΔZ^0	16130	12550	8775	6520	3575	1175	-2930
$\lg K_p$	5,238	3,551	2,197	1,465	0,714	0,219	1,4974

Восстановление $PbCl_2$ окисью углерода

Белладен, Ноли и Соммарива [190] нашли, что суммарная реакция восстановления $PbCl_2$ окисью углерода соответствует уравнению:



откуда

$$K_p = \frac{p_{COCl_2}}{p_{CO}}.$$

Найденные ими экспериментально значения K_p при разных температурах приведены в табл. 152.

В действительности схема реакции несколько сложнее: при указанных температурах CO отчасти распадается на C и CO_2 , последняя в свою очередь на CO и O_2 , реагирующие с $MeCl_2$:



откуда можно полагать, что реакция восстановления хлорида металла окисью углерода сводится в конечном итоге к восстановлению окисла металла. Можно получить уравнение ΔZ_I^0 для реакции $PbCl_2(\text{ж}) + CO = Pb(\text{ж}) + COCl_2$ путем использования уравнений ΔZ_{II}^0 для реакции $CO + Cl_2 = COCl_2$

$$\Delta Z_{II}^0 = -27106 + 34,07 T$$

и ΔZ_{III}^0 для реакции $Pb(\text{ж}) + Cl_2 = PbCl_2(\text{ж})$

$$\Delta Z_{III}^0 = -90200 - 27,91 T \lg T + 0,28 \cdot 10^{-3} T^2 + 121,23 T.$$

$$\Delta Z_I^0 = \Delta Z_{II}^0 - \Delta Z_{III}^0 = 63094 + 27,91 T \lg T - 0,28 \cdot 10^{-3} T^2 - 87,16 T.$$

Из этого уравнения получаем:

$t, ^\circ\text{C}$	650	700	750
ΔZ_I^0	56306	56813	56843
K_p	17,02	12,88	12,14

Глава V

ТЕРМОДИНАМИЧЕСКИЕ СВОЙСТВА ОЛОВА И ЕГО ВАЖНЕЙШИХ СОЕДИНЕНИЙ

§ 23. ОЛОВО МЕТАЛЛИЧЕСКОЕ

Кристаллическая структура, плотность, температура плавления

Кристаллическая структура. По данным Бокия [1], серое олово α -Sn ($M=118,7$) имеет структуру типа A_4 — кубическая (типа алмаза). Количество атомов в элементарной ячейке 8. Параметр решетки $a=6,4912\text{\AA}$ [282].

Обычное белое олово β -Sn, устойчивое выше 18° , имеет структуру типа A_5 — тетрагональная. Количество атомов в элементарной ячейке 4. Параметры решетки при 20°C : $a_0=5,819 \text{ \AA}$, $c_0=-3,1753 \text{ \AA}$. Ромбическое олово Sn (γ) устойчиво выше 161° . Матуяма оспаривает существование Sn (γ). Данные о превращении олова см. [18—31].

Плотность. Данные различных авторов, определявших плотность твердого олова [4—15], колеблются в пределах 5,56—5,8466 g/cm^3 для серого олова и 7,1835—7,647 g/cm^3 для белого олова. Справочник металлурга по цветным металлам [2] рекомендует следующие средние данные по плотности твердого олова при 15°C : 5,8466 g/cm^3 для α -Sn и 7,2984 g/cm^3 для β -Sn.

По данным Хогнесса [38] зависимость плотности жидкого олова от температуры выражается уравнением $d=7,01-0,00074 (t-232)$. Данные, полученные другими авторами, приведены в табл. 153.

Н. Л. Покровский [283] установил зависимость плотности жидкого олова от температуры в интервале $250-550^\circ\text{C}$, согласующуюся с уравнением Хогнесса: $d=6,98-0,00074 (t-250)$.

Температура плавления. По совокупности данных [45—57] следует принять для температуры плавления олова значение $231,9^\circ\text{C}$ ($505,1^\circ\text{K}$).

Температура плавления олова в зависимости от давления определяется уравнением [58] $t=230,61+0,003275 P$.

ПЛОТНОСТЬ ЖИДКОГО ОЛОВА

Температура °C	Плотность г/см³	Литератур- ный источник	Температура °C	Плотность г/см³	Литератур- ный источник	Температура °C	Плотность г/см³	Литератур- ный источник
232	{ 6,988 6,986 [44]	[12, 40]	450	6,81 7,003 [13]	[42, 43]	800	{ 6,69 6,637 [41]	[40]
250	6,982 [41]	480					6,61	[42, 43]
270	6,957 [44]	500		6,77 [40]			{ 6,578 6,55 [41]	
300	{ 6,91 6,943 [41]	[42, 43]	600	{ 6,755 6,73 [42, 43]	[41]	900	{ 6,55 6,56 [40]	[42, 43]
320	6,925 [32]			{ 6,695 6,67 [42, 43]	[41]	1000	{ 6,49 6,43 [42, 43]	
350	6,87 [42, 43]	700				1100	6,43 [42, 43]	
400	{ 6,86 6,875 [41]	[40]				1200	6,4 [42, 43]	

Давление насыщенного пара олова

Данные различных авторов по давлению насыщенного пара олова представлены в табл. 154 и 155. Выведенные на основе этих данных зависимости давления насыщенного пара олова от температуры приведены в табл. 156.

ДАВЛЕНИЕ НАСЫЩЕННОГО ПАРА ОЛОВА

Темпера- тура, °C	Давление мм рт. ст.	Метод	Год	Литера- турный источник
730	0,0,142	В вакууме		[63]
812	0,0,751	$1 \cdot 10^{-6}$ мм	1948	
880	0,0,173			
890	0,0,232			
940	0,0,301			
977	0,0,56	По Кнудсену	1928	[64]
1010	0,001	Вычислено по формуле автора	1917	[65]
1097	0,001	По Кнудсену	1928	[64]
1130	0,01			
1130	0,13	Точки кипения	1913	[66]
1151	0,00192	По Кнудсену	1954	[285]
1155	0,0031	" "	1928	[64]
1215	0,00597	По Кнудсену	1954	[285]

Таблица 153

Продолжение табл. 154

Темпера- тура, °C	Давление мм рт. ст.	Литера- турный источник	Год
1270	0,1	Вычислено	1917 [65]
1275	0,0462	По Кнудсену	1953 [286]
1300	0,0215	" "	1954 [285]
1327	2,9	" "	1934 [287]
1360	9,5	Точки кипения	1913 [66]
1365	0,0611	По Кнудсену	1954 [285]
1440	1,0	Вычислено	1917 [65]
1440	0,266	По Кнудсену	1953 [286]
1480	0,671		
1527	13	По Кнудсену	1934 [287]
1660	10	Вычислено	1917 [65]
1727	46	По Кнудсену	1934 [287]
1850	50	Вычислено	1917 [65]
1827	78	По Кнудсену	1934 [287]
1940	100	Вычислено	1917 [65]
1970	101	Точки кипения	1910—1912 [67—70]
2005	126	Точки кипения; измерено оптическим пирометром	1919 [71]
2045	178		
2100	262	То же	1910—1912 [67—70]
2160	372		
2190	485	" "	1919 [71]
2195	502	Точки кипения	1908 [72]
2200	760	Вычислено	1920 [73]
2218	760	То же	1917 [74]
2260	760	Точки кипения; измерено оптическим пирометром	1919 [71]
2270	755		
2270	760	То же	1910—1912 [67—70]
2275	760	Вычислено	1910—1912 [75]
2440	760		

ТАБЛИЦА 155
СГЛАЖЕННЫЕ ВЕЛИЧИНЫ ДАВЛЕНИЯ ПАРА ОЛОВА [288]

Температура °C	Давление мм рт. ст.	Температура °C	Давление мм рт. ст.	Температура °C	Давление мм рт. ст.
1492	1	1855	40	2063	200
1634	5	1903	60	2169	400
1703	10	1968	100	2270	760
1777	20				

Таблица 156
ЗАВИСИМОСТЬ ДАВЛЕНИЯ НАСЫЩЕННОГО ПАРА ОЛОВА ОТ ТЕМПЕРАТУРЫ

Уравнение	Литера турный источник
Твердое олово	
$\lg P_{\text{мн}} = -19050 T^{-1} + 8,22$	[76]
Жидкое олово	
$\lg P_{\text{мн}} = -18680 T^{-1} + 7,5$	[76]
$\lg P_{\text{мн}} = -14444 T^{-1} + 5,20$	[77]
$\lg P_{\text{мн}} = -15100 T^{-1} + 8,83$	[65]
$4,571 \lg P_{\text{мн}} = K - \frac{\varphi^*}{T}$	[78]
$\lg P_{\text{мн}} = \frac{-\Delta Z_T^0}{4,57 T} + 2,88^{**}$	[62]
$\lg P_{\text{мн}} = -16630 T^{-1} + 9,323$	[138]
$\lg P_{\text{мн}} = -15500 T^{-1} - \lg T + 11,5$	[289]

* φ — теплота испарения (73 900 кал); $K = 29$.

** Точность уравнения 10%, при условии $\Delta Z_T^0 > 5000$ кал.

Теплоемкость, теплота плавления и испарения

Истинная теплоемкость олова. Ряд авторов вычислил истинные теплоемкости при определенных температурах, пользуясь своими опытными величинами средних теплоемкостей.

Таблица 157

ИСТИННАЯ ТЕПЛОЕМКОСТЬ СЕРОГО ОЛОВА

Темпера- тура, °K	Теплоемкость		Год	Литера- турный источник	Темпера- тура, °K	Теплоемкость		Год	Литера- турный источник
	удель- ная	атом- ная				удель- ная	атом- ная		
15,5	0,00505	0,599			92,5	0,0372	4,42	1924	[79]
18,2	—	0,755			94,8	—	4,30	1914	[80]
22,3	0,0089	1,056			102,6	—	4,73	1924	[79]
26,8	—	1,375			194,9	—	5,66		
31,5	—	1,675	1924	[79]	197,2	—	5,71	1914	[80]
37,3	—	2,00			205,2	—	5,75		
44,9	0,0199	2,36			248,4	—	5,86		
52,3	—	2,80			256,4	—	5,88		
59,3	—	3,14			264,3	—	5,89	1914	[80]
69,5	—	3,67			273,0	—	5,90		
79,8	0,0319	3,80	1914	[80]	283,7	0,0516	6,13	1924	[79]
87,3	—	4,07			288,1	—	5,91	1914	[80]

Некоторые методы, особенно при низких температурах, позволяют определить теплоемкость в столь малом интервале, что можно получить величины (строго говоря, средние) считать за истинные теплоемкости. Все такие величины, а также вычисленные отдельными авторами, приведены в табл. 157 и 158.

Таблица 158
ИСТИННАЯ ТЕПЛОЕМКОСТЬ БЕЛОГО ОЛОВА

Температура °K	Теплоемкость		Год	Литера- турный источник	Температура °K	Теплоемкость		Год	Литера- турный источник
	удель- ная	атом- ная				удель- ная	атом- ная		
9,60	0,00174	0,206			96,21	—	5,26		
10,60	—	0,266			98,59	—	5,27		
11,72	—	0,316			100,00	—	5,32		
12,64	—	0,435			101,00	0,0450	5,34	1924	[79]
13,31	0,00402	0,477	1924	[79]	101,1	—	5,40	1914	[83]
22,4	0,0107	1,27			138,2	0,0467	5,52	1903	[84]
26,9	—	1,87			188,2	—	5,91		
32,7	—	2,48			194,9	—	6,20		
40,9	—	3,04			197,2	—	6,23		
42,5	—	3,21			205,2	—	6,25		
49,0	—	3,53			248,4	—	6,36	1914	[80]
56,7	—	4,06	1923	[79]	256,4	—	6,37		
69,63	0,0385	4,57			264,3	—	6,38		
70,00	—	4,59			273,0	—	6,39	1913	[85]
72,39	—	4,64	1923	[81]	273,2	0,0536	6,38	1924	[79]
75,11	—	4,74			286,3	0,0528	6,27		
77,71	—	4,83			288,1	—	—	1914	[80]
79,8	0,0390	4,64	1914	[80]	291,2	0,0523	6,40	1900	[87]
80,00	—	4,87	1923	[81]	298	0,0548	6,50	1923	[81]
80,34	—	4,88			301,2	0,0541	6,44	1914	[83]
84,00	—	4,98			333,2	—	6,57	1903	[84]
86,36	0,0429	5,01	1923	[81]	348,2	0,0671	7,37	1926	[90]
87,3	—	4,87	1914	[80]	371,2	0,0569	6,77	1913	[85]
88,9	—	5,07			373,2	0,0564	6,71	1900	[87]
90,00	—	5,11	1923	[82]	373,2	0,0641	7,60		
91,26	—	5,15			423,2	0,0681	8,08	1926	[90]
92,5	0,0439	5,21	1924	[79]	448,2	0,0740	8,79		
93,56	—	5,17	1923	[81]	505,7	0,0589	7,0	1916	[88]
94,8	—	5,07	1914	[80]	505,2	0,0662	7,88	1916	[89]

Для твердого олова данные большинства исследователей хорошо согласуются. Келли [92] рекомендует принять для белого олова при 273,1° величину истинной теплоемкости 6,36 кал/град·атом.

Кезом с сотрудниками в ряде работ [93, 94, 95] измерили теплоемкость олова от 1 до 20,2° К, обнаружив резкий скачок теплоемкости, сопровождающий явление сверхпроводимости; при охлаждении олова ниже 3,71° К удельная теплоемкость скачком возрастает от 0,0054 до 0,0078 кал/г·град.

Гудман [290] определил, что при 0,4° К электронная составляющая теплоемкости становится равной нулю, и теплоемкость олова определяется лишь теплоемкостью решетки.

Таблица 159
ИСТИННАЯ ТЕПЛОЕМКОСТЬ ЖИДКОГО ОЛОВА

Температура °К	Теплоемкость		Год	Литератур- ный источник	Температура °С	Теплоемкость		Год	Литератур- ный источник
	удельная	атомная				удельная	атомная		
505	0,0615	7,32	[1919]	[89]	523	0,061	7,24		
505	0,0581	6,9	[1916]	[88]	573	0,061	7,24		
523	0,0580	6,9	[1887]		623	0,061	7,24		
1373	0,0758	9,02		[91]	673	0,061	7,24	[1959]	[284]
573	0,0520	6,17	[1926]		723	0,061	7,24		
623	0,0520	6,17		[90]	773	0,061	7,24		
723	0,0520	6,17			823	0,061	7,24		
823	0,0520	6,17			873	0,061	7,24		
873	0,0520	6,17			923	0,061	7,24		
513	0,061	7,24	1959	[284]	973	0,061	7,24		

Таблица 160
ТЕПЛОЕМКОСТЬ ОЛОВА*
ПО Г. М. БАРТЕНЕВУ

Температура °С	Удельная теплоемкость кал/г·град		Температура °С	Удельная теплоемкость кал/г·град	
	удельная теплоемкость кал/г·град	атомная теплоемкость кал/г·град		удельная теплоемкость кал/г·град	атомная теплоемкость кал/г·град
50	0,0551		200		0,0688
100	0,0580		231,5		
150	0,0618				Макси- мальная
166	0,0650		250		0,0600
185	0,0640		300		0,0592
			350		0,0584

* Олово содержало 0,1% Си и 0,06% других примесей.

Для жидкого олова (табл. 159) результаты измерения теплоемкостей различными авторами противоречивы. Уmino [90] нашел для жидкого олова (как и для других жидких металлов) постоянство величины теплоемкости в пределах ошибки опыта.

Г. М. Бартенев обнаружил [97] резкое возрастание теплоемкости олова вблизи температуры плавления. По его же данным (табл. 160) наблюдается аномальное изменение теплоемкости при 166° С, что автор приписывает переходу β -Sn в γ -Sn.

Средняя теплоемкость олова. В табл. 161, 162 и 163 все опытные величины средних теплоемкостей расположены по возрастанию средних температур тех интервалов, в которых теплоемкости определены.

При небольших интервалах можно считать в первом приближении, что истинная теплоемкость равна средней в данном интервале (это допущение совершенно точно, если зависимость истинной теплоемкости от температуры линейная).

Таблица 161
СРЕДНЯЯ ТЕПЛОЕМКОСТЬ СЕРОГО ОЛОВА

Пределы температур °С	Теплоемкость		Год	Литератур- ный источник
	удельная	атомная		
0—15	0,050	6,00	1907	[98]
0—20	0,0496	5,91	1912	[99]
8—13	0,0493	5,85	1927	[17]

Таблица 162
СРЕДНЯЯ ТЕПЛОЕМКОСТЬ БЕЛОГО ОЛОВА

Пределы температур °С	Теплоемкость		Год	Литератур- ный источник	Пределы температур °С	Теплоемкость		Год	Литератур- ный источник
	от	до				удель- ная	атом- ная		
-253	-196	0,0286	3,41	1913 [100]	19	99	0,0551	6,56	1893 [110]
-186	-79	0,0486	5,78	1900 [101]	18	100	0,0556	6,62	1914 [111]
-190	14	0,0530	6,29	1906 [102]	17,4	102	0,0552	6,55	1904 [112]
-190	17	0,0488	5,81	1910 [103]	20	100	0,0556	6,60	1892 [106]
-188	20	0,0502	5,97	1900 [104]	24	100	0,05453	6,47	1896 [113]
-182	15	0,0499	5,94	1904 [105]	21	109	0,05506	6,53	1886 [114]
-79	18	0,0518	6,16	1900 [101]	0	152	0,0555	6,59	1922 [89]
-79	20	0,0541	6,42	1892 [106]	24	169	0,05716	6,78	1886 [114]
0	15	0,052	6,2	1914 [80]	23,2	164,9	0,05628	6,68	1904 [112]
0	20	0,0538	6,38	1912 [99]	15	180	0,0577	6,87	1904 [105]
13	18	0,0537	6,37	1927 [17]	0	101	0,0582	6,91	1922 [89]
0	85,5	0,0544	6,45	1919 [89]	16	197	0,05876	6,97	1886 [114]
0	100	0,0552	6,55	1922 [107]	100	115	0,05555	6,59	1895 [115]
0	100	0,055	6,53	1840 [108]	18	200	0,0582	6,93	1914 [111]
20	50	0,0558	6,62	1926 [90]	20	100	0,0579	6,89	1926 [90]
0	100	0,05623	6,67	1847 [109]	20	150	0,0618	7,36	
17	100	0,0556	6,62	1910 [103]	20	200	0,0639	7,58	

Уравнения теплоемкости олова в зависимости от температуры приведены в табл. 164. Уравнения Келли [92] принятые в ряде новых работ.

9 Я. И. Герасимов и др.

Таблица 163
СРЕДНЯЯ ТЕПЛОЕМКОСТЬ ЖИДКОГО ОЛОВА

Пределы температуры, °C	Теплоемкость		Год	Литературный источник
	удельная	атомная		
250—350	0,0637	7,56	1848	[116]
550—625	0,030	3,56	1926	[117]
20—250	0,1212	14,28		
20—300	0,1090	12,94		
20—350	0,1009	11,98		
20—400	0,0944	11,20		
20—450	0,0897	10,65		
20—500	0,0856	10,16		
20—550	0,0824	9,78		
20—600	0,0800	9,49		

* Без учета теплоты плавления.

Таблица 164
ЗАВИСИМОСТЬ ТЕПЛОЕМКОСТИ ОЛОВА ОТ ТЕМПЕРАТУРЫ

Уравнение и пределы применения	Год	Литературный источник
Твердое: $c_P = 0,061293 - 0,024209482t + 0,0163998t^2$	1886	[118, 119, 91]
Твердое: $c_P = 0,05 + 0,044t$	1855	[120]
Жидкое: (237,8—1100 °C): $c_P = 6,829 \cdot 10^{-3} + 2,99 \cdot 10^{-5} T + 1,639 \cdot 10^{-8} T^2$	1933	[121]
Белое олово твердое (0—203 °C): $c_P = 0,05393 + 0,2285 \cdot 10^{-4} t + 0,45111 \cdot 10^{-7} t^2$	1932	[122]
Твердое (273,1—504,9 °K): $c_P = 5,05 + 4,80 \cdot 10^{-3} T$	1934	[92]

Продолжение табл. 164

Уравнение и пределы применения	Год	Литературный источник
Жидкое (504,9—1273 °K): $C_P = 6,6$	1934	[92]
Твердое (298,1 — $T_{пл}$): $C_P = 5,04 + 4,5 \cdot 10^{-3} T$	1950	[34]
Жидкое (231,9—1088 °C): $C_P = 7,12 - 3,42 \cdot 10^{-3} (t - 260,1) + 4,41 \cdot 10^{-6} (t - 260,1)^2$	1943	[291]
Твердое (0—231,9 °C): $C_P = 6,34 + 0,352 \cdot 10^{-2} t^2$	1957	[292]
Жидкое $C_P = 7,0$	1957	[292]
Твердое (298° — $T_{пл}$): $C_P = 4,42 + 6,3 \cdot 10^{-3} T$	1958	[289]
Жидкое ($T_{пл} — 1300$ °K) $C_P = 7,3$	1958	[289]

Теплота превращения олова. Данные по теплотам превращения олова, полученные различными авторами, а также рекомендуемые справочниками, приведены в табл. 165 и на рис. 1.

Таблица 165

Вид превращения	Температура, °C	Теплота превращения, ккал/г·атом	Автор	Литературный источник
Sn (α) ⇌ Sn (β)	Комнатная	1133,6	Мейер	[142]
Sn (α) ⇌ Sn (β)		532	Бронстед	[80]
Sn (α) ⇌ Sn (β)	(при 292 °K)	535 ± 8	Иванович	[296]
Рекомендованные значения				
Sn (α) ⇌ Sn (β)	18	600	Россини и др.	[33]
Sn (β) ⇌ Sn (γ)	202,8	2,8		
Sn (α) ⇌ Sn (β)	13	500 ± 30	Кубашевский и Эванс	[34]
Sn (α) ⇌ Sn (β)	25	550 ± 80		[289]

Бронстед [80], использовав свои данные по теплоемкостям модификаций олова и теплоте превращения, составил уравнение для теплоты превращения $\text{Sn}(\alpha) \rightleftharpoons \text{Sn}(\beta)$:

$$Q_p = 332,4 + 1,365T - 4,37 \cdot 10^{-3}T^2 + 9,72 \cdot 10^{-6}T^3 - 8 \cdot 10^{-9}T^4.$$

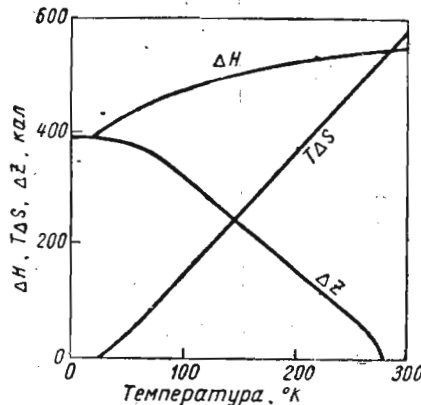


Рис. 1. Теплота, энтропия и изобарный потенциал превращения $\alpha\text{-Sn} \rightleftharpoons \beta\text{-Sn}$ по Прэтту [298]

Теплота плавления. Данные, полученные различными исследователями [89—91, 97, 109, 112, 117, 123, 125, 126, 129, 130, 132, 134, 135], колеблются в пределах 1,59—1,74 ккал/г-атом. Рекомендуемые величины теплоты плавления олова приведены в табл. 166.

Таблица 166

РЕКОМЕНДУЕМЫЕ ВЕЛИЧИНЫ ТЕПЛОТЫ ПЛАВЛЕНИЯ ОЛОВА

$L_{\text{пл}}$, ккал/г-атом	Автор	Литературный источник
$1,72 \pm 0,1$	Келли	[136]
1,71	Брицке, Капустинский и др.	[35]
1,69	Россини и др.	[33]
$1,69 \pm 0,03$	Кубашевский и Эванс	[34, 289]

Теплота испарения. Брицке, Капустинский и др. [35] рекомендуют $L_{\text{исп}} = 68$ ккал/г-атом (при 18°C); по Кубашевскому и Эвансу [289] $L_{\text{исп}} = 64,7$ ккал/г-атом (при 2750°C) и $L_{\text{исп}} = 70,2$ ккал/г-атом (при 25°C); по Стеллу и Синке [293] $L_{\text{исп}} = 69,4$ ккал/г-атом (при 2687°C).

Бон [294] рассчитал теплоту испарения олова при абсолютном нуле $L_{\text{исп}} = 62$ ккал/г-атом.

Энтальпия и энтропия олова. Функции Φ' и Φ''

Энтальпия. Величины энтальпии олова, полученные графическим интегрированием кривой теплоемкости, приведены в табл. 167.

Таблица 167

ЭНТАЛЬПИЯ БЕЛОГО И СЕРОГО ОЛОВА, ккал/г-атом

Темпера- тура, °К	Sn (α)		Sn (β)		Год	Литера- турный источник
	C_P кал/г-атом	$H_T - H_0$	C_P кал/г-атом	$H_T - H_0$		
0	0	-370,4	0	0	1914	[80]
50	2,66	-364,4	3,66	84,6		
100	4,68	-121,8	5,36	316,4	1924	[79]
150	5,50	133,8	5,97	602,2		
200	5,88	418,2	6,24	910,4		
250	6,07	714,4	6,36	1228,2	1923	[81]
273,1	6,10	853,1	6,40	1376,4		
298,1	6,12	998,8	6,43	1538,8		

В табл. 168 приведены значения энтальпий твердого и жидкого олова, полученные Келли [140] из его уравнений теплоемкости олова.

Таблица 168

ЭНТАЛЬПИЯ ТВЕРДОГО И ЖИДКОГО ОЛОВА, ккал/г-атом [140]

$T, ^\circ\text{K}$	$H_T - H_{298,16}$	$T, ^\circ\text{K}$	$H_T - H_{298,16}$	$T, ^\circ\text{K}$	$H_T - H_{298,16}$
<i>Твердое олово</i>		<i>Жидкое олово</i>		900	6040
350	340	505,1	3160	1000	6770
400	680	600	3850	1100	7500
450	1030	700	4580	1200	8230
500	1400	800	5310	1300	8960
505,1	1440				

Энтропия. Величины энтропии олова, приведенные в табл. 169, получены графическим интегрированием кривой теплоемкости.

Таблица 169
ЭНТРОПИЯ ОЛОВА, кал/г·атом·град.

Температура, °К	Sn (α)		Sn (β)		Год	Литературный источник
	C_p кал/г·атом	S_T^0	C_p кал/г·атом	S_T^0		
0	0	0	0	0	1914	[80]
50	2,66	1,94	3,66	2,68		
100	4,68	4,47	5,36	5,83	1924	[79]
150	5,50	6,52	5,97	8,12		
200	5,88	8,32	6,24	9,91		
250	6,07	9,68	6,36	11,32	1923	[81]
273,1	6,10	10,23	6,40	11,85		
298,1	6,12	10,68	6,43	12,49		

Основные современные справочники рекомендуют следующие совпадающие величины стандартной энтропии олова

Sn (α):

$$S_{298}^0 = 10,7 \pm 0,1 \text{ кал/моль·град};$$

Sn (β):

$$S_{298}^0 = 12,3 \pm 0,1 \text{ кал/моль·град};$$

Sn (γ):

$$S_{298}^0 = 40,24 \pm 0,01 \text{ кал/моль·град}.$$

Энтропии олова при различных температурах, рассчитанные Келли [140] по его уравнениям теплоемкостей, приведены в табл. 170.

Таблица 170
ЭНТРОПИЯ ТВЕРДОГО И ЖИДКОГО ОЛОВА ПРИ РАЗЛИЧНЫХ ТЕМПЕРАТУРАХ
кал/г·атом·град [140]

$T, ^\circ\text{K}$	$S_T^0 - S_{298}$	S_T^0	$T, ^\circ\text{K}$	$S_T^0 - S_{298}$	S_T^0	$T, ^\circ\text{K}$	$S_T^0 - S_{298}$	S_T^0
Твердое олово				Жидкое олово				
350	1,05	13,35	505,1	7,05	19,35	1000	12,03	24,33
400	1,96	14,26	600	8,30	20,60	1100	12,73	25,03
450	2,78	15,08	700	9,43	21,73	1200	13,36	25,66
500	3,56	15,86	800	10,40	22,70	1300	13,94	26,24
505,1	3,64	15,94	900	11,26	23,56			

Термодинамические величины для олова в состоянии идеального одноатомного газа

Стелл и Синке [293] использовав данные других авторов по давлениям насыщенного пара и энергетическим уровням газообразного олова, рассчитали энтропии и энталпии газообразного олова, а также теплоты и изобарные потенциалы перехода из исходного состояния в состояние идеального одноатомного газа. Эти величины приводятся в табл. 171.

Таблица 171

ТЕРМОДИНАМИЧЕСКИЕ ВЕЛИЧИНЫ ДЛЯ ОЛОВА
В СОСТОЯНИИ ИДЕАЛЬНОГО ОДНОАТОМНОГО ГАЗА [293]

$$H_{298,16}^0 - H_0^0 = 1485 \text{ кал/г·атом}$$

Температура °К	p кал/г·атом	$H_0^0 - H_{298,16}^0$ кал/г·атом	S_T^0 в. е.	Теплота и изобарный потенциал перехода из исходного состояния	
				ΔH° кал/г·атом	ΔZ° кал/г·атом
298	5,08	0	40,27	72000	63667
300	5,09	9	40,28	71998	63613
400	5,47	535	41,79	71885	60839
500	6,05	1110	43,07	71710	58110
600	6,66	1747	44,22	69897	55719
1000	7,91	4735	48,01	69965	46275
1100	7,92	5527	48,77	70027	43902
2000	6,87	12200	53,23	70130	22403
2900	6,30	18089	55,67	69449	1328
3000	6,27	18717	55,89	0	0

М. Х. Карапетьянц [295] рассчитал по своему уравнению $\Delta Z_{298}^0 \approx A\Delta H_{298}^0 + B$ для газообразного олова $\Delta Z_{298}^0 = 62,72 \text{ ккал/г·атом}$.

Теплота, изобарный потенциал и энтропия превращения олова

Изобарный потенциал превращения олова. Бронстед [80] получил следующее уравнение для изобарного потенциала превращения Sn (α) \rightleftharpoons Sn (β):

$$\Delta Z^\circ = 332,4 - 3,143 T \lg T + 4,37 \cdot 10^{-3} T^2 - 4,80 \cdot 10^{-6} T^3 + 2,7 \cdot 10^{-9} T^4 + 5,677 T.$$

Это уравнение применимо в интервале 80—292° К. При температуре 60—80° К ход зависимости теплоемкостей от температуры резко изменяется, но ΔC_p постоянно. Для вычисления Q_p и ΔZ при температурах ниже 60° К Бронстед использовал функцию Дебая. Полученные им указанными путями величины изобарного потенциала превращения олова при различных температурах даны в табл. 172 (см. также на рис. 1).

Таблица 172

ТЕПЛОТЫ И ИЗОБАРНЫЕ ПОТЕНЦИАЛЫ ПРЕВРАЩЕНИЯ БЕЛОГО ОЛОВА В СЕРОЕ [80], кал

$T, ^\circ K$	Q_p	ΔZ°	$T, ^\circ K$	Q_p	ΔZ°
0	371	371	100	434	311
30	376	369	200	499	162
40	383	365	273	532	34
60	401	353	292	541	0
80	418	334			

Энтропия превращения олова. Используя рекомендованные величины теплоты превращения, получаем энтропии превращения олова, приведенные в табл. 173. Величина энтропии превращения $Sn(\alpha) \rightleftharpoons Sn(\beta)$ удовлетворительно согласуется с разностью стандартных энтропий белого и серого олова, которая при 298° К составляет (по рекомендованным значениям) $1,6 \pm 0,2$ кал/моль·град.

Таблица 173

ЭНТРОПИЯ ПРЕВРАЩЕНИЯ ОЛОВА

Вид превращения	$t, ^\circ C$	Энтропия превращения кал/моль·град	Примечание
$Sn(\alpha) \rightleftharpoons Sn(\beta)$	18	2,1	
$Sn(\beta) \rightleftharpoons Sn(\gamma)$	202,8	0,004	По Россини [33]
$Sn(\alpha) \rightleftharpoons Sn(\beta)$	13	$1,75 \pm 0,25$	По Кубашевскому и Эвансу [34]
$Sn(\alpha) \rightleftharpoons Sn(\beta)$	25	$1,84 \pm 0,28$	То же

Зависимость энтропии превращения олова от температуры см. также на рис. 1.

Энтропия плавления олова. Энтропию плавления олова вычисляют из теплоты плавления. Россини и др. [33], исходя

из теплоты плавления олова 1,69 ккал/моль, рекомендуют $\Delta S_{пл} = -3,35$ кал/моль·град; А. Н. Крестовников [297] по совокупности работ рекомендует $\Delta S_{пл} = 3,3$ кал/моль·град.

Функции Φ' и Φ'' . Рассчитанные нами (по приведенным выше величинам энталпии и энтропии) функции Φ' и Φ'' для белого олова приведены в табл. 174.

Таблица 174

ФУНКЦИИ Φ' И Φ'' ДЛЯ БЕЛОГО ОЛОВА, кал/г·атом·град

$T, ^\circ K$	Φ'	Φ''	$T, ^\circ K$	Φ'	Φ''	$T, ^\circ K$	Φ'	Φ''
<i>Твердое</i>			500	10,00	13,06	800	14,14	16,06
273	6,81	12,43	505,1 (тв.)	10,05	13,10	900	15,14	16,85
298	7,14	12,3				1000	16,02	17,56
350	7,96	12,38	<i>Жидкое</i>			1100	16,82	18,21
400	8,70	12,56	505,1 (ж.)	10,05	13,10	1200	17,52	18,90
450	9,38	12,79	600	11,72	14,19	1300	18,18	19,31
			700	13,00	15,18			

Данные по изобарному потенциальному испарению олова от 0 до 2000° К графически представлены в работе Эванса [62].

§ 24. СЕРНИСТОЕ ОЛОВО SnS

Кристаллическая структура, плотность, температура плавления и кипения

Молекулярный вес SnS равен 150,77.

Тип структуры B_{29} [1, 299, 300]. Количество молекул в элементарной ячейке 4. Параметры решетки при 20° С $a = 11,18$ кХ, $b = 3,98$ кХ; $c = 4,33$ кХ.

Справочники рекомендуют для плотности сернистого олова величину 5,08 г/см³ [2], для температуры плавления 880° С [2, 33, 34] и для температуры кипения 1230° С [2].

Давление насыщенного пара

Давление насыщенного пара SnS, определенное А. А. Бенуни, А. А. Цейдлером [301], Ричардсом [302], Клайром, Шиблером и Солетом [303] и Хизао [304], представлены на рис. 2 и в табл. 175. Данные первых двух работ существенно отличаются от остальных. Величины, полученные А. А. Бенуни, А. А. Цейдлером (применявшими метод Кнудсена) и Ричардсом (использовавшим метод струи), хорошо сходятся, что позволяет считать их наибо-

лее надежными. В пределах от 936 до 1084° К давления насыщенного пара SnS, полученные Бенуни, Цейблером и Ричардсом, описываются уравнением:

$$\lg P_{\text{мм}} = -\frac{10470}{T} + 7,088.$$

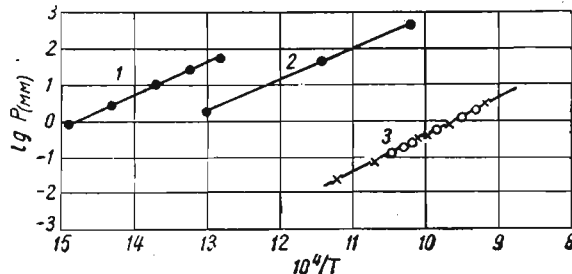


Рис. 2. Давление насыщенного пара SnS по данным различных авторов:
1 — Клайр, Шиблер, Солет [303]; 2 — Хизао [304];
3 — Ричардс [302], Бенуни и Цейблер [301]

Экстраполируя это уравнение, Ричардс рассчитал для SnS температуру кипения, равную 1210±5° С.

Кубашевский и Эванс [289] рекомендуют уравнение $\lg P_{\text{мм}} = -10460T^{-1} + 9,97$ и температуру кипения 1200°.

Таблица 175
ДАВЛЕНИЕ НАСЫЩЕННОГО ПАРА СУЛЬФИДА ОЛОВА

Температура °C	$\lg P_{\text{мм}}$	Год	Литературный источник	Температура °C	$\lg P_{\text{мм}}$	Год	Литературный источник
400	-0,114			617	-1,754		
427	0,415			663	-1,161		
454	0,886			718	-0,575		
482	1,210			722	-0,539		
510	1,480			769	-0,020		
		1954	[304]	811	0,385		[301]

Теплоемкость, энтропия, энтальпия и функция Φ''

Теплоемкость. Данные различных авторов по теплоемкостям сернистого олова приведены в табл. 176 и 177.

Уравнение зависимости теплоемкости SnS от температуры, предложенное еще Реньо [154], принято и в современных справочниках:

$$C_p = 12,1 + 1,65 \cdot 10^{-3} T \text{ (273 — 1153°K).}$$

Кубашевский и Эванс [289] рекомендуют

$$C_p = 8,53 + 7,48 \cdot 10^{-3} T + 0,9 \cdot 10^5 T^{-2} \text{ (2%; 298 — 875°K);}$$

$$C_p = 9,78 + 3,74 \cdot 10^{-3} T \text{ (1%; 875° — } T_{\text{пл}}).$$

Келли [140] предложил уравнение

$$C_p = 9,38 + \\ + 7,40 \cdot 10^{-3} T \text{ (298 — 1000°K).}$$

Таблица 177
ИСТИННАЯ ТЕПЛОЕМКОСТЬ SnS

Температура °K	Теплоемкость		Год	Литературный источник
	удельная	молекулярная		
52,45	0,0315	4,762		
75,28	0,0440	6,623	1953	[306]
80,00	0,0460	7,0±0,50	1959	[307]
104,47	0,0555	8,368		
125,28	0,0611	9,249		
155,93	0,0670	10,13		
176,12	0,0700	10,54		
206,31	0,0725	10,95	1953	[306]
226,05	0,0740	11,19		
256,19	0,0760	11,45		
276,36	0,0771	11,61		
296,80	0,0778	11,77		

Таблица 176
СРЕДНЯЯ ТЕПЛОЕМКОСТЬ SnS

Пределы температур, °C	Теплоемкость		Год	Литературный источник
	удельная	молекулярная		
13—98	0,0836	12,63	1841	[154]
0—100	0,083	12,5		
0—500	0,086	12,95	1936	[155]
0—600	0,088	13,25		
0—700	0,093	14,00		
80—952	0,119	17,90	1958	[305]

Энтальпия. Для вычисления энтальпии SnS при повышенных температурах Келли [140] путем интегрирования уравнения теплоемкости получает

$$H_T - H_{298} = 9,38T + 3,70 \cdot 10^{-3} T^2 - 3126 \text{ (5%; 298 — 1000°K).}$$

В табл. 178 приведены рассчитанные Келли величины $H_T - H_{298}$.

Опп и Христенсен [305] по результатам своих измерений составили следующие уравнения энтальпии сернистого олова:

$$H_T - H_{298,15} = 8,53T + 3,74 \cdot 10^{-3} T^2 - 0,90 \cdot 10^5 T^{-1} - \\ - 2540 \text{ (0,2%; 298 — 875°K);}$$

$$H_T - H_{298,15} = 9,78 T + 1,87 \cdot 10^{-3} T^2 -$$

— 2180 (0,2%; 875 — 1153°K);

$$H_T - H_{298,15} = 17,90 T - 1510 (0,2%; 1153 — 1250°K).$$

Рассчитанные по последнему уравнению энталпии и энтропии жидкого сернистого олова представлены в табл. 179.

Таблица 178

ЭНТАЛЬПИЯ СЕРНИСТОГО ОЛОВА [140]
кал/моль

$T, ^\circ\text{K}$	$H_T - H_{298}$	$T, ^\circ\text{K}$	$H_T - H_{298}$
400	1220	800	6730
500	2480	900	8320
600	3800	1000	9960
700	5210		

Таблица 179
ЭНТАЛЬПИЯ И ЭНТРОПИЯ ЖИДКОГО
SnS [305]

$T, ^\circ\text{K}$	$H_T - H_{298}$ кал/моль	$S_T - S_{298}$ кал/моль·град
1153	19 130	24,41
1200	19 970	25,13
1250	20 860	25,85

Энтропия. В. А. Киреев [308] методом сравнения рассчитал $S_{298} = 18,2 \pm 1,5$.

Исходя из исследований теплоемкости сульфида олова, проведенных Б. К. Веселовским в интервале 79—300°, Брицке, Ка-пустинский и др. [35] рекомендуют $S_{298} = 18,59 \pm 0,6$. Кубашевский и Эванс [289] рекомендуют $S_{298} = 18,4 \pm 0,2$.

Кинг и Тодд [306], исходя из найденных ими теплоемкостей, рассчитали $S_{298} = 18,4 \pm 0,2$.

Для газообразного SnS Келли [156] рекомендует $S_{298} = 57,9 \pm 0,3$.

Таблица 180

ЭНТРОПИЯ СЕРНИСТОГО ОЛОВА [140]
кал/моль·град

$T, ^\circ\text{K}$	$S_T - S_{298}$	S_T
400	3,52	22,11
500	6,33	24,92
600	8,73	27,32
700	10,90	29,49
800	12,93	31,52
900	14,80	33,39
1000	16,53	35,12

Таблица 181

ВЕЛИЧИНЫ ФУНКЦИИ Φ''
ДЛЯ СЕРНИСТОГО ОЛОВА

$T, ^\circ\text{K}$	Φ''
400	19,09
500	19,96
600	20,98
700	22,04
800	23,10
900	24,15
1000	25,16

Келли [140] рассчитал энтропии сернистого олова при различных температурах, исходя из своего уравнения для теплоемкости SnS (табл. 180).

Функция Φ'' . В табл. 181 приведены значения функции Φ'' для сернистого олова, вычисленные из данных Келли [140] по энталпии и энтропии SnS.

Теплота превращения и плавления, энталпия и энтропия газообразного SnS

Орр и Христенсен [305] обнаружили при 875° С превращение из низкотемпературной (α) в высокотемпературную (β) модификацию сернистого олова; превращение сопровождается тепловым эффектом, равным 160 кал/моль.

Брицке, Капустинский и др. [35], по данным Веселовского, предлагают величину $4,46 \pm 0,5$ ккал/моль для теплоты плавления SnS. Келли [136] считает, что теплота плавления находится в пределах 3,6—5,6 ккал/моль. Орр и Христенсен [305] измерили теплоту плавления SnS равной 6,55 ккал/моль.

Принимая SnS при 298,16° К за идеальный газ с молекулярным весом 150,77, Келли [140] рекомендует следующие уравнения для зависимости теплоемкости и энталпии от температуры (точность 0,5%; интервал температур 298—2000° К):

$$C_p = 8,83 + 0,08 \cdot 10^{-3} T - 0,55 \cdot 10^5 T^{-2},$$

$$H_T - H_{298,15} = 8,83 T + 0,04 \cdot 10^{-3} T^2 + 0,55 \cdot 10^5 T^{-1} - 2821.$$

Полученные Келли по этим уравнениям величины представлены в табл. 182.

Таблица 182
ЭНТАЛЬПИЯ И ЭНТРОПИЯ ГАЗООБРАЗНОГО SnS [140]

Темпера- $t^\circ\text{K}$	$H_T - H_{298,16}$ кал/моль	$S_T - S_{298,16}$ кал/моль·град	Темпера- $t^\circ\text{K}$	$H_T - H_{298,16}$ кал/моль	$S_T - S_{298,16}$ кал/моль·град
400	855	2,47	1000	6105	10,46
500	1710	4,37	1200	7880	12,08
600	2580	5,96	1400	9660	13,45
700	3455	7,31	1600	11440	14,64
800	4335	8,48	1800	13225	15,62
900	5220	9,52	2000	15010	16,63

Теплота образования, давление диссоциации и изобарный потенциал образования SnS

Теплота образования SnS. Стандартные теплоты образования сернистого олова в современных справочниках следующие (в ккал/моль):

Брицке, Капустинский и др. [35]	18,2
Россини и др. [33]	18,6
Кубашевский и Эванс [289]	25,1±1,2

Из констант равновесия Ричардс [302] вычислил теплоту образования SnS при 25° С равной 24,34 ккал/моль.

Давление диссоциации SnS. В табл. 183 приведены данные по давлению диссоциации сернистого олова, полученные различными авторами при изучении восстановления SnS водородом.

Брицке и Капустинский [158] составили следующее уравнение, отвечающее удовлетворительно их опытным данным по восстановлению SnS:

$$\lg P_{\text{SnS}} = -\frac{15430}{T} + 8,10.$$

Графическая температурная зависимость давления диссоциации SnS представлена в книге А. Н. Вольского [160].

Изобарный потенциал образования SnS. Вычисленный из давления диссоциации (по данным Брицке и Капустинского) изобарный потенциал образования SnS из жидкого олова и газообразной серы характеризуется следующими величинами:

$t, {}^\circ\text{C}$	510	609	707	823	923
$\Delta Z, \text{кал/моль}$. . .	-78 100	-75 560	-68 900	-59 520	-49 540

М. Х. Карапетянц [295] рассчитал стандартный изобарный потенциал образования $\Delta Z^0_{298} = -18240 \text{ ккал/моль}$. Ричардс [302] из констант равновесия при восстановлении SnS водородом рассчитал $\Delta Z^0_{298} = -24190 \pm 700 \text{ ккал/моль}$.

Россини и др. [33] рекомендуют $\Delta Z^0_{298} = -19700 \text{ ккал/моль}$.

§ 25. ДВУСЕРНИСТОЕ ОЛОВО SnS₂

Кристаллическая структура, плотность и теплоемкость

Молекулярный вес 182,83 [309]. Тип структуры [1, 299] C₆. Количество молекул в элементарной ячейке 1. Параметры решетки: $a = 3,639 \text{ к}\text{\AA}$; $c = 5,868 \text{ к}\text{\AA}$.

Плотность. Данные различных авторов [144, 145, 147], определявших плотность SnS₂, колеблются в пределах 4,42—4,60 г/см³. Рекомендуемое значение плотности 4,51 г/см³[2].

Теплоемкость. По данным Реньо [154], средняя теплоемкость SnS₂ в пределах 12—85° С составляет 0,1193 кал/г·град, или 21,85 кал/моль·град.

Истинная теплоемкость SnS₂ при низких температурах приведена в табл. 184.

Таблица 184

ИСТИННАЯ ТЕПЛОЕМКОСТЬ SnS₂ [306]

Темпера- тура °К	Теплоемкость		Темпера- тура °К	Теплоемкость	
	удельная	мольная		удельная	мольная
52,75	0,0226	4,139	206,63	0,0812	14,87
74,92	0,0351	6,407	226,53	0,0839	15,38
105,07	0,0517	9,435	257,06	0,0876	16,02
124,72	0,0605	11,02	276,28	0,0895	16,39
155,79	0,0709	12,92	296,54	0,0915	16,76
176,14	0,0760	13,85			

Реньо [154] по своим данным составил уравнение зависимости теплоемкости двусернистого олова от температуры:

$$C_p = 20,5 + 4,00 \cdot 10^{-3} T (273 — 873^\circ\text{K}).$$

Кубашевский и Эванс [289] рекомендуют уравнение

$$C_p = 15,51 + 4,20 \cdot 10^{-3} T (2\%; 298 — 1000^\circ\text{K}).$$

Диссоциация, теплота и изобарный потенциал образования SnS₂. Энталпия и энтропия SnS₂. Функции Φ' и Φ''

Диссоциация, теплота и изобарный потенциал образования SnS₂. По данным И. С. Волынского и Н. Н. Севрюкова [163], при диссоциации SnS₂ последовательно образуются Sn₂S₃ и SnS; при этом температуры начала диссоциаций следующие: для $2\text{SnS}_2 \rightleftharpoons \text{Sn}_2\text{S}_3 + \frac{1}{2}\text{S}_2 = 520^\circ\text{C}$, для $\text{Sn}_2\text{S}_3 \rightleftharpoons 2\text{SnS} + \frac{1}{2}\text{S}_2 = 640^\circ\text{C}$.

Давление диссоциации высших сульфидов олова измерялось Я. И. Герасимовым, Е. В. Кругловой и Н. Д. Розенблюм [253]. Вычисленные ими из давлений диссоциации теплоты образования высших сульфидов из жидкого олова и паров двухатомной серы составляют:

$$Q_P = -\Delta H = 51500 \text{ кал/моль} (\text{SnS}_2),$$

$$Q_P = -\Delta H = 85500 \text{ кал/моль} (\text{Sn}_2\text{S}_3).$$

Н. Н. Севрюков [310] измерил следующие давления паров S_2 при термической диссоциации SnS_2 :

$t, ^\circ\text{C}$	350	400	450	500
$\lg P_{\text{S}_2} (\text{мм})$	-14,024	-11,9914	-9,7424	-8,1824

Эти данные описываются уравнением

$$\lg P_{\text{S}_2} (\text{мм}) = -\frac{19280}{T} + 16,66.$$

Вычисленные Н. Н. Севрюковым [310] из давлений диссоциации стандартные изобарные потенциалы образования высших сульфидов составляют:

$$\Delta Z_{298}^\circ = -47552 \text{ кал/моль} (\text{SnS}_2),$$

$$\Delta Z_{298}^\circ = -64561 \text{ кал/моль} (\text{Sn}_2\text{S}_3).$$

Кубашевский и Эванс [289] рекомендуют стандартную теплоту образования SnS_2 :

$$\Delta H_{298}^\circ = -40,0 \pm 4,0 \text{ ккал/моль}.$$

Энтальпия и энтропия SnS_2 . Опп и Христенсен [305] по своим данным составили уравнение энтальпии SnS_2 :

$$H_T - H_{298} = 15,51 \cdot T - 2,10 \cdot 10^{-3} T^2 - 4800 (0,2\%; 298 - 1000^\circ\text{K}).$$

Вычисленные по этому уравнению энтальпии, а также энтропии $\text{SnS}_2 S^\circ_{298}$ принимается равной 20,9 по Кингу и Тодду [306]) приведены в табл. 185.

Таблица 185

ЭНТАЛЬПИЯ И ЭНТРОПИЯ SnS_2

$T, ^\circ\text{K}$	$H_T - H_{298}$ кал/моль	$S_T - S_{298}$ кал/моль·град	S_T° кал/моль·град
400	1740	5,02	25,92
600	5250	12,12	33,02
800	8930	17,41	38,31
1000	12810	21,73	42,63

Таблица 186
ФУНКЦИЯ Φ'' ДЛЯ SnS_2 ,
кал/моль·град

$T, ^\circ\text{K}$	Φ''
400	21,57
600	24,37
800	27,15
1000	29,82

Функция Φ'' для двусернистого олова. Рассчитанные по данным табл. 185 значения функции Φ'' представлены в табл. 186.

§ 26. ОКИСЬ ОЛОВА SnO

Кристаллическая структура, плотность, давление пара

Молекулярный вес 134,70 [309]. Тип структуры B_{10} , тетрагональная [164, 299]. Число молекул, приходящихся на ячейку, 2. Параметры решетки при 20°C : $a = 3,796 \text{ к}\text{\AA}$; $c = 4,816 \text{ к}\text{\AA}$.

Данные о плотности окиси олова [165—168] колеблются в пределах 5,959—6,60 $\text{г}/\text{см}^3$. Рекомендуемое значение плотности $\text{SnO} = 6,446 \text{ г}/\text{см}^3$ (по М. П. Славинскому [3]).

По данным Мотта [55], температура кипения SnO составляет 1000°C . Графическая зависимость давления насыщенного пара SnO от температуры дана в книге А. Н. Вольского [169]. В. К. Веселовский [208] методом Кнудсена измерил давление насыщенного пара SnO в смеси с SnO_2 и Sn (табл. 187) и описал его уравнением:

$$\lg P_{(\text{мм})} = -15217 T^{-1} - 1,91 \lg T - 0,062 \cdot 10^{-3} T + 0,16 \cdot 10^5 T^{-2} + 17,63.$$

Бруер [170] для окиси олова в смеси с SnO_2 и Sn дает следующие значения давления насыщенного пара SnO :

$$\begin{aligned} T^\circ, \text{ K} &\dots & 1300 & 1800 \\ P, \text{ atm} &\dots & 10^{-3} & 1 \end{aligned}$$

По данным Платтеева и Майера [311] давление паров SnO описывается уравнением

$$\lg P_{(\text{мм})} = -13160 T^{-1} + 10,775.$$

Шпандау и Ульрих определили температуру кипения SnO равной 1425°C [312].

Теплоемкость, энтальпия и энтропия

Теплоемкость. Величины истинной теплоемкости SnO , по данным Миллара [171], представлены в табл. 188.

Для средней теплоемкости Келли [231] предложил следующее уравнение:

$$\bar{C}_P = 9,55 + 3,50 \cdot 10^{-3} T.$$

Это уравнение рассчитано на интервал $298—1273^\circ\text{K}$ и рекомендуется в современных справочниках с точностью 5%.

10 Я. И. Герасимов и др.

Таблица 187
ДАВЛЕНИЕ НАСЫЩЕННОГО ПАРА SnO
[208]

Температура		
$^\circ\text{C}$		
$^\circ\text{C}$	$^\circ\text{K}$	$\lg P_{(\text{мм})}$
721,7	994,8	4,708
747,3	1020,4	4,992
763,0	1036,1	3,273
795,1	1068,2	3,673
838,0	1111,1	2,154
854,0	1127,1	2,403
892,9	1166,0	2,745

Таблица 188
ИСТИННАЯ ТЕПЛОЕМКОСТЬ SnO [171]

Температура $^{\circ}\text{K}$	Теплоемкость кал/моль	Температура $^{\circ}\text{K}$	Теплоемкость кал/моль	Темпера- тура, $^{\circ}\text{K}$	Теплоемкость кал/моль
69,6	4,067	140,8	7,594	230,2	9,917
73,0	4,300	156,9	8,145	251,3	10,17
81,7	4,910	181,7	8,856	268,3	10,24
93,3	5,432	193,5	9,172	284,3	10,51
108,1	6,251	209,7	9,536	292,5	10,52
125,0	6,975				

Энтропия. Миллар [171] вычислил энтропию SnO путем графического интегрирования кривой теплоемкости и нашел $S_{298} = 13,86 \text{ кал/град.}$

Келли [156], по данным Миллара, рекомендует $S_{298,16} = 13,5 \pm 0,3 \text{ кал/град.}$; при этом $S_{63,1}^0 = 2,07 \text{ кал/град.}$

Для газообразной SnO Россини и др. [33] и Келли [156] рекомендуют, соответственно, $S_{298}^0 = 54,98 \text{ кал/моль\cdotград}$ и $S_{298}^0 = 55,46 \pm 0,1 \text{ кал/моль\cdotград.}$

Принимая SnO при $298,16^{\circ}\text{K}$ за идеальный газ с молекулярным весом 134,70, Келли [140] рекомендует следующие уравнения для зависимости теплоемкости и энталпии от температуры:

$$C_p = 8,42 + 0,32 \cdot 10^{-3} T - 0,84 \cdot 10^5 T^{-2},$$

$$H_T - H_{298} = 8,42 T + 0,16 \cdot 10^{-3} T^2 + 0,84 \cdot 10^5 T^{-1} - 2806.$$

(точность уравнения 0,5% в интервале 298—2000°).

Величины энталпий и энтропий, полученные Келли по этим уравнениям, представлены в табл. 189.

Таблица 189
ЭНТРОПИЯ И ЭНТАЛЬПИЯ ГАЗООБРАЗНОЙ SnO [140]

Температура $^{\circ}\text{K}$	$H_T - H_{298}$ кал/моль	$S_T - S_{298}$ кал/моль\cdotград	Температура $^{\circ}\text{K}$	$H_T - H_{298}$ кал/моль	$S_T - S_{298}$ кал/моль\cdotград
400	790	2,28	1000	5875	9,99
500	1605	4,09	1200	7625	11,59
600	2435	5,61	1400	9390	12,95
700	3280	6,91	1600	11055	14,12
800	4140	8,06	1800	12930	15,17
900	5005	9,08	2000	14705	16,10

Теплота, энтропия и изобарный потенциал образования SnO

Теплота образования SnO . Данные различных авторов, определявших теплоту образования SnO , колеблются в пределах 60 700—70 700 кал/моль [161, 162, 172—174, 256]. По Коулину [313] для SnO $\Delta H_{298}^{\circ} = -68,350 \pm 50$. У него даны значения ΔH до 1300°K . У Бруера и Мастика [239] дана таблица для теплоты образования от 298 до 2000°K . Рекомендованные значения для теплоты образования окиси олова (в ккал/моль):

Россини и др. [33]	68,4
Брицке, Капустинский и др. [35]	67,9
Кубашевский и Эванс [289]	$68,4 \pm 0,3$

Энтропия образования SnO . Приняв для энтропий $\text{Sn}(\beta)$ и O_2 величины $S_{298} = 12,3$ и $S_{298} = 49,2$ (Льюис) и для энтропии SnO величину 13,5, получаем для энтропии образования $\Delta S = -23,4$.

Изобарный потенциал образования SnO . Результаты вычислений у различных авторов колеблются в пределах минус 61 332—63 321 кал/моль [121, 174, 255, 313, 295]. По Хэмфри и О'Бриен [327] для SnO $\Delta Z_{298}^{\circ} = -61,400 \pm 600$. Рекомендованные значения ΔZ^0 (в ккал/моль):

Россини и др. [33]	-61,5
Бруер [170]	-62,1

Коулин [313], используя величины теплот образование, полученные в работах других авторов, и результаты измерений равновесия, составил следующие уравнения для изобарного потенциала образования SnO :

$$\begin{aligned} \text{Sn(тв)} + \frac{1}{2}\text{O}_2 &= \text{SnO(тв)} \quad (298,16 - 505^{\circ}\text{K}) \\ \Delta Z_1^{\circ} &= -68600 - 3,57 T \lg T + 1,65 \cdot 10^{-3} T^2 - \\ &\quad - 0,10 \cdot 10^5 T^{-1} + 32,59 T; \\ \text{Sn(ж)} + \frac{1}{2}\text{O}_2 &= \text{SnO(тв)} \quad (505 - 1300^{\circ}\text{K}) \\ \Delta Z_2^{\circ} &= -69670 + 3,06 T \lg T - 1,50 \cdot 10^{-3} T^2 - 0,10 \cdot 10^5 T^{-1} + 18,39 T; \\ \text{Sn(тв)} + \frac{1}{2}\text{O}_2 &= \text{SnO(г)} \quad (298,16 - 505^{\circ}\text{K}) \\ \Delta Z_3^{\circ} &= -1000 - 0,97 T \lg T + 3,24 \cdot 10^{-3} T^2 + \\ &\quad + 0,32 \cdot 10^5 T^{-1} - 17,41 T; \\ \text{Sn(ж)} + \frac{1}{2}\text{O}_2 &= \text{SnO(г)} \quad (505 - 2000^{\circ}\text{K}) \\ \Delta Z_4^{\circ} &= -2070 + 5,66 T \lg T + 0,09 \cdot 10^{-3} T^2 + \\ &\quad + 0,32 \cdot 10^5 T^{-1} - 31,62 T. \end{aligned}$$

Вычисленные по этим уравнениям величины ΔZ_T° приведены в табл. 190.

Таблица 190
ИЗОБАРНЫЙ ПОТЕНЦИАЛ ОБРАЗОВАНИЯ SnO [313], кал

Температура, $^{\circ}\text{К}$	$-\Delta Z_1^\circ$	$-\Delta Z_2^\circ$	$-\Delta Z_3^\circ$	$-\Delta Z_4^\circ$	Температура, $^{\circ}\text{К}$	$-\Delta Z_1^\circ$	$-\Delta Z_2^\circ$	$-\Delta Z_3^\circ$	$-\Delta Z_4^\circ$
298	61400	—	6500	—	1100	—	41050	—	17800
400	59050	—	8400	—	1200	—	38450	—	18900
500	56750	—	10100	—	1300	—	35900	—	20100
505	56600	—	10200	—	1400	—	—	—	21200
600	—	54100	—	11500	1500	—	—	—	22300
700	—	51450	—	12800	1600	—	—	—	23400
800	—	48800	—	14100	1700	—	—	—	24500
900	—	46200	—	15400	1800	—	—	—	25500
1000	—	43600	—	16600	1900	—	—	—	26600
					2000	—	—	—	27600

§ 27. ДВУОКИСЬ ОЛОВА SnO_2

Кристаллическая структура, плотность, температура плавления, давление паров, коэффициент расширения

Молекулярный вес SnO_2 равен 150,7 [309]. Тип структуры C_4 . На элементарную ячейку приходится 2 молекулы. Координационное число 11. Параметры решетки при 20°C : $a = 4,737 \text{ \AA}$, $c = 3,185 \text{ \AA}$.

Плотность. Величины плотности двуокиси олова различного происхождения, определенные многочисленными авторами при разных условиях [144, 175—195], колеблются в пределах $6,160$ — $7,044 \text{ g/cm}^3$.

Для металлургических расчетов плотность двуокиси олова, полученной прокаливанием (аморфной) можно принимать равной $7,0096 \text{ g/cm}^3$, а плотность кассiterита (кристаллического) — $6,95 \text{ g/cm}^3$ [3].

Температура плавления. Согласно данным Н. Н. Мурача [196], двуокись олова при нагревании в цирконовом тигле до 1750° еще не плавится, а лишь спекается. Н. Н. Мурач считает, что температура плавления SnO_2 составляет около 2000° . По данным Сильвермана и др. [315], кассiterит плавится при температуре 1625° .

Давление насыщенного пара. Полученные Файзером [314] давления пара SnO_2 представлены графически на рис. 3.

Обработав данные Файзера, В. К. Веселовский [208] составил уравнение

$$\lg P_{(\text{м.м.})} = -28800 T^{-1} + 16,5.$$

Коэффициент расширения SnO_2 . По М. А. Славинскому [3] коэффициент линейного расширения кристаллической двуокиси олова равен $a = 4 \cdot 10^{-6}$.

Теплоемкость, теплота превращения и плавления, энтропия, энтальпия и функция Φ .

Теплоемкость. Истинная и средняя теплоемкости двуокиси олова приведены в табл. 191 и 192.

Таблица 191
ИСТИННАЯ ТЕПЛОЕМКОСТЬ SnO_2

Температура, $^{\circ}\text{К}$	Мольная теплоемкость	Год	Литературный источник
1500	18,45		
1000	17,40	1936	[202]

Преимущества температур, $^{\circ}\text{C}$	Теплоемкость	Год	Литературный источник
	Удельная	Мольная	
16—17	0,0894	13,47	1864 [200]
0—100	0,0931	14,03	1831 [201]
16—98	0,09326	14,06	1841 [154]

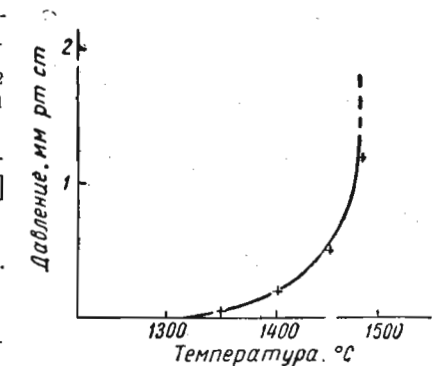


Рис. 3. Давление насыщенного пара SnO_2 по Файзеру [314]

Капустинский, Зильберман и Веселовский [202], основываясь на значениях $C_P = 12,75$ для 300°K (по Миллару), $C_P = 17,40$ для 1000°K и $C_P = 18,45$ для 1500°K (оба последних значения из высокотемпературных измерений авторов),

Таблица 192
СРЕДНЯЯ ТЕПЛОЕМКОСТЬ SnO_2

Преимущества температур, $^{\circ}\text{C}$	Теплоемкость	Год	Литературный источник
	Удельная	Мольная	
16—17	0,0894	13,47	1864 [200]
0—100	0,0931	14,03	1831 [201]
16—98	0,09326	14,06	1841 [154]

предложили следующее уравнение зависимости теплоемкости SnO_2 от температуры:

$$C_p = 17,874 + 1,929 \cdot 10^{-3}T - 4,649 \cdot 10^5 T^{-2} (2\%, 273 - 1496^\circ\text{K}).$$

Келли [140], исходя из более поздних данных по высокотемпературным свойствам металлов и их соединений, предлагает уравнение

$$C_p = 17,66 + 2,40 \cdot 10^{-3}T - 5,16 \cdot 10^5 T^{-2} (3\%, 298 - 1500^\circ\text{K}).$$

Это уравнение рекомендуют Кубашевский и Эванс [289].

Теплоты полиморфных превращений SnO_2 . Ляшенко [206] указывает на полиморфные превращения двуокиси олова: первое — при 703°K , второе — при 813°K . Согласно этим данным Брицке, Капустинский и др. [35] рекомендуют следующие значения теплот превращений: для 703°K $\Delta H^0 = -0,45 \text{ ккал/моль}$; для 813°K $\Delta H^0 = -0,30 \text{ ккал/моль}$.

Россини и др. [33] указывают лишь на первое превращение, причем дают для него более низкую температуру 683°K . Вычисленные ими $\Delta H_{683}^0 = -0,45 \text{ ккал/моль}$ и $\Delta S_{683}^0 = -0,66 \text{ ккал/моль}$.

Славинский [3] приводит тепловой эффект превращения двуокиси олова из аморфного состояния в кристаллическое:



Теплота плавления. Френкель и Снипишский [205] определили теплоту плавления двуокиси олова, равной 1660 кал/моль . Это значение соответствует температуре плавления 1625°C . Поскольку, согласно новым данным, температура плавления SnO_2 более высокая, теплота плавления, видимо, должна иметь другое значение.

Энталпия. Келли [140] предложил следующее уравнение для энталпии SnO_2 :

$$H_T - H_{298,16} = 17,66T + 1,20 \cdot 10^{-3}T^2 + 5,16 \cdot 10^5 T^{-1} - 7103.$$

Вычисленные Келли по этому уравнению значения энталпии приведены в табл. 193.

$T, ^\circ\text{K}$	$H_T - H_{298}$	$T, ^\circ\text{K}$	$H_T - H_{298}$
400	1510	1000	12210
500	3100	1100	14190
600	4780	1200	16210
700	6550	1300	18260
800	8390	1400	20340
900	10280	1500	22440

Энтропия. На основании данных Миллара [171] по теплоемкости SnO_2 в интервале $71-290^\circ\text{K}$ Келли [156] принимает величину стандартной энтропии двуокиси олова, равной $S_{298,16}^0 = 12,5 \pm 0,3$. При этом $S_{70,8}^0 = 1,38$. Эта величина рекомендуется современными справочниками (Брицке, Капустинский и др. [35], Россини и др. [33]).

Платтеев и Мейер [311] из равновесий рассчитали $S_{298}^0 = 11,6$ и из давления пара $S_{298}^0 = 11,1$.

Келли [140] рассчитал энтропию двуокиси олова при различных температурах, исходя из своего уравнения теплоемкости для SnO_2 (см. табл. 194). Эти данные хорошо сходятся с значениями энтропии SnO_2 , рассчитанными В. К. Веселовским [208] по уравнению теплоемкости SnO_2 , предложенному Капустинским, Зильберманом и Веселовским [202].

Функция Φ' . Вычисленные нами значения функции Φ' для двуокиси олова (по данным табл. 193 и 194) приведены в табл. 195.

Таблица 195

ФУНКЦИЯ Φ' ДЛЯ SnO_2
кал/моль · град

$T, ^\circ\text{K}$	Φ'						
400	13,07	700	16,80	1000	20,67	1300	24,12
500	14,18	800	18,58	1100	21,87	1400	25,16
600	15,50	900	19,45	1200	23,00	1500	26,16

Теплота образования SnO_2

Данные различных авторов по теплоте образования двуокиси олова колеблются в пределах $137-800-139-800 \text{ кал/моль}$ [161, 162, 171, 203, 258, 259]. По Коулуну [313] для SnO_2 $\Delta H_{298}^0 =$

$= -138\,800 \pm 150$. У Коулина дана таблица ΔH_T^0 до 2000°K . Для металлургических расчетов теплоту образования SnO_2 можно принимать равной $138,7 \text{ ккал/моль}$ [289].

Приняв для теплоемкости Sn и SnO_2 уравнения Келли, для ΔH_{298}^0 число — 138500 кал и для теплоты плавления олова величину 1720 кал/моль , Ланге [204] составил следующие уравнения для теплот образование:

$$\begin{aligned}\text{Sn (тв)} + \text{O}_2 &= \text{SnO}_2(\text{тв}) \\ Q_{P,1} &= -138920 + 0,62T + \\ &+ 0,30 \cdot 10^{-3} T^2 + 0,64 \cdot 10^5 T^{-1}; \\ \text{Sn (ж)} + \text{O}_2 &= \text{SnO}_2(\text{ж}) \\ Q_{P,2} &= -140470 - 0,93T + \\ &+ 2,70 \cdot 10^{-3} T^2 + 0,64 \cdot 10^5 T^{-1}.\end{aligned}$$

В табл. 196 представлены вычисленные по этим уравнениям значения для теплоты образования SnO_2 .

Энтропия и изобарный потенциал образования, давление диссоциации SnO_2

Энтропия образования SnO_2 . Для реакции $\text{Sn}(\text{тв}) + \text{O}_2 = \text{SnO}_2(\text{тв})$ Ланге [204], исходя из стандартных энтропий металла, кислорода и двуокиси, принимает $\Delta S_{298}^0 = -49,06 \text{ кал/моль} \cdot \text{град}$.

Изобарный потенциал образования SnO_2 . Для реакции образования SnO_2 из твердого олова и газообразного кислорода при комнатной температуре изобарный потенциал вычислен Милларом и Майером. Из теплового эффекта и абсолютных энтропий (Миллар [171]) $\Delta Z_{298}^0 = -123\,540 \text{ кал/моль}$. Из электродвижущих сил (Майер [174]) $\Delta Z_{298}^0 = -123\,200 \pm 400 \text{ кал/моль}$.

По формуле типа $\Delta Z_{298}^0 \approx A\Delta H_{298}^0 + B$ (М. Х. Карапетянц [295]) $\Delta Z_{298}^0 = -125\,560 \text{ кал/моль}$. Вычисленный из равновесий (Платтеев и Майер [311]) $\Delta Z_{298}^0 = -123\,900 \pm 100 \text{ кал/моль}$. По Хэмфри и О'Бриен [327] $\Delta Z_{298}^0 = -124\,250 \pm 250$.

Рекомендованные значения изобарного потенциала образования SnO_2 : $\Delta Z_{298}^0 = -124,2 \text{ ккал/моль}$. (Россини и др. [33]), $\Delta Z_{298}^0 = -123,8 \text{ ккал/моль}$ (Ланге [204]).

Ланге [204], исходя из выведенных им уравнений для теплот образования SnO_2 и данных по равновесию $\text{SnO}_2 + 2\text{CO} \rightleftharpoons \text{SnO}_2 + 2\text{H}_2$ (см. гл. VI), предложил следующие уравнения изо-

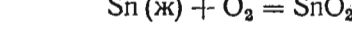
Темпера- тура, $^\circ\text{C}$	$-\Omega_{P,1}$	$-\Omega_{P,2}$
25	138500	140220
100	138470	140270
200	138425	140170
400	138270	139790
600	138080	139260
800	137850	138410
1000	137590	137250

барных потенциалов образования SnO_2 в зависимости от температуры:

$$\begin{aligned}\text{Sn (тв)} + \text{O}_2 &= \text{SnO}_2(\text{тв}) \\ \Delta Z_1^0 &= 138920 - 1,43T \lg T - 0,30 \cdot 10^{-3} T^2 + 0,32 \cdot 10^5 T^{-1} - \\ &- 53,74T; \\ \text{Sn (ж)} + \text{O}_2 &= \text{SnO}_2(\text{тв}) \\ \Delta Z_2^0 &= -140470 + 2,14T \lg T - 2,70 \cdot 10^{-3} T^2 + \\ &+ 0,32 \cdot 10^5 T^{-1} + 48,36T.\end{aligned}$$

Таблица 197
ИЗОБАРНЫЕ ПОТЕНЦИАЛЫ
ОБРАЗОВАНИЯ SnO_2
[204], кал/моль

Темпера- тура, $^\circ\text{C}$	$-\Delta Z_1^0$	$-\Delta Z_2^0$
25	123880	124620
100	120360	120360
200	116340	114530
400	105680	104990
600	95490	94880
800	86900	86540
1000	76580	74820



Ниже приведено давление диссоциации SnO_2 , вычисленное из величин ΔZ , полученных по уравнению Ланге:

$$\begin{aligned}\text{Температура, } ^\circ\text{C} &\dots 600 \quad 800 \quad 1000 \\ \lg p_{\text{O}_2} \text{ (ат.)} &\dots -23,83 \quad -17,62 \quad -12,81\end{aligned}$$

При комнатной температуре давление диссоциации SnO_2 с образованием твердого олова равно $3,24 \cdot 10^{-91} \text{ ат}$ (вычислено из изобарного потенциала образования SnO_2 Миллара и Майера).

По вычислениям из рекомендованных величин ΔZ_{298} получаем следующие давления диссоциации SnO_2 при 298°K (в ат.):

$$\begin{aligned}\text{Россини и др. [33]} &\dots 6,61 \cdot 10^{-92} \\ \text{Ланге [204]} &\dots 1,32 \cdot 10^{-91}\end{aligned}$$

А. Н. Вольский [160] на основе обобщения данных различных авторов составил график зависимости давления диссоциации SnO_2 от температуры.

Более поздние расчеты Капустинского и Грановской [207] дают меньшие значения давления диссоциации, а именно:

$$\begin{aligned}\text{Температура, } ^\circ\text{C} &\dots 600 \quad 800 \quad 1000 \quad 1200 \\ p_{\text{O}_2} \text{ (ат.)} &\dots 1,455 \cdot 10^{-40} \quad 1,026 \cdot 10^{-40} \quad 5,063 \cdot 10^{-27} \quad 6,606 \cdot 10^{-15}\end{aligned}$$

В. К. Веселовский [208] установил парциальные давления SnO , Sn и SnO_2 в реакции восстановления кассiterита окисью углерода при высоких температурах (табл. 198).

Таблица 198
ПАРЦИАЛЬНЫЕ ДАВЛЕНИЯ SnO , Sn И SnO_2
[208]

Темпера- тура $^{\circ}\text{C}$	Давление, мм рт. ст.			Темпера- тура* $^{\circ}\text{C}$	Давление, мм рт. ст.		
	SnO	Sn	SnO_2		SnO	Sn	SnO_2
727	$4 \cdot 10^{-4}$	—	—	1227	22	$2 \cdot 10^{-2}$	$2 \cdot 10^{-3}$
827	$8 \cdot 10^{-3}$	—	—	1327	81	0,095	$3 \cdot 10^{-2}$
927	0,1	$3 \cdot 10^{-5}$	—	1427	253	0,39	0,46
1027	0,8	$4 \cdot 10^{-4}$	$2,5 \cdot 10^{-6}$	1527	710	1,4	2,9
1127	6,7	$4 \cdot 10^{-3}$	$8 \cdot 10^{-5}$	1535	760	—	—

§ 28. ДВУХЛОРISTOE OLOVO SnCl_2

Кристаллическая структура, плотность, температура плавления, давление насыщенного пара

Молекулярный вес SnCl_2 равен 189,61 [309].

Количество молекул в элементарной ячейке 8. Параметры решетки при 20°C : $a=6,61\text{ \AA}$, $b=9,34\text{ \AA}$, $c=9,98\text{ \AA}$ [164, 300].

Плотность. Данные различных авторов по плотности SnCl_2 приведены в табл. 199.

Таблица 199
ПЛОТНОСТЬ ДВУХЛОРISTOGO OLOVA

Плотность g/cm^3	$t, ^{\circ}\text{C}$	Год	Литерату- рный источник	Плотность g/cm^3	$t, ^{\circ}\text{C}$	Год	Литерату- рный источник
<i>Твердое</i>							
3,952	25	1923	[209]				
3,950	25	1926	[210]	8,76— 8,34	639		
<i>Жидкое</i>							
3,367	245	1925	[211]	8,57	678	1888	[213]
3,310	290	1917	[212]	8,49	749		
3,241	345			8,26	759,6		
3,174	398,7			7,7	790,2		
				7,08	1113		

Зависимость плотности жидкого двуххлористого олова от температуры определена уравнениями, приведенными в табл. 200. Предпочтение следует отдать уравнению Клемма [210], охватывающему почти весь температурный интервал существования жидкого SnCl_2 .

Таблица 200
УРАВНЕНИЕ ЗАВИСИМОСТИ ПЛОТНОСТИ SnCl_2 ОТ ТЕМПЕРАТУРЫ

Интервал температур $^{\circ}\text{C}$	Уравнение	Год	Литературный источник
278—556	$d = 3,39 - 0,00120(t - 245)$	1926	[210]
307—480	$d = 3,298 - 0,001253(t - 300)$	1917	[212]

Температура плавления. Данные различных авторов [214—220], определявших температуру плавления двуххлористого олова, колеблются в пределах 239—250° С. Современные справочные издания [3, 33, 34] рекомендуют принимать температуру плавления SnCl_2 , равной 247° С.

Давление насыщенного пара. Величины давления насыщенного пара SnCl_2 , измеренные рядом исследователей, пользовавшихся различными методами, представлены в табл. 201. Сглаженные величины давления пара приведены в табл. 202.

Таблица 201
ДАВЛЕНИЕ НАСЫЩЕННОГО ПАРА SnCl_2

Температура $^{\circ}\text{C}$	Давление пара мм рт. ст.	Метод	Год	Литературный источник
371,4	7,6	Статический	1925	[221]
372,7	10,2			
427,1	25,0			
447,8	56,4			
478	80,2			
499,4	116,6			
518,0	153,4			
536,2	205,3			
554,6	275,5			
563,1	346,9			
579,1	422,2			
596,6	537,5			
601,2	570			
607,5	620,0			

Продолжение табл. 201

Температура °C	Давление паров мм. рт. ст.	Метод	Год	Литературный источник
617,5	706,3			
622,8	760			
626,2	797,8	Статический	1925	[221]
633,9	882,0			
641	972,4			
603,2	760	Точка кипения	1895	[222]
606	760	Точка кипения по воздушному термометру	1892	[223]
606,2	760	Точка кипения для препаратов — образцов	1900	[224]
607,7	754	Точка кипения измерена воздушным термометром	1888	[213]
604,5	762,5			

Таблица 202
ДАВЛЕНИЕ НАСЫЩЕННОГО ПАРА SnCl_2
(по сводке Брюера [316])

Температура °C	Давление ам
247	10^{-4}
302	10^{-3}
382	10^{-2}
652	1

Кубашевский и Эванс [34] рекомендуют для температурной зависимости давления насыщенного пара двуххлористого олова следующее уравнение:

$$\lg P (\text{мм}) = -6350 T^{-1} - 5,03 \lg T + 24,68,$$

которое применимо в интервале температур от точки плавления до точки кипения. По этому уравнению температура кипения SnCl_2 составляет 652° С.

Теплоемкость, теплота и энтропия плавления и испарения, теплота и изобарный потенциал образования SnCl_2

Теплоемкость. По данным Реньо [154], средняя теплоемкость SnCl_2 в интервале 20—99° равна 0,1016 кал/г·град, или 19,26 кал/моль·град.

Реньо [154] предложил уравнение зависимости теплоемкости двуххлористого олова от температуры:

$$C_p = 16,2 + 9,26 \cdot 10^{-3} T,$$

которое описывает теплоемкости SnCl_2 в интервале 273—520° К. Это уравнение рекомендуется современными справочниками [34, 35] с точностью 5%.

По Келли [140] для SnCl_2 (тв)

$$C_p = 16,2 + 9,26 \cdot 10^{-3} T$$

(уравнение приближенное; 273—520° К),
для SnCl_2 (ж) $C_p = 24$

(оценка Фихте [230] по правилу Келли).

Теплота и энтропия плавления. Келли [136] из бинарных систем SnCl_2 — CdCl_2 , SnCl_2 — NaCl , SnCl_2 — CuCl_2 и SnCl_2 — SbCl_3 рассчитал теплоту плавления двуххлористого олова $L_{\text{пл}} = 3050$ кал/моль. Энтропия плавления составляет (по Россини и др. [33]) $\Delta S = 5,8$ кал/моль·град.

Теплота испарения. Рекомендованные значения для теплоты испарения в точке кипения (в ккал/моль).

Брицке, Капустинский и др. [35]	20,74 (623°C)
Россини и др. [33]	21,0 (623°C)
Кубашевский и Эванс [34, 289]	$19,5 \pm 2,0$ (652°C); $25,8 \pm 3$ (25°C)

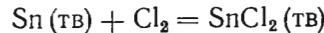
Энтропия испарения по Кубашевскому и Эвансу [34] составляет $\Delta S = 23$ кал/моль·град (при 652° С).

Энтропия SnCl_2 . Энтропия SnCl_2 по расчетам Фихте [230] из энтропий реакций с SnCl_2 $S_{298}^{\circ} = 31,44$. Кубашевский и Эванс [34] рекомендуют значение стандартной энтропии SnCl_2 $S_{298}^{\circ} = 32,5 \pm 2,0$ кал/моль·град.

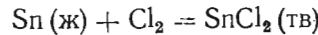
Теплота образования SnCl_2 . Рекомендуемые значения стандартной теплоты образования (в ккал/моль):

Брицке, Капустинский и др. [35]	-81,1 (для 18°C)
Россини и др. [33]	-83,6
Кубашевский и Эванс [34, 289]	$-83,6 \pm 1,5$

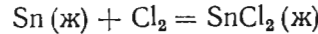
Фихте [230], использовав уравнения Келли по теплоемкостям Sn (тв), Sn (ж) и SnCl_2 , а также теплоту образования SnCl_2 по Томсону (80 790 кал/моль), теплоты образования ионов Sn^{2+} и Cl^- по Д'Ансу и Лаксу [328] и данные Келли [136, 231] по ионным энтропиям и испарению, составил следующие уравнения для различных реакций образования SnCl_2 :



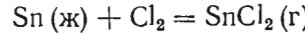
$$Q_p = -81820 + 2,87 T + 1,95 \cdot 10^{-3} T^2;$$



$$Q_p = -83370 + 1,32 T + 4,35 \cdot 10^{-3} T^2;$$



$$Q_p = -83120 + 9,12 T - 0,28 \cdot 10^{-3} T^2;$$

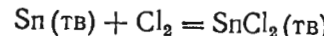


$$Q_p = -53420 - 0,88 T - 0,28 \cdot 10^{-3} T^2.$$

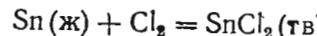
Изобарный потенциал образования SnCl_2 . Фихте [230] из своего уравнения температурной зависимости ΔZ для реакции $\text{Sn}(\text{тв}) + \text{Cl}_2 = \text{SnCl}_2(\text{тв})$ (см. ниже) дает значение стандартного изобарного потенциала образования двуххлористого олова $\Delta Z^\circ_{298} = -70\,610 \text{ кал/моль}$. Он же из электродвигущих сил вычисляет величину $\Delta Z^\circ_{928} = -71\,128 \text{ кал/моль}$.

М. Х. Карапетьянц [295] по своей формуле типа $\Delta Z^\circ_{298} \approx A\Delta H^\circ_{298} + B$ рассчитал $\Delta Z^\circ_{298} = -73\,900 \text{ кал/моль}$.

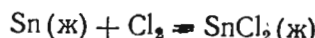
Основываясь на измерениях равновесия реакций $\text{Cd}(\text{ж}) + \text{SnCl}_2(\text{ж}) = \text{CdCl}_2(\text{ж}) + \text{Sn}(\text{ж})$ и $\text{Pb}(\text{ж}) + \text{SnCl}_2(\text{ж}) = \text{PbCl}_2(\text{ж}) + \text{Sn}(\text{ж})$, проведенных Кербером и Ольсеном [232], а также пользуясь данными по э. д. с. и теплотой испарения в точке кипения по Келли [136], Фихте [230] вывел следующие уравнения изобарного потенциала образования SnCl_2 в зависимости от температуры:



$$\Delta Z^\circ = -81820 - 6,61 T \lg T - 1,95 \cdot 10^{-3} T^2 + 54,56 T;$$



$$\Delta Z^\circ = -83370 - 3,04 T \lg T - 4,35 \cdot 10^{-3} T^2 + 49,19 T;$$



$$\Delta Z^\circ = -83120 - 21,00 T \lg T + 0,28 \cdot 10^{-3} T^2 + 95,08 T;$$



$$\Delta Z^\circ = -53420 + 2,00 T \lg T + 0,28 \cdot 10^{-3} T^2 - 5,98 T.$$

Кубашевский и Эванс [34] рекомендуют упрощенные уравнения зависимости изобарного потенциала образования SnCl_2 от температуры (табл. 203).

Таблица 203

УРАВНЕНИЯ ДЛЯ ТЕМПЕРАТУРНОЙ ЗАВИСИМОСТИ ИЗОБАРНОГО ПОТЕНЦИАЛА ОБРАЗОВАНИЯ SnCl_2 [34, 289]

Реакция образования SnCl_2	Уравнение	Точность %	Температурный интервал, $^\circ\text{C}$
$\text{Sn}_{(\text{тв})} + \text{Cl}_2 = \text{SnCl}_{2(\text{тв})}$	$\Delta Z^\circ = -83350 + 32,3 T$	3	238—520
$\text{Sn}_{(\text{ж})} + \text{Cl}_2 = \text{SnCl}_{2(\text{ж})}$	$\Delta Z^\circ = -79600 + 25,1 T$	5	520—925
$\text{Sn}_{(\text{ж})} + \text{Cl}_2 = \text{SnCl}_{2(\text{г})}$	$\Delta Z^\circ = -59100 + 2,9 T$	5	925—1200

§ 29. ЧЕТЫРЕХХЛОРИСТОЕ ОЛОВО SnCl_4

Плотность, температура плавления, давление насыщенного пара

Плотность. Данные различных авторов, определявших плотность SnCl_4 , приведены в табл. 204. Рекомендованное значение плотности при $20^\circ d = 2,226 \text{ г/см}^3$ [2].

Таблица 204
плотность твердого и жидкого SnCl_4

Плотность, г/см^3	Температура, $^\circ\text{C}$	Год	Литературный источник
<i>Твердое SnCl_4</i>			
2,723	-79		
2,857	-195		
2,90	-273		
		1931	[233]
<i>Жидкое SnCl_4</i>			
2,229	20/4		
2,2788	0/4		
2,2328	20/4		
2,26	—		
2,279	16,2		
		1867	[234]
		1876—80	[235]
		1907	[236]
		1905	[237]

Юнг [238] определял плотность жидкого и парообразного четыреххлористого олова в интервале 0 — 270° через каждые 10° ; по его данным плотность жидкого SnCl_4 изменяется от $2,27875 \text{ г/см}^3$ при 0°C до $1,4219 \text{ г/см}^3$ при 270° , а плотность парообразного SnCl_4 соответственно от $0,09$ до $0,182 \text{ г/см}^3$.

Температура плавления. В основных справочниках [33—35] рекомендуется температура плавления SnCl_4 равная минус 33°C .

Давление насыщенного пара. В табл. 205 приведены данные различных авторов по давлению насыщенного пара SnCl_4 .

Для выражения температурной зависимости давления насыщенного пара SnCl_4 существует ряд уравнений:

1) Юнг [238] подобрал коэффициенты в формуле Био. Вычисленные по его формуле значения отклоняются от опытных данных (его же) при малых температурах от 2 до 5%, при больших от 1 до 2%:

$$\lg P = 1,194840 + 4,813149 \alpha^t - 2,848932 \beta^t,$$

$$\lg \alpha = 0,0326212, \quad \lg \beta = 1,99631718.$$

Таблица 205
ДАВЛЕНИЕ НАСЫЩЕННОГО ПАРА SnCl_4

Температура, °C	Давление mm рт. ст.	Состояние	Метод	Год	Литературный источник
-69,7	0,145				
-65,3	0,225				
-56,8	0,504				
-50,1	0,925				
-10	2,78				
0	5,53				
+10	10,33				
20	18,58				
22,5	26,50				
40	50,82				
54,7	107,15				
60	122,2				
75,5	230,35				
80	256,7				
100	496,0				
108,5	652,25				
112,0	755	Твердое	Статический	1913	[244]
112,1	750				
113,9	760				
113,9	760				
114	765				
114	758				
120	895,4				
130	1171				
150	1895				
209	5145				
250	11514				
280	17454				
310	25079				
318,7	28819				
319,35	28079	Критическая точка	Статический	1910	[238]
		Критическое давление			

2) Юлиусбергер [246] подобрал коэффициенты в формуле Дюпре — Ранкина; его формула применима до критической точки:

$$\lg P = 17,5792292 - \frac{2416,68}{T} - 3,2769 \lg T.$$

3) Кабеш и Нихольм [317] по своим опытным данным составили уравнение:

$$\lg P (\text{мм}) = 7,59676 - 1824,9 T^{-1} (273 - T_{\text{кип}}).$$

4) Кубашевский и Эванс [289] предлагают для давления насыщенного пара жидкого четыреххлористого олова уравнение

$$\lg P (\text{мм}) = 7,865 - 1925 T^{-1} (273 - 388^{\circ}\text{K}).$$

Теплоемкость, теплота и энтропия плавления и испарения жидкого SnCl_4

Теплоемкость. Данные о теплоемкости SnCl_4 приведены в табл. 206 и 207.

Таблица 206

ИСТИННАЯ ТЕПЛОЕМКОСТЬ SnCl_4 [247]

Температура °K	Теплоемкость	
	удельная	молочная
<i>Твердое</i>		
89,2	0,088	22,9
95,2	—	23,6
161,4	0,113	29,4
200,7	—	31,6
227,5	0,127	33,1
<i>Жидкое</i>		
267,5	0,127	33,1
294,2	0,151	39,3

Таблица 207
СРЕДНЯЯ ТЕПЛОЕМКОСТЬ SnCl_4

Пределы температур °C	Теплоемкость		Литературный источник
	удельная	молочная	
1—15	0,1402	36,52	[248]
14—98	0,1476	38,45	[154]

Для расчета теплоемкости SnCl_4 в зависимости от температуры существуют следующие уравнения:

1) уравнение, составленное Я. И. Герасимовым и А. Н. Крестовниковым [121] на основании данных Реньо и Латимера

$$C_P = 35,35 + 4,26 \cdot 10^{-2} t - 1,36 \cdot 10^{-4} t^2 \quad (\text{от } -182^{\circ} \text{ до } 98^{\circ}\text{C})$$

или

$$C_P = 13,585 + 11,68 \cdot 10^{-2} T - 1,36 \cdot 10^{-4} T^2;$$

2) по Реньо [154] теплоемкость жидкого SnCl_4 в интервале от 298° К до $T_{\text{кип}}$ постоянна с точностью 5%.

$$C_P = 38,4;$$

3) уравнение, рекомендуемое Спенсером [318] для температурной зависимости теплоемкости газообразного SnCl_4 в интервале температур 273 — 573° К (точность определяется в 1%)

$$C_P = 25,12 + 0,92 \cdot 10^{-3} T - 1,63 \cdot 10^5 T^{-2};$$

4) уравнение, рекомендуемое Келли [140] для газообразного SnCl_4 в интервале температур 298—1000° К:

$$C_p = 25,57 + 0,20 \cdot 10^{-3} T - 1,87 \cdot 10^5 T^{-2};$$

5) по Кубашевскому и Эвансу [289] для жидкого SnCl_4 от 298° К до $T_{\text{кип}}$

$$C_p = 36,0;$$

6) уравнение, рекомендуемое Брицке, Капустинским и др. [35] в интервале 273—773° К (точность 1%) для газообразного SnCl_4 (на основе расчетов теплоемкости SnCl_4 , проведенных Германом [257]):

$$C_p = 25,25 + 0,72 \cdot 10^{-3} T - 1,67 \cdot 10^5 T^{-2}.$$

Теплота и энтропия плавления. Латимер [247] определил теплоту плавления SnCl_4 (при минус 33,2° С.) равной 2,19 ккал/моль. Кубашевский и Эванс [34, 289] рекомендуют для теплоты плавления SnCl_4 величину $L_{\text{пл}} = 2,2 \pm 0,4$ ккал/моль. Такую же величину рекомендуют Россини и др. [33], а также Брицке, Капустинский и др. [35].

Для энтропии плавления SnCl_4 , Келли [136] рекомендует $\Delta S_{\text{пл}} = 9,13$; Кубашевский и Эванс [34, 289] рекомендуют $\Delta S_{\text{пл}} = 9,2$ кал/моль·град.

Теплота и энтропия испарения. Данные Эндрюса [249] и Юнга [238] приведены в табл. 208.

Таблица 208

ТЕПЛОТА ИСПАРЕНИЯ SnCl_4

Температура °C	Теплота испарения		Год	Литературный источник
	удельная ккал/г	мольная ккал/моль		
112,5	30,53	7960	1849	[249]
100	31,76	8300		
110	31,17	8150		
120	30,54	7980	1910	[238]
200	24,57	6420		
280	15,60	4080		
113,9	32,11	8350	1951	[317]

Рекомендованные значения теплоты испарения по Кубашевскому и Эвансу [289]: $8,10 \pm 0,4$ ккал/моль при температуре кипения (115° С) и $9,30 \pm 0,3$ ккал/моль при 25°.

Для энтропии испарения SnCl_4 Келли [138] рекомендует (на основании данных по давлению насыщенного пара) $\Delta S^{\circ}_{289,1} = 25,1$ кал/моль·град.

Энтропия жидкого SnCl_4 . Рекомендуются значения стандартной энтропии жидкого SnCl_4 , кал/моль·град.

Кубашевский и Эванс [34, 289]	$S^{\circ}_{298} = 61,8 \pm 1,0$
Келли [156]	$S^{\circ}_{298} = 62,2 \pm 1,5$
Россини и др. [33]	$S^{\circ}_{298} = 61,8$

ЭНТРОПИЯ, ЭНТАЛЬПИЯ И ФУНКЦИЯ Φ'' ДЛЯ ГАЗООБРАЗНОГО SnCl_4

Келли [156] рекомендует для газообразного SnCl_4 значение стандартной энтропии $S^{\circ}_{298} = 87,2 \pm 1,0$ ккал/моль·град.

Используя свое уравнение теплоемкости, Келли [140] вычислил по уравнению

$$H_T - H_{298,16} = 25,57 T + 0,10 \cdot 10^{-3} T^2 + 1,87 \cdot 10^5 T^{-1} - 8260$$

энталпию SnCl_4 (г) в интервале 400—1000° К (с точностью 1%), а также энтропию газообразного четыреххлористого олова (табл. 209).

Таблица 209
ЭНТАЛЬПИЯ И ЭНТРОПИЯ ГАЗООБРАЗНОГО SnCl_4 [140]

T, °K	$H_T - H_{298}$ кал/моль	$S_T - S_{298}$ кал/моль·град	S_T кал/моль·град	T, °K		Φ''
				400	500	
400	2450	7,07	94,37	400	88,24	
500	4925	12,59	99,89	500	90,04	
600	7425	17,14	104,44	600	92,07	
700	9955	21,04	108,34	700	94,10	
800	12495	24,43	111,73	800	96,10	
900	15045	27,43	114,73	900	98,00	
1000	17600	30,13	117,43	1000	99,83	

Таблица 210
ФУНКЦИЯ Φ'' ДЛЯ ГАЗООБРАЗНОГО SnCl_4
кал/моль·град

Вычисленные нами на основании этих данных значения функции Φ'' для SnCl_4 приведены в табл. 210.

Теплота, энтропия и изобарный потенциал образования SnCl_4

Теплота образования SnCl_4 . Данные различных авторов [227, 250, 251, 316], определявших теплоту образования SnCl_4 из элементов, колеблются в пределах 127—129,8 ккал/моль. Россини и др. [33] рекомендуют $\Delta H = -130,3$ ккал/моль.

Фихте [230] предлагает следующие уравнения для различных реакций образования SnCl_4 :



$$Q_p = -131810 + 14,8 T;$$



$$Q_p = -118120 + 0,9 T;$$



$$Q_p = -119740 + 0,7 T.$$

Энтропия образования SnCl_4 . По рекомендованным значениям энтропий Cl_2 , $\text{Sn}(\beta)$ и SnCl_4 (соответственно 50; 12,3 и 62,2) получаем энтропию образования SnCl_4 $\Delta S_{298}^{\circ} = -50,1 \text{ кал/моль}\cdot\text{град}$.

По Фихте [230] $\Delta S_{298}^{\circ} = -56,83 \text{ кал/моль}\cdot\text{град}$, а по Латимеру [247] $\Delta S_{298}^{\circ} = -49,66 \text{ кал/моль}\cdot\text{град}$.

Изобарный потенциал образования SnCl_4 . Приняв теплоту образования SnCl_4 , равной 128010 кал, Латимер [247] нашел

$$\Delta Z_{298}^{\circ} = \Delta H - T\Delta S = -128010 + 298 \cdot 49,66 = -113210 \text{ кал.}$$

М. Х. Карапетьянц [295] по своей формуле рассчитал $\Delta Z_{298}^{\circ} = -113,37 \text{ ккал}$.

Россини и др. [33] рекомендуют $\Delta Z_{298}^{\circ} = -113,3 \text{ ккал/моль}$.

Для определения изобарного потенциала образования SnCl_2 в зависимости от температуры по реакциям $\text{Sn(ж)} + 2\text{Cl}_2 = \text{SnCl}_4(\text{ж})$ и $\text{Sn(ж)} + 2\text{Cl}_2 = \text{SnCl}_4(\text{г})$ Кубашевский и Эванс [34, 289] рекомендуют уравнения (соответственно)

$$\Delta Z^{\circ} = -118700 - 1,16 T \lg T + 38,54 T (3\%; 505 - 1200^{\circ}\text{K}).$$

$$\Delta Z^{\circ} = -122500 + 36 T (2,5\%; 500 - 1200^{\circ}\text{K}).$$

Фихте [230] вывел следующие уравнения ΔZ° для различных реакций образования SnCl_4



$$\Delta Z^{\circ} = -131810 - 34,1 T \lg T + 155,99 T;$$



$$\Delta Z^{\circ} = -118120 - 2,1 T \lg T + 37,77 T;$$



$$\Delta Z^{\circ} = -119740 - 1,6 T \lg T + 39,63 T.$$

Глаea VI

ТЕРМОДИНАМИКА ОЛОВА. РЕАКЦИИ ПРЯМОГО ВОССТАНОВЛЕНИЯ, ОКИСЛЕНИЯ И ХЛОРИРОВАНИЯ

§ 30. РЕАКЦИИ С ОКИСЛАМИ ОЛОВА

Восстановление SnO_2 водородом

Мюллер [260] отметил начало реакции $\text{SnO}_2 + 2\text{H}_2 = \text{Sn} + 2\text{H}_2\text{O}$ при 170° . Кларк и Пфаф [261] наблюдали восстановление кассiterита (природный минерал SnO_2) в кислородно-водородном пламени.

Финк и Мантель [262] отметили начало восстановления SnO_2 (прокаленного при 800°) водородом при 250° ; восстановление идет до металла при температуре выше 390° и в две стадии — ниже этой температуры. Скорость восстановления зависит от температуры по уравнению: $\lg T + \lg M = 30,8$ (M — время восстановления, мин.).

Равновесие изучали Велер и Бальц [263], Истмен и Робинсон [258] и Эммет и Шульц [264]. В первой работе изучалось равновесие при восстановлении до SnO : $\text{SnO}_2 + \text{H}_2 = \text{SnO} + \text{H}_2\text{O}$. Возможность устойчивого равновесия в этом случае сомнительна, так как SnO выше $250-350^{\circ}$, по наблюдению ряда авторов, неустойчива и распадается на SnO_2 и Sn . Тем не менее Велер и Бальц получили довольно постоянные величины для $K_p = \frac{p_{\text{H}_2\text{O}}}{p_{\text{H}_2}}$

Таблица 211
КОНСТАНТЫ РЕАКЦИИ ВОССТАНОВЛЕНИЯ
 SnO_2 ВОДОРОДОМ [263]

Реакция	Константа реакции	
	при 700°	при 800°
$\text{SnO}_2 + \text{H}_2 = \text{SnO} + \text{H}_2\text{O}$	13,6	17,3
$\text{SnO} + \text{H}_2\text{O} = \text{SnO}_2 + \text{H}_2$	13,2	18,7
Средняя величина	13,55	18,0

(см. табл. 211).

Равновесие при полном восстановлении SnO_2 до жидкого металла Истмен и Робинсон [258] измерили двумя методами: динамическим (пропускание над SnO_2 водорода, насыщенного

водяным паром при различных температурах) и статическим методом Девилля (измерение давления в эвакуированном объеме и сообщающемся с жидким оловом и водой).

Оба метода дают величины, совпадающие при низких температурах; при высоких температурах расхождение достигает 9% (табл. 212).

Таблица 212
КОНСТАНТЫ РЕАКЦИИ ВОССТАНОВЛЕНИЯ
 SnO_2 [258]

Динамический метод		Статический метод	
температура °C	$K_p = \frac{P_{\text{H}_2\text{O}}}{P_{\text{H}_2}}$	температура °C	$K_p = \frac{P_{\text{H}_2\text{O}}}{P_{\text{H}_2}}$
655	2,32	—	—
—	—	658	2,65
—	—	698	2,71
703	3,00	—	—
—	—	771	4,17
—	—	773	4,17
809	5,24	—	—
—	—	826	4,93
—	—	826	5,18
—	—	896	6,52

Эммет и Шульц [264] показали, что статический метод Девилля приводит обычно к неверным результатам вследствие термической диффузии легкого газа (H_2) в горячие части при-

Таблица 213
КОНСТАНТЫ РЕАКЦИИ ВОССТАНОВЛЕНИЯ SnO_2 ВОДОРОДОМ ПО РАЗЛИЧНЫМ ДАННЫМ

Темпера-тура °C	K_1	K_2	K_3	K_4
650	1,66	1,59	1,73	1,64
700	2,22	2,12	2,30	2,17
750	2,84	2,81	2,95	2,79
800	3,53	3,57	3,70	3,50

бора. Та же ошибка может оказаться и в динамическом методе при малых скоростях газа и большом сечении реакционной трубки. Улучшив методику, Эммет и Шульц получили иные константы для реакции $\text{SnO}_2 + \text{H}_2$ (K_1). Для смеси $\text{CO}_2 + \text{CO}$ влияние термической диффузии не так велико. Эммет и Шульц вычислили константы реакции $\text{SnO}_2 + \text{H}_2$ из констант реакции образования водяного газа и констант реакции $\text{SnO}_2 + \text{CO}$ Истмена и Робинсона (K_2) и Мейера и Шеффера (K_3) [265]. Последние данные, по-видимому, содержат большую ошибку, чем первые. Внеся в них поправку на диффузию (см. Иббс и Кру [266]), получаем величины (K_4) близкие к K_2 и K_1 (табл. 213).

Данные Велера и Бальца совершенно отличны от величин Истмена и Робинсона.

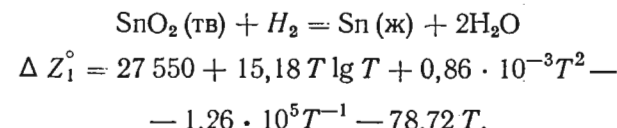
Сравнивать следует не константы Велера и Бальца, относящиеся к восстановлению SnO_2 до SnO , а средние геометрические константы для реакции $\text{SnO} + \text{H}_2$.

Значения ΔZ при некоторых температурах даются в табл. 214.

Таблица 214
ИЗОБАРНЫЕ ПОТЕНЦИАЛЫ ВОССТАНОВЛЕНИЯ SnO_2 ВОДОРОДОМ. КАЛ/МОЛЬ

Темпера-тура °C	ΔZ° [258]	ΔZ° [264]	Темпера-тура °C	ΔZ° [258]	ΔZ° [264]
25	+12520	+12150	-800	-6590	-5315
600	-1660	-814	-900	-9054	-7577
700	-4120	-3068	-1000	-11522	-9832

Ланге [204], обобщая данные исследований Истмена и Робинсона [258] и Эммета и Шульца [264], рекомендуют следующее уравнение для определения изобарного потенциала восстановления двуокиси олова водородом в зависимости от температуры:



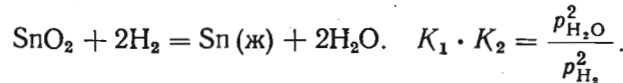
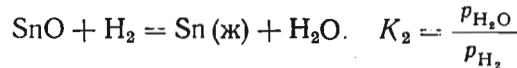
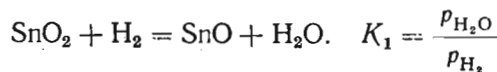
Восстановление SnO водородом

Равновесие реакции $\text{SnO} + \text{H}_2 = \text{Sn}(\text{ж}) + \text{H}_2\text{O}$ изучали Велер и Бальц [263] при 700 и 800°. Величины констант, определенные для реакций окисления и восстановления, при 700° хорошо совпадают, а при 800° значительно хуже (см. табл. 215).

Таблица 215
КОНСТАНТЫ РЕАКЦИИ ВОССТАНОВЛЕНИЯ SnO ВОДОРОДОМ [263]

Реакция	Константа реакции	
	при 700°	при 800°
$\text{Sn}(\text{ж}) + \text{H}_2\text{O} = \text{SnO} + \text{H}_2$	7,85	9,9
$\text{SnO} + \text{H}_2 = \text{Sn}(\text{ж}) + \text{H}_2\text{O}$	7,95	10,6
Средние величины	7,90	10,25

Из констант Велера и Бальца для ступенчатого восстановления SnO_2 можно вычислить и константу равновесия прямого восстановления SnO_2 до металла. Сложим уравнения двух степеней:



$$\text{Для суммарной реакции: } K = \sqrt{K_1 \cdot K_2} \frac{p_{\text{H}_2\text{O}}}{p_{\text{H}_2}} = 10,34 \text{ (при 700°)}$$

и 13,7 (при 800°) из данных Велера и Бальца. Обе величины в три раза больше констант Истмена и Робинсона. Последние более достоверны, так как вычисляемые из них давления диссоциации SnO_2 приблизительно совпадают с давлениями вычисленными из равновесия $\text{SnO}_2 + \text{CO}$; данные же для последнего довольно близки у трех авторов.

Восстановление SnO_2 окисью углерода

При изучении реакции $\text{SnO}_2 + 2\text{CO} = \text{Sn}(\text{ж}) + 2\text{CO}$ Шлагденхауфен и Пажель [267] не наблюдали восстановления SnO_2 при температуре ниже 300°. Штаммер [268] отмечает восстановление через SnO , Гмелин [269] непосредственное восстановление. Лепле и Лоран [270] восстановили SnO_2 смесью $\text{CO} + \text{CO}_2$, полученной из шавелевой кислоты.

Равновесие изучалось рядом авторов. Так, Френкель и Снипицкий [135] выдерживали CO или CO_2 в соприкосновении со смесью $\text{SnO}_2 + \text{Sn}(\text{ж})$. При этом равновесие достигается в различные сроки: при 500°—недели, 600°—дни, 670°—часы, 755°—полчаса. Приводимые величины интерполированы по кривой, проходящей через область опытных точек, сильно разбросанных.

Изутому Маэда [271] нашел динамическим методом ряд констант, дающих простую зависимость от температуры.

Истмен и Робинсон [258] методом, описанным при реакции $\text{SnO}_2 + \text{H}_2$, нашли значения констант, укладывающихся на прямую $\lg K = f(1/T)$ и лежащих между данными Маэда и Френкель.

Мейер и Шеффер [265] получили величины, близкие к данным Истмена и Робинсона, и дали простое уравнение для интерполяции.

Эммет и Шульц [264] вычислили из данных работ [267] и [268] константы равновесия $\text{SnO}_2 + \text{H}_2$ и, сравнив их со своими результатами, нашли, что данные Истмена и Робинсона [258] не содержат заметных ошибок, связанных с термической диффузией, величины же Мейера и Шеффера [265] требуют введения заметной поправки (см. выше о реакции $\text{SnO}_2 + \text{H}_2$). Клердинг [272] получил равновесные концентрации газовых смесей, из которых определил константу.

Константы равновесия рассматриваемой реакции по данным указанных авторов приведены в табл. 216.

Таблица 216
КОНСТАНТЫ РЕАКЦИИ ВОССТАНОВЛЕНИЯ SnO_2 ОКИСЬЮ УГЛЕРОДА

Температура °C	$K = \frac{p_{\text{CO}_2}}{p_{\text{CO}}}$	Температура °C	$K = \frac{p_{\text{CO}_2}}{p_{\text{CO}}}$	Темпера-тура °C	$K = \frac{p_{\text{CO}_2}}{p_{\text{CO}}}$
Френкель и Снипицкий [135]		900	2,783	Капустинский и Зильберман-Грановская [273]	
		967	3,682		
600	3,6			600	1,96
610	3,7			800	6,30
700	3,7			1000	12,66
750	3,9	645	3,08	1200	20,20
800	4,0	666	3,21		
850	4,3	681	3,21		
900	4,5	704	3,39		
950	5,5	772	3,71		
1000	7,7	815	3,92		
1050	11,1			Мейер и Шеффер [265]*	
1100	14,0				
1150	17,0	400	2,55		
1200	20,0	500	2,75		
		600	3,18		
		700	3,48		
		800	3,78		
699	2,679	850	4,18		
816	3,075	900	5,66		
838	3,222	1000	11,5		
889	3,461	1100	17,5		
		1200	24,0		

* Приведены опытные величины $\lg K$; в скобках указаны вычисленные величины $\lg K$.

Ниже приведены уравнения для $\lg K_p$:

$$\lg K_p = -\frac{641,2}{T} + 1,085 \text{ (Маэда [271])}$$

$$\lg K_p = -\frac{420}{T} + 0,988 \text{ (Мейер и Шеффер [265])}$$

$$\lg K_p = -\frac{614,2}{T} + 1,15803 \text{ (Герасимов и}$$

Крестовников [121] по данным Истмена и Робинзона [258]:

$$\lg K_p = -\frac{606,4}{T} + 1,1576 \text{ (Капустинский и)}$$

Зильберман-Грановская [273]).

В. К. Веселовский [291] по данным различных авторов, исследовавших равновесие [264, 273, 319, 320], и по своим собственным данным рассчитал константы восстановления SnO_2 окисью углерода (см. табл. 217) для реакции, проходящей в две стадии:

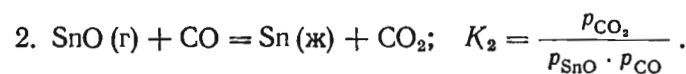
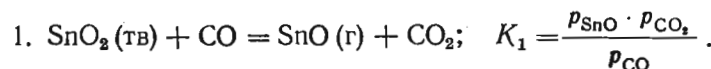


Таблица 217
КОНСТАНТЫ РЕАКЦИЙ
ВОССТАНОВЛЕНИЯ SnO_2
ОКИСЬЮ УГЛЕРОДА [29]

Температура °К	K_1	K_2
1500	1,62	$5,5 \cdot 10^{-3}$
1600	6,3	$1,95 \cdot 10^{-2}$
1700	21,8	$5,76 \cdot 10^{-2}$
1800	63	$1,55 \cdot 10^{-1}$

Таблица 218
ИЗОБАРНЫЙ ПОТЕНЦИАЛ ВОССТАНОВЛЕНИЯ
 SnO_2 ОКИСЬЮ УГЛЕРОДА [121]

Температура °C	$-\Delta Z$				$-\Delta Z$ среднее
	Истмен и Робинсон [258]	Маэда [271]	Френкель и Сни- липский [135]	Мейер и Шеффер [265]	
600	3627	2784	4412	4046	3717
700	4686	3996	5058	4948	4672
800	5744	4766	5898	5892	5573
900	6804	5751	7052	6756	6591
1000	7862	6748	10290	7658	7423

Платтеев и Мейер [311] получили опытные данные, хорошо сходящиеся с данными Мейера и Шеффера [265].

Восстановление двуокиси олова окисью углерода изучалось также Кейселицем, Кальмайером, Шпандау и Ульрихом [312, 322—324], подтвердившими течение реакции в две стадии.

Ланге [325] построил по своим данным диаграмму равновесия (рис. 4): Левое семейство кривых на диаграмме соответствует восстановлению до газообразного SnO (1 стадия), правое семейство — восстановлению до жидкого олова (2 стадия). Точки пересечения кривых отвечают существованию трех фаз — твердой SnO_2 , жидкого олова и газообразной смеси SnO , CO_2 и CO .

Величины изобарного потенциала реакции восстановления SnO_2 окисью углерода приведены в табл. 218.

Несмотря на значительные относительные расхождения величин, полученных различными авторами, изобарные потенциалы и давления диссоциации SnO_2 (вычисляемые отсюда) близки, так как расхождения в пределах 1000 кал имеют малое значение при больших величинах изобарных потенциалов (последние для образования SnO_2 составляют около 100 000 кал).

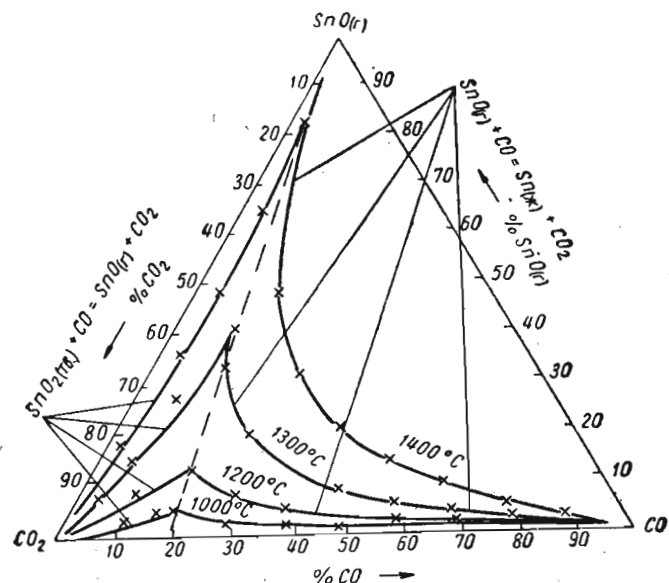


Рис. 4. Диаграмма равновесия при восстановлении SnO_2 окисью углерода [325]

Ланге [204] на основе обработки данных Истмена и Робинзона [258] рекомендует следующее уравнение для температурной зависимости ΔZ :

$$\Delta Z = 4510 + 0,30 T \lg T - 1,28 \cdot 10^{-3} T^2 - 1,04 \cdot 10^5 T^{-1} - 9,94 T.$$

Изобарные потенциалы, вычисленные по этому уравнению, соответствуют значениям ΔZ по Истмену и Робинзону.

Восстановление SnO_2 и SnO углеродом

По Гмелину [269] температура восстановления SnO_2 и SnO равна 800—810°. Дельц [276] также отметил начало реакции при 810°. Тамман и Зворыкин [277] отметили начало реакции при 565°, при 800° термический анализ не обнаружил заметного теп-

лового эффекта. Восстановление SnO_2 и SnO битуминозным углем идет заметно — выше 600° , быстро — выше 850° ; обожженным углем SnO_2 восстанавливается с большим трудом [275].

Клердинг [272] также изучал процесс восстановления SnO_2 различными твердыми углеродистыми восстановителями. Процесс идет в две стадии: а) до $800—900^\circ$ с одновременным образованием окиси углерода и углекислоты; б) выше этой температуры одновременно с восстановлением SnO_2 начинается реакция $\text{CO}_2 + \text{C} \rightarrow 2\text{CO}$.

Окисление SnO воздухом

При пропускании сухого воздуха над SnO окисление начинается при $235—240^\circ$; во влажном воздухе при этой же температуре SnO очень быстро окисляется (Финк, Мантель [278]).

§ 31. РЕАКЦИИ С ХЛОРИДАМИ ОЛОВА

Начало восстановления SnCl_2 водородом лежит при 350° , с повышением температуры реакция идет быстрее, но не доходит до конца, вследствие летучести SnCl_2 . SnCl_4 начинает восстанавливаться водородом при 200° до SnCl_2 при 1000° восстановление полное (Мейер, Керштейн [279]).

§ 32. РЕАКЦИИ С СУЛЬФИДОМ ОЛОВА

Восстановление SnS водородом по реакции $\text{SnS} + \text{H}_2 = \text{Sn}(\text{j}) + \text{H}_2\text{S}$ отмечено еще Розе [280]. Позднее Дитт [149] нашел, что водород, прошедший над SnS при красном калении, содержит от 1,8 до 2,0% H_2S (при белом калении — 4,7% H_2S). Более систематические исследования реакции произведены Еллинеком и Цаковским [157] и Брицке и Капустинским [281] — оба исследования проведены динамическим методом. Результаты (послужившие для вычисления давления диссоциации SnS) приведены в табл. 219. В этой же таблице помещены величины, полученные Судо [321] по методике Китченера и Игнатовича. Ричардс [302], использовав аналогичную методику, получил величины K_p , охватываемые уравнением

$$\lg K_p = -\frac{3960}{T} + 1,939.$$

в интервале температур от 770 до 950°K . Рассчитанные по этому уравнению константы хорошо совпадают с величинами Судо [321].

Таблица 219
КОНСТАНТЫ ВОССТАНОВЛЕНИЯ SnS ВОДОРОДОМ

Температура, $^\circ\text{C}$	$K = \frac{P_{\text{H}_2\text{S}}}{P_{\text{H}_2}}$	Автор	Литературный источник
510	$0,8 \cdot 10^{-2}$	Брицке и Капустинский	[281]
515	$2,0 \cdot 10^{-2}$	Еллинек и Цаковский	[157]
533	$1,05 \cdot 10^{-3}$	Судо	[321]
582	$1,611 \cdot 10^{-3}$		
600	$1,2 \cdot 10^{-2}$	Брицке и Капустинский	[281]
630	$7,3 \cdot 10^{-2}$	Еллинек и Цаковский	[157]
631	$2,761 \cdot 10^{-3}$	Судо	[321]
707	$2,5 \cdot 10^{-2}$	Брицке и Капустинский	[281]
823	$5,0 \cdot 10^{-2}$		
823	$13,2 \cdot 10^{-2}$	Судо	[321]
779	$4,624 \cdot 10^{-3}$		

В табл. 220 приведены теплоты восстановления SnS водородом, вычисленные по уравнению изохоры из данных Еллинек и Цаковского [157] и Брицке и Капустинского [281].

Таблица 220
ТЕПЛОТЫ ВОССТАНОВЛЕНИЯ SnS ВОДОРОДОМ, ккал

$t, ^\circ\text{C}$	$-Q_p$	Автор	Литературный источник
511—630	20000	Еллинек и Цаковский	[157]
510—609	6450		
609—707	12820		
707—823	15780	Брицке и Капустинский	[281]
693—923	20980		

Данные, полученные динамическим методом, по-видимому, ненадежны.

Ричардс [302], по данным своих измерений равновесия, рассчитал стандартные теплоту, энтропию и изобарный потенциал реакции восстановления SnS водородом:

$$\Delta H_{298}^0 = -19,54 \pm 1,1 \text{ ккал/моль};$$

$$\Delta S_{298}^0 = -10,79 \pm 1,0 \text{ э.е.};$$

$$\Delta Z_{298}^0 = -16,32 \pm 0,7 \text{ ккал/моль}.$$

Судо [321] из своих данных рассчитал $\Delta Z^{\circ}_{298} = -16,69 \text{ ккал/моль.}$

Реакции сульфида олова с окисью и двуокисью олова изучались Д. Н. Клушиным, О. В. Надинской, К. Г. Богаткиной [326].

Для реакции $2\text{SnO} (\text{тв}) + \text{SnS} (\text{тв}) = 3\text{Sn} (\text{ж}) + \text{SO}_2 (\text{г})$ по уравнению

$$\Delta Z^{\circ} = 85\,416 + 10T \lg T - 3,6 \cdot 10^{-3}T^2 - 71T$$

рассчитаны следующие изобарные потенциалы:

$t, ^\circ\text{C}$	300	400	500	600	700	800	900	1000
$\Delta Z^{\circ}, \text{кал/моль}$	59355	55035	50708	46364	41999	37606	33183	28723

Эксперименты (в полном соответствии с расчетами) показали отсутствие взаимодействия между SnS и SnO в интервале температур от 600 до 1000°C .

Для реакции $\text{SnO}_2 (\text{тв}) + \text{SnS} (\text{тв}) = 2\text{Sn} (\text{ж}) + \text{SO}_2 (\text{г})$ по уравнению

$$\Delta Z = 89\,781 + 18,6T \lg T - 3,6 \cdot 10^{-3}T^2 - 1,87 \cdot 10^5 T^{-1} - 102T$$

рассчитаны изобарные потенциалы реакции:

$t, ^\circ\text{C}$	300	400	500	600	700	800	900	1000
$\Delta Z^{\circ}, \text{кал/моль}$	59229	54627	50133	45530	40946	35600	31884	27406

Результаты опытов также подтвердили отсутствие взаимодействия между SnS и SnO_2 в интервале температур от 750 до 1100° .

Глава VII

ТЕРМОДИНАМИЧЕСКИЕ СВОЙСТВА СЕРЕБРА И ЕГО ВАЖНЕЙШИХ СОЕДИНЕНИЙ

§ 33. СЕРЕБРО МЕТАЛЛИЧЕСКОЕ

Кристаллическая структура, плотность, термическое расширение и температура плавления

Металлическое серебро ($M = 107,88$) имеет кубическую гранецентрированную решетку. Параметр решетки при 25° по последним данным [2, 4] $a = 4,0778 \text{ к.н.}$

Таблица 221
плотность СЕРЕБРА
в зависимости от температуры

Плотность $\text{г}/\text{см}^3$	Температура $^\circ\text{C}$	Литературный источник
Твердое		
9,890	700	[10]
9,80	800	[10]
9,72	900	[10]
Жидкое		
9,32	970	[11]
9,30	990	[11]
9,27	1000	[10]
9,6530	1000	[8]
9,25	1040	[11]
9,6330	1050	[8]
9,17	1100	[10]
9,00	1302	[11]

Таблица 222
СРЕДНИЕ КОЭФФИЦИЕНТЫ ЛИНЕЙНОГО И ОБЪЕМНОГО РАСШИРЕНИЯ СЕРЕБРА

Пределы температуры, $^\circ\text{C}$	$\beta \cdot 10^6$	$\alpha \cdot 10^6$	Литературный источник
нижний	верхний		
-186,0	-132,0	15,53	[25]
-191,0	+16,0	17,04	[30]
-132,0	-73,0	17,13	[30]
-190	0	17,00	[29]
-73,0	-22,0	18,09	[25]
-22,0	0	18,78	[56,34]
0	+24,5	19,1714	[25]
		57,51	

Плотность. Значения плотности твердого серебра, полученные различными авторами [1—2, 6—8], колеблются в пределах $10,49$ — $10,54 \text{ г}/\text{см}^3$.

Из значений плотности жидкого серебра, приведенных в табл. 221, данные Зауэрвальда [10] и Жуньо [11], по-видимому, следует считать более надежными.

Точки, соответствующие плотности твердого серебра, хорошо ложатся на прямую, для которой можно дать уравнение:

$$d_t = 10,483 - 8,5 \cdot 10^{-4}t \quad (700 - 900^\circ\text{C}).$$

Термическое расширение. Значения средних коэффициентов линейного и объемного расширения серебра, рассчитанные по данным различных авторов, приведены в табл. 222. Расчет производился по формулам

$$\bar{\beta} = \frac{1}{l_0} \cdot \frac{\Delta l}{\Delta t}; \quad \bar{\alpha} = 3\bar{\beta},$$

где $\bar{\beta}$ — средний коэффициент линейного расширения;

$\bar{\alpha}$ — средний коэффициент объемного расширения;

l_0 — длина образца при 0°C ;

Δl — изменение длины образца;

Δt — изменение температуры.

Значения истинного коэффициента линейного расширения, определенные различными авторами из рентгенографических измерений, а также рассчитанные из этих данных величины коэффициента объемного расширения приведены в табл. 223.

Таблица 223
ИСТИННЫЕ КОЭФФИЦИЕНТЫ
ТЕРМИЧЕСКОГО РАСШИРЕНИЯ СЕРЕБРА

$3 \cdot 10^6 \beta \cdot 10^6$	$\alpha \cdot 10^6$	Температура $^\circ\text{C}$	Автор	Год	Литературный источник
18,7	56,1	25,0	Вегорер	1955	[31]
19,7	59,1	44,58	То же	1955	[31]
19,0	57,0	18,0	Сайни	1933	[33]
18,9	56,7	—	Шмарц	1954	[34]

По Славинскому [32] термическое линейное расширение серебра от 0°C до температуры плавления описывается уравнением

$$l_t = l_0(1 + 19,494 \cdot 10^{-6}t + 1,0379 \cdot 10^{-9}t^2 + 2,375 \cdot 10^{-12}t^3),$$

Из последнего уравнения можно получить

$$\beta = \frac{1}{l_0} \cdot \frac{dl}{dt} = 19,494 \cdot 10^{-6} + 2,0758 \cdot 10^{-9}t + 7,125 \cdot 10^{-12}t^2,$$

$$\alpha = 5,848 \cdot 10^{-5} + 6,2274 \cdot 10^{-9}t + 2,1375 \cdot 10^{-11}t^2.$$

Температура плавления. В литературе имеется много данных по температуре плавления серебра. Цифры различных авторов колеблются в пределах $954 - 968^\circ\text{C}$. Для металлических расчетов следует принимать температуру плавления серебра, равной 961°C .

Давление насыщенного пара

Величины давления насыщенного пара серебра, по данным различных авторов, приведены в табл. 224.

Таблица 224

ДАВЛЕНИЕ НАСЫЩЕННОГО ПАРА СЕРЕБРА

Температура $^\circ\text{C}$	Давление м.м. рт. ст.	Литературный источник	Температура $^\circ\text{C}$	Давление м.м. рт. ст.	Литературный источник	Температура $^\circ\text{C}$	Давление м.м. рт. ст.	Литературный источник
721	$3,32 \cdot 10^{-6}$	[37]	1316	0,222**	[39]	1780	263	[45]
729	$2,0 \cdot 10^{-4}$	[49]	1367	0,820	[40]	1836	100	[42]
760	$1,05 \cdot 10^{-5}$	[37]	1367	0,525*	[39]	1867	300	[43]
771	$1,53 \cdot 10^{-5}$	[37]		0,525**		1940	744	[43]
829	$8,84 \cdot 10^{-5}$	[37]	1466	3,9	[40]	1944	199	[42]
861	$2,08 \cdot 10^{-4}$	[37]	1466	0,952*		1944	760	[46]
911	$8,28 \cdot 10^{-4}$	[37]		1,45**	[39]	1950	760	[43]
913	$1,3 \cdot 10^{-2}$	[49]	1500	26,35	[49]	1950	760	[47]
931	$1,21 \cdot 10^{-3}$	[37]	1550	8,5	[42]	1955	760	[44]
956	$2,32 \cdot 10^{-3}$	[37]	1567	3,63*		1971	200	[42]
1037	$2,1 \cdot 10^{-3}$	[37]		4,68*	[39]	1977,3	548	[49]
	$2,2 \cdot 10^{-3}**$	[39]	1616	19	[42]	2025	390	[36]
1064	$3,2 \cdot 10^{-3}*$		1660	102	[43]	2040	760	[49]
	$5,0 \cdot 10^{-3}**$	[39]	1660	103	[44]	2100	760	[40]
1178	0,144	[40]	1660	103	[45]	2152	760	[42]
1277	0,105*		1680	116	[43]	2313	760	[45]
	0,076**	[39]	1742	55	[42]	2747	6080***	[48]
1292	0,126*		1758	200	[43]	3288	38000***	[48]
	0,127**	[39]	1780	263	[44]	3958	123120***	[48]
1312	0,224*							

* Из экспериментальных данных по убыли веса (метод Кнудсена).

** Из экспериментальных данных по убыли активности препарата, помеченного Ag^{119} (метод Кнудсена).

*** Вычислено.

Сглаженные величины давления пара серебра [41]:

$T, ^\circ\text{K}$	1630	1773	1843	1931	2016	2068	2244	2363	2485
$P, \text{мм рт. ст.}$	1,0	5,0	10	20	40	60	200	400	760

Сопоставление данных, приведенных в табл. 224, показывает, что основная часть этих данных хорошо согласуется друг с другом. Данные Ричардса [49] хорошо ложатся на прямую в координатах $\lg P - 1/T$, так же как и данные Любимова и Грановской [39]. Однако и те и другие отклоняются от зависимости, охватывающей большую часть литературных данных 12 Я. И. Герасимов и др.

(Ричардс дает завышенные давления насыщенных паров, а Любимов и Грановская — заниженные).

Ниже приводятся эмпирические уравнения зависимости давления насыщенных паров серебра от температуры:

1) по Эйкену [35] для жидкого серебра

$$\lg P_{am} = -\frac{14550}{T} - 0,27 \lg T - 0,17 \cdot 10^{-3}T + 10,13;$$

2) по Шейдлу и Бирченаллу [36] для твердого серебра

$$\lg P_{am} = 8,887 - \frac{1,402 \cdot 10^4}{T},$$

для жидкого серебра

$$\lg P_{am} = 8,342 - \frac{1,334 \cdot 10^4}{T};$$

3) По Корнееву и Винтайкину [37]

$$\lg P_{am} = 9,465 - \frac{68100}{2,303 RT} \quad (994 - 1229^\circ\text{K} \text{ для } 99,99\% \text{ Ag});$$

4) По Несмеянову, Смехтину и Лебедеву [38]

$$\lg P_{am} = 8,855 - \frac{14058}{T} \quad (1033 - 1233^\circ\text{K}).$$

Теплоемкость, теплота плавления и испарения

Теплоемкость. Истинная теплоемкость серебра приведена в табл. 225. Ряд авторов вычислил истинные теплоемкости, пользуясь своими опытными величинами средних теплоемкостей. Величины теплоемкости серебра, полученные Умино [69], лежат несколько выше средних данных, полученных другими авторами; по-видимому, в измерения этого автора вкралась какая-то ошибка.

В табл. 226 приведены данные Мисса, Форсайта и Джанкви [77] по истинной теплоемкости серебра. Их измерения проведены на образце электролитического серебра (99,99% Ag), расплавленном и охлажденном в течение 5 суток в атмосфере азота. Теплоемкость при постоянном объеме C_V вычислялась авторами [77] по формуле

$$C_p - C_V = 2,18 \cdot 10^{-5} T C_p^2.$$

Таблица 225
ИСТИННАЯ ТЕПЛОЕМКОСТЬ СЕРЕБРА

Темпера- тура °C	Теплоемкость		Литературный источник	Темпера- тура °C	Теплоемкость		Литературный источник
	удельная кал/г·град	атомная кал/г·атом·град			удельная кал/г·град	атомная кал/г·атом·град	
-271,81	0,235·10 ⁻⁵	0,254·10 ⁻³	[54]	-200	0,0348	3,76	[55]
-271,16	0,580·10 ⁻⁵	0,626·10 ⁻³	[54]	-198,6	0,03769	4,066	[68]
-270,16	0,146·10 ⁻⁴	0,157·10 ⁻²	[54]	-196,16	0,03775	4,07	[55]
-269,16	0,281·10 ⁻⁴	0,303·10 ⁻²	[54]	-189	0,0410	4,42	[55]
-267,76	0,588·10 ⁻⁴	0,634·10 ⁻²	[54]	-188	0,0511	5,51	[55]
-267,16	0,826·10 ⁻⁴	0,891·10 ⁻²	[54]	-173	0,0448	4,83	[57]
-265,16	0,219·10 ⁻³	0,236·10 ⁻¹	[54]	-173,16	0,0450	4,86	[55]
-263,16	0,440·10 ⁻³	0,475·10 ⁻¹	[54]	-150	0,0479	5,17	[55]
-261,16	0,769·10 ⁻³	0,830·10 ⁻¹	[54]	-149	0,04788	5,165	[68]
-259,16	0,1238·10 ⁻²	0,1336	[54]	-73	0,0540	5,83	[57]
-255,16	0,2686·10 ⁻²	0,2898	[54]	-73	0,0530	5,78	[55]
-253,16	0,3703·10 ⁻²	0,3995	[54]	-67,86	0,05334	5,754	[68]
-253	0,36·10 ⁻²	0,389	[55]	-53,5	0,0496	5,35	[58]
-253	0,369·10 ⁻²	0,398	[68]	-50	0,0543	5,86	[55]
-250	0,56·10 ⁻²	0,604	[56]	-40	0,0546	5,89	[55]
-244,6	0,953·10 ⁻²	1,028	[68]	-31,5	0,0550	5,93	[59]
-240	0,0133	1,43	[54]	-22,16	0,0552	5,96	[65]
-238,16	0,0146	1,58	[55]	-9,5	0,05535	5,97	[60]
-238	0,0146	1,58	[57]	0	0,0556	6,00	[55]
-234,10	0,0176	1,90	[55]	0	0,0560	6,04	[70]
-230,30	0,0209	2,26	[55]	0	0,0556	6,00	[61,64]
-230	0,0208	2,24	[57]	0	0,05540	5,977	[71]
-229,68	0,02163	2,333	[68]	0	0,0557	6,00	[62]
-227,7	0,0229	2,47	[55]	42,84	0,0562	6,07	[65]
-221,8	0,0260	2,81	[55]	49	0,0560	6,04	[70]
-220	0,0326	3,52	[56]	58	0,0557	6,01	[55]
-219	0,0269	2,90	[55]	59	0,0560	6,04	[63]
-217,28	0,02965	3,199	[68]	97	0,05737	6,19	[64]
-213	0,0308	3,32	[57]	100	0,05682	6,130	[71]
-210	0,0326	3,52	[55]	100	0,0572	6,17	[65]
-209	0,0336	3,11	[55]	100	0,0564	6,08	[70]

Продолжение табл. 225

Темпера- тура °C	Теплоемкость		Литературный источник	Темпера- тура °C	Теплоемкость		Литературный источник
	Удельная кал./г.-град	атомная кал./г.-атом.-град			Удельная кал./г.-град	атомная кал./г.-атом.-град	
100	0,0580	6,26	[69]	500	0,0660	7,12	[69]
124,84	0,0575	6,20	[65]	520,84	0,0629	6,79	[65]
200	0,0528	5,70	[66]	600	0,0642	6,93	[65]
200	0,0571	6,16	[70]	600	0,06347	6,847	[71]
200	0,05822	6,281	[71]	600	0,0655	6,70	[70]
200	0,0601	6,48	[69]	600	0,0680	7,33	[69]
501	0,0590	6,36	[65]	700	0,0590	6,36	[66]
262	0,0599	6,46	[55]	700	0,06469	6,979	[71]
300	0,0601	6,48	[65]	700	0,0701	7,56	[69]
300	0,05958	6,427	[71]	800	0,0717	7,73	[69]
300	0,0616	6,64	[69]	900	0,0685	7,39	[65]
316	0,0616	6,64	[55]	900	0,0676	7,30	[67]
357,84	0,0607	6,55	[65]	900	0,0741	7,99	[69]
400	0,0592	6,38	[70]	961	0,0730	7,88	[70]
400	0,06091	6,571	[71]	1000	0,0692	7,46	[69]
400	0,0651	7,02	[69]	1100	0,0692	7,46	[69]
500	0,0642	6,93	[67]	1200	0,0692	7,46	[69]
500	0,06220	6,712	[71]	1300	0,0692	7,46	[69]

Таблица 226

ТЕПЛОЕМКОСТЬ СЕРЕБРА (99,99% Ag [77])

Температура °K	Теплоемкость		Температура °K	Теплоемкость		Температура °K	Теплоемкость	
	C _P	C _V		C _P	C _V		C _P	C _V
15	0,160	0,160	100	4,820	4,769	210	5,837	5,681
20	0,410	0,410	110	5,010	4,950	220	5,873	5,708
25	0,747	0,747	120	5,162	5,092	230	5,911	5,736
30	1,141	1,140	130	5,282	5,210	240	5,950	5,765
35	1,580	1,578	140	5,399	5,310	250	5,989	5,793
40	2,005	2,001	150	5,490	5,391	260	6,025	5,819
45	2,399	2,393	160	5,569	5,461	270	6,050	5,835
50	2,784	2,776	170	5,644	5,526	280	6,068	5,843
60	3,420	3,405	180	5,712	5,584	290	6,080	5,846
70	3,904	3,881	190	5,757	5,620	298	6,092	5,851
80	4,277	4,245	200	5,800	5,653	300	6,095	5,852
90	4,573	4,532						

Работы ряда авторов последних лет [72—76] были посвящены измерению теплоемкости серебра вблизи температуры абсолютного нуля.

Опытные величины средних теплоемкостей приведены в табл. 227.

СРЕДНЯЯ ТЕПЛОЕМКОСТЬ СЕРЕБРА

Пределы тем- ператур, °C	Теплоемкость		Литературный источник	Пределы тем- ператур, °C	Теплоемкость		Литературный источник
	нижний	верхний			нижний	верхний	
-253	-196	0,0242	[78]	15	350	0,0576	6,21
-186	-79	0,0496	[79]	20	400	0,0600	6,47
-189	-74	0,0492	[80]	15	435	0,0581	6,27
-188	20	0,0511	[81]	16	496,64	0,058930	6,357
-182	15	0,0519	[59]	20	500	0,0619	6,68
-100	0	0,057	[82]	16	585,90	0,059670	6,437
-78	15	0,055	[66]	18	600	0,0595	6,42
0	19	0,05535	[60]	20	600	0,0631	6,81
0	20	0,0544	[60]	20	700	0,0640	6,90
0	100	0,05684	[83]	20	800	0,0648	6,99
15	100	0,0558	[59]	20	900	0,0656	7,08
20	100	0,0575	[69]	260	600	0,075	8,1
15	185	0,0561	[59]	20	1000	0,0911	9,83
20	200	0,0589	[69]	20	1100	0,0890	9,60
0	260	0,0565	[92]	20	1200	0,0880	9,49
18	300	0,0568	[63]	20	1300	0,0860	9,28
20	300	0,0598	[69]	660	900	0,076	8,2
16	344,77	0,057617	[84]	907	1100	0,0748	8,07

Эмпирические уравнения зависимости атомной теплоемкости серебра от температуры:

1) по Истмену, Вильямсу и Юнгу [65]

$$C_P = 6,02 + 1,5 \cdot 10^{-3} t \quad (100 - 900^\circ C);$$

2) по Эйкену и Дуннёлю [85]

$$C_P = 5,98 + 1,56 \cdot 10^{-3} t;$$

3) Келли рекомендует [53]

$$C_P = 5,60 + 1,50 \cdot 10^{-3} T \quad (1\%, 273 - 1234^\circ K),$$

$$C_P = 8,2 \quad (3\%, 1234 - 1573^\circ K);$$

4) Брицке, Капустинский и др. [86], обобщив данные Егера, Розенбома и Ботемы [87] для высоких температур и данные Бронсона и Вильсона [88] и Бронсона, Ньюсона и Вильсона [89] для средних и низких температур, вывели эмпирическое уравнение

$$C_p = 5,73 + 1,263 \cdot 10^{-3} T + 0,06 \cdot 10^5 T^{-2} \times \\ \times (0,5\%, 273 - 1234^\circ\text{K}).$$

Теплота плавления. В табл. 228 приведены данные по теплоте плавления серебра, полученные различными методами. Для металлургических расчетов теплоту плавления серебра можно принимать равной 2700 кал/г-атом.

Таблица 228

ТЕПЛОТА ПЛАВЛЕНИЯ СЕРЕБРА

Теплота плавления		Год	Автор	Литературный источник
атомная кал/г-атом	удельная кал/г			
2280	21,07	1849	Пирсон	[18]
2700	24,7	1887	Пьюншон	[19]
2810	26,01	1919	Вист и др.	[20]
2125	19,7	1914	Людвик	[21]
2244	20,8	—	Гульдбе	[22]
2490	23,08	1926	Умино	[23]
2690 ± 100	24,93	1939	Бейтс	[24]

Теплота испарения. Как видно из табл. 229, данные различных авторов колеблются в пределах 54 600—67 000 кал/г-атом.

Таблица 229

ТЕПЛОТА ИСПАРЕНИЯ СЕРЕБРА

Теплота испарения		Температура °C	Год	Автор	Литературный источник
атомная кал/г-атом	удельная кал/г				
54600	506	1178—1316	1913	Вартенберг	[40]
67000	622	1316—1435	1911	Гринвуд	[3]
59700	536,7	1435—2100	1920	Ван Лимпт	[46]
55800*	517*	При 1 атм	1934	Баузер, Бруннер	[52]
60200	558	—	1934	Фишер	[42]
56000*	519*	При 1 атм	1936	Эйкен	[35]
65300*	605*	1060	1950	Шадель, Бирхеналь	[36]
60000*	556*	2277			
61000* ± 200	565*	750—1050			

* Из давления пара.

Зависимость теплоты испарения серебра от температуры по Келли [53] выражается уравнением

$$L_{\text{исп}} = 68,74 - 3,23 \cdot 10^{-3} T \text{ ккал/г-атом.}$$

Тот же автор [13] теплоту испарения серебра при 298° К принимает равной 67781 кал/г-атом, а при температуре кипения (2485° К) — 60 717 кал/г-атом.

Брюэр [51] дает для теплоты испарения серебра при температуре кипения величину 62 ккал/г-атом.

Для зависимости изобарного потенциала испарения от температуры Келли [13] дает следующее уравнение:

$$\Delta Z_T^0 = 68744 + 7,44 T \lg T - 52,92 T.$$

Энтальпия, энтропия и функции Φ' и Φ''

Приведенные в табл. 230 величины энталпии, энтропии и функций Φ' и Φ'' заимствованы для температур 15—300° К из работы Мидса, Форсайта, Джанкви [77] и для интервала 300—3000° К из справочника Стелла и Синке [91]. Стандартная энтропия S_{298}^0 принята равной 10,21 [77].

Из приведенного выше уравнения теплоемкости серебра, данного Брицке и Капустинским [86], и принимая $S_{298}^0 = 10,21$, получаем уравнение температурной зависимости энтропии серебра:

$$S_T^0 = S_{298}^0 + \int_{298}^T C_p d \ln T = -22,79 + 1,26 \cdot 10^{-3} T + \\ + 13,196 \lg T - \frac{3000}{T^2},$$

справедливое в интервале 273—1234° К.

Принимая для теплоемкости жидкого серебра цифру, данную Келли [53] $C_p = 8,2$, и беря из таблицы $S_{1300}^0 = 22,14$, для жидкого серебра получаем:

$$S_T^0 = 8,2 \lg T - 3,39.$$

Таблица 230
ЭНТАЛЬПИЯ, ЭНТРОПИЯ, ФУНКЦИИ Φ' И Φ'' ДЛЯ СЕРЕБРА [77 И 91]

Температура $^{\circ}\text{К}$	$H_T^{\circ} - H_0^{\circ}$ кал/г-атом	S_T° кал/г-атом·моль	Φ'	Φ''
			кал/г-атом·моль	
<i>Твердое</i>				
15	0,600	0,054	0,014	91,547
20	1,940	0,131	0,034	68,68
25	4,800	0,256	0,064	54,98
30	9,510	0,427	0,110	45,88
35	16,275	0,635	0,170	39,40
40	25,280	0,874	0,242	34,56
45	36,315	1,134	0,327	30,84
50	49,250	1,407	0,422	27,88
60	80,460	1,973	0,632	23,52
70	117,180	2,539	0,865	20,48
80	158,160	3,086	1,109	18,27
90	202,500	3,608	1,358	16,61
100	249,50	4,103	1,608	15,34
110	298,65	4,570	1,855	14,34
120	349,56	5,013	2,100	13,54
130	401,83	5,431	2,340	12,89
140	455,28	5,828	2,576	12,38
150	509,70	6,203	2,805	11,96
160	564,96	6,559	3,028	11,61
170	621,01	6,899	3,246	11,32
180	677,88	7,224	3,458	11,08
190	735,11	7,553	3,664	10,89
200	793,00	7,830	3,865	10,73
210	851,13	8,114	4,061	10,50
220	909,70	8,387	4,252	10,49
230	968,53	8,648	4,437	10,41
240	1027,92	8,901	4,618	10,34
250	1087,75	9,144	4,793	10,29
260	1147,64	9,380	4,966	10,25
270	1207,98	9,607	5,133	10,22
280	1268,68	9,828	5,297	10,20
290	1329,36	10,042	5,458	10,19
298,2	1372,29	10,210	5,586	10,21
300	1390,20	10,248	5,63	10,21
400	2004,2	12,01	7,02	10,45
500	2629,2	13,40	8,15	10,90
600	3269,2	14,57	9,13	11,42
700	3929,2	15,58	9,98	11,94
800	4599,2	16,48	10,70	12,46
900	5289,2	17,29	11,42	12,95
1000	5989,2	18,03	12,05	13,42
1100	6709,2	18,72	12,63	13,88
1200	7439,2	19,35	13,16	14,30

Температура $^{\circ}\text{К}$	$H_T^{\circ} - H_0^{\circ}$ кал/г-атом	S_T° кал/г-атом·моль	Φ'	Φ''
			кал/г-атом·моль	
<i>Жидкое</i>				
1300	10889,2	22,14	13,77	14,83
1400	11639,2	22,70	14,40	15,38
1500	12389,2	23,21	14,96	15,87
1600	13139,2	23,70	15,49	16,35
1700	13889	24,15	16,00	16,80
1800	14639	24,58	16,46	17,22
1900	15389	24,99	16,85	17,62
2000	16139	25,37	17,30	17,99
2100	16889	25,74	17,71	18,36
2200	17639	26,09	18,07	18,70
2300	18389	26,42	18,43	19,03
2400	19139	26,74	18,76	19,34
<i>Газообразное</i>				
2500	80720	51,89	19,61	20,16
2600	81220	52,08	20,85	21,38
2700	81710	52,27	22,01	22,52
2800	81710	52,45	23,10	23,59
2900	82710	52,62	24,14	24,58
3000	83200	52,79	25,06	25,52

На основании приведенных выше уравнений температурной зависимости энтропии и энталпии можно получить

$$\Phi' = -28,54 + 0,63 \cdot 10^{-3} T + 13,196 \lg T + \frac{378}{T} - \frac{3000}{T^2} \quad (273 - 1234^{\circ}\text{K});$$

$$\Phi' = -11,59 + 8,2 \lg T - \frac{229}{T} \quad (\text{для жидкого Ag});$$

$$\Phi'' = -28,54 + 0,63 \cdot 10^{-3} T + 13,196 \lg T + \frac{1751}{T} - \frac{3000}{T^2} \quad (273 - 1234^{\circ}\text{K});$$

$$\Phi'' = -11,59 + 8,2 \lg T + \frac{1144}{T} \quad (\text{для жидкого Ag}).$$

Термодинамические функции серебра в состоянии идеального одноатомного газа приведены в табл. 231.

Таблица 231
ТЕРМОДИНАМИЧЕСКИЕ ФУНКЦИИ ДЛЯ СЕРЕБРА В СОСТОЯНИИ ИДЕАЛЬНОГО
ОДНОАТОМНОГО ГАЗА [91]
($C_P=1,97$ кал/г-атом·град; $H_298^{\circ} - H_0^{\circ} = 1481$ кал/г-атом)

$T, ^\circ\text{K}$	$H_T^{\circ} - H_298^{\circ}$ кал/г-атом	S_T° кал/г-атом·град	$\Phi^{\text{но}}$ кал/г-атом·град	Образование из стандартного состояния		
				ΔH° кал/г-атом	ΔZ° кал/г-атом	$\lg K_P$
298	0	41,32	41,32	68400	59122	-43,339
300	9	41,35	41,32	68398	59065	-43,032
400	506	42,78	41,52	68281	55973	-30,584
500	1003	43,89	41,89	68153	52908	-23,127
600	1500	44,80	42,30	68010	49872	-18,167
700	1996	45,56	42,71	67846	46860	-14,631
800	2493	46,23	43,12	67673	43873	-11,986
900	2990	46,81	43,49	67480	40912	-9,935
1000	3487	47,33	43,85	67277	37977	-8,300
1100	3984	47,81	44,19	67054	35055	-6,965
1200	4480	48,24	44,51	66820	32152	-5,856
1300	4977	48,64	44,52	63867	29417	-4,945
1400	5474	49,01	45,10	63614	26780	-4,180
1500	5971	49,35	45,37	63361	24151	-3,519
1600	6468	49,67	45,63	63108	21556	-2,944
1700	6964	49,97	45,88	62854	18960	-2,437
1800	7461	50,25	46,11	62601	16395	-1,990
1900	7958	50,52	46,34	62348	13841	-1,591
2000	8455	50,78	46,56	62095	11275	-1,232
2100	8952	51,02	46,76	61842	8754	-0,911
2200	9448	51,25	46,96	61588	6236	-0,619
2300	9945	51,47	47,15	61335	3720	-0,353
2400	10442	51,68	47,33	61082	1226	-0,111
2500	10939	51,89	47,52	0	0	0
2600	11436	52,08	47,64	0	0	0
2700	11932	52,27	47,86	0	0	0
2800	12429	52,45	48,02	0	0	0
2900	12926	52,62	48,17	0	0	0
3000	13423	52,79	48,32	0	0	0

§ 34. СЕРНИСТОЕ СЕРЕБРО Ag_2S

Кристаллическая структура, плотность, температура плавления

Модификация сернистого серебра ($M=247,825$), устойчивая между 180 и 625°, имеет объемноцентрированную кубическую решетку. Различные авторы [93—98] приводят значения постоян-

ной решетки a в пределах 4,84—4,90 Å. Низкотемпературная модификация сернистого серебра — моноклинная с параметрами решетки $a=9,49$ Å, $b=6,93$ Å, $c=8,30$ Å, $\beta=124^\circ$ [96,99].

Температуры фазовых превращений приведены в табл. 232.

Таблица 232

ТЕМПЕРАТУРА ФАЗОВЫХ ПРЕВРАЩЕНИЙ Ag_2S

Температура превращения °C	Литературный источник
$\text{Ag}_2\text{S} (\alpha) \rightleftharpoons \text{Ag}_2\text{S} (\beta)$	
175	104, 105, 106, 109, 110, 113
178	107
179	108, 111, 115
180	94
176, 3±0,5	114
$\text{Ag}_2\text{S} (\beta) \rightleftharpoons \text{Ag}_2\text{S}$ (высокотемпературная модификация)	
576	110
586±3	114
591,5	116

Таблица 233
ТЕМПЕРАТУРА ПЛАВЛЕНИЯ Ag_2S

Температура плавления, °C	Год	Автор	Литературный источник
845	1903	Пелабон	[117]
836	1912	Сандонини	[107]
835	1912	Камби	[118]
834	1912	Трутти	[109]
842	1912	Егер, Клостер	[108]
815	1914	Биссет	[119]
842	1915	Пеллини	[120]
842	1915	Уразов	[110]
838±2	1946	Крацек	[114]
837	1947	Иенсен	[116]

Из данных по теплоемкости Келли [112] рассчитал эмпирические уравнения температурной зависимости теплоты и изобарного потенциала для превращения $\text{Ag}_2\text{S}(\alpha) \rightleftharpoons \text{Ag}_2\text{S}(\beta)$:

$$\Delta H_T = -300 + 3,0T; \quad \Delta H_{298} = 590 \text{ кал/моль};$$

$$\Delta Z_T = -300 - 6,9 T \lg T + 18,96 T;$$

$$\Delta Z_{298} = 260 \text{ кал/моль}.$$

Плотность. Для metallургических расчетов плотность Ag_2S может быть принята равной 7,3 г/см³.

Температура плавления. Данные различных авторов приведены в табл. 233. Для metallургических расчетов температуру плавления Ag_2S можно принимать равной 838° С.

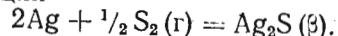
Давление диссоциации

Воеводский и Гольберт [146] из своих данных по равновесию Ag_2S с водородом вычислили давление диссоциации Ag_2S . Эти данные приведены в табл. 234.

Таблица 234
ДАВЛЕНИЕ ДИССОЦИАЦИИ Ag_2S [146]

$t, ^\circ\text{C}$	$\lg P_{\text{S}_2}$	$P_{\text{S}_2}, \text{ atm}$
558	-7,242	0,0573
602	-6,740	0,06182
607	-6,6734	0,06212
658	-6,1542	0,06701
706	-5,6494	0,05224
708	-5,6572	0,05220
760	-5,2754	0,0530
834	-4,4922	0,04322
863	-4,5492	0,0282
923	-4,1866	0,04651
985	-3,6818	0,03208
1010	-3,5136	0,03306

Из данных Розенквиста [124] по равновесию Ag_2S с водородом нами рассчитано уравнение изобарного потенциала образования Ag_2S по реакции



Вычисленные из этого уравнения давления диссоциации приведены в табл. 235.

Теплоемкость

Приведенные в табл. 236 данные получены расчетом по уравнению, рекомендуемому Брицке и Капустинским [86] в качестве наиболее надежного в интервале температур (273—448°К).

Таблица 236
ТЕПЛОЕМКОСТЬ Ag_2S

Темпера- тура $^\circ\text{C}$	Теплоемкость	
	удельная кал/г·град	мольная кал/моль·град
0	0,0718	17,79
50	0,0752	18,64
100	0,0786	19,48
150	0,0819	20,32
175	0,0837	20,74

Из приведенных в табл. 237 данных особенно интересны последние по времени измерения средней теплоемкости, проведенные Капустинским и Веселовским [113]. Этими авторами отмечен скачок теплоемкости, соответствующий переходу $\text{Ag}_2\text{S}(\alpha) \rightleftharpoons \text{Ag}_2\text{S}(\beta)$.

Беллати и Луссана [104] дали следующее эмпирическое уравнение температурной зависимости теплоемкости $\text{Ag}_2\text{S}(\alpha)$, которое хорошо описывает имеющиеся эксперимен-

Таблица 235
ДАВЛЕНИЕ ДИССОЦИАЦИИ Ag_2S
(вычисление)

$t, ^\circ\text{C}$	$\lg P_{\text{S}_2}$	$P_{\text{S}_2}, \text{ atm}$
175	-16,9500	0,06112
200	-16,7348	0,06184
300	-12,3666	0,012430
400	-9,9679	0,0108
500	-8,2175	0,0606
600	-6,8733	0,06134
700	-5,8381	0,05145
800	-5,0264	0,06941
900	-4,2940	0,04508

тальные данные и принимается в известных справочных изданиях (Келли, Брицке, Капустинский и др.):

Таблица 237

СРЕДНЯЯ ТЕПЛОЕМКОСТЬ Ag_2S

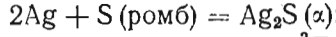
Пределы темпера- тур, $^\circ\text{C}$	Теплоемкость	Автор		Литературный ис- точник
		нижний	верхний	
-191,2	0,0548	13,55	Ролла	[125]
-190,6	0,0549	13,60	»	[125]
-182	0,0568	14,08	Тильден	[59]
-78,0	0,0684	16,94	Ролла	[125]
-78,0	0,0686	16,99	»	[125]
0	0,0727	18,01	»	[125]
0	0,0755	18,72	»	[125]
10	0,0746	18,49	Селла	[126]
15	0,0737	18,26	Тильден	[127]
15	0,0804	19,22	Стрентц	[128]
25	0,0846	20,96	Капустинский, Веселовский	[113]
25	0,1189	29,46	То же	[113]
25	0,1584	39,26	»	[113]
25	0,1603	39,73	»	[113]
75	0,0891*	22,05	Беллати	[104]
25	0,1656	41,04	Капустинский, Веселовский	[113]
15	0,0903*	22,38	Тильден	[127]
25	0,1684	41,74	Капустинский, Веселовский	[113]
25	0,1708	42,17	То же	[113]
25	0,1710	42,38	»	[113]

* Данные вызывают сомнение: средняя теплоемкость должна быть выше вследствие перехода $\text{Ag}_2\text{S}(\alpha) \rightleftharpoons \text{Ag}_2\text{S}(\beta)$ при 175°С.

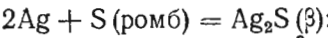
$$C_p = 13,20 + 16,82 \cdot 10^{-3}T \quad (2\%, 273 - 448^\circ\text{K}).$$

Брицке, Капустинский и др. [86] теплоемкость $\text{Ag}_2\text{S}(\text{ж})$ принимают равной 30,2 кал/моль·град.

Келли [112] рассчитал эмпирические уравнения изменения теплоемкости



$$\Delta C_p = 4,02 - 9,24 \cdot 10^{-3}T;$$



$$\Delta C_p = 7,02 - 9,24 \cdot 10^{-3}T.$$

Энталпия, энтропия, функции Φ' и Φ''

Капустинский и Веселовский [113] определили энталпию Ag_2S в интервале температур 25—570° С. Их данные представлены в табл. 238.

Таблица 238

ЭНТАЛПИЯ Ag_2S [113]

$t, ^\circ\text{C}$	$H_T - H_{298}^\circ \text{ ккал/моль}$	$t, ^\circ\text{C}$	$H_T - H_{298}^\circ \text{ ккал/моль}$
25	0	300	6670
100	1415	400	8870
179	3005	500	11070
179	4005	570	12610
200	4470		

Таблица 239

ЭНТАЛПИЯ Ag_2S
(вычисленная), кал/моль

$T, ^\circ\text{K}$	$H_T - H_{298}^\circ \text{ ккал/моль}$	$T, ^\circ\text{K}$	$H_T - H_{298}^\circ \text{ ккал/моль}$
298	0	380	1546
300	32	400	1942
320	401	420	2344
340	776	440	2752
360	1158	448	2918
373	1413	452	3000

Из приведенного выше уравнения для теплоемкости $\text{Ag}_2\text{S}(\alpha)$ Беллати и Луссана [104] получаем

$$H_T^\circ - H_{298}^\circ = 13,2T + 8,41 \cdot 10^{-3}T^2 - 4684 \text{ кал/моль.}$$

В табл. 239 приведены значения энталпии, рассчитанные по этому уравнению (они хорошо совпадают с найденными Капустинским и Веселовским).

Из данных по равновесию сульфида серебра с водородом Кимура [135] определил значение энтропии $34,5 \pm 2$. Воеводский и Гольберг [146] получили $S_{298}^\circ = 37,83$. Для металлических расчетов энтропию Ag_2S можно принимать равной 35,0 э. е.

Из данных по теплоемкости Беллати и Луссана [104] получаем:

$$S_T^\circ - S_{298}^\circ = 30,40 \lg T + 16,82 \cdot 10^{-3}T - 80,24.$$

Рассчитанные по этому уравнению энтропия, а также значения функций Φ'' приведены в табл. 240.

Таблица 240

ЭНТРОПИЯ И ФУНКЦИИ Φ'' , кал/моль · град
(вычисленные)

$T, ^\circ\text{K}$	S_T°	Φ''	$T, ^\circ\text{K}$	S_T°	Φ''	$T, ^\circ\text{K}$	S_T°	Φ''
298,16	35,0	35,00	340	37,44	35,16	400	40,58	35,72
300	35,10	35,00	360	38,53	35,31	420	41,56	35,98
320	36,30	35,05	380	39,57	35,51	440	42,52	36,27

Теплота, изобарный потенциал и энтропия образования Ag_2S

Теплота образования Ag_2S . В табл. 241 приведены теплоты образования Ag_2S , полученные различными методами.

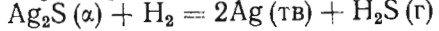
Таблица 241

ТЕПЛОТА ОБРАЗОВАНИЯ Ag_2S ПО РЕАКЦИИ
 $2\text{Ag}(\text{тв}) + \text{S}(\text{ромб}) \rightleftharpoons \text{Ag}_2\text{S}$, кал

$-\Delta H_{298}^\circ$	Метод определения	Год	Автор	Литературный источник
3000	Калориметрически	1874	Бертло	[129]
5340	»	1879	Томсен	[130]
3330	»	1905	Томсен	[131]
5018	—	1914	Фелсинг	[133]
7562	Э. д. с.	1920	Нейес, Фрид	[149]
5137	Равновесие с H_2	1929	Ватанабе	[132]
7730	—	1932	Капустинский	[134]
7730	Равновесие с H_2	1933	Ватанабе	[111]
7512	Э. д. с.	1934—1935	Кимура	[135]
7603	То же	1934—1935	Кимура	[135]
6600 \pm 200 (293,16 °К)	Калориметрически	1935	Цеймер, Рот	[136]
7486	Равновесие с H_2	1936	Сано	[137]
6312	То же	1937	Воеводский, Гольберг	[146]
7550	Э. д. с.	1939	Капустинский, Маколкин	[138]
7560	Калориметрически	1940	Капустинский, Коршунов	[139]
7500	Э. д. с.	1940—1942	Маколкин	[140]
7493	Равновесие с H_2	1949	Розенквист	[124]
6200	То же	1952	Кордес, Раков	[141]
7930	Э. д. с.	1953	Гоатес и др.	[142]

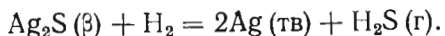
Справочные данные многих авторов [144, 145, 148, 12, 86] находятся в пределах 7500—7720 кал/моль.

Розенквист [124] получил для теплоты реакций:



$$\Delta H = +4370 - 6,683T + 3,526 \cdot 10^{-3}T^2 +$$

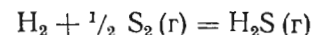
$$+ 0,101 \cdot 10^{-6}T^3 - 0,159 \cdot 10^{-9}T^4;$$



$$\Delta H = 4720 - 9,683T + 3,526 \cdot 10^{-3}T^2 +$$

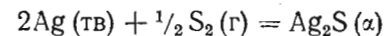
$$+ 0,101 \cdot 10^{-6}T^3 - 0,159 \cdot 10^{-9}T^4.$$

Комбинируя эти выражения с теплотой образования сероводорода (см. т. I, стр. 122):



$$\Delta H = -19405 - 3,345 T + 1,0325 \cdot 10^{-3} T^2,$$

получаем:



$$\Delta H = -23775 + 3,338 T - 2,4935 \cdot 10^{-3} T^2 - \\ - 0,101 \cdot 10^{-6} T^3 + 0,159 \cdot 10^{-9} T^4,$$



$$\Delta H = -24125 + 6,338 T - 2,4935 \cdot 10^{-3} T^2 - \\ - 0,101 \cdot 10^{-6} T^3 + 0,159 \cdot 10^{-9} T^4.$$

В табл. 242 приведены значения теплоты образования, рассчитанные по последним двум уравнениям.

Таблица 242

ТЕПЛОТА ОБРАЗОВАНИЯ Ag_2S
(вычисленная)

$t, ^\circ\text{C}$	$-\Delta H$ кал/моль	$t, ^\circ\text{C}$	$-\Delta H$ кал/моль	$t, ^\circ\text{C}$	$-\Delta H$ кал/моль
$2\text{Ag}(\text{тв}) + \frac{1}{2} \text{S}_2(\text{г}) = \text{Ag}_2\text{S}(\alpha)$					
25	23004	175	21784	600	20486
100	22881	200	21689	700	20258
150	22817	300	21312	800	20107
175	22788	400	20989	900	19978
		500	20702		

Изобарный потенциал образования Ag_2S . В табл. 243 приведены стандартные величины ΔZ , по данным различных исследователей.

Воеводский и Гольберт [146] из своих экспериментальных данных по равновесию восстановления Ag_2S водородом рассчитывают для реакции $2\text{Ag} + \frac{1}{2}\text{S}_2(\text{г}) = \text{Ag}_2\text{S}(\beta)$ следующее уравнение:

$$\Delta Z_T^0 = -19200 + 0,94 T \ln T + 0,00165 T^2 - \\ - 0,37 \cdot 10^{-6} T^3 - 1,67T \quad (831 - 1283^\circ\text{K}).$$

Таблица 243
ИЗОБАРНЫЙ ПОТЕНЦИАЛ ОБРАЗОВАНИЯ Ag_2S ПО РЕАКЦИИ
 $2\text{Ag} + \text{S}$ (ромб) = $\text{Ag}_2\text{S}(\alpha)$

$-\Delta Z_{298,16}$	Метод	Год	Автор	Литературный источник
9528	Э. д. с.	1920	Нойес, Фрид	[149]
8160	Растворимость	1922	Еллинек, Червинский	[150]
9096	Восстановление H_2	1929	Ватанабе	[132]
9766	»	1933	Ватанабе	[111]
9542	Э. д. с.	1933—1935	Кимура	[135]
9560	Э. д. с.	1933—1935	Кимура	[135]
9770	Восстановление H_2	1937	Воеводский, Гольберт	[146]
9557*	»	1949	Розенкинст	[124]

* Эту величину авторы справочника рекомендуют для metallurgических расчетов.

Маколкин [140] изучил реакцию восстановления Ag_2S электрохимически. Из своих экспериментальных данных он рассчитывает для реакции $2\text{Ag} + \frac{1}{2}\text{S}_2(\text{г}) = \text{Ag}_2\text{S}(\alpha)$ уравнение

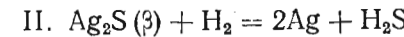
$$\Delta Z_T^0 = -23050 - 3,179 T \ln T + 1,520 \cdot 10^{-3} T^2 + \\ + 32524 T^{-2} + 33,84 T.$$

Обработка данных Розенкинста [124] по восстановлению Ag_2S водородом, которые, по-видимому, следует считать наиболее достоверными, приводит к уравнениям температурной зависимости изобарного потенциала образования обеих модификаций Ag_2S . Розенкиншт нашел для реакции



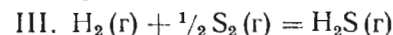
$$\Delta Z_1^0 = 4370 + 15,39 T \lg T - 3,526 \cdot 10^{-3} T^2 - \\ - 0,051 \cdot 10^{-6} T^3 + 0,053 \cdot 10^{-9} T^4 - 46,01 T$$

и для реакции



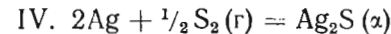
$$\Delta Z_{\text{II}}^0 = 4720 + 22,29 T \lg T - 3,526 \cdot 10^{-3} T^2 - \\ - 0,051 \cdot 10^{-6} T^3 + 0,053 \cdot 10^{-9} T^4 - 65,11 T.$$

Используя известные данные для реакции образования сероводорода (см. том I, стр. 122)



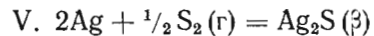
$$\Delta Z_{\text{III}}^{\circ} = -19405 + 7,705 T \lg T - 1,0325 \cdot 10^{-3} T^2 - 12,51T.$$

Комбинируя реакции I и III, получаем для реакции



$$\begin{aligned} \Delta Z_{\text{IV}}^{\circ} &= -\Delta Z_{\text{I}}^{\circ} + \Delta Z_{\text{III}}^{\circ} = -23775 - 7,685 T \lg T + \\ &+ 2,4935 \cdot 10^{-3} T^2 + 0,051 \cdot 10^{-6} T^3 - 0,053 \cdot 10^{-9} T^4 + 33,50T. \end{aligned}$$

Комбинируя реакции II и III, получаем для реакции



$$\begin{aligned} \Delta Z_{\text{V}}^{\circ} &= -\Delta Z_{\text{II}}^{\circ} + \Delta Z_{\text{III}}^{\circ} = -24125 - 14,585 T \lg T + \\ &+ 2,4935 \cdot 10^{-3} T^2 + 0,051 \cdot 10^{-6} T^3 - 0,053 \cdot 10^{-9} T^4 + \\ &+ 52,60T. \end{aligned}$$

Данные расчета по последним двум уравнениям приведены в табл. 244.

Таблица 244

ИЗОБАРНЫЙ ПОТЕНЦИАЛ ОБРАЗОВАНИЯ Ag_2S
(вычисленная), кал/моль

Температура, $^{\circ}\text{C}$	$-\Delta Z_T^{\circ}$	Температура, $^{\circ}\text{C}$	$-\Delta Z_T^{\circ}$	Температура, $^{\circ}\text{C}$	$-\Delta Z_T^{\circ}$
$2\text{Ag} + \frac{1}{2}\text{S}_2(\text{г}) = \text{Ag}_2\text{S}(\alpha)$					
25	19235	175	17380	600	13729
100	18302	200	17137	700	12997
150	17691	300	16213	800	12342
175	17391	400	15349	900	11526
		500	14534		

Энтропия образования Ag_2S . Маколкин [140] приводит сводку энтропий образования Ag_2S , полученных различными авторами (табл. 245).

Эти величины представляются недостаточно точными. Из данных Розенквиста [124] по равновесию Ag_2S с водородом можно рассчитать энтропию образования Ag_2S ; при 25°C она равна 6,9 кал/моль·град.

Таблица 245
ЭНТРОПИЯ ОБРАЗОВАНИЯ Ag_2S , кал/моль·град

ΔS_{298}	Метод определения	Год	Автор	Литературный источник
6,545	Э. д. с.	1920	Нойес, Фрид	[149]
6,504	То же	1933—1935	Кимура	[135]
7,547	Равновесие с H_2	1936	Сано	[137]
9,922	То же	1937	Боеводский, Гольберт	[146]
9,764	Э. д. с.	1937	Маколкин	[140]

Из энтропий серебра $S_{298}^0 = 10,21$, серы ромбической $S_{298}^0 = 7,64$ (т. I, стр. 122) и сульфида серебра $S_{298}^0 = 35,0$ находим для реакции $2\text{Ag} + \text{S}$ (ромб) $= \text{Ag}_2\text{S}$ (α) $\Delta S_{298}^0 = 6,94$ кал/моль·град.

§ 35. ОКИСЬ СЕРЕБРА Ag_2O

Кристаллическая структура, плотность

По данным Ниггли [151] Ag_2O ($M = 231,76$) имеет кубическую решетку типа Cu_2O с параметром $a = 4,723 \text{ \AA}$.

Значения плотности Ag_2O , по данным различных авторов [151—156], колеблются в пределах $7,143$ — $8,2558 \text{ г}/\text{см}^3$. В справочнике «Handbook of chemistry and Physics» [103] рекомендуется величина $d = 7,143 \text{ г}/\text{см}^3$ (при $16,6^{\circ}\text{C}$).

Теплоемкость

Приведенные в табл. 246 данные по теплоемкости Ag_2O взяты из работы Питцера и Смита [166]. В интервале температур 20 — 50°K авторы наблюдали аномальный ход теплоемкости с температурой; для вычисления термодинамических функций кривая теплоемкости была слажена (для интервала температуры, где наблюдается аномалия).

Кобаяши [165] определил теплоемкость Ag_2O в интервале температур 317 — 500°K . По данным автора выведено уравнение

$$C_p = 10,02 + 2,393 \cdot 10^{-2} T - 1,33 \cdot 10^{-5} T^2.$$

Кривая температурной зависимости истинной теплоемкости Ag_2O показывает, что данные Кобаяши довольно хорошо продолжают кривую, полученную Питцером и Смитом.

Таблица 246
ИСТИННАЯ ТЕПЛОЕМКОСТЬ Ag_2O [166]

Температура, °К	Теплоемкость кал/моль		Температура, °К	Теплоемкость кал/моль		Температура, °К	Теплоемкость кал/моль	
	опытные данные	по стальной кривой		опытные данные	по стальной кривой		опытные данные	по стальной кривой
12,90	1,81	1,81	36,72	7,92	6,94	124,11	11,59	
14,65	2,40	2,33	38,91	7,83	7,24	130,56	11,82	
17,63	3,18	3,17	39,85	8,06	7,36	137,32	12,06	
17,90	3,37	3,24	41,39	8,00	7,54	144,66	12,27	
20,69	3,94	3,94	43,78	7,91	7,82	151,53	12,51	
20,71	4,12	3,97	44,03	7,95	7,85	158,75	12,76	
23,64	4,86	4,63	49,11	8,37	8,36	166,26	13,01	
24,61	5,02	4,83	54,01	8,77		174,32	13,25	
25,59	5,22	5,05	59,50	9,05		182,29	13,51	
26,90	5,73	5,31	65,35	9,40		200,67	14,01	
28,04	5,88	5,54	71,73	9,67		208,78	14,14	
28,45	6,08	5,62	78,40	9,95		216,90	14,34	
29,98	6,41	5,89	84,74	10,19		225,12	14,41	
30,35	6,87	5,96	91,33	10,47		234,97	14,65	
31,52	6,84	6,16	98,26	10,67		244,30	14,98	
32,76	7,11	6,36	106,11	10,99		253,43	15,05	
34,08	7,46	6,56	111,86	11,23		263,80	15,24	
34,31	7,73	6,60	117,91	11,43		274,77	15,39	
						285,30	15,50	

Энтальпия, энтропия и функция Φ''

Энтальпия. Кобаяши [165] на основе своих экспериментальных данных составил эмпирическое уравнение:

$$H_T^0 - H_{298}^0 = 10,02T + 1,196 \cdot 10^{-2}T^2 - 0,442 \cdot 10^{-5}T^3 - 3933.$$

Величины энтальпии, соответствующие этому уравнению, приведены в табл. 247.

Энтропия. Имеющиеся в литературе [86, 143, 166, 177, 182] данные по энтропии Ag_2O в стандартных условиях колеблются в пределах 27,5—29,7. В металлургических расчетах можно принимать $S_{298}^0 = 29,09$.

Кобаяши [165] для энтропии Ag_2O при температурах до 500°К дает уравнение:

$$S_T^0 - S_{298}^0 = 23,072 \lg T + 2,393 \cdot 10^{-2}T - 0,663 \cdot 10^{-5}T^2 - 63,63.$$

Рассчитанные по этому уравнению величины энтропии приведены в табл. 247.

Таблица 247
ЭНТАЛЬПИЯ, ЭНТРОПИЯ И ФУНКЦИЯ Φ'' ДЛЯ Ag_2O [165]

$T, ^\circ\text{K}$	$H_T^0 - H_{298}^0$ кал/моль	S_T^0 кал/моль·град	Φ''	$T, ^\circ\text{K}$	$H_T^0 - H_{298}^0$ кал/моль	S_T^0 кал/моль·град	Φ''
300	30	29,19	29,09	700	7425	44,61	34,00
350	849	31,73	29,31	750	8446	46,00	34,74
400	1707	34,00	29,74	800	9474	47,34	35,50
450	2596	36,09	30,33	850	10511	48,59	36,23
500	3515	38,03	31,00	900	11551	49,79	36,96
550	4461	39,94	31,83	950	12590	50,91	37,28
600	5431	41,54	32,49	1000	13627	51,98	38,36
650	6419	43,11	33,29				

Функция Φ'' . Используя уравнение температурной зависимости теплоемкости Ag_2O , полученное Кобаяши [165], и принимая $S_{298}^0 = 29,09$, имеем:

$$\Phi'' = -44,56 + 1,197 \cdot 10^{-2}T - 0,221 \cdot 10^{-5}T^2 + 23,072 \lg T + \frac{3933}{T}.$$

Значения функции Φ'' для разных температур, рассчитанные по последнему уравнению, приведены в табл. 247.

Давление диссоциации

Экспериментально диссоциация Ag_2O изучалась в работах Льюиса [158], Кейса и Хара [160], Бентона и Дрейка [162]. Данные их работ приведены в табл. 248.

Экспериментальные данные по давлению диссоциации Ag_2O , изображенные в координатах $\lg P - 1/T$, довольно хорошо располагаются около прямой, уравнение которой рассчитано нами по методу наименьших квадратов:

$$\lg P_{at} = 6,384 - \frac{2942,2}{T} (446,16 - 1073^\circ\text{K}).$$

Точка, соответствующая давлению диссоциации при температуре 25°С, найденная Льюисом путем экстраполяции, несколько отклоняется от этой прямой.

ТАБЛИЦА 248
ДАВЛЕНИЕ ДИССОЦИАЦИИ Ag₂O

Температура, °C	Давление диссоциации, atm	Автор	Литературный источник	Температура, °C	Давление диссоциации, atm	Автор	Литературный источник
25	5,10 ⁻⁴	Льюис	[158]	400	109,2	Кейс, Хара	[160]
173	0,555	Бентон, Дрейк	[162]	403	114,5	То же	[160]
178	0,620	То же	[162]	445	207,0	Льюис	[158]
183	0,796	»	[162]	452	213,5	Кейс, Хара	[160]
188,1	0,943	»	[162]	467	257,8	То же	[160]
191,1	1,039	»	[162]	484	323,5	»	[160]
200	1,75	Кейс, Хара	[160]	500	388,3	»	[160]
302	20,5	Льюис	[158]	600	1026,0	»	[160]
325	32,0	»	[158]	800	4179,0	»	[160]
374	74,3	Кейс, Хара	[160]				

Теплота, энтропия
и изобарный потенциал образования Ag₂O.

Теплота образования Ag₂O. Данные ряда авторов, определявших теплоту образования Ag₂O различными методами, приведены в табл. 249.

ТАБЛИЦА 249

ТЕПЛОТА ОБРАЗОВАНИЯ Ag₂O

−ΔH ₂₉₈	Метод	Год	Автор	Литературный источник
7000	—	1897	Бергло	[157]
5900	—	1905	Томсен	[131]
6340	Из давления диссоциации	1906	Льюис	[158]
5400	—	1911	Микстер	[159]
9800	Из давления пара Ag и Ag ₂ O	1913	Вартенберг	[40]
6320	Из давления диссоциации	1922	Кейс, Хара	[160]
7000±200	Из давления диссоциации (при 182°)	1932	Бентон, Дрейк	[162]
6800	То же (при 170°)	1934	Бентон, Дрейк	[163]
7306	Расчетная	1937	Питцер, Смит	[166]
6580	Из э. д. с. ячейки Pt(H ₂) Ba(OH) ₂ Ag ₂ O Ag	1942	Маколкин	[164]
7290	Из теплоемкости и данных по э. д. с.	1951	Кобаяши	[165]

ТАБЛИЦА 248

Коуллин [167] для теплоты образования Ag₂O при разных температурах рекомендует величины, приведенные в табл. 250.

Для металлургических расчетов можно принимать ΔH₂₉₈ = −7200 кал/моль.

Ланге, принимая для теплоемкости серебра уравнение, рекомендуемое Келли [53]

$$C_p = 5,60 + 1,50 \cdot 10^{-3}T,$$

и оценивая по аналогии с реакцией $2\text{Cu} + \frac{1}{2}\text{O}_2 = \text{Cu}_2\text{O}$ изменение теплоемкости в реакции $2\text{Ag} + \frac{1}{2}\text{O}_2 = \text{Ag}_2\text{O}$

$$\Delta C_p = 1,0 + 3,0 \cdot 10^{-3}T,$$

получает для температурной зависимости теплоты образования Ag₂O следующее уравнение (считая ΔH₂₉₈ = −6950):

$$\Delta H = -7380 + 1,0T + 1,5 \cdot 10^{-3}T^2.$$

Используя уравнение для теплоемкости Ag₂O Кобаяши (см. стр. 195), уравнение для теплоемкости Ag, рекомендуемое Брицке и Капустинским (см. стр. 182) и уравнение для O₂, приведенное в первом томе настоящего издания (стр. 119), получаем следующее уравнение температурной зависимости теплоты образования Ag₂O (считая ΔH₂₉₈ = −7200):

$$\Delta H_T = \Delta H_{298} + \int_{298}^T (C_p^{Ag_2O} - 2C_p^{Ag} - \frac{1}{2}C_p^{O_2}) dT = \\ = -6092 - 5,57T + 10,64 \cdot 10^{-3}T^2 - 0,4433 \cdot 10^{-5}T^3 - \frac{82000}{T}.$$

Энтропия образования Ag₂O. В табл. 251 и 252 приведена энтропия образования Ag₂O по различным источникам и рассчитанная нами по данным Коуллина [167].

ТАБЛИЦА 251
СТАНДАРТНАЯ ЭНТРОПИЯ ОБРАЗОВАНИЯ Ag₂O
кал/моль·град

−ΔS ₂₉₈	Метод	Год	Автор	Литературный источник	T, °K	−ΔS	T, °K	−ΔS
17,3	—	1923	Льюис, Рендалл	[173]	298,16	15,763	700	14,29
15,82	Диссоциация	1937	Питцер, Смит	[166]	400	15,25	800	14,00
13,39	Э. д. с.	1942	Маколкин	[164]	500	14,90	900	13,78
15,83	Теплоемкость и э. д. с.	1951	Кобаяши	[165]	600	14,50	1000	13,65

ТАБЛИЦА 252
ЭНТРОПИЯ ОБРАЗОВАНИЯ Ag₂O [167]
кал/моль·град

Изобарный потенциал образования Ag_2O . В табл. 253 приведены значения изобарного потенциала образования Ag_2O по данным различных авторов.

Таблица 253

ИЗОБАРНЫЙ ПОТЕНЦИАЛ ОБРАЗОВАНИЯ Ag_2O

$-\Delta Z_{298}^\circ$ кал/моль	Метод	Год	Автор	Литературный источник
2473	Э. д. с. По предложенному уравнению	1908	Люттер, Покорни	[175]
2205	—	1923	Льюис, Рендалл	[173]
2779	—	1930	Рендалл, Хальфорд	[176]
2585	Из теплоемкостей и данных по диссоциации [158, 160, 162]	1937	Питцер, Смит	[166]
2600	Э. д. с.	1942	Маколкин	[164]
2430	По предложенному уравнению	1949	Ланге	[168]
2570	Из теплоемкостей и данных по диссоциации [158, 160, 162]	1951	Кобаяши	[165]
2500 + 350	По литературным данным	1954	Коулун	[167]
2723	Э. д. с.	1957	Грейг	[177]
2654	По э. д. с. с использованием теплоемкостей [166]	1957	Грейг	[177]
2679	Э. д. с. [179, 180]	1957	Грейг	[177]

Авторы настоящего справочника рекомендуют применять $\Delta Z_{298}^\circ = -2540$ кал/моль.

Ланге [168], используя данные по диссоциации Бентона и Дрейка [162] и оценочное уравнение ΔC_P , выводит уравнение для реакции $2 \text{Ag}(\text{тв}) + \frac{1}{2} \text{O}_2 = \text{Ag}_2\text{O}(\text{тв})$:

$$\Delta Z^\circ = -7380 - 2,30 T \lg T - 1,5 \cdot 10^{-3} T^2 + 22, T.$$

Приняв для теплоемкости серебра уравнение, рекомендуемое Брицке и Капустинским [86],

$$C_P = 5,73 + 1,263 \cdot 10^{-3} T + 0,06 \cdot 10^5 T^{-2},$$

для теплоемкости Ag_2O уравнение, полученное Кобаяши [165]

$$C_P = 10,02 + 2,393 \cdot 10^{-2} T - 1,33 \cdot 10^{-5} T^2 (317 - 500^\circ K)$$

и для теплоемкости O_2 уравнение, рекомендуемое Карапетьянцем [178],

$$C_P = 8,643 + 0,202 \cdot 10^{-3} T - 1,030 \cdot 10^5 T^{-2} (298 - 1500^\circ K),$$

мы получили следующее уравнение (считая $\Delta H_{298}^\circ = -7200$):

$$\begin{aligned} \Delta Z^\circ = & -6525 + 13,2687 T \lg T - 10,652 \cdot 10^{-3} T^2 + \\ & + 0,222 \cdot 10^{-5} T^3 - 0,318 \cdot 10^5 T^{-2} - 16,82 T. \end{aligned}$$

§ 36. ХЛОРИСТОЕ СЕРЕБРО AgCl

Кристаллическая структура, плотность, температура плавления

Хлористое серебро AgCl ($M = 143,337$) имеет кристаллическую структуру типа NaCl с параметром решетки $a = 5,54 \text{ \AA}$ [183]. Энергия решетки, рассчитанная Майером теоретически и из спектроскопических данных, составляет соответственно 203 ккал/моль и 205,7 ккал/моль [184]. Вилли [185] отмечает существование хлористого серебра в модификациях: B_1 (тип NaCl), B_2 (тип CsCl), B_3 (тип кубического ZnS) и B_4 (тип ZnO). Энергии решетки, рассчитанные для этих модификаций, соответственно равны 205, 199, 194 и 194 ккал/моль. При увеличении температуры направление перехода следующее: $\text{B}_2 \rightarrow \text{B}_1 \rightarrow \text{B}_4 \rightarrow \text{B}_3$. Увеличение давления дает другой ряд: B_3 или $\text{B}_4 \rightarrow \text{B}_1 \rightarrow \text{B}_2$.

По Шмарцу [186] коэффициент теплового расширения AgCl $\alpha = 32,9 \cdot 10^{-6}$ град $^{-1}$.

Таблица 255
ТЕМПЕРАТУРА ПЛАВЛЕНИЯ AgCl

Температура плавления, $^\circ\text{C}$	Год	Автор	Литературный источник
450	1882	Родвелл	[191]
452	1908	Менкемейер	[192]
455	1912	Сандоними	[193]
455	1914	Тубант, Лоренц	[194]
455	1920	Тубант, Эггерт	[195]
449	1922	Вартенберг, Боссе	[196]
455,5*	1950	Кобаяши	[197]

* Авторы справочника считают эту величину, заслуживающей наибольшего внимания.

Таблица 254
ПЛОТНОСТЬ $\text{AgCl}_{[\text{тв}]}$

Плотность g/cm^3	Год	Автор	Литературный источник
5,5170 — 5,5940	1859	Шредер	[187]
5,561 — 5,570	1859	Ричардс, Сталл	[188]
5,56	1926	Бильтц	[189]

Плотность AgCl по данным различных авторов приведена в табл. 254. Лоренц и Гохберг [190] дают уравнение:

$$d_t = 5,267 - 0,092t (628 - 783^\circ\text{C}).$$

Как видно из табл. 255 данные по температуре плавления AgCl колеблются в довольно узких пределах.

Давление насыщенного пара

Давление насыщенного пара AgCl для различных температур приведено в табл. 256.

Таблица 256
ДАВЛЕНИЕ НАСЫЩЕННЫХ ПАРОВ AgCl

t, °C	P, мм рт. ст.	Автор	Литературный источник
854,3	3,00	Майер	[198]
882	3,7	Тарасенков, Кожмяков	[199]
883	3,9	То же	[199]
933,9	12,4	Майер	[198]
942	9,4	Тарасенков, Кожмяков	[199]
962	10,6	То же	[199]
1035,6	16,7	Майер	[198]
1050	26,0	Тарасенков, Кожмяков	[199]
1056	33,1	То же	[199]
1056	10,1	Еллинек, Вебербауэр	[201]
1077,2	30,3	Майер	[198]
1108,3	40,7	Майер	[198]
1120	50,9	Тарасенков, Кожмяков	[199]
1136	52,5	Майер	[198]
1154	27,9	Еллинек, Вебербауэр	[201]
1155,9	70,7	Майер	[198]
1233	57,6	Еллинек, Вебербауэр	[201]
1268	78,8	Вартенберг, Боссе	[196]
1268	78,9	Еллинек, Вебербауэр	[201]
1308	113,4	Вартенберг, Боссе	[196]
1378	203,2	То же	[196]
1442	336,8	» »	[196]
1564	760	» »	[196]

Келли [13] для давления насыщенного пара дает следующие уравнения для твердого и жидкого AgCl:

$$\lg P_{am} = -\frac{11830}{T} - 0,30 \lg T - 1,02 \cdot 10^{-3} T + \\ + 12,39 (298 - 728^{\circ}K),$$

$$\lg P_{am} = -\frac{11320}{T} - 2,55 \lg T + 17,34 (728 - 1837^{\circ}K).$$

Теплоемкость

Истинная теплоемкость AgCl при низких температурах по данным различных авторов приведена в табл. 257.

ТЕПЛОЕМКОСТЬ AgCl

Таблица 257

Температура °C	Температура °K	Теплоемкость		Автор	Литературный источник
		удельная кал/г	мольная кал/моль		
-262,66	10,50	0,00311	0,446		
-262,43	10,73	0,00361	0,518		
-261,35	11,83	0,00450	0,646		
-261,12	12,04	0,00443	0,678		
-260,52	12,64	0,00566	0,798	Клузиус, Хартек	[202]
-259,76	13,40	0,00682	0,978		
-259,12	14,04	0,0079	1,006		
-256,48	14,68	0,00782	1,122		
-258,16	15,00	0,00782	1,122	Истмен, Мильнер	[203]
-258,06	15,10	0,00819	1,174		
-256,89	16,27	0,00970	1,390		
-256,67	16,49	0,0104	1,492	Клузиус, Хартек	[202]
-256,26	16,90	0,0104	1,488		
-255,07	18,09	0,0123	1,767	Истмен, Мильнер	[203]
-255,03	18,13	0,0118	1,698		
-254,84	18,32	0,0122	1,756		
-253,94	19,22	0,0130	1,858	Клузиус, Хартек	[202]
-253,51	19,65	0,0134	1,926		
-252,91	20,25	0,0146	2,088		
-261,09	21,07	0,0158	2,259	Истмен, Мильнер	[203]
-251,86	21,30	0,0156	2,230	Клузиус, Хартек	[202]
-250,96	22,20	0,0170	2,434		
-250,56	22,60	0,0194	2,78		
-250,46	22,70	0,0194	2,78	Нернст, Шверс	[204]
-249,56	23,60	0,0188	2,700	Клузиус, Хартек	[202]
-249,46	23,7	0,0208	2,98	Нернст	[56]
-249,16	24,00	0,0193	2,772	Клузиус, Хартек	[202]
-248,45	24,71	0,0200	2,878	Истмен, Мильнер	[203]
-247,26	25,90	0,0217	3,110		
-244,66	28,5	0,0246	3,538	Клузиус, Хартек	[202]
-241,46	31,4	0,0278	3,978	Нернст, Шверс	[204]
-240,56	32,60	0,0298	4,273	Истмен, Мильнер	[203]
-240,16	33,0	0,0334	4,790	Нернст	[56]
-235,79	37,37	0,0344	4,941	Истмен, Мильнер	[203]
-235,66	37,5	0,0348	4,990	Клузиус, Хартек	[202]
-230,12	43,04	0,0400	5,735	Истмен, Мильнер	[203]
-227,40	45,876	0,0506	7,25	Нернст	[56]
-226,86	46,3	0,0430	6,172	Клузиус, Хартек	[202]
-224,83	48,33	0,0446	6,405	Истмен, Мильнер	[203]

Продолжение табл. 257

Температура		Теплоемкость		Автор	Литературный источник
°C	°K	удельная кал/г	мольная кал/моль		
-219,51	53,65	0,0483	6,926	Истмен, Мильнер	[203]
-214,34	58,82	0,0516	7,390		
-210,74	62,42	0,0543	7,788		
-209,86	63,3	0,0559	7,982	Клузиус, Хартек	[202]
-197,99	75,17	0,0612	8,779	Истмен, Мильнер	[203]
-193,77	79,39	0,0629	9,019		
-187,70	85,46	0,0683	9,79	Нернст	[56]
-184,60	88,56	0,0618	9,501	Истмен, Мильнер	[203]
-181,7	91,46	0,0685	9,82	Нернст, Шверс	[204]
-175,87	97,29	0,0688	9,865	Истмен, Мильнер	[203]
-170,06	103,1	0,0698	10,012	Клузиус, Хартек	[202]
-167,25	105,91	0,0714	10,230	Истмен, Мильнер	[203]
-159,16	114,0	0,0718	10,296	Клузиус, Хартек	[202]
-159,00	114,16	0,0732	10,493	Истмен, Мильнер	[203]
-157,0	116,216	0,0721	10,33	Эйкен	[205]
-150,50	122,66	0,0745	10,682	Истмен, Мильнер	[203]
-147,56	125,6	0,0740	10,600	Клузиус, Хартек	[202]
-136,00	137,16	0,0756	10,83	Эвальд	[206]
-134,71	138,45	0,0766	10,988		
-132,51	140,65	0,0769	11,021		
-124,03	149,13	0,0782	11,203		
-115,26	157,90	0,0795	11,401		
-107,09	166,07	0,0806	11,548	Истмен, Мильнер	[203]
-98,88	174,28	0,0808	11,582		
-90,03	183,13	0,0812	11,640		
-81,15	191,01	0,0820	11,760		
-70,76	200,24	0,0828	11,876		
-65,50	207,66	0,0824	11,81	Эйкен	[205]
-63,36	209,80	0,0836	11,993		
-62,62	210,54	0,0839	12,030		
-52,34	220,82	0,0840	12,048	Истмен, Мильнер	[203]
-42,43	230,73	0,0842	12,083		
-38,00	235,16	0,0857	12,31	Эвальд	[206]
-32,76	240,40	0,0841	12,061		
-22,80	250,36	0,0850	12,182		
-12,62	260,54	0,0846	12,137		
-2,73	270,43	0,0840	12,050	Истмен, Мильнер	[203]
11,81	284,97	0,0846	12,135		
18,96	292,12	0,0842	12,080		
28,0	301,16	0,0875	12,29	Эвальд	[206]

Для истинной теплоемкости AgCl при более высоких температурах Келли [53], использовав данные Эрхарда [207], Гудвина и Кальмуса [208] и Магнуса [209] по средним теплоемкостям, рекомендует:

$$C_p = 9,60 + 9,29 \cdot 10^{-3}T \text{ кал/моль (273—728°K);}$$

$$C_p = 14,05 \text{ кал/моль (728—806°K).}$$

Кобаяши [197] измерял теплоемкость AgCl в интервале температур 300—773°K. Из своих данных автор дает уравнение для истинной теплоемкости AgCl:

$$C_p = 11,21 + 6,57 \cdot 10^{-3}T - 3,2 \cdot 10^{-6}T^2 \text{ (300—460°K).}$$

В табл. 258 помещены для сравнения несколько значений теплоемкостей, рассчитанных по уравнениям Келли и Кобаяши. Средняя теплоемкость AgCl по данным различных авторов приведена в табл. 259.

Таблица 258

ИСТИННАЯ ТЕПЛОЕМКОСТЬ AgCl, РАССЧИТАННАЯ ПО УРАВНЕНИЯМ КЕЛЛИ [53] И КОБАЯШИ [197]

Темпера-тура. °K	C_p , кал/моль	
	[53]	[197]
298	12,37	12,89
300	12,38	12,89
350	12,85	13,12
400	13,32	13,33
450	13,78	13,53
500	14,20	13,69

Таблица 259

СРЕДНЯЯ ТЕПЛОЕМКОСТЬ AgCl

Пределы температур °C	Теплоемкость		Автор	Литературный источник
	удельная кал/г	мольная кал/моль		
0—19	0,08775	12,66	Бренстед	[60]
0—20	0,0877	12,58	»	[60]
15—98	0,0911	14,45	Реньо	[210]
15—100	0,0907	13,01±0,06	Магнус	[209]
16—250	—	13,60±0,01	»	[209]
16—300	0,0957	13,72±0,02	»	[209]
160—380	0,0948	14,00	Эрхард	[207]
455—533	0,129	18,5	Гудвин, Кальмус	[208]

Теплоты плавления, испарения и возгонки

Келли [13] рекомендует для теплоты плавления AgCl при 728°K $L_{\text{пл}} = 3155 \text{ кал/моль}$.

Используя данные Вартенберга и Боссэ [196] для давления насыщенного пара AgCl , Келли [13] рекомендует для теплоты испарения AgCl :

$$L_{\text{исп}} = 51\,800 - 5,05T \text{ кал/моль.}$$

Отсюда при температуре кипения (1837°) $L_{\text{исп}} = 42520 \text{ кал/моль}$, а при комнатной температуре (298°) $L_{\text{исп}} = 50\,295 \text{ кал/моль}$.

Из тех же данных, а также из данных Таракенкова и Кожемякова [199] для давления насыщенного пара AgCl Россини [148] получил для теплоты испарения AgCl при температуре кипения (1837°) $L_{\text{исп}} = 43\,700 \text{ кал/моль}$.

Келли [13] рекомендует для теплоты возгонки AgCl :

$$L_{\text{возр}} = 54\,180 - 0,60T - 4,64 \cdot 10^{-3}T^2,$$

отсюда при 298°K

$$L_{\text{возр}} = 53\,589 \text{ кал/моль.}$$

Фишер [213] получил для теплоты возгонки при 1700°K $L_{\text{возр}} = 47\,000 \text{ кал/моль.}$

Энталпия, энтропия и функция Φ''

Из приведенного на стр. 205 уравнения зависимости теплопроводности AgCl от температуры по Кобаяши [197] могут быть получены следующие уравнения для энталпии, энтропии и функции Φ'' :

$$H_T^0 - H_{298}^0 = -3\,606 + 11,21T + 3,285 \cdot 10^{-3}T^2 - 1,066 \cdot 10^{-6}T^3,$$

$$S_T^0 - S_{298}^0 = -65,71 + 25,82 \lg T + 6,57 \cdot 10^{-3}T - 1,6 \cdot 10^{-6}T^2,$$

$$\Phi'' = -53,92 + 3,285 \cdot 10^{-3}T - 0,534 \cdot 10^{-6}T^2 + 25,82 \lg T + 3\,606/T.$$

Рассчитанные по этим уравнениям величины приведены в табл. 260.

Таблица 260
ЭНТАЛЬПИЯ, ЭНТРОПИЯ И ФУНКЦИЯ Φ'' ДЛЯ AgCl
(вычисленные по уравнениям)

Температура, $^\circ\text{K}$	$H_T^0 - H_{298}^0$ кал/моль	S_T		Темпера-	$H_T^0 - H_{298}^0$ кал/моль	S_T	
		кал/моль·град	Φ''			кал/моль·град	
298	0	23,00	23,00	520	2961	30,40	24,71
300	25	23,08	23,00	540	3237	30,92	24,93
320	282	23,91	23,03	560	3515	31,41	25,13
340	543	24,70	23,10	580	3793	31,91	25,37
360	806	25,45	23,21	600	4072	32,38	25,60
380	1070	26,17	23,35	620	4352	32,84	25,82
400	1336	26,83	23,49	640	4635	33,29	26,05
420	1602	27,50	23,69	660	4917	33,73	26,28
440	1872	28,13	23,88	680	5200	34,15	26,51
460	2141	28,72	24,07	700	5485	34,57	26,73
480	2412	29,30	24,28	720	5770	34,97	26,96
500	2687	29,85	24,48	728	5884	35,13	27,05

Значения стандартной энтропии AgCl , по данным различных авторов, приведены в табл. 261.

Таблица 261

ЭНТРОПИЯ AgCl , кал/моль·град

S_{298}°	Год	Автор	Литературный источник
<i>Твердое</i>			
22,5	1913	Рубенс	[214]
24,3	1932	Шибата, Такета	[215]
22,97	1933	Истмен, Мильнер	[203]
$23,00 \pm 0,1$	1935	Келли	[13]
<i>Газообразное</i>			
$58,5 \pm 0,5$	1940	Стивенсон	[216]

Келли [143] рекомендует для энтропии твердого AgCl $S_{298} = 23,00 \pm 0,1$; Брицке, Капустинский [86] $S_{298} = 23,01 \pm 1,0$; Россини [148] $S_{298} = 22,97$.

Для энтропии газообразного AgCl Келли [143] и Россини [148] рекомендуют $S_{298} = 58,5 \pm 0,5$.

Теплота, изобарный потенциал и энтропия образования AgCl

Теплота образования AgCl . По данным различных авторов теплота образования твердого и жидкого AgCl приведена в табл. 262. Для металлургических расчетов можно принимать $\Delta H_{298} = -30\ 300 \text{ кал/моль}$.

Таблица 262

ТЕПЛОТА ОБРАЗОВАНИЯ AgCl , кал

$-\Delta H_{298}$	Метод	Год	Автор	Литературный источник
$\text{Ag}(\text{тв}) + \frac{1}{2}\text{Cl}_2 = \text{AgCl}(\text{тв})$				
29000—29200	—	1897	Берто	[157]
29400	Из э. д. с.	1899	Чепинский	[217]
29380	—	1905	Томсен	[131]
29939	Из э. д. с.	1906	Бренстед	[218]
29939	Из э. д. с.	1908	Халла	[219]
29940	—	1912	Фишер	[220]
30610	Из э. д. с.	1914	Вольф	[221]
30410	—	1914	Брауне, Кореф	[222]
30320*	—	1930—1933	Ишикава, Ватанабе	[223—224]
30320—30410	—	1931	Эйкен, Клузиус, Войтинек	[68]
31200	—	1931	Рот, Рихтер	[225]
30300±40	Из э. д. с.	1932	Россини	[226]
29850	—	1932	Шибата, Такета	[215]
30320*	Калориметриче- ский	1936	Рот, Берtram	[227]
30130±50	То же	1937	Рот, Берtram	[228]
30150±50	» »	1939	Рот	[229]
$\text{Ag}(\text{тв}) + \frac{1}{2}\text{Cl}_2 = \text{AgCl}(\text{ж})$				
25980**	Из э. д. с.	1934	Зальстром	[230]
28820**	Из э. д. с.	1934	Грубе, Рау	[233]
29130**	Из э. д. с.	1936	Зальстром, Кью, Повелл	[231]
30040**	Из э. д. с.	1936	Еллинек, Ян, Хельд	[232]

* При 291° К.

** При 873° К.

Для зависимости теплоты образования AgCl от температуры Фихте [234] вывел следующие уравнения:
для реакции $\text{Ag}(\text{тв}) + \frac{1}{2}\text{Cl}_2(\text{г}) = \text{AgCl}(\text{тв})$

$$\Delta H = -30\ 590 - 0,14T + 3,76 \cdot 10^{-3}T^2;$$

для реакции $\text{Ag}(\text{тв}) + \frac{1}{2}\text{Cl}_2(\text{г}) = \text{AgCl}(\text{ж})$

$$\Delta H = -28\ 210 + 4,31T - 0,89 \cdot 10^{-3}T^2;$$

Таблица 263

ТЕПЛОТА ОБРАЗОВАНИЯ AgCl
(вычисленная по уравнению Фихте), кал

$T, \text{°К}$	$-\Delta H$	$\text{Ag}(\text{тв}) + \frac{1}{2}\text{Cl}_2 = \text{AgCl}(\text{тв})$	$T, \text{°К}$	$-\Delta H$	$\text{Ag}(\text{ж}) + \frac{1}{2}\text{Cl}_2 = \text{AgCl}(\text{ж})$	$T, \text{°К}$	$-\Delta H$
298	30300	728	25545	7123	26943	1837	16352
300	30294	750	25478	1250	26920	1850	16302
350	30179	800	25332	1300	26853	1900	16109
400	30044	850	25189	1350	26767	1950	15915
450	29842	900	25052	1400	26720	2000	15720
500	29720	950	24919	1450	26654		
550	29530	1000	24890	1500	26590		
600	29320	1050	24665	1550	26526		
650	29093	1100	24446	1600	26462		
700	28846	1150	24311	1650	26399		
728	28700	1200	24320	1700	26337		
		1234	24247	1750	26276		
				1800	26216		
				1837	26171		

для реакции $\text{Ag}(\text{ж}) + \frac{1}{2}\text{Cl}_2(\text{г}) = \text{AgCl}(\text{ж})$

$$\Delta H = -28840 + 1,71T - 0,14 \cdot 10^{-3}T^2;$$

для реакции $\text{Ag}(\text{ж}) + \frac{1}{2}\text{Cl}_2(\text{г}) = \text{AgCl}(\text{г})$

$$\Delta H = 22960 - 3,34T - 0,14 \cdot 10^{-3}T^2.$$

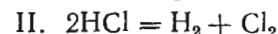
В табл. 263 приведены значения теплоты образования AgCl , вычисленные по этим уравнениям.

Давление диссоциации AgCl

Косвенное вычисление давления диссоциации AgCl в пределах от 651 до 983°К возможно с помощью данных Еллинека и Улата [235] и Ишикавы и Ватанабе [224] для реакции $2\text{AgCl} + \text{H}_2 = 2\text{Ag} + 2\text{HCl}$. Сопоставляем уравнения для констант равновесия двух реакций:



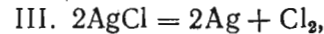
$$K_p^{\text{I}} = \frac{p_{\text{HCl}}^2}{p_{\text{H}_2}};$$



$$K_p^{\text{II}} = \frac{p_{\text{H}_2} \cdot p_{\text{Cl}_2}}{p_{\text{HCl}}^2};$$

$$\lg K_p^{\text{II}} = -\frac{9536,7}{T} + 0,756 \lg T - 3,496 \cdot 10^{-6} T - 3,2167 \quad [234].$$

Для диссоциации AgCl имеем:



$$K_p^{\text{III}} = p_{\text{Cl}_2} = K_p^{\text{I}} \cdot K_p^{\text{II}},$$

откуда

$$\lg K_p^{\text{III}} = \lg K_p^{\text{I}} + \lg K_p^{\text{II}}.$$

В табл. 264 приведены значения $\lg K_p^{\text{III}}$ и p_{Cl_2} , рассчитанные по последнему уравнению с использованием данных Еллинека и Улата [235] и Ишикавы и Ватанабе [224]. В последних двух столбцах этой таблицы даны значения $\lg K_p^{\text{III}}$ и p_{Cl_2} , рассчитанные из уравнений, предложенных Фихте [234] для изобарного потенциала образования AgCl (см. ниже) по реакциям $\text{Ag}(\text{тв}) + \frac{1}{2}\text{Cl}_2(\text{г}) = \text{AgCl}$ и $\text{Ag}(\text{тв}) + \frac{1}{2}\text{Cl}_2(\text{г}) = \text{AgCl}(\text{ж})$.

Таблица 264
ДАВЛЕНИЕ ДИССОЦИАЦИИ AgCl

T, °К	Из данных [235]		Из данных [224]		Из ΔZ° образования AgCl	
	$\lg K_p^{\text{III}}$	$p_{\text{Cl}_2} \cdot \text{ам}$	$\lg K_p^{\text{III}}$	$p_{\text{Cl}_2} \cdot \text{ам}$	$\lg K_p^{\text{III}}$	$p_{\text{Cl}_2} \cdot \text{ам}$
651	—	—	-14,6660	0,04216	-14,6356	0,04231
671	—	—	-14,2045	0,04624	-14,0550	0,04881
690	—	—	-13,6604	0,04218	-13,5388	0,04289
729	—	—	-12,6194	0,04240	-12,5647	0,04272
770	—	—	-11,8421	0,04144	-11,7522	0,04181
813	-11,0570	0,04877	—	—	-10,9916	0,04102
829	—	—	-10,8191	0,04052	-10,7289	0,04186
882	—	—	-10,0198	0,040795	-9,9322	0,04117
911	—	—	-9,6568	0,0420	-9,5364	0,04291
913	-9,4714	0,0438	—	—	-9,5108	0,04308
915	—	—	-9,5745	0,04266	-9,4842	0,04328
983	—	—	-8,7386	0,04182	-8,6616	0,04218
1000	—	—	—	—	-8,4746	0,04335
1050	—	—	—	—	-7,9600	0,04110
1100	—	—	—	—	-7,4944	0,04320
1150	—	—	—	—	-7,0716	0,04848
1200	—	—	—	—	-6,6856	0,04260
1234	—	—	—	—	-6,4422	0,04361

Изобарный потенциал образования AgCl . Данные различных авторов приведены в табл. 265.

Таблица 265
ИЗОБАРНЫЙ ПОТЕНЦИАЛ ОБРАЗОВАНИЯ AgCl , кал/моль

ΔZ_{298}	Метод	Год	Автор	Литературный источник
26211 ± 9	Из э. д. с.	1930	России	[226]
26190	То же	1932	Шибата, Такета	[215]
26170	Из данных по растворимости	1932	»	[215]
26220 ± 5	—	1932	Рендалл, Хальфорд	[176]
26205	Рассчитано из нормальных потенциалов	1953	Фихте	[234]
26205	Рассчитано из э. д. с.	1953	Фихте	[234]

Фихте [234] выводит для изобарного потенциала образования AgCl по реакции $\text{Ag}(\text{тв}) + \frac{1}{2}\text{Cl}_2 = \text{AgCl}(\text{тв})$:

$$\Delta Z^\circ = -30\,590 + 0,32 T \lg T - 3,76 \cdot 10^{-3} T^2 + 15,04T; \quad (1)$$

по реакции $\text{Ag}(\text{тв}) + \frac{1}{2}\text{Cl}_2 = \text{AgCl}(\text{ж})$:

$$\Delta Z^\circ = 28\,210 - 9,93 T \lg T + 0,89 \cdot 10^{-3} T^2 + 37,72T; \quad (2)$$

по реакции $\text{Ag}(\text{ж}) + \frac{1}{2}\text{Cl}_2 = \text{AgCl}(\text{ж})$:

$$\Delta Z^\circ = -28\,840 - 3,94 T \lg T + 0,14 \cdot 10^{-3} T^2 + 14,66T; \quad (3)$$

по реакции $\text{Ag}(\text{ж}) + \frac{1}{2}\text{Cl}_2 = \text{AgCl}(\text{г})$:

$$\Delta Z^\circ = +22\,960 + 7,69 T \lg T + 0,14 \cdot 10^{-3} T^2 - 51,50T. \quad (4)$$

В табл. 266 приведены значения изобарного потенциала образования AgCl , рассчитанные по этим уравнениям.

Таблица 266

ИЗМЕНЕНИЕ ИЗОБАРНОГО ПОТЕНЦИАЛА ДЛЯ РЕАКЦИЙ ОБРАЗОВАНИЯ
(по уравнениям Фихте [234])

$T, ^\circ\text{K}$	$-\Delta Z^\circ$ по уравнению (1)	$T, ^\circ\text{K}$	$-\Delta Z^\circ$ по уравнению (2)	$T, ^\circ\text{K}$	$-\Delta Z^\circ$ по уравнению (3)	$T, ^\circ\text{K}$	$-\Delta Z^\circ$ по уравнению (4)
298	26205	728	20968	1234	25564	1837	25064
300	26178	750	20832	1250	25549	1850	25355
350	25501	800	20528	1300	25495	1900	26479
400	24843	850	20231	1350	25444	1950	27598
450	24201	900	19943	1400	25394	2000	28710
500	23628	950	19653	1450	25350		
550	22973	1000	19390	1500	25305		
600	22387	1050	19123	1550	25264		
650	21816	1110	18862	1600	25222		
700	21267	1150	18607	1650	25184		
728	20966	1200	18356	1700	25152		
		1234	18189	1750	25117		
				1800	25086		
				1837	25062		

Энтропия образования AgCl . Принимая для твердого серебра $S_{298}=10,20 \pm 0,05$, для твердого хлористого серебра $S_{298}=23,0 \pm 0,1$ и для газообразного хлорида $S_{298}=26,655 \pm 0,005$, получаем для реакции $\text{Ag}(\text{тв}) + \frac{1}{2}\text{Cl}_2(\text{г}) = \text{AgCl}(\text{тв})$ $\Delta S_{298}=-13,86 \pm 0,16$.

Принимая для этой реакции $\Delta Z_{298}=-26205 \text{ кал/моль}$, $\Delta H_{298}=-30\,300 \text{ кал/моль}$, получаем $\Delta S_{298}=-13,73 \text{ кал/моль}\cdot\text{град}$.

§ 37. СЕРНОКИСЛОЕ СЕРЕБРО Ag_2SO_4

Кристаллическая структура, плотность, температура плавления

При комнатной температуре Ag_2SO_4 ($M=311,826$), имеет ромбическую решетку с параметрами (aX): $a=5,82$, $b=12,65$; $c=10,25$ [183]. Существует также высокотемпературная модификация Ag_2SO_4 . Температура превращения по данным различных авторов приведена в табл. 267.

Таблица 267

ТЕМПЕРАТУРА ПРЕВРАЩЕНИЯ Ag_2SO_4

Температура превращения, $^\circ\text{C}$	Год	Автор	Литературный источник
412	1907	Накен	[245]
410	1912	Фридрих	[246]
417	1912	Гофман, Ванюков	[247]
435	1955	Юхансон	[248]

Плотность Ag_2SO_4 при комнатной температуре может быть принята равной $5,46 \text{ г}/\text{см}^3$ [239].

По данным Хюльсмана и Бильтца [241] коэффициент объемного расширения Ag_2SO_4 для интервала температур $(-195) - (78)^\circ\text{C}$ равен $2,5 \cdot 10^{-5}$, а для интервала $(-78) - (15)^\circ\text{C}$ он равен $6,0 \cdot 10^{-5}$.

Данные ряда авторов [242—247, 255], определявших температуру плавления Ag_2SO_4 , колеблются в пределах $651 - 676^\circ\text{C}$. Для metallургических расчетов температуру плавления Ag_2SO_4 следует принимать равной 660°C .

Теплота и энтропия плавления и превращения

Теплота плавления Ag_2SO_4 по Келли [122] составляет 4280 кал/моль , а по Россини [148] 4000 кал/моль . Отсюда и энтропия плавления соответственно равна $4280 : 933 = 4,6 \text{ э. е.}$ и $4000 : 933 = 4,3 \text{ э. е.}$

Для теплоты превращения Ag_2SO_4 рекомендуется величина 1900 кал/моль [53, 148].

Теплоемкость

Данные по истинной теплоемкости Ag_2SO_4 при низких температурах, полученные Латимером, Хиксом и Шутцем [249], приведены в табл. 268.

ИСТИННАЯ ТЕПЛОЕМКОСТЬ Ag_2SO_4
[249]

Температура °C	Температура °K	C_P кал/моль·град.	Температура		C_P кал/моль·град.	Температура		C_P кал/моль·град.
			°C	°K		°C	°K	
-258,56	14,60	2,12	-194,42	78,74	17,43	-112,27	160,89	24,49
-256,98	16,18	2,22	-190,27	82,89	17,96	-106,90	166,26	24,81
-254,55	18,61	3,44	-185,98	87,18	18,45	-101,44	171,72	25,18
-251,40	21,76	4,64	-181,72	91,44	18,92	-95,21	177,95	25,77
-247,84	25,32	5,73	-177,20	95,96	19,38	-88,71	184,45	26,01
-244,70	28,46	6,61	-172,27	100,89	19,92	-81,84	191,52	26,41
-240,85	32,31	7,76	-167,39	105,77	20,33	-74,20	198,96	26,84
-236,39	36,77	9,15	-162,87	110,29	20,83	-66,54	206,62	27,34
-232,26	40,90	10,42	-158,19	114,97	21,06	-59,35	213,81	27,57
-228,38	44,78	11,49	-153,36	119,80	21,52	-52,22	220,94	27,88
-224,05	49,11	12,52	-148,78	124,38	21,87	-44,14	229,02	28,23
-219,54	53,62	13,28	-144,78	128,87	22,19	-36,28	236,88	28,52
-215,75	57,41	13,94	-139,82	133,34	22,43	-27,72	245,44	28,81
-211,70	61,46	14,69	-135,08	138,08	22,84	-18,10	255,06	29,35
-207,29	65,87	15,17	-130,37	142,79	23,18	-7,75	265,41	29,89
-203,13	70,03	16,20	-125,82	147,34	23,61	+2,61	275,77	30,43
-199,32	73,84	16,83	-121,42	151,74	23,80	12,08	285,24	30,80
-197,66	75,50	16,98	-117,01	156,15	24,17	23,01	296,20	31,36

Келли [112] дает оценочные уравнения температурной зависимости истинной теплоемкости для твердого Ag_2SO_4 :

$$C_P = 23,1 + 27,9 \cdot 10^{-3}T \quad (3\%; 298^{\circ}\text{K} - T_{\text{пл}})$$

и для жидкого Ag_2SO_4 :

$$C_P = 49 \quad (7\%; T_{\text{пл}} \text{ и выше}).$$

Энтальпия, энтропия и функция Φ''

Используя предложенное Келли [112] уравнение температурной зависимости теплоемкости, авторы настоящего справочника получили следующее уравнение для энталпии Ag_2SO_4 :

$$H_T - H_{298} = -8127,6 + 23,1T + 13,98 \cdot 10^{-3}T^2.$$

Латимер, Хикс и Шутц [249] из своих данных по низкотемпературной теплоемкости методом графического интегрирования зависимости $C_P = f(\lg T)$ нашли, что энтропия Ag_2SO_4 в интервале температур 14—298° К составляет 47,134 э. е., а в интервале 0—14° К (экстраполяцией) 0,624 э. е. Таким образом, стандартная энтропия Ag_2SO_4 , $S_{298}^0 = 47,76 \pm 0,05$ э. е.

Таблица 268

Для температурной зависимости энтропии Ag_2SO_4 и функции Φ'' нами выведены следующие уравнения с использованием температурной зависимости теплоемкости, предложенной Келли [112] и значения $S_{298} = 47,76$, найденного Латимером, Хиксом и Шутцем [249]:

$$S_T = S_{298} + \int_{298}^T C_P d \ln T = -92,20 + 27,9 \cdot 10^{-3}T +$$

$$+ 53,29 \lg T;$$

$$\Phi'' = S_T - \frac{\int_{298}^T C_P dT}{T} = -115,3 + 13,95 \cdot 10^{-3}T +$$

$$+ 53,29 \lg T + \frac{8127,6}{T}.$$

Рассчитанные по приведенным уравнениям значения энталпии, энтропии и функции Φ'' для ряда температур (в интервале, который рекомендует Келли для уравнения теплоемкости Ag_2SO_4) приведены в табл. 269.

Таблица 269
ЕНТАЛЬПИЯ, ЭНТРОПИЯ И ФУНКЦИЯ Φ'' ДЛЯ Ag_2SO_4

Темпера- тура °K	$H_T - H_{298}$ кал/моль	S_T^0 кал./моль·град.	Φ''	Темпера- тура °K	$H_T - H_{298}$ кал/моль	S_T^0 кал./моль·град.	Φ''
298	0	47,76	47,76	650	12786	75,55	56,17
350	1659	52,89	48,37	700	14882	78,66	57,69
400	3344	56,37	49,26	750	16048	81,65	59,21
450	5089	61,48	50,42	800	19288	84,53	60,72
500	6910	65,31	51,86	850	21539	87,33	62,23
550	8795	68,91	53,19	900	23967	90,04	63,71
600	10752	72,25	54,67	930	25426	91,64	64,60

Теплота и изобарный потенциал образования Ag_2SO_4

Теплота образования Ag_2SO_4 . По данным различных авторов теплота образования Ag_2SO_4 приведена в табл. 270.

Келли [112], обработав данные различных авторов [251, 255—257], получил значения стандартной теплоты образования Ag_2SO_4 в пределах 170 040—176 000 кал/моль. На основе этих данных Келли рекомендует для Ag_2SO_4 $\Delta H_{298} = -170110$ кал/моль.

Таблица 270
ТЕПЛОТА ОБРАЗОВАНИЯ Ag_2SO_4

$-\Delta H_{298}^0$ кал/моль	Температура °C	Год	Автор	Литературный источник
167280	Комнатная	1905	Томсен	[131]
170500	25,0	1933	Ишикава	[250]
169260	25,0	1935	Ишикава, Хагизава	[251]
170500	25,0	1954	Жук	[252]

Использовав это значение стандартной теплоты образования и вышеприведенное уравнение для температурной зависимости теплоемкости Ag_2SO_4 , Келли [112] дает:

$$\Delta H = -167210 - 8,22T + 9,07 \cdot 10^{-3}T^2 - 3,754 \cdot 10^5 T^{-1}.$$

Последнее уравнение нельзя считать точным, так как использованное для его вывода уравнение температурной зависимости теплоемкости является оценочным.

Изобарный потенциал образования Ag_2SO_4 . Стандартную свободную энергию Ag_2SO_4 Ишикава [250] нашел равной 145 950 кал/моль (методом э. д. с.), а Жук [252] — 147 200 кал/моль (из данных по растворимости).

Келли в критическом обзоре [112], по опытным данным различных авторов [251, 255—257], вычислил стандартные изобарные потенциалы образования Ag_2SO_4 в пределах 146 730—152 690 кал/моль. На основе этих данных Келли рекомендует для $\text{Ag}_2\text{SO}_4 \Delta Z^\circ_{298} = -146800$ кал/моль.

Использовав это значение стандартного изобарного потенциала образования и вышеприведенные уравнения температурной зависимости теплоемкости, Келли дает:

$$\Delta Z_T^\circ = -167210 + 18,97T \lg T - 9,07 \cdot 10^{-3}T^2 - 1,877 \cdot 10^5 T^{-1} + 26,44T.$$

Вследствие оценочного характера уравнений теплоемкости, последнее уравнение также нельзя считать точным.

Энтропия образования Ag_2SO_4 .

Из цифр, рекомендуемых Келли для ΔZ°_{298} и ΔH_{298} , получаем:

$$\Delta S_{298}^\circ = -\frac{146800 - 170110}{298,16} = 78,179 \text{ кал/моль·град.}$$

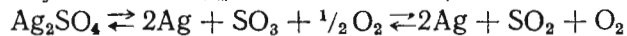
Давление диссоциации

Данные различных авторов, определявших давление диссоциации Ag_2SO_4 , приведены в табл. 271.

Таблица 271
ДАВЛЕНИЕ ДИССОЦИАЦИИ Ag_2SO_4

Темпера- тура °C	Давление диссоциации		Год	Автор	Литератур- ный источник
	мм рт. ст.	ам			
920	20		1924	Бутон, Риддель,	[200]
1022	200			Дюшак	
1095	760	1	1903	Бредфорд	[253]
1085	760	1	1910	Фридрих	[254]

Маршалл [255], изучая давление диссоциации Ag_2SO_4 , изменила не только общее давление, но и парциальные давления газов, участвующих в следующем сложном равновесии:



Экспериментальные данные Маршалл приведены в табл. 272.

Таблица 272

ДАВЛЕНИЕ ДИССОЦИАЦИИ Ag_2SO_4 [255]

Темпера- тура °C	Давление, мм рт. ст.				Темпера- тура °C	Давление, мм рт. ст.			
	$P_{\text{общ}}$	P_{SO_3}	P_{SO_2}	P_{O_2}		$P_{\text{общ}}$	P_{SO_3}	P_{SO_2}	P_{O_2}
820	14,6	0,5	6,9	7,2	1070	490,0	13,9	234,5	241,5
850	25,0	0,8	11,9	12,2	1080	533,0	14,8	255,3	262,6
880	38,0	1,2	18,1	18,7	1090	612,0	17,2	293,0	301,7
900	51,0	1,5	24,3	25,1	1100	708,4	20,2	338,9	349,1
920	68,0	2,0	32,4	33,5	1120	913,7	26,4	437,0	450,2
940	94,0	2,8	44,8	46,2	1130	1040,0	30,3	497,2	512,4
960	120,0	3,6	57,4	59,0	1135	1080,0	31,2	516,5	532,1
970	135,0	3,9	64,5	66,5	1150	1249	35,7	597,6	615,5
990	175,0	5,0	83,7	86,2	1160	1350	37,9	646,5	665,5
1000	203,0	5,8	97,1	100,0	1180	1590	43,9	762,0	784,0
1020	252,0	7,0	120,6	124,2	1190	1749	47,7	836,6	860,5
1030	284,0	8,1	138,4	142,4	1205	2011	54,5	964,6	991,8
1050	342,0	10,7	180,4	185,8	1220	2241	59,5	1075,4	1105,6
1060	426,0	12,0	204,0	210,0					

Использовав свои оценочные уравнения температурной зависимости теплоемкости и данные Маршалл по диссоциации Ag_2SO_4 , Келли получил для реакции $\text{Ag}_2\text{SO}_4(\text{ж}) = 2\text{Ag}(\text{тв}) + \text{SO}_2 + \text{O}_2$

$$\Delta C_p = -18,13 + 4,67 \cdot 10^{-3}T - 3,922 \cdot 10^5 \cdot T^{-2};$$

$$\Delta H = 110\,200 - 18,13T + 2,34 \cdot 10^{-3}T^2 + 3,922 \cdot 10^5 T^{-1};$$

$$\Delta Z^\circ = 110\,200 + 41,75T \lg T - 2,34 \cdot 10^{-3}T^2 + 1,965 \cdot 10^5 T^{-1} - 206,00T.$$

Погрешность в последних двух уравнениях Келли оценивает величиной $\pm 11\,000$ кал.

Для реакции $\text{Ag}_2\text{SO}_4(\text{тв}) = 2\text{Ag}(\text{тв}) + \text{SO}_2 + \text{O}_2$:

$$\Delta C_p = 7,77 - 23,23 \cdot 10^{-3}T - 3,922 \cdot 10^5 T^{-2};$$

$$\Delta H = 102\,460 + 7,77 \cdot T - 11,62 \cdot 10^{-3}T^2 + 3,922 \cdot 10^5 T^{-1};$$

$$\Delta Z^\circ = 102\,460 - 17,89T \lg T + 11,62 \cdot 10^{-3}T^2 + 1,961 \cdot 10^5 T^{-1} - 33,60T;$$

$$\Delta H_{298} = 105\,060; \quad \Delta Z_{298}^\circ = 80\,940.$$

§ 38. УГЛЕКИСЛОЕ СЕРЕБРО Ag_2CO_3

Плотность

Карстен [154] нашел плотность Ag_2CO_3 ($M = 275,77$) при 20°C равной $6,077$ г/см 3 . Эту величину рекомендует справочник химика [259].

Теплоемкость

Истинная теплоемкость Ag_2CO_3 приведена в табл. 273.

Таблица 273

ИСТИННАЯ ТЕПЛОЕМКОСТЬ Ag_2CO_3 ПО ДАННЫМ АНДЕРСОНА [260] ($53,51$ — $290,4^\circ\text{K}$) и КОБАЯШИ [261] ($298,1$ — 500°K)

Температура, $^\circ\text{K}$	Теплоемкость		Температура, $^\circ\text{K}$	Теплоемкость		Температура, $^\circ\text{K}$	Теплоемкость	
	удельная кал./г	мольная кал./моль		удельная кал./г	мольная кал./моль		удельная кал./г	мольная кал./моль
53,51	0,04010	11,06	173,9	0,07988	22,03	340	0,1006	27,76
54,46	0,04025	11,10	204,2	0,08482	23,39	360	0,1025	28,28
71,57	0,04972	13,71	237,4	0,08938	24,65	380	0,1044	28,79
84,25	0,05534	15,26	272,9	0,09486	26,16	400	0,1062	29,31
93,53	0,05903	16,28	283,7	0,09609	26,50	420	0,1082	29,83
93,57	0,05903	16,28	290,4	0,09652	26,62	440	0,1100	30,34
112,0	0,06570	18,12	298,1	0,09674	26,68	460	0,1119	30,86
113,7	0,06618	18,25	300	0,09692	26,73	480	0,1138	31,38
145,2	0,07440	20,52	320	0,09878	27,24	500	0,1156	31,90

Зависимость теплоемкости Ag_2CO_3 от температуры Кобаяши [261] выражает уравнением:

$$\Delta C_p = 18,97 + 2,585 \cdot 10^{-2}T \text{ кал/моль} (300 - 430^\circ\text{K}).$$

Энтальпия, энтропия и функции Φ' и Φ''

Энтальпия. Из данных Кобаяши [261] по теплоемкости Ag_2CO_3 может быть получено:

$$H_T^\circ - H_{298}^\circ = 18,97T + 1,2925 \cdot 10^{-2}T^2 - 6\,805.$$

В табл. 274 приведены значения $H_T^\circ - H_{298}^\circ$, рассчитанные по этому уравнению, и значения $H_T^\circ - H_0^\circ$ по Кобаяши [261].

Таблица 274

ЭНТАЛЬПИЯ Ag_2CO_3 , кал/моль

Температура, $^\circ\text{K}$	$H_T^\circ - H_{298}^\circ$	$H_T^\circ - H_0^\circ$	Температура, $^\circ\text{K}$	$H_T^\circ - H_{298}^\circ$	$H_T^\circ - H_0^\circ$
298	0	5423	400	2852	8275
300	50	5473	420	3443	8866
320	590	6013	440	4045	9468
340	1140	6563	460	4657	10080
360	1700	7123	480	5280	10703
380	2271	7694	500	5912	11335

Энтропия. Андерсон [260] из низкотемпературных теплоемкостей углекислого серебра получил для энтропии $\text{Ag}_2\text{CO}_3 S_{298}^\circ = 40,0 \pm 0,9$ э. е.

Таблица 275

ЭНТРОПИЯ И ФУНКЦИИ Φ' И Φ'' ДЛЯ Ag_2CO_3 , кал/моль-град

$T, ^\circ\text{K}$	S_T^0	Φ''	Φ'	$T, ^\circ\text{K}$	S_T^0	Φ''	Φ'
298	40,01	40,00	21,82	400	48,22	41,09	27,53
300	40,18	40,02	21,94	420	49,66	41,46	28,55
320	41,92	40,08	23,13	440	51,06	41,86	29,55
340	43,59	40,23	24,28	460	52,42	42,30	30,51
360	45,19	40,47	25,40	480	53,75	42,75	31,45
380	46,73	40,75	26,48	500	55,04	43,22	32,34

В табл. 275 приведены значения энтропии при различных температурах и функций Φ' по Кобаяши [261]. В этой же таблице даны значения функций Φ'' , рассчитанные нами по формуле

$$\Phi'' = \frac{H_T^* - H_{298}^*}{T} + S_T.$$

Теплота образования и давление диссоциации

Теплота образования Ag_2CO_3 . Данные различных авторов приведены в табл. 276.

Таблица 276

ТЕПЛОТА ОБРАЗОВАНИЯ Ag_2CO_3 , кал

$-\Delta H_{298}$	Метод	Год	Автор	Литературный источник
$2\text{Ag} + \text{C} (\text{Графит}) + \frac{3}{2}\text{O}_2 = \text{Ag}_2\text{CO}_3$ (крист.)				
122 920	—	1883	Томсен	[131]
120 900	Калометрически	1897	Бертло	[157]
119 900	Из давления диссоциации	1926	Центнершвер, Крустинсон	[262]
119 400	То же	1931	Ватанабе	[263]
118 700	• •	1934	Дрейк, Бентон	[264]
$\text{Ag}_2\text{O} (\text{тв}) + \text{CO}_2 = \text{Ag}_2\text{CO}_3 (\text{тв})$				
20 060	—	1883	Томсен	[131]
18 600	—	1897	Бертло	[157]
16 450	Из давления диссоциации	1901	Кольсон	[265]
17 510	То же	1926	Центнершвер, Крустинсон	[262]
17 340 (135°C)	• •	1934	Дрейк, Бентон	[264]
19 440	• •	1952	Кобаяши	[261]

Используя уравнения для теплоемкостей Ag (стр. 182), C; O_2 (т. 1, стр. 119) и Ag_2CO_3 (стр. 219), для реакции $2\text{Ag} (\text{тв}) + \text{C} (\text{графит}) + \frac{3}{2}\text{O}_2 = \text{Ag}_2\text{CO}_3$, получаем

$$\Delta H_T^* = \Delta H^* - 7,565T + 10,157 \cdot 10^{-3}T^2 - \frac{387000}{T}.$$

Используя рекомендуемую Россини [148] $\Delta H_{298}^* = -120970$ кал/моль получаем:

$$\Delta H_T^* = -118327 - 7,565T + 10,157 \cdot 10^{-3}T^2 - \frac{387000}{T}.$$

В табл. 277 приведены значения теплоты образования, рассчитанные по этому уравнению.

Используя уравнения теплоемкости для Ag_2O (стр. 195), CO_2 том I, стр. 119) и Ag_2CO_3 (стр. 219), для реакции $\text{Ag}_2\text{O} (\text{тв}) + \text{CO}_2 (\text{г}) = \text{Ag}_2\text{CO}_3 (\text{тв})$ получаем:

$$\begin{aligned} \Delta H_T^* &= \Delta H_0^* - 1,39T - 0,41 \cdot \\ &\quad \cdot 10^{-3}T^2 + 0,443 \cdot 10^{-5}T^3 - \\ &\quad - 2,30 \cdot 10^5 T^{-1}. \end{aligned}$$

Отсюда из данных Дрейка и Бентона [264] $\Delta H_0^* = -16406$ и из данных Кобаяши [261] $\Delta H_0^* = -18336$.

Давление диссоциации Ag_2CO_3 . В табл. 278 представлены данные различных авторов по диссоциации Ag_2CO_3 .

Таблица 278

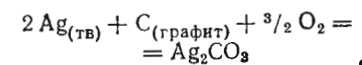
ДАВЛЕНИЕ ДИССОЦИАЦИИ Ag_2CO_3

$$\text{Ag}_2\text{CO}_3 (\text{тв}) = \text{Ag}_2\text{O} (\text{тв}) + \text{CO}_2 (\text{г})$$

$t, ^\circ\text{C}$	P мм рт. ст.	Год	Автор	Литературный источник
132	6			
167	99			
182	173	1901	Кольсон	[265]
210	547			
218	752			
132	21,0			
167	112,5			
182	183,2	1926	Центнершвер, Бруцс	[268, 269]
210	559,4			
218	763,0			
219	760,0			
120,1	9,0			
150,1	46,0			
170,8	126,5	1930—1933	Ватанабе	[111, 263]
191,6	303,5			
201,3	454,0			
111	6			
118	9			
132	20	1934	Дрейк, Бентон	[264]
139	29			
159	17			

Таблица 277

ТЕПЛОТА ОБРАЗОВАНИЯ Ag_2CO_3 ПО РЕАКЦИИ



Зависимость давления диссоциации Ag_2CO_3 от температуры Центнершвер и Крустинсон [262] выражают уравнением

Таблица 279
давление диссоциации
 Ag_2CO_3
(расчитано по уравнениям)

Темпера- тура °C	Давление диссоциации, мм рт. ст.		
	по урав- нению (1)	по урав- нению (2)	по урав- нению (3)
120	7,6	9,5	10,3
130	10,9	16,6	18,0
140	24,4	28,2	30,6
150	42,2	46,9	50,5
160	71,1	76,2	81,6
170	117,1	121,0	129,0
180	189,0	188,3	199,8
190	238,9	287,4	303,7
200	463,6	431,1	453,6
210	707,9	635,7	666,4
220	1002	922,6	963,6

Ватанабе [111] получил для давления диссоциации Ag_2CO_3

$$\lg P_{am} = -\frac{3855,9}{T} + 7,9040 (393 - 493^{\circ}\text{K}). \quad (2)$$

Нами из данных Дрейка и Бентона [264] было получено уравнение

$$\lg P_{am} = -\frac{3817,7}{T} + 7,8444 (384 - 432^{\circ}\text{K}). \quad (3)$$

В табл. 279 приведены давления диссоциации Ag_2CO_3 , рассчитанные по уравнениям (1—3).

Изобарный потенциал и энтропия образования Ag_2CO_3

Изобарный потенциал образования Ag_2CO_3 . Из теплоемкостей Ag_2O , CO_2 и Ag_2CO_3 для реакции $\text{Ag}_2\text{O} \text{ (тв)} + \text{CO}_2 = \text{Ag}_2\text{CO}_3 \text{ (тв)}$ получаем

$$\Delta Z^\circ = \Delta H_0 - 4,836 T \lg T + 4,757 \cdot 10^{-3} T^2 - 0,222 \cdot 10^{-5} T^3 + iT.$$

Отсюда обычным методом и из данных Дрейка и Бентона [264] по диссоциации Ag_2CO_3 получаем

$$\Delta Z^\circ = -17834 - 4,836 T \lg T + 4,757 \cdot 10^{-3} T^2 - 0,222 \cdot 10^{-5} T^3 + 47,80T,$$

$$\Delta Z^\circ_{298} = -6786 \text{ кал/моль.}$$

Для этой же реакции Кобаяши [261] получил $\Delta Z^\circ_{298} = -7470 \text{ кал/моль.}$

Изобарный потенциал образования Ag_2CO_3 из элементов по реакции $2\text{Ag} \text{ (тв)} + \text{C} \text{ (графит)} + \frac{3}{2}\text{O}_2 = \text{Ag}_2\text{CO}_3 \text{ (тв)}$ может быть рассчитана из ΔZ°_{298} для предыдущей реакции и реакций:

$2\text{Ag} \text{ (тв)} + \frac{1}{2}\text{O}_2 = \text{Ag}_2\text{O} \quad (\Delta Z^\circ_{298} = -2540 \text{ кал/моль, см. стр. 200}), \text{ C (графит)} + \text{O}_2 \text{ (г) = CO}_2 \text{ (г) } (\Delta Z^\circ_{298} = -94230 \text{ кал/моль, см. т. I, стр. 121}).$ Тогда из данных Ватанабе [263] получаем $\Delta Z^\circ_{298} = -103750 \text{ кал/моль.}$

Из данных Дрейка и Бентона [264] $\Delta Z^\circ_{298} = -103550 \text{ кал/моль.}$ Используя значение $\Delta Z^\circ_{298} = -7470 \text{ кал/моль, данное Кобаяши [261]},$ получаем $\Delta Z^\circ_{298} = -104510 \text{ кал/моль.}$

Из теплоемкостей серебра, графита, кислорода и углекислого серебра (стр. 219) и теплоты образования $\text{Ag}_2\text{CO}_3 \Delta H^\circ_{298} = -120970 \text{ кал/моль, рекомендованной Россины [148] для рассматриваемой реакции, получаем}$

$$\Delta Z^\circ = -118327 + 17,332 T \lg T - 10,157 \cdot 10^{-3} T^2 - 1,935 \cdot 10^5 T^{-1} + iT.$$

Используя значение изобарного потенциала образования $\text{Ag}_2\text{CO}_3 \Delta Z^\circ_{298} = -104480 \text{ кал/моль по Россины [148]},$ находим постоянную интегрирования $I = 8,76,$ и окончательно:

$$\Delta Z^\circ = -118327 + 17,332 T \lg T - 10,157 \cdot 10^{-3} T^2 - 1,935 \cdot 10^5 T^{-1} + 8,76T.$$

Ниже приведены значения изобарного потенциала образования, вычисленные по этому уравнению:

Температура, °C . .	25	120	160	200
$\Delta Z^\circ, \text{ кал/моль . .}$	-104480	-99265	-97101	-95029

Энтропия образования $\text{Ag}_2\text{CO}_3.$ Из энтропий серебра $S^\circ_{298} = 10,20 \pm 0,05$ [147], графита $S^\circ_{298} = 1,375 \pm 0,05$ (т. I, стр. 96), кислорода $S^\circ_{298} = 49,02 \pm 0,01$ (т. I, стр. 119) и углекислого серебра $S^\circ_{298} = 40,0 \pm 0,9$ [260] находим: $\Delta S^\circ_{298} = -55,3 \pm 1,01.$

Глава VII

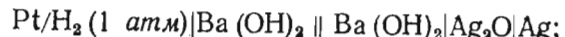
ТЕРМОДИНАМИКА СЕРЕБРА. РЕАКЦИИ ПРЯМОГО ВОССТАНОВЛЕНИЯ, ОКИСЛЕНИЯ И ХЛОРИРОВАНИЯ

§ 39. РЕАКЦИИ С ОКИСЛОМ СЕРЕБРА

Восстановление Ag_2O водородом

Реакция начинается уже при 40°C [270], при 63°C окись серебра восстанавливается до металла [271].

Маколкин [164] изучал зависимость э. д. с. от температуры в элементе:



токообразующей реакцией в этом элементе является восстановление окиси серебра водородом. Автор рассчитал из своих данных следующие значения термодинамических характеристик реакции $\text{Ag}_2\text{O} + \text{H}_2 = 2\text{Ag} + \text{H}_2\text{O}(\text{ж})$:

Температура, $^\circ\text{C}$	15	25	35
$\Delta Z^\circ, \text{кал}$	-54 340	-54 080	-53 820
$\Delta H, \text{кал}$	—	-61 790	—
$\Delta S^\circ, \text{э. е.}$	—	-25,86	—

Бирер [284] подсчитал из э. д. с. для реакции $\text{Ag}_2\text{O}(\text{тв}) + \text{H}_2 = 2\text{Ag}(\text{тв}) + \text{H}_2\text{O}(\text{ж})$ $\Delta Z^\circ_{298} = 53,449$ ккал/моль.

Используя стандартные данные:

$\text{H}_2\text{O}(\text{г})$:

$\Delta H_{298} = -57,798$ ккал/моль; $\Delta Z^\circ_{298} = -54,636$ ккал/моль.

$\text{H}_2\text{O}(\text{ж})$:

$\Delta H_{298} = -68,317$ ккал/моль; $\Delta Z^\circ_{298} = -56,590$ ккал/моль [178] (т. I стр. 111)

$\text{Ag}_2\text{O}(\text{тв})$:

$\Delta H_{298} = -7,200$ ккал/моль; $\Delta Z^\circ_{298} = -2,500$ ккал/моль

(см. стр. 199)

получаем для реакции $\text{Ag}_2\text{O} + \text{H}_2 = 2\text{Ag} + \text{H}_2\text{O}(\text{г})$

$\Delta H_{298} = -50,598$ ккал;

$\Delta Z^\circ_{298} = -52,136$ ккал;

$\Delta S_{298} = 9,16$ э. е.

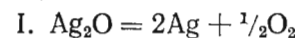
и для реакции $\text{Ag}_2\text{O} + \text{H}_2 = 2\text{Ag} + \text{H}_2\text{O}(\text{ж})$

$\Delta H_{298} = -61,117$ ккал;

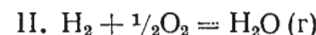
$\Delta Z^\circ_{298} = -54,190$ ккал;

$\Delta S^\circ_{298} = -23,23$ э. е.

Зависимость изменения изобарного потенциала от температуры можно легко рассчитать по известным данным для следующих реакций:



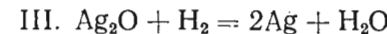
$$\Delta Z_I^\circ = 6525 - 13,268T \lg T + 10,652 \cdot 10^{-3} T^2 - 0,222 \cdot 10^{-5} T^3 + 0,318 \cdot 10^5 T^{-2} + 16,82T;$$



$$\Delta Z_{II}^\circ = -56,460 + 8,66T \lg T - 0,92 \cdot 10^{-3} T^2 - 0,47 \cdot 10^5 T^{-1} - 14,62T$$

(см. т. I, стр. 121).

Отсюда для реакции



получаем

$$\Delta Z_I^\circ + \Delta Z_{II}^\circ = \Delta Z_{III}^\circ = -49935 - 4,608T \lg T + 10,652 \cdot 10^{-3} T^2 - 0,47 \cdot 10^5 T^{-1} - 0,222 \cdot 10^{-5} T^3 + 0,318 \cdot 10^5 T^{-2} + 2,20T.$$

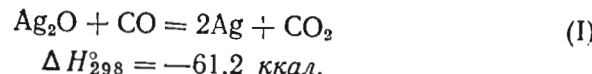
Рассчитанные по последнему уравнению величины приведены в табл. 280.

Таблица 280
изменение изобарного потенциала реакции восстановления Ag_2O водородом

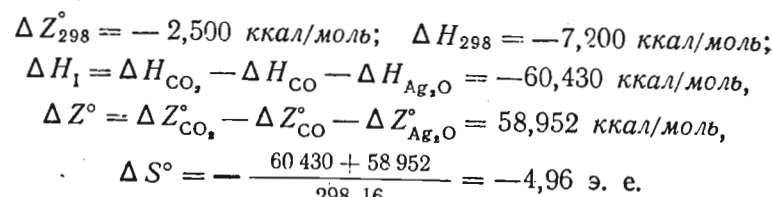
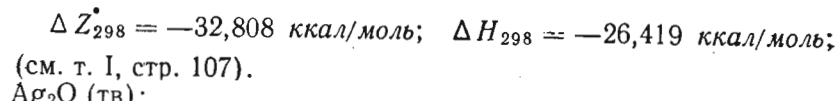
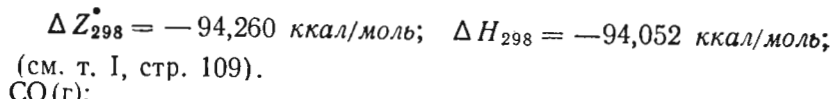
Temperatura		$-\Delta Z$ кал/моль	Temperatura		$-\Delta Z$ кал/моль
$^\circ\text{C}$	$^\circ\text{K}$		$^\circ\text{C}$	$^\circ\text{K}$	
25	298	52 030	200	473	52 903
50	323	52 165	250	523	53 082
100	373	52 249	300	573	53 262
150	423	52 661	350	623	53 467

Восстановление Ag_2O окисью углерода

Дежу [272] показал, что в присутствии влаги при комнатной температуре CO действует на Ag_2O и эта реакция сильно экзотермична:



Расчет из стандартных данных дает для этой реакции:
 $\text{CO}_2(\text{г})$:



Расчет зависимости изменения изобарного потенциала (а следовательно, и константы равновесия) реакции восстановления Ag_2O окисью углерода можно произвести по схеме:



$$\Delta Z_{\text{II}}^{\circ} = 6525 - 13,268T \lg T + 10,652 \cdot 10^{-3} T^2 -$$

$$- 0,222 \cdot 10^{-5} T^3 + 0,318 \cdot 10^5 T^{-2} + 16,82T.$$

(см. т. I, стр. 201),

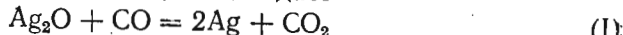


$$\Delta Z_{\text{III}}^{\circ} = -67,980 + 0,927 \lg T - 0,71 \cdot 10^{-3} T^2 +$$

$$+ 0,68 \cdot 10^5 T^{-1} + 19,25T.$$

(см. т. I, стр. 119).

Суммирование указанных реакций дает



$$\Delta Z_1^{\circ} = -61,455 - 12,35T \lg T + 9,94 \cdot 10^{-3} T^2 -$$

$$- 0,222 \cdot 10^{-5} T^3 + 0,68 \cdot 10^5 T^{-1} + 0,318 \cdot 10^5 \cdot T^{-2} + 36,07T.$$

В табл. 281 приведены величины ΔZ_T° , рассчитанные по последнему уравнению.

Таблица 281
ИЗМЕНЕНИЕ ИЗОБАРНОГО ПОТЕНЦИАЛА РЕАКЦИИ ВОССТАНОВЛЕНИЯ Ag_2O
ОКИСЬЮ УГЛЕРОДА

Temperatura		$-\Delta Z$ кал/моль	Temperatura		$-\Delta Z$ кал/моль
°C	°K		°C	°K	
25	298,16	58,759	200	473	57,887
50	323	58,640	250	523	57,618
100	373	58,610	300	573	57,340
150	423	58,146	350	623	57,054

Восстановление Ag_2O углеродом

Литературных данных по равновесию реакции $2\text{Ag}_2\text{O} + \text{C} = 4\text{Ag} + \text{CO}_2$ не имеется. Косвенный расчет константы равновесия и изменения изобарного потенциала в реакции можно произвести следующим образом:



$$\Delta Z_{\text{III}}^{\circ} = -RT \ln p_{\text{CO}_2} = 2\Delta Z_1^{\circ} + \Delta Z_{\text{II}}^{\circ}.$$

Расчет термодинамических функций реакции восстановления Ag_2O углеродом для стандартных условий дает:

$$\Delta H_{\text{III}, 298} = \Delta H_{\text{II}} + 2\Delta H_1 = -79,652 \text{ ккал/моль};$$

$$\Delta Z_{\text{III}, 298} = \Delta Z_{\text{II}} + 2\Delta Z_1 = -89,280 \text{ ккал/моль}.$$

$$\Delta S_{\text{III}}^{\circ} = 32,29 \text{ э. е.}$$

§ 40. РЕАКЦИИ С СУЛЬФИДОМ СЕРЕБРА

Восстановление Ag_2S водородом

Константа равновесия реакции $\text{Ag}_2\text{S}(\text{тв}) + \text{H}_2 = 2\text{Ag}(\text{тв}) + \text{H}_2\text{S}(\text{г})$ выражается формулой

$$K_p = \frac{p_{\text{H}_2\text{S}}}{p_{\text{H}_2}}.$$

Реакция восстановления сульфида серебра была предметом изучения ряда работ, результаты которых представлены на рис. 5.

1. Пелабон [273] изучал реакцию восстановления статическим методом (рис. 5, кривая 1). В более поздних исследованиях [124]

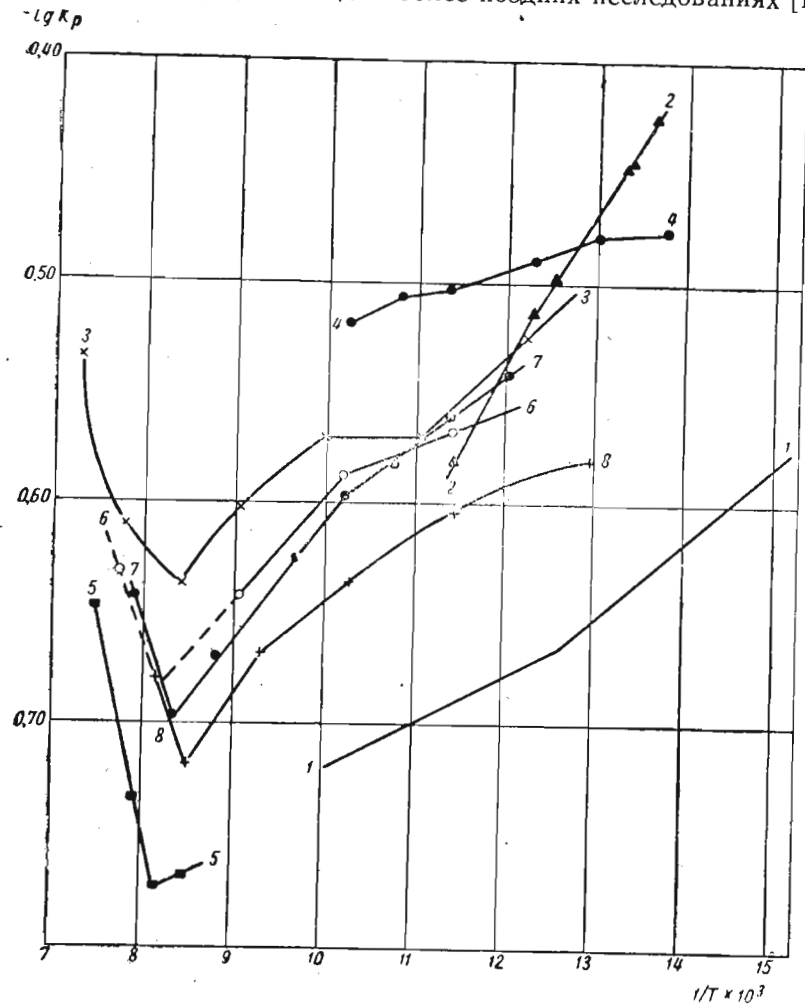


Рис. 5. Температурная зависимость константы равновесия восстановления Ag_2S водородом

полученные Пелабоном данные считаются ошибочными; возможно, что это связано со значительными аналитическими ошибками, естественными при анализе весьма малых объемов газа.

2. Кейс и Фельзинг [274] изучали рассматриваемую реакцию также статическим методом; отбор смеси из горячей зоны производился в вакуум. На их данных (кривая 2), несколько завышенные, вероятно, сказалось наличие термической диффузии.

3. Данные Еллинека и Цаковского [275] (кривая 3), изучавших реакцию восстановления сульфида серебра динамическим методом, также несколько завышены. При экстраполяции к нулевой скорости не учитывался эффект термической диффузии.

4. Ватанабе [111] (кривая 4) производил отбор проб из холодной части прибора, предварительно перемешивая газовую смесь. Однако и в его данных велико влияние термической диффузии.

5. Брицке и Капустинский [276] изучили реакцию восстановления сульфида серебра, измеряя парциальное давление водорода методом полупроницаемой перегородки (в качестве сосудов, способных пропускать водород при высоких температурах, применялись платиновые и иридевые «груши»). Данные Брицке и Капустинского (кривая 5) не зависят от термической диффузии. Несколько заниженные результаты трудно объяснить.

6. Воеводский и Гольберт [146] изучали рассматриваемую реакцию статическим и циркуляционным методами. В их работе было учтено влияние термической диффузии. На рис. 5 кривая 6 относится к результатам, полученным статическим методом, и кривая 7 — к результатам, полученным циркуляционным методом. По своим опытным данным авторы составили следующие уравнения:

$$(A) \lg K_p = \frac{294,1}{T} - 0,8963 \quad (830 - 1026^\circ\text{K});$$

$$(B) \lg K_p = \frac{645,0}{T} - 1,24 \quad (1026 - 1195^\circ\text{K}).$$

Сравнение цифр, получающихся по последним уравнениям, с опытными данными приведено в табл. 282.

Обработав свои экспериментальные данные, Воеводский и Гольберт получили для реакции $\text{Ag}_2\text{S}(\alpha) + \text{H}_2 = 2\text{Ag} + \text{H}_2\text{S}$

$$\Delta H = 3300,1 + 6,71T + 2,79 \cdot 10^{-3} T^2 + 1,569 \cdot 10^{-7} T^3;$$

$$\Delta Z^\circ = 3300,1 + 15,43T \lg T - 2,79 \cdot 10^{-3} T^2 - \\ - 0,784 \cdot 10^{-7} T^3 - 43,52T$$

и для реакции $\text{Ag}_2\text{S}(\beta) + \text{H}_2 = 2\text{Ag} + \text{H}_2\text{S}$

$$\Delta H = 5644,1 - 9,71T + 2,79 \cdot 10^{-3} T^2 + 1,569 \cdot 10^{-7} T$$

$$\Delta Z^\circ = 5644,1 + 22,33T \lg T - 2,79 \cdot 10^{-3} T^2 - \\ - 7,84 \cdot 10^{-8} T^3 - 67,06T.$$

КОНСТАНТА РАВНОВЕСИЯ И ИЗМЕНЕНИЕ ИЗОБАРНОГО ПОТЕНЦИАЛА
РЕАКЦИИ ВОССТАНОВЛЕНИЯ СУЛЬФИДА СЕРЕБРА ВОДОРОДОМ [146]

Температура °C	Данные эксперимента	K_p	$\lg K_p$	$\Delta Z = -\frac{RT}{K_p} \ln K_p$	Метод	K_p вычисленное	
						по формуле (A)	по формуле (B)
558	831	0,288	-0,5407	2061	Циркуляционный	0,2869	—
602	875	0,271	-0,5671	2271	Статический	0,2742	—
607	880	0,275	-0,5607	2258	Циркуляционный	0,2745	—
658	931	0,262	-0,5817	2472	»	0,2629	—
706	979	0,259	-0,5867	2628	Статический	0,2540	—
708	981	0,253	-0,5961	2676	Циркуляционный	0,2533	—
760	1033	0,237	-0,6253	2956	»	—	0,2374
834	1107	0,228	-0,6421	3253	Статический	—	0,2210
863	1136	0,213	-0,6716	3491	Циркуляционный	—	0,2129
923	1196	0,201	-0,6968	3814	»	—	0,1993
985	1258	0,228	-0,6421	3696	»	—	—
1010	1283	0,234	-0,6308	3703	Статический	—	—

7. Розенквист [124] изучил реакцию восстановления сульфида серебра циркуляционным методом. Состав равновесной смеси определялся с помощью гидростатического взвешивания. Данные Розенквиста (кривая 8 и табл. 283) свободны от влияния термической диффузии.

Таблица 283

КОНСТАНТА РАВНОВЕСИЯ И ИЗМЕНЕНИЕ ИЗОБАРНОГО ПОТЕНЦИАЛА
РЕАКЦИИ ВОССТАНОВЛЕНИЯ СУЛЬФИДА СЕРЕБРА ВОДОРОДОМ [124]

Температура		Данные эксперимента			ΔZ , вычис- ленное по уравнению (4)
°C	°K	K_p	$\lg K_p$	ΔZ	
500	773	0,263*	-0,5801	2050	2043
600	873	0,249*	-0,6038	2414	2418
700	973	0,232*	-0,6355	2830	2836
800	1073	0,215	-0,6676	3281	3289
905	1178	0,190	-0,7190	3876	—
1015	1288	0,209	-0,6798	4024	—

* Средние величины из пяти опытных значений.

Розенквист получил для реакции $\text{Ag}_2\text{S}(a) + \text{H}_2 = 2\text{Ag}(\text{тв}) + \text{H}_2\text{S}$

$$\Delta H = 4370 - 6,683T + 3,526 \cdot 10^{-3} T^2 + \\ + 0,101 \cdot 10^{-6} T^3 - 0,59 \cdot 10^{-9} T^4, \quad (1)$$

$$\Delta Z^\circ = 4370 + 15,39T \lg T - 3,526 \cdot 10^{-3} T^2 - \\ - 0,051 \cdot 10^{-6} T^3 + 0,053 \cdot 10^{-9} T^4 - 46,01T \quad (2)$$

и для реакции $\text{Ag}_2\text{S}(\beta) + \text{H}_2 = 2\text{Ag}(\text{тв}) + \text{H}_2\text{S}(\text{г})$

$$\Delta H = 4720 - 9,683T + 3,526 \cdot 10^{-3} T^2 + \\ + 0,101 \cdot 10^{-6} T^3 - 0,159 \cdot 10^{-9} T^4, \quad (3)$$

$$\Delta Z^\circ = 4720 + 22,29T \lg T - 3,526 \cdot 10^{-3} T^2 - \\ - 0,051 \cdot 10^{-6} T^3 + 0,053 \cdot 10^{-9} T^4 - 65,11T. \quad (4)$$

Розенквист полагал, что переход $\text{Ag}_2\text{S}(\beta) \rightleftharpoons \text{Ag}_2\text{S}$ (высокотемпературный) (859°K) можно не учитывать в расчетах, так как теплота перехода весьма мала ($\Delta H_{859} < 100$ кал/моль [114]). Теплоемкость $\beta\text{-Ag}_2\text{S}$ принималась равной теплоемкости высокотемпературной модификации Ag_2S .

Келли [143] из данных Кейса и Фельзинга [274], Еллинека и Цаковского [275] и Ватанабе [111] получил для реакции $\text{Ag}_2\text{S}(a) + \text{H}_2 = 2\text{Ag}(\text{тв}) + \text{H}_2\text{S}(\text{г})$

$$\Delta H = 3640 - 7,07T + 2,76 \cdot 10^{-3} T^2,$$

$$\Delta Z^\circ = 3640 + 16,28T \lg T - 2,76 \cdot 10^{-3} T^2 - 48,91T$$

и для реакции $\text{Ag}_2\text{S}(\beta) + \text{H}_2 = 2\text{Ag} + \text{H}_2\text{S}$

$$\Delta H = 3940 - 10,07T + 2,76 \cdot 10^{-3} T^2,$$

$$\Delta Z^\circ = 3940 + 23,19T \lg T - 2,76 \cdot 10^{-3} T^2 - 67,90T.$$

В табл. 284 приведены величины изобарного потенциала реакции восстановления Ag_2S водородом и логарифмы констант равновесия, рассчитанные по уравнениям, полученным Воеводским и Гольбертом, Розенквистом и Келли.

Реакцию восстановления ромбоэдрической модификации $\text{Ag}_2\text{S}(a)$ изучали методом э. д. с. Нойес и Фрид [149], Кимура [135], Капустинский и Маколкин [277, 140]. Ими было получено для реакции $2\text{Ag}(\text{тв}) + \text{H}_2\text{S}(\text{г}) = \text{Ag}_2\text{S}(a) + \text{H}_2$.

$$\Delta Z_{298}^\circ = -1688 \text{ (Нойес и Фрид),}$$

$$\Delta Z_{298}^\circ = -1705 \text{ (Кимура),}$$

$$\Delta Z_{298}^\circ = -1710 \text{ (Маколкин).}$$

ИЗМЕНЕНИЯ ИЗОБАРНОГО ПОТЕНЦИАЛА И КОНСТАНТЫ РАВНОВЕСИЯ,
РАССЧИТАННЫЕ ПО УРАВНЕНИЯМ ВОЕВОДСКОГО И ГОЛЬБЕРТА [146],
РОЗЕНКВИСТА [124] И КЕЛЛИ [143]

Температура °C	°K	ΔZ°			$-\lg K_p$		
		[146]	[124]	[143]	[146]	[124]	[143]
$\text{Ag}_2\text{S}(\alpha) + \text{H}_2 = 2 \text{Ag} + \text{H}_2\text{S}$							
25	298,16	1458	1692	820	1,0686	1,2401	0,6010
100	373,16	1476	1479	629	0,8644	0,8661	0,8661
150	423,16	1525	1371	544	0,7876	0,7080	0,3684
175	448,16	1563	1326	512	0,7621	0,6466	0,2496
$\text{Ag}_2\text{S}(\beta) + \text{H}_2 = 2 \text{Ag} + \text{H}_2\text{S}$							
175	448,16	1557	1316	512	0,7592	0,6417	0,2496
200	473,16	1545	1334	546	0,7136	0,6161	0,2522
300	573,16	1580	1479	778	0,6024	0,5639	0,2966
400	673,16	1725	1723	1130	0,5599	0,5593	0,3668
500	773,16	1957	2045	1578	0,5531	0,5779	0,4460
600	873,16	2255	2391	2101	0,5644	0,5644	0,5258
700	973,16	2614	2843	2685	0,5869	0,6384	0,6029
800	1073,16	3133	3427	3460	0,6379	0,6979	0,7046
900	1173,16	3411	3764	7086	0,6354	0,7011	1,3199

Сопоставление приведенных выше данных по восстановлению сульфида серебра водородом позволяет заключить, что, по-видимому, наиболее достоверными являются данные последней по времени работы Розенквиста [124].

Близкие к ним цифры, полученные Воеводским и Гольбертом [146], видимо, все же включают небольшую ошибку, связанную с явлением термической диффузии.

Кинетика реакции $2\text{Ag} + \text{H}_2\text{S} = \text{Ag}_2\text{S} + \text{H}_2$

Пелабон [273] нашел, что для установления равновесия этой реакции при температуре 590° С требуется более 1 часа, при 440° — более 15 час., при 360° — более 200 час., а при 180° H_2S не действует на серебро.

Лиленфельд и Уайт [278] в согласии с данными Қабелль [279], Хана [280] и Пелабона [273] нашли, что до 190° С Ag и H_2S не реагируют и в присутствии воды, если нет свободного кислорода. При 190° С Ag и сухой H_2S реагируют медленно.

§ 41. РЕАКЦИИ С ХЛОРИСТЫМ СЕРЕБРОМ

Восстановление AgCl водородом

Ишикава и Ватанабе [224] для реакции $2\text{AgCl}(\text{тв}) + \text{H}_2 = 2\text{Ag}(\text{тв}) + 2\text{HCl}(\text{г})$ получили следующие данные:

Температура, °C .	383	398	417
$\lg K_p$	0,9641	1,0867	1,2306
ΔZ°	-2894	-3337	-3886

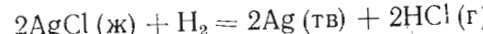
Из этих данных Фихте [234] обычным методом (см. т. I) рассчитал для указанной реакции:

$$\Delta Z^\circ = 17\,540 + 2,82T \lg T + 7,36 \cdot 10^{-3} T^2 - 44,02T;$$

$$\Delta H = 17\,540 - 1,22T - 7,36 \cdot 10^{-3} T^2;$$

$$\Delta Z_{298}^\circ = 7150 \text{ кал}; \quad \Delta H_{298} = 16\,520 \text{ кал}.$$

Реакцию восстановления жидкого AgCl водородом



изучали Жуню [281] статическим методом, Еллинек и Улот [235] динамическим методом и Ишикава и Ватанабе [224] статическим методом. Из данных Еллинека и Улota для этой реакции Фихте [234] рассчитал

$$\Delta Z^\circ = 12\,780 + 23,32T \lg T - 1,94 \cdot 10^{-3} T^2 - 89,97T,$$

$$\Delta H = 12\,780 - 12,59T + 1,94 \cdot 10^{-3} T^2,$$

а из данных Ишикавы и Ватанабе

$$\Delta Z^\circ = 12\,780 + 23,32T \lg T - 1,94 \cdot 10^{-3} T^2 - 89,63T.$$

$$\Delta H = 12\,780 - 12,59T + 1,94 \cdot 10^{-3} T^2.$$

В табл. 285 приведены экспериментальные и вычисленные величины.

Используя стандартные данные:

для $\text{HCl}(\text{г})$

$$\Delta H_{298} = -22\,064 \text{ кал/моль}; \quad \Delta Z_{298}^\circ = -22\,769 \text{ кал/моль},$$

(т. I, стр. 108),

для $\text{AgCl}(\text{тв})$

$$\Delta H_{298} = -30\,300 \text{ кал/моль}; \quad \Delta Z_{298}^\circ = -26\,205 \text{ кал/моль}$$

(стр. 208),

получаем для реакции $2\text{AgCl}(\text{тв}) + \text{H}_2 = 2\text{Ag}(\text{тв}) + 2\text{HCl}(\text{г})$

$$\Delta H_{298}^\circ = 16\,472 \text{ кал},$$

$$\Delta Z_{298}^\circ = 6872 \text{ кал},$$

$$\Delta S_{298} = 32,20.$$

Таблица 285

КОНСТАНТА РАВНОВЕСИЯ И ИЗМЕНЕНИЕ ИЗОБАРНОГО ПОТЕНЦИАЛА
РЕАКЦИИ ВОССТАНОВЛЕНИЯ $\text{AgCl}(\text{ж})$ ВОДОРОДОМ

Температура		$\lg K_p$	$-\Delta Z$	Температура		$\lg K_p$	$-\Delta Z$	Температура		$\lg K_p$	$-\Delta Z$
°C	°K	опытные	вычисленные	°C	°K	опытные	вычисленные	°C	°K	опытные	вычисленные
526	799	1,3594	4970	1,6384	5990	456	729,1	1,5146	5052	1,4766	4926
605	878	1,5159	6090	1,7780	7143	497	770,1	1,5780	5560	1,5768	5556
705	978	1,7542	7850	1,9070	8534	556	829,1	1,6957	6432	1,6702	6336
Еллинек, Улот [235] 1926 г.		Жунию [281] 1897 г.		Ишикава, Ватанабе [224] 1933 г.		609	882,1	1,7838	7200	1,7841	7201
540	813,1	1,6903	6288	1,7914	6665	638	911,1	1,7921	7471	1,8257	7611
640	913,1	1,9539	8163	1,9024	7948	642	915,1	1,8273	7651	1,8310	7667
						710	983,1	1,9191	8632	1,9345	8702

Используя энтропии серебра $S^{\circ}_{298}=10,20 \pm 0,05$ (стр. 183), хлористого серебра $S^{\circ}_{298}=23,00 \pm 0,1$ (стр. 207), водорода $S^{\circ}_{298}=31,23 \pm 0,01$ и хлористого водорода $S^{\circ}_{298}=44,66 \pm 0,01$ (т. 1, стр. 125), получаем $\Delta S^{\circ}_{298}=32,69 \pm 0,33$.

Сульфирование AgCl

Реакция сульфирования AgCl изучена экспериментально Еллинеком и Подъяски [282] динамическим методом. Для некоторых температур равновесие реакции достигалось с обеих сторон; расхождение экстраполированных величин при 280°C в этом случае не превышало 1%.

Константа равновесия реакции сульфирования



выражается формулой

$$K_p = \frac{p_{\text{HCl}}^2}{p_{\text{H}_2\text{S}}}.$$

Еллинек и Подъяски [282] получили следующие результаты:

Температура, °C	230	280	419
$\lg K_p$	0,2674	0,8574	2,063
ΔZ	-615	-2170	-6532

Келли [143] из этих данных рассчитал для реакции $2\text{AgCl}(\text{тв}) + \text{H}_2\text{S}(\text{г}) = \text{Ag}_2\text{S}(\alpha) + 2\text{HCl}(\text{г})$

$$\Delta H = 13940 + 5,85T - 10,11 \cdot 10^{-3}T^2;$$

$$\Delta Z^{\circ} = 13940 - 13,47T \lg T + 10,11 \cdot 10^{-3}T^2 + 2,71T;$$

$$\Delta H_{298} = 14790 \text{ кал}; \quad \Delta Z^{\circ}_{298} = 5690 \text{ кал}$$

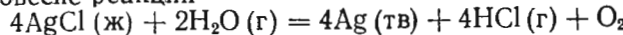
и для реакции $2\text{AgCl}(\text{тв}) + \text{H}_2\text{S}(\text{г}) = \text{Ag}_2\text{S}(\beta) + 2\text{HCl}(\text{г})$

$$\Delta H = 13640 + 8,85T - 10,11 \cdot 10^{-3}T^2;$$

$$\Delta Z^{\circ} = 13640 - 20,38T \lg T + 10,11 \cdot 10^{-3}T^2 + 21,70T.$$

Окисление AgCl водяным паром

Равновесие реакции



$$K_p = \frac{p_{\text{HCl}}^4 \cdot p_{\text{O}_2}}{p_{\text{H}_2\text{O}}^2}$$

экспериментально изучили динамическим методом Бутон, Риддель и Дюшак [200]. Авторы также рассчитали косвенным путем уравнение температурной зависимости изменения изобарного потенциала реакции:

$$\Delta Z_T^{\circ} = 131940 - 0,08T \ln T - 0,34 \cdot 10^{-2}T^2 +$$

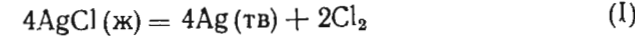
$$+ 0,74 \cdot 10^{-6}T^3 - 52,72T.$$

Полученные из этого уравнения величины, а также экспериментальные данные Бутона, Ридделя и Дюшака приведены в табл. 286. В этой же таблице помещены результаты вычислений, проведенных авторами настоящего справочника с использованием современных данных.

Таблица 286

КОНСТАНТА РАВНОВЕСИЯ И ИЗМЕНЕНИЕ ИЗОБАРНОГО ПОТЕНЦИАЛА
РЕАКЦИИ ОКИСЛЕНИЯ AgCl ВОДЯНЫМ ПАРОМ

Температура		Экспериментальные данные [200]		Вычислено [200]		Вычислено авторами справочника	
°C	°K	K_p	$= -RT \ln K_p$	K_p	ΔZ°	K_p	ΔZ°
900	1173,1	$6,7 \cdot 10^{-14}$		70650	$4,9 \cdot 10^{-13}$	66000	$8,2 \cdot 10^{-13}$
1000	1273,1	$3,4 \cdot 10^{-14}$		66700	$4,5 \cdot 10^{-11}$	60200	$6,4 \cdot 10^{-11}$



$$\Delta Z_1^{\circ} = 4(28210 + 9,93T \lg T - 0,89 \cdot 10^{-3}T^2 - 37,72T)$$

(см. т. I, стр. 140);



$$\Delta Z_{\text{II}}^{\circ} = 2(56460 - 8,66T \lg T + 0,92 \cdot 10^{-3}T^2 + 0,47 \cdot 10^5T^{-1} + 14,62T)$$

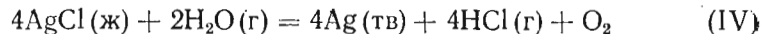
(т. I, стр. 121);



$$\Delta Z_{\text{III}}^{\circ} = 4(-21\,820 + 1,73T \lg T - 0,08 \cdot 10^{-3} T^2 - 7,36T)$$

(т. I, стр. 125)

Суммированием указанных реакций получаем:



$$\Delta Z_{\text{IV}}^{\circ} = \Delta Z_T^{\text{I}} + \Delta Z_T^{\text{II}} + \Delta Z_T^{\text{III}} = 138\,480 + 29,32T \lg T - 2,04 \cdot 10^{-3} T^2 + 0,94 \cdot 10^5 T^{-1} - 151,08T.$$

Восстановление AgCl окисью углерода

Равновесие реакции $2\text{AgCl} + \text{CO} = 2\text{Ag} + \text{COCl}_2$ экспериментально изучили динамическим методом Белладен, Ноли, Соммариба [283]. Они нашли следующие значения констант равновесия:

$$K_p = \frac{p_{\text{COCl}_2}}{p_{\text{CO}}}.$$

Температура, °C	650	700	750
$K_p \cdot 10^2$	0,18	0,50	1,12

Авторы указывают, что фосгена получается несколько более, чем это требуется по теоретическому расчету реакции (т. е. экспериментальные константы равновесия выше теоретических). Они объясняют это тем, что при реакции имеет место распад CO .

ЛИТЕРАТУРА

К главам I и II (МЕДЬ)

1. Straumanns, Mellis. Z. Phys., 94, 184, 1935.
2. Rueg, Kuschmann. Z. anorg. allg. Chem., 173, 234, 1928.
3. Honda, Shimizu. Nature, Lond. 126, 990, 1930.
4. M. C. Neuburger. Z. Krist., 93, 1936.
5. М. П. Славинский. Физико-химические свойства элементов, Металлургиздат, 1952.
6. Gmelin's Handbuch. № 60, Teil A, Lieferung 2, 1955.
7. D. K. Stull, G. C. Sinke. Thermodynamic properties of the elements. Thermal Laboratory of the Dow Chemical Co., 1956.
8. J. P. Coughlin. Heats and free energies of formation of inorganic oxides, 1954.
9. Hildebrand. J. Am. Chem. Soc., 40, 45, 1918.
10. Schofield. Proc. phys. Soc., 107, 206, 1935.
11. Van Atkel. Reine Metalle, Berlin, Springer-Verlag, 1939.
12. Meissner. Ann. der Phys., 47, 1001, 1915.
13. Meissner. Z. Phys., 2, 1920.
14. Б. Ормонт. Структуры неорганических веществ. Гостехтеоретиздат, 1950.
15. В. Е. Мирюков, С. Н. Работнов. Ученые записки Московского Университета, вып. 74, стр. 167, 1944.
16. R. Powell. General Discussion of Heat Transfer., 1951.
17. E. Meissner. Ann. der Phys., 38, 78, 609, 1940.
18. Johnston. Ind. Eng. Chem., 9, 874, 1917.
19. Millar. J. Am. Chem. Soc., 50, 2653, 1928; 45, 2326, 1923.
20. Jones, Langmuir, Mackay. Phys. Rev., 30, 212, 1927.
21. Van-Liempt. Z. anorg. Chem., 111, 280, 1920.
22. Кубашевский, Эванс. Термохимия в металлургии, ИЛ, 1954.
23. A. Eucken. Metallwirtsch., 15, 63, 1936.
24. A. L. Marshall, R. W. Dornte, F. I. Norton. J. Amer. Chem. Soc., 59, 1161, 1937.
25. Д. Р. Стэлл. Таблицы давления паров индивидуальных веществ. ИЛ, 1949.
26. Nernst. Ann. der Phys., 36, 395, 1911.
27. Keesom u. Oppen. Comm. Phys. Lab. Leiden, 143, 13, 1914.
28. Eucken u. Wert. Z. anorg. Chem., 188, 152, 1930.
29. Griffiths a. Griffiths. Proc. Roy. Soc., London, A90, 557, 1914.
30. Maier a. Anderson. J. Chem. Phys., 2, 513, 1934.
31. Meads. Thesis. Univ. of Calif., 1932.
32. Dockerty. Canad. J. Res., 9, 84—93, 1933.
33. Dockerty. Canad. J. Res., A. 15, 59—66, 1937.
34. Magnus, App. Phys. (4), 31, 597, 1910.
35. Нагрэг. U. S. Bur. of Standards. Bull. II, 259, 1915.
36. Seekamp. Z. anorg. Chem., 195, 345, 1931.
37. Bede. Fortschr. Phys., 11, 379, 1885.
38. Doerinkel u. Werner. Z. anorg. Chem., 115, 1, 1920.

39. Ruer u. Kremers. *Z. anorg. Chem.*, 184, 193, 1929.
 40. Griffiths a. Griffiths. *Proc. Roy. Soc. (London)* A88, 549, 1913.
 41. Naccari. *Atti Torino*, 23, 107, 1887—1888.
 42. Bronson, Chisholm a. Dockerty, Canad. J. Res., 8, 282, 1933.
 43. Schübel. *Z. anorg. Chem.*, 87, 81, 1914.
 44. Keesom a. Onnes. *Proc. Amsterdam*, 18, 484, 1915.
 45. Nernst u. Lindemann. *Berl. Akad.*, 494, 1911.
 46. Behn. *Abb. Phys.* 247, 1266, 1900.
 47. J. W. Richards. *Chem. News*, 68, 58, 69, 82, 93, 1893.
 48. Bartoli Stracciati. *Rend. Inst. Lomb.*, 11, 285, 1895.
 49. Kolossowsky. *Krak. Anz.*, 596, 1912.
 50. Harper. *Journ. Wash. Ac.* 4, 489, 1914—1915.
 51. Klinkhardt. *Ann. der Phys.* (4), 84, 167, 1927.
 52. Umino. *Sci. Rep. Tōhoku Univ.*, Japan, 15, 60, 3, 1926.
 53. Nernst u. Lindemann. *Berl. Akad.*, 1160, 1912.
 54. Я. А. Туровский, Г. М. Бартенев. ЖТФ, т. X, вып. 6, стр. 514, 1940.
 55. Dewar. *Proc. Roy. Soc. (A)*, 89, 158, 1914.
 56. Koref. *Ann. der Phys.* (4), 36, 49, 1911.
 57. Behn. *Wied. Ann.* 66, 237, 1898.
 58. Richards u. Jackson. *Z. phys. Chem.*, 70, 414, 1910.
 59. Schmitz. *Proc. Roy. Soc.*, 72, 177, 1903.
 60. Kahbaum, Roth, Sielder. *Z. anorg. Chem.*, 29, 177, 1902.
 61. Tomlinson. *Proc. Roy. Soc. (London)* 37, 107, 1884.
 62. Regnault. *Ann. chim. phys.* (2), 7, 35, 1840.
 63. Bede. *Mém. Cour. Acad. Belg.*, 27, 1856.
 64. Tilden. *Proc. Roy. Soc.*, 66, 244, 1900.
 65. Tilden. *Chem. News*, 78, 16, 1898.
 66. Watermann. *Phil. Mag.* (5), 40, 419, 1895.
 67. Le Verrier. *Compt. rend.*, 114, 907, 1892.
 68. Glaser. *Met.*, 1, 103, 121, 1904.
 69. Kok u. Keesom. *Physika*, 3, 1035, 1936.
 70. Umino. *Sci. Rep. Tōhoku Univ. (I)*, 15, 597, 1926.
 71. K. Kelley. *Bur. of Min. Bull.*, 371, 1935.
 72. Wüst, Menthen, Durrer. *Fortschr. Arb. Ver. deut. Ing.* 204, 1908.
 73. K. Kelley. *Bur. of Min. Bull.*, 3341, 3—19, 1937.
 74. Брицке, Капустинский и др. Термические константы неорганических веществ. Изд. АН СССР, 1949.
 75. Landolt-Börnstein. *Physikalisch-Chemische Tabellen* 3. Ergänzungsband, 3 Teil, Springer-Verlag, Berlin, 1936.
 76. R. Fichte. Die thermodynamischen Eigenschaften der Metallchloride. Veb. Verlag Technik, Berlin, 1953.
 77. W. Lange. Die thermodynamischen Eigenschaften der Metalloxyde. Springer-Verlag, Berlin, 1949.
 78. А. Вольский. Теория металлургических процессов, ОНТИ, 1935.
 79. O. Kubaschewsky, P. Brizgys, Huchleto, Jauch, Reinartz. *Z. Elektrochem.*, 54, 275, 1950.
 80. K. Kelley. *Bur. of Min. Bull.*, 396, 1936.
 81. Randall, Nielsen, West. *Ind. Eng. Chem.*, 23, 388—400, 1931.
 82. Randall, Scott. *J. Am. Chem. Soc.*, 49, 647, 1927.
 83. K. Kelley. *Bur. of Min. Bull.*, 383, 1935.
 84. Mietheing. Tabellen zur Berechnung der gesamten und freien wärmeinhaltfesten Körper. Abhandl. deutsch. Bunsen-Gesellsch. № 9, 1920.
 85. W. T. Giaugue a. R. F. Meads. *J. Am. Chem. Soc.*, Bd. 63, 1941.
 86. Rossini, Wagman and all. Selected values of chemical thermodynamic properties. Washington, 1952.

87. В. Латимер. Окислительные состояния элементов и их потенциалы в водных растворах, ИЛ, 1952.
 88. Griffiths. *Phil. Trans. A213*, 119, 1913.
 89. Файнштейн, Татаринова. *ДАН СССР*, 79, 435, 1951.
 90. Neuburger. *Z. Phys.* 67, 845, 1947.
 91. Gulbransen. *Rev. Mét.*, 45, 181, 1948.
 92. Neuburger. *Z. Krist.*, 77, 169, 1931.
 93. Truthe. *Z. anorg. Chem.*, 76, 173, 1912.
 94. Wartenberg, Reusch, Saran. *Z. anorg. Chem.*, 230, 257, 1937.
 95. Auwers. *Naturwissen*, 19, 133, 1931.
 96. Foote, Smith. *J. Am. Chem. Soc.*, 30, 1344, 1908.
 97. Walden. *J. Am. Chem. Soc.*, 30, 1350, 1908.
 98. Wöhler u. Baltz. *Z. Elektrochem.*, 27, 406—415, 1921.
 99. Allmand. *J. Chem. Soc.* 95, 2163, 1909.
 100. Ishikawa, Kimura. *Sexagint Jukihi Osaka*, p. 255, *Chem. Inst. Kyoto*. Imp. Univ. Kyoto, Japan, 1927.
 101. Roberts a. Smyth. *J. Am. Chem. Soc.*, 43, 1061, 1921.
 102. Allen a. Hewitt. *Journ. Inst. of Metals*, IV, 1933.
 103. Halla. *Z. anorg. Chem.*, 180, 83, 1929.
 104. Slade, Farrow. *Proc. Roy. Soc. A*—87, 524, 1912.
 105. Magnus. *Habitationsschrift Eberhard. Karls Univ. Tübingen*. 1910.
 106. Millar. *J. Am. Chem. Soc.*, 51, 215, 1929.
 107. Wöhler, Jochum. *Z. physik. Chem. A*, 167, 169—179, 1933.
 108. K. Kelley. *Bur. of Min. Bull.*, 406, 1937.
 109. K. Kelley. *Bur. of Min. Bull.*, 350, 1932.
 110. Neumann. Цитируется по Maier. *J. Am. Chem. Soc.*, 51, 199, 1931.
 111. Glassner. The thermodynamical properties of the oxides, fluorides and chlorides to 2500° K, USA, 1957.
 112. K. Kelley. *Bur. of Min. Bull.*, 393, 1936.
 113. Thomsem. *Thermochemische Untersuchungen*, 1882—1886.
 114. Berthelot. *Ann. Chim. Phys.* (5), 4, 186, 205, 1875.
 115. Maier. *J. Am. Chem. Soc.*, 194—207, 1929.
 116. Roth. Цитируется по Landolt-Börnstein «Phys.-Chem. Tabellen», II, 1931.
 117. Thompson. The total and free energies of formation of the oxides of thirty-two metals, 1952. N. Y.
 118. F. Bichowsky, Rossini. The Thermochemistry of the Chemical Substances, 1952.
 119. J. Wagner a. K. Wagner. *J. Electroch. Soc.*, 104, № 8, 509—511, 1957.
 120. F. Becker. Цитируется по [75].
 121. К. Н. Крестовников, Е. В. Натаансон. К термодинамике взаимодействия Cu₂S с парами воды. Сборник научных трудов Минцветмета золото, № 11, 1949.
 122. Р. Раддл. Физическая химия пирометаллургии меди. ИЛ, 1955.
 123. Gmelin's Handbuch, № 60, B1, Kupfer, 1958.
 124. Tunell, Posniak, Ksanda. *Z. Krist.* 90, 120, 1935.
 125. L. Brewer and all. *Chem. Rev.*, 52, 1953.
 126. Mack, Osterhof, Klaner. *J. Am. Chem. Soc.*, 45, 617, 1923.
 127. Russel. *Z. Phys.* 13, 59, 1912.
 128. Smyth a. Roberts. *J. Am. Chem. Soc.*, 42, 2582, 1920.
 129. Clusius u. Harteck. *Z. physik. Chem.*, 134, 243, 1928.
 130. J. H. Hu, H. L. Johnston. *J. Amer. Chem. Soc.*, 75, 2471, 1953.
 131. K. Kelley. *Bur. of Min. Bull.*, 394, 1936.
 132. Thomsem. *J. prakt. Ch.*, 12, 27, 1875.
 133. Ruer a. Nakamoto. *Rec. trav. chim.*, 42, 675—682, 1923.
 134. Wartenberg u. Werth. *Z. Elektrochem.*, 38, 401—402, 1932.
 135. Biltz, Rahlfss u. Vogel. *Z. anorg. allgem. Chem.*, 220, 113, 127, 1934.

136. Roth. Цитируется по Landolt-Börnstein «Phys.-Chem. Tabellen», 3, 1953.
137. Ulich, Schwarz, Kruse. Arch. Eisenhüttenw., 10, 493, 1937.
138. Льюис и Рендалл. Химическая термодинамика, 1936.
139. Belatti, Lussana. Atti. inst. Veneto (6), 7, 8, 1888.
140. Schad, Bornemann. Met. Erz, 13, 251, 1916.
141. K. Kelley. Ind. Eng. Chem., 33, 1314, 1941.
142. Jellinek u. Zakowsky. Z. anorg. Chem. 142, 1—53, 1925.
143. Vagihashi a. Sato. J. Japan Inst. Met., 16, 482—6, 1952 (Tōhoku Univ.).
144. Bornemann u. Hengstenberg. Met. Erz, 17, 313, 339, 1920.
145. Bellati a. Lussana. Atti inst. Veneto (6), 7, 1051, 1888—1889.
146. White. J. Am. Chem. Soc., 55, 1047, 1933.
147. White. J. Am. Chem. Soc., 56, 2795, 1934.
148. Anderson, J. Am. Chem. Soc., 54, 107, 1932.
149. Kopp. Lieb. Ann. Suppl. III, 1, 298, 1864—1865.
150. Bornemann. Met. Erz, 17, 243, 1920.
151. Regnault. Ann. Chim. Phys. (3), 12, 1805.
152. Ф. Капустинский, И. Маколкин. ЖФХ, 12, 361—362, 371—379, 1938.
153. K. Kelley. Bur. of Min. Bull., 434, 1941.
154. Wartenberg. Z. physik. Chem., 67, 446, 1909.
155. M. Wasjuchnowa. Das Gleichgewicht Cu, Cu₂S. Diss. Berlin, 1909.
156. В. Ванюков, Н. Киселева. Юбилейный сборник научных трудов № 7. Минцветметзолово. Металлургиздат, 1939.
157. F. Weibke, O. Kubaschewsky. Thermochemie der Legierungen, Berlin, 1943.
158. A. A. Brooks. J. Am. Chem. Soc., 75, 10, 2464—2467, 1953.
159. S. F. Ravitz. J. Phys. Chem., 11, 61, 1936.
160. Wyckoff. Crystal structures. N. Y., London, 1948.
161. Clarke. Constants of Nature, 1908.
162. Posniak, Allen. Mervin. Z. anorg. Ch., 94, 95, 1916.
163. Д. Чижиков. Металлургия тяжелых цветных металлов. Металлургиздат, 1948.
164. Preunet, Schupp. Z. physik. Chem., 68, 144, 1909.
165. Biltz, Juza. Z. anorg. Chem., 190, 173, 1930.
166. Allen a. Lombard. Amer. J. Sci. (4), 43, 185, 1917.
167. Preuner, Brockmoller. Z. physik. Chem., 8, 129, 1909.
168. Trivedi. Proc. Acad. Sci. (Unit. Provinces Agra, Oudh. India).
169. W. Reinders, Goudriaan. Z. anorg. Chem., 126, 85, 1923.
170. Schottky. Z. physik. Chem., 64, 415, 1903.
171. Ewald. Ann. der Phys., 4, 44, 1213, 1914.
172. A. Крестовников, Е. Фейгина. ЖФХ, 6, 68, 1481—1484, 1936.
173. Ischikawa, Miurooka. Bull. phys. chem. Research, Tokyo, 9, № 10, 1930.
174. Berthelot. Ann. chim. phys. (7), 5, 158, 1895.
175. W. Reinders, Goudriaan. Verlag Anest. 14, 33, 1916.
176. Е. С. Саркисов. ДАН, 58, 1645, 1947.
177. Biltz, Herzer. Z. anorg. Chem., 159, 96, 1927.
178. Gamely. J. Chem. Soc., 33, 273, 1878.
179. Graetz. Wied. Ann., 40, 48, 1890.
180. Mönkemeyer. N. Jahrb. Min., 22, 1, 1908.
181. Mesege. Z. anorg. Chem., 72, 162, 1911.
182. Herrmann. Z. anorg. Chem., 1, 25, 1911.
183. Sandonini. Atti. Acad. Lincei, 2, 111, 524, 1912.
184. Romma, Gabbi. Atti. Acad. Lincei, 20, 464, 1911.

185. Truthe. Z. anorg. Chem., 76, 129, 161, 1912.
186. Tubant, Lorenz. Z. physik. Chem., 87, 513, 543, 1914.
187. Hochmeister. Z. anorg. Chem., 109, 145, 1919.
188. Korreng. N. Jahrb. Min., 37, 51, 1924.
189. Biltz, Fischer. Z. anorg. Chem., 166, 290—293, 1927.
190. H. Staude. Phys.-chemisches Taschenbuch, Band II. Leipzig, 1949.
191. Wartenberg u. Bosse. Z. Electrochem., 28, 384, 1922.
192. Maier. Bur. Mines, № 360, 1925.
193. M. Watanabe. Sci. Pap. Inst. Phys. Chem. Res., v. 12, № 221—227, 1930.
194. Regnault. Ann. chim. phys., 1, 129, 1841.
195. А. Н. Крестовников, Г. А. Карагников. ЖОХ, 6, 68, 955—61, 1935.
196. M. Watanabe. Sci. Pap. Inst. Phys. Chem. Res., v. 9, 1930, s. 15—16.
197. Fischer. Z. anorg. allgern. Chem., 211, 321, 1933.
198. Gaydon. Dissociation Energies and Spectra of Diatomic Molecules. N. Y., 1947.
199. Brewster and all. Unpublished data University of California, California, 1952.
200. Watanabe. Sci. Rept. Tōhoku Imp. Univ., 22, 423, 1933.
201. Kapustinsky. J. Am. Chem. Soc., 58, 460, 1936.
202. H. Villa. J. Soc. Chem. Ind., 1950.
203. Bodländer u. Storbeck. Z. anorg. allg. Chem., 31, 458—476, 1902.
204. Noyes a. Chow. J. A. Chem. Soc., 40, 739—763, 1918.
205. Edgar a. Cannon. J. Am. Chem. Soc., 44, 2842—2849, 1922.
206. Sieverts u. Gotta. Ann. 453, 289—297, 1927.
207. Watanabe. Bull. Inst. Phys. Chem. Res. (Tokyo) 9, 94, 1929; Sci. Papers Inst. Phys. Chem. Res., 12, 251, 267, 1930.
208. Wartenberg u. Werth. Z. physik. Chem., A151, 109, 1930.
209. Thompson. J. Am. Chem. Soc., 28, 731, 1906.
210. R. Nielsen a. D. Brown. J. Am. Chem. Soc., 50, 1928, s. 9—19.
211. М. Оки. Цитируется по [75], стр. 1826.
212. F. Ephraim. Ber. 50, 1069, 1917.
213. Jellinek u. Kopp. Z. physik. Chem., A145, S. 305, 329, 1929.
214. Krustinsons. Z. Elektrochem., 44, 537—539, 1938.
215. Frommer, Polanyi. Z. physik. Chem., 137, 201, 1928.
216. Wright a. Luft. J. Am. Chem. Soc., 33, 1, 1878.
217. Maier. Bur. Mines, № 2, 329, 1929.
218. Sieverts, Krumphar. Z. physik. Chem., 82, 257, 1913.
219. Вольский. Цветные металлы, № 1, 1936.
220. Hauser. Über die Reduction der Metalloxyde durch Gase, 1907.
221. Campbell. Цитируется по Wright a. Luft — J. Chem. Soc. 35, 475, 1879.
222. Bouduard. Ann. Chim. (7), 24, 77, 1901.
223. Glaser. Z. anorg. Chem., 36, 1, 1903.
224. Dolltz u. Gramann. Met. 4, 430, 1907.
225. Tamman u. Sworykin. Z. anorg. Chem., 170, 62, 1928.
226. Osann. Pogg. Ann. 52, 406, 1841.
227. Ishikawa u. Kimura. Chem. Zbl., 1928, II, S. 131.
228. St. John. J. phys. Chem., 33, 1438, 1929.
229. Sano Kokichi, Okajima Kazuhisa. J. Iron and Steel Ins. Japan, 44, № 8, 859—865, 1958.
230. Parravano, Malquori. Gazz. chim. ital., 58, 279, 1928.
231. A. Gautier. Compt. rend., 142, 1465, 1906.
232. H. Regnault. Ann. Chim. phys. (2), 63; 378, 1836.
233. Hampe. Berg-Hüttenm. Z., 22, 97, 1870.
234. Phillips, Lewersidge. Chem. News, 70, 189, 1894.

16 Я. И. Герасимов и др.

235. E. Schütz. Met. 4, 697, 1907.
 236. Blitzke, Kapustinsky. Z. anorg. Chem., 205, 110, 1932.
 237. Булгакова, Герасимов. Восстановление полусернистой меди водородом. Сборник теоретических работ, вып. 1, Гинцветмет, 1934.
 238. A. Kihira, K. Sano. Chem. Abst., 1954.
 239. E. Cox, Bachelder and all. J. Metals, 1, 27—31, 1949.
 240. A. F. Kapustinsky. J. phys. Chem., 15, 645—651, 1941.
 241. K. Jellinek, R. Uloth. Z. physik. Chem., 119, 161—200, 1926.
 242. Bagdasarian. Trans. Amer. Electr. Soc., 51, 449—494, 1927.
 243. Belladen, Noli, Sommariva. Gazz. chim. ital., 58, 443, 1928.
 244. Jellinek, Rudat. Z. anorg. Chem., 155, 73, 1926.
 245. Korvezee. Rev. trav. chim. Pays-Bas, 50, 1085, 1931.
 246. Schenk, Hempelman. Met., 10, 283, 1913.
 247. Stubbs. J. Chem. Soc., 103, 1445, 1913.
 248. Reinders, Goudriaan. Z. anorg. Chem., 126, 85, 1923.
 249. Heyn, Bauer. Met. 3, 73, 1906.
 250. Sieverts, Krumbhaar. Z. physik. Chem., 74, 277, 1910.

К главам III и IV (СВИНЕЦ)

1. Kohlbaum, Roth, Siedler. Z. anorg. Chem., 29, 177—204, 1902.
2. Spring. Bull. Acad. Belg., 1066, 1903.
3. Тимофеев. Z. physik. Chem., 76, 308, 1911.
4. Cohen, Heidermann. Z. physik. Chem., 89, 733, 1915.
5. Richards, Wandsworth. J. Am. Chem. Soc., 38, 221, 1658, 1916.
6. Adams, Williamson. J. Am. Chem. Soc., 41, 121, 1919.
7. Egerton, Zee. Proc. Roy. Soc., (A) 103, 48, 487, 1923.
8. Zevi. Z. Krist., 61, 459, 1925.
9. Davey. Rev. (2), 25, 753, 1925.
10. Perette-Montamat. Ann. Phys. (10), 10, 393, 1928.
11. Landolt-Börnstein. Phys.-chem. Tabellen, 5 Aufl. B. 1. 285, 1923.
12. Day, Sosman. Hostender. N. Jahrb. Min. Big., Bd. 40, 132, 1915.
13. Egerton. J. Am. Chem. Soc., 123, 302, 1923; Proc. Roy. Soc., v. 103, 1923.
14. Von Wartenberg. Z. Elektrochem., 19, 482, 1913.
15. Ingold. J. Am. Chem. Soc., 121, 2419, 1922.
16. Rodebusch, Dixon. Phys. Rev., 26, 851, 1925.
17. Hildebrand. J. Am. Chem. Soc., 40, 45, 1918.
18. Ruff, Bergdahl. Z. anorg. Chem., 106, 76, 1919.
19. Greenwood. Proc. Roy. Soc., 83, 483, 1910.
20. Mott. Trans. Amer. El. Soc., 34, 255, 1918.
21. Cornellay, Williams. J. Am. Chem. Soc., 35, 563, 1879.
22. Van Liempt. Z. anorg. Chem., 114, 105, 1920.
23. Johnston. Ind. Eng. Chem., 9, 873, 1917.
24. Walden. Z. anorg. Chem., 112, 231, 1920.
25. Leitgeb. Z. anorg. Chem., 202, 305, 24, 1931.
26. Van Laar. Proc. Acad. Sci. Amsterdam, 18, 1920, 1916.
27. Borgström. Övernat. Finska Vetenskaps. Soc. Förh. 59, A. 16.
28. Стэлл. Таблицы давления паров индивидуальных веществ. ИЛ, 1949.
29. Van Arkel. Reine Metalle, Berlin, 1939.
30. E. Baug, R. Buppé. Helv. Chim. Acta, 17, 958, 1934.
31. P. Harteck. Z. physik. Chem., 134, 1, 1928.
32. Keesom, Ende. Proc. Acad. Sci. Amsterdam 33, 253—54, 1930.
33. Keesom, Onnes. Proc. Acad. Sci. Amsterdam 17, 13, 11, 1242, 1914.

34. Eucken, Schwers. Verh. deut. phys. Ges., 15, 578, 1913.
35. Griffits. Proc. Roy. Soc. (A) 90, 557, 1914.
36. Nernst. Ann. Phys. (4) 36, 395, 1911.
37. Naccari. Atti Torino, 23, 107, 1887—88.
38. L. B. Jaeger. 5 Aufl. B 11, 242, 1923.
39. Klinkhardt. Ann. Phys. (4) 84, 167—200, 1927.
40. Iitaka. Sci. Rep. Tōhoku 8, 99—114, 1919.
41. H. Dewar. Proc. Roy. Soc. (A) 89, 158, 1913.
42. Behn. Wied. Ann. 66, 277, 1898.
43. Barschall. Z. Elektrochem., 17, 341, 1911.
44. Schimpff. Z. physik. Chem., 17, 257, 1910.
45. Taylor, Rinkenbach. J. Am. Chem. Soc., 46, 1504, 1924.
46. Richards, Jackson. Z. physik. Chem., 10, 414, 1910.
47. Koref. Ann. Phys. (4), 36, 49, 1911.
48. Kopp. Lieb.-Ann. 3, 75—289, 1865.
49. Tomlinson. Proc. Roy. Soc. 37, 109, 1884.
50. Magnus. Ann. Phys. (4) 31, 597—610, 1910.
51. Schmitz. Proc. Roy. Soc., 88 (A) 549, 1913.
52. Spring. Bull. Acad. Belg. (3), 11, 355—404, 1886.
53. Glaser. Met. 1, 103, 121, 128, 1904.
54. E. Béde. Mém. cour. Acad. Belg., 27, 1, 1958.
55. Griffiths. Phil. Trans. 213, A, 119, 1913.
56. Spring u. Schübel. Bull. Acad. Belg. (3), 335, 1886.
57. Bronson a. Wilson. Canad. J. Res., 14 A 181—193, 1936.
58. Dixson, Rodebusch. J. Am. Chem. Soc., 49, 1172, 1927.
59. Wüst, Meuthan, Dürer. Forsch.-Arb. Ver. Deut. Ing. 204, 1918.
60. Rudberg, Pogg. Ann., 19, 133, 1830.
61. Mazotto. Atti Torino, 7, 132, Mem. Inst. Lombardo 16, 1, 1881—82.
62. Person. Compt. rend., 23, 336—344, 1890.
63. Robertson. Proc. Chem. Soc., 18, 131—132, 1902.
64. Roos. Z. anorg. Chem., 94, 329, 1916.
65. Wüst, Dürer. Forsch.-Arb. Ver. Deut. Ing., 241, 1921.
66. Griffits, Awbery. Proc. Phys. Soc., 38, 378, 1926.
67. Umino. Sci. Rep. Tōhoku Imp. Univ., 597, 617, 1927.
68. Magnus, Oppenheimer. Z. anorg. Chem., 168, 305—308, 1927.
69. McAteer a. Seltz. J. Am. Chem. Soc., 58, 2081—2084, 1936.
70. Kelley. Bur. of Min. Bull., 393, 1936.
71. Agheiv a. Crotov. J. Inst. of Met., 59, 301, 1936.
72. Бертенев, ЖХФ, XVII, вып. 11, 1321, 1947.
73. Gerke. J. Am. Chem. Soc., 44, 1684—704, 1922.
74. Greenwood. Z. physik. Chem., 76, 484—490, 1911.
75. Wartenberg. Z. Elektrochem. 19, 484—489, 1913.
76. Tate. Die experimentelle Bestimmung der Verdampfungswärme einiger Metalle, Berlin, 1914.
77. Hildebrand. J. Am. Chem. Soc., 40, 45—49, 1918.
78. Heuglein. Z. Elektrochem., 26, 431, 1920.
79. Kelley. Bur. of Min. Bull., 383, 1935.
80. Eucken. Metallwirtsch., 15, 27—63, 1936.
81. Fischer. Z. anorg. Chem., 219, 12, 1934.
82. Schübel. Z. anorg. Chem., 87, 100, 1914.
83. Kelley. Bur. of Min. Bull., 371, 1935.
84. Stull a. Sinke. Thermodynamic properties of the elements, 1956.
85. Douglas a. Dever. J. Am. Chem. Soc., 76, 4524, 1954.

86. Брицке, Капустинский и др. Термические константы неорганических веществ. Изд-во АН СССР, 1949.
87. Kelley. Bull. Min. Bull., 383, 1935.
88. Кубашевский, Эванс. Термохимия и металлургия, Госхимиздат, 1954.
89. Веселовский. ЖПХ, 15, 422, 1942.
90. Regnault. Ann. Chim. Phys. (3) I, 129, 1841.
91. Streinz, Boltzmann. Festschrift, 190, 1904.
92. Вогнеманн, Hengstenberg. Met. Erz, 15, 919, 1920.
93. Крестовников и Карапников. Труды Гинцветмета. Сборник теоретических работ, I, 88, 1934.
94. Eastman, Rodebusch. J. Am. Chem. Soc., 40, 496, 1918.
95. Lindner. Die Abhängigkeit der speziphyschen Wärme fester Körper von der Temperatur. Erlangen, 1903.
96. C. Travis, Andersen. J. Am. Chem. Soc., 54, 107, 1932.
97. H. Kelly. Bur. of Min. Bull., 476, 1949.
98. Favre, Silbermann. Ann. chim. phys., 3, 37, 471, 1853.
99. Berthelot. Thermochemie, 2, 341, 27, 1874.
100. Berthelot. Ann. chim. phys., 5, 4, 186—205, 1875.
101. Thomsen. Thermochemische Untersuchungen 3, 337, 1883.
102. Gunter. Z. Elektrochem., 23, 199, 1917.
103. Jellinek, Zakowski. Z. anorg. allg. Chem., 53, 1925.
104. Watanabe. Bull. Inst. Phys. Chem. Research, 9, 94, 1929, Tokyo.
105. Maier. Report Bur. Mines, 1934.
106. Zeumer, Roth. Z. physik. Chem., 173, 372—381, 1935.
107. Капустинский, Маколкин. ЖФХ, 12, 361—362, 371—379, 1938.
108. F. Weibke, O. Kubaschewski. Thermochemie der Legierungen, Berlin, 1943.
109. Jellinek, Deubel. Z. Elektrochem., 35, 7, 1929.
110. Латимер. Окислительные состояния элементов и их потенциалы в водных растворах, Госхимиздат, 1954.
111. Le Chatelier. Bull. Chim., 3, 17, 791, 1897.
112. Славинский. Физико-химические свойства элементов, Металлургиздат, 1952, стр. 335.
113. Ruhr. Z. anorg. Chem., 50, 265, 1906.
114. Applebey, Reid. J. Am. Chem. Soc., 191, 2129, 1922.
115. Ditte. Compt. rend., 94, 1922.
116. Feiser. Met. Erz, 11, 268—284, 1929.
117. Magnus. Z. Phys., 14, 5, 1913.
118. Nernst, Schwers. Ber. Berl. Akad., 355, 1914.
119. Russel. Z. Phys., 13, 59, 1912.
120. Lewis, Randall, Frost, Spencer. J. C. T. v. VII, 1928.
121. Kelley. Bur. of Min. Bull., 434, 1941.
122. Rossini, Wagman, Ewans, Lewine, Jaffe. Selected Values of chemical thermodynamic properties. Washington, 1952.
123. Ischikawa, Shibata. Sci. Rep. Tôhoku Imp. Univ, 18, 109, 1927.
124. W. Lange. Die thermodynamischen Eigenschaften der Metalloxyde. Berlin, 1949.
125. Polmaer. Z. Elektrochem., 29, 415, 1923.
126. Millar. J. Am. Chem. Soc., 51, 207, 215, 1929.
127. Кубашевский, Гопкинс. Окисление металлов и сплавов. ИЛ, 1956.
128. Bichowsky, Rossini. Thermochemistry of the chemical substances. N. Y., 1936.
129. Randall, Spencer. Intern. Crit. Tabel. VII, 247, 1928.
130. Roth. Ber. 61, 1541, 1928.

131. Hieber. Reis. Z. anorg. Chem., 180, 225, 1929.
132. C. G. Maier. Vapor pressures of the common metallic chlorides. Washington, 28, 1925.
133. Eastmen, Duschak. J. Frankl. Inst., 188, 823, 1919.
134. Wartenberg, Bosse. Z. Elektrochem. 28, 384, 1922.
135. Intern. Crit. Tabel. 3, 207, 1928.
136. Weber. Z. anorg. Chem., 21, 332, 1899.
137. F. Volmer. Z. Phys., 30, 590, 96, 1929.
138. M. Kawakami. Sci. Rep. Tôhoku Univ, 16, 915, 1927; Z. anorg. Chem. 167, 345, 1927.
139. J. Krustinsons. Z. Elektrochem., 45, 83, 1939.
140. Jellinek, Golubowsky. Z. physik. Chem. Bd. 147, 1930.
141. Greiner, Jellinek. Z. physik. Chem. Bd. 165, 1933.
142. Brönstedt. Z. Elektrochem., 18, 714, 1912.
143. Goodwin, Kalmus. Phys. (4) 31, 606, 1910.
144. Koref. Z. Phys., 13, 185, 1912.
145. Eucken. Z. Phys., 10, 586, 1909.
146. Ehrhardt. Wied. Ann., 24, 215, 1885.
147. Goodwin a. Kalmus. Physic. Rev., 28, 1, 1909.
148. Rudberg. Ann. der Phys., 19, 125—135, 1830.
149. Ehrhadrt. Ann. der Phys., (3), 24, 215—258, 1885.
150. Eastman a. Duschack. Bur. of Mines Techn. Paper, № 225, 1919.
151. Jellinek a. Rudat. Z. physik. Chem., A 143, 55—61, 1929.
152. Jellinek a. Golubowski. Z. physik. Chem., A 147, 461—569, 1930.
153. Fischer. Z. anorg. allg. Chem., 211, 321, 1933.
154. Maier. Bureau of Mines. Techn. Paper 360, 1925.
155. Fichte. Thermodynam. Eigenschaft d. Metallchloride, Berlin, 1953.
156. Крестовников, Фейгина, ЖОХ, 6, 68, 1481, 1936.
157. Anderson. J. Am. Chem. Soc., 58, 567, 1936.
158. Kelley. Bur. of Min. Bull., 406, 1937.
159. Lindner. Erlang. Ber. 34, 217, 1902.
160. Anderson, J. Am. Chem. Soc., 56, 849, 1934.
161. Kelley a. Andersen. Bur. of Min. Bull., 384, 1935.
162. Borchers. Met. I, 295, 1904.
163. Doeltz. Graumann. Met. IV, 420, 1907.
164. Brislee. J. Chem. Soc. XCIII 154, 1904.
165. Fay, Siker и др. Brooklyn Polyt. Engineer X, 7, 1910; Eng. Min. Journ. XCII, 406, 1911.
166. Wright, Luffi. J. Am. Chem. Soc., 33, 1, 1878; 35, 475, 1879.
167. M. Le Blan, E. Eberius. Z. physik. Chem., 160, 129, 1932.
168. Fricke, Ackerman. Z. physik. Chem., A 161, 227, 1932.
169. Роди. ЖРФХО, LXII, 1419, 1930.
170. А. Н. Вольский. Теория металлургических процессов, т. 1, 364, ОНТИ, 1935.
171. Tamman, Sworykin. Z. anorg. Chem., 170, 62, 1928.
172. Glaser. Z. anorg. Chem., 36, II, 1903.
173. John. J. Phys. Chem., 33, 1433, 1929.
174. Fried. Z. physik. Chem., 123, 406, 1926.
175. Ishikawa, Shibata. Bull. Chem. Japan, 48, 59, 1927.
176. Glasstone. J. Am. Chem. Soc., 121, 58 (1456, 1469), 1922.
177. Герасимов, Беринг. Восстановление сернистого свинца водородом. Сб. теоретических работ Гинцветмета, ОНТИ, 1934.
178. Watanabe. Bull. Inst. Phys. Chem. Res. (Abstracts) 2, 112—113, 1929.
179. Parravano, Malquori. Gazz. chim. Ital., 58, 279, 1928.
180. Chauvenet. Compt. rend., 152, 125, 1911.

181. Reinders. Proc. Kon. Akad. Wetenschappen. Amsterdam, v. 17, 1914, p. 703.
182. Reinders. Z. anorg. Chem., 93, 1915, p. 213.
183. Schenk, Albers. Z. anorg. Chem., 105, 1918—1919, p. 145—164.
184. Schenk, Borkenstein. Z. anorg. Chem., 142, 1925, p. 143.
185. Schenk, Rossbach. Metallurgie, 4, 1907, p. 455.
186. Schenk, Rossbach. Ber. Cent. Chem. Gesel., vol. 41, 1908, p. 2917.
187. Bagdasarian. Trans. Amer. El. Soc. 51, 449, 1927; Chem. Zbl. 2893, 1927.
188. Parravano, Malquori. Gazz. chim. Ital., 56, 3, 1926.
189. Jellinek, Uloth. Z. physik. Chem., 229, 161, 1926.
190. Belladen, Noli, Sommariva. Gazz. chim. ital., 58, 443, 1928.
191. Miehling. Tabellen zur Berechnung des gesamten und freien Wärmeinhalts fester Körper. Abhandl. deutsch. Bunsen-Gesellsch., 1919.
192. Reinders, Hamburger. Z. anorg. Chem., 89, 71, 1914.
193. Jaeger, Germ. Z. anorg. Chem., 41, 2927, 1921.
194. Hare. Phil. Mag. (6). 48, 412, 1924.

К главам V и VI (олово)

1. Г. В. Бокий. Введение в кристаллохимию, изд. МГУ, 1954.
2. Справочник металлурга по цветным металлам, т. 4, изд. 2, Металлургиздат, 1953.
3. М. П. Славинский. Физико-химические свойства элементов, Металлургиздат, 1952.
4. Stockmayer. Verh. Ges. deut. Naturw., 11, 1, 97, 1893.
5. Cohen, Olie. Z. physik. Chem., 71, 385, 1910.
6. Cohen, Deuwes, Dekker. Z. physik. Chem., 127, 183, 1927.
7. Freehan. J. Min. Soc., 3, 186, 1880.
8. Herz. Z. anorg. Chem., 105, 171, 1919.
9. Adams, Williams, Johnston. J. Am. Chem. Soc., 41, 12, 1919.
10. Jäger, Diesselhorst. Wiss. Abh. phys. Tech. Reichs, 3, 266, 1900.
11. Cohen, Goldschmidt. Z. physik. Chem., 50, 225, 1905.
12. Viccentini Omodei. Atti. Torino, 23, 38, 1887.
13. Hoffmann. Stahl. Met. Erz, 20, 5, 41, 1923.
14. Spring. Bull. Acad. Belg. (3), 6, 507, 1883; (3), 6, 1055, 1903.
15. Landolt-Börnstein. Phys.-chem. Tabellen, II, 212, 1931.
16. Van-Arkel. Reine Metalle, Berlin, 1939.
17. Cohen, Dekker. Z. physik. Chem., 127, 178, 1927.
18. Cohen. Z. physik. Chem., 63, 625, 1908.
19. Saldau. Z. anorg. Chem., 694, 1, 1930.
20. Gegens. Z. anorg. Chem., 83, 207, 1909.
21. Werner. Z. anorg. Chem., 83, 275, 1913.
22. Gaffery. Trans. Far. Soc., 23, 563, 1927.
23. Werigen. Ann. Phys. (4), 10, 647, 1903.
24. Jaenecke. Z. physik. Chem., 90, 265, 280, 296, 313, 1915.
25. Cohen, Goldschmidt. Z. physik. Chem., 50, 215, 1904.
26. Smits, Springman. Vorles. Akad. Amst., 29, 327, 1921.
27. Smits, de Leeuw. Vorles. Akad. Amst., 21, 661, 1912.
28. Werigen, Lewkojeff, Tamman. Drudes Ann. 10, 647, 1903.
29. Tamman, Dreyer. Z. anorg. Chem., 199, 97, 1931.
30. Cohen. Z. physik. Chem., 33, 60, 1900.
31. Werner. Z. anorg. Chem., 83, 295, 1913.
32. Matuyama. Sci. Rep. Tōhoku Univ. Japan, 29, 649, 1931.

33. Rossini, Wagman, Evans, Lavine, Jaffe. Selected Values of Chemical Thermodynamic Properties, Circ. 500. National Bureau of Standards U. S. Department.
34. Кубашевский, Эванс. Термохимия в металлургии, ИЛ, 1954.
35. Э. В. Брицке, А. Ф. Капустинский и др. Термические константы неорганических веществ. Изд-во АН СССР, 1949.
36. Г. Ф. Косолапов, А. К. Трапезников. ЖЭТФ, VI, № 6, 577, 1936.
37. Bridgeman. Phys. Rev., 1941, 60, № 4, 351.
38. Hoggness. J. Am. Chem. Soc., 43, 1621, 1921.
39. Benedicks. Compt. rend., 179, 389, 1924.
40. Pascal, Gouiniaux. Compt. rend., 158, 414, 1914.
41. Day, Sosman, Hostetter. N. Jahrb. Min. Blg., 40, 119, 1915.
42. Bornemann, Sauwald. Z. Metallk. 14, 155, 1922.
43. Sauwald, Töpler. Z. anorg. Chem., 157, 130, 1926.
44. Matsuyama. Sci. Rep. Tōhoku Univ., 18, 20, 1929.
45. Griffiths. Proc. Roy. Soc., 48, 22, 1890.
46. Callendar. Phil. Mag. (5), 48, 519, 1899.
47. Heycock, Neville. Phil. Trans., 202, A, 1, 1903.
48. Hindrichs. Z. anorg. Chem., 59, 416, 1908.
49. Weidner, Burgess. Bull. Bur. Stand. 6, 1, 1910.
50. Weidner, Burgess. Bull. Bur. Stand. 7, 2, 1910.
51. Holborn, Hennig. Ann. Phys. (4), 35, 761, 1911.
52. Adams, Johnston. Amer. Journ. Sci. (4), 31, 501, 1911.
53. Guertler, Pirani. Intern. Zeit. Metallog. 11, 1, 1919.
54. Adams, Johnston. Amer. Journ. Sci. (4), 33, 534, 1912.
55. Mott. Trans. Am. El-Soc. 34, 255, 1918.
56. Scheel. Z. angew. Chem., 32, 347, 1919.
57. Dana, Foote. Trans. Farad. Soc., 15, 186, 1920.
58. Johnston, Adams, Z. anorg. Chem., 72, 11, 1911.
59. Tamman. Z. anorg. Chem., 40, 54, 1904.
60. В. К. Семенченко, Н. Л. Покровский. Успехи химии, VI, 6, стр. 777, 1937.
61. Н. Л. Покровский, Н. Д. Галанина. ЖФХ, XXIII, № 3, 324, 1949.
62. Evans. J. Metals, 5 (5), Section 1, 655, 1953.
63. А. Грановская, А. Любимов. ЖФХ, XXII, № 4, 527, 1948.
64. Harteck. Z. physik. Chem., 134, 1—20, 1928.
65. Johnston. J. Ind. Eng. Chem., 9, 873, 1917.
66. Wartenberg. Z. Elektrochem., 19, 482, 1913.
67. Greenwood. Proc. Roy. Soc. (A), 82, 396, 1910.
68. Greenwood. Proc. Roy. Soc. (A), 83, 483, 1910.
69. Greenwood. Z. physik. Chem., 76, 484, 1911.
70. Greenwood. Z. Electrochem., 18, 319, 1912.
71. Ruff, Bergdahl. Z. anorg. Chem., 106, 76, 1919.
72. Ruff, Bergdahl. Z. anorg. Chem., 56, 320, 1908.
73. Wartenberg. Z. anorg. Chem., 114, 105, 1920.
74. Van-Liempt. Ind. Eng. Ch., 9, 873, 1917.
75. J. van-Laar. Proc. Acad. Amsterdam, 18, 1220, 1916; 20, 138, 492, 1918.
76. Van-Liempt. Z. anorg. Chem., 114, 105, 1920.
77. Hildebrand. J. Am. Chem. Soc., 45, 80, 1923.
78. Greenwood. Proc. Roy. Soc., 82 (A), 398, 1909.
79. Lange. Z. physik. Chem., 110, 343—362, 1924.
80. Brönsted. Z. physik. Chem., 88, 479, 1914.
81. Rodebush. J. Am. Chem. Soc., 44, 1412, 1923.
82. Rodebush. J. Am. Chem. Soc., 45, 1913, 1923.
83. Ewald. Ann. Phys. (4), 44, 1213, 1914.
84. Schmitz. Proc. Roy. Soc. (A), 72, 177, 1903.
85. Griffiths. Proc. Roy. Soc. (A), 88, 549, 1913.

86. Griffits. Phil. Trans. (A), 226, 119, 1913.
 87. Jaeger, Dissenhorst. Wiss. Abh. Phys. Techn. Reichsanstalt, 3, 269, 1900.
 88. Eucken, Ber. 18, 18, 1916.
 89. Iitaka. Sci. Rep. Tōhoku Univ., 8, 99, 1919.
 90. Umino. Sci. Rep. Tōhoku Univ., 15, 603, 1926.
 91. Pionchon. Ann. chim. phys. (6), 11, 33, 1887.
 92. Kelley. Contributions to the Data on Theoretical Metallurgy, 2, Bur. of Min. Bull., 371, 1934.
 93. Keesom, Ende. Proc. Acad. Sci. Amsterdam, 35, 143, 1932.
 94. Keesom, Kok. Proc. Acad. Sci. Amsterdam, 35, 743, 1932.
 95. Keesom, Laer. Physica, 3, 371, 1936; 4, 487, 1937; 5, 193, 1938.
 96. Klinkhardt. Ann. Phys. (4), 84, 187, 1927.
 97. Г. М. Бартенев. ЖТФ, XVIII, 11, 1325, 1947.
 98. Wogand. Ann. Phys. (4), 22, 64, 1907.
 99. Brönsted. Z. Elektrochem., 18, 714, 1912.
 100. Dewar. Proc. Roy. Soc. (A), 8, 158, 1913.
 101. Behn. Ann. phys. (4), 1, 25, 1900.
 102. Försch, Nordmeyer. Ann. phys. (4), 20, 4, 1905.
 103. Schimpff. Z. phys. Chem., 71, 257, 1910.
 104. Richards, Jackson. Z. physik. Chem., 70, 414, 1900.
 105. Tilden. Phil. Trans. (A), 203, 139, 1904.
 106. Schütz. Wied. Ann. 46, 177, 1892.
 107. Mattinen, Tiichonen. Soc. Fenn. Coom. 2, № 11, 10, 1922.
 108. Regnault. Ann. chim. phys. (2), 73, 42, 1840.
 109. Person. Ann. chim. phys. (3), 21, 295, 1847.
 110. Voigt. Wied. Ann. 49, 709, 1893.
 111. Schübel. Z. anorg. Chem., 87, 81, 1914.
 112. Glaser. Met. 1, 127, 1904.
 113. Watermann. Phys. Rev. (1), 4, 161, 1896.
 114. Spring. Bull. Acad. Belg. (3), 11, 355, 1886.
 115. Bartoli, Stracciati. Gazz. chim. Ital., 25, 389, 1895.
 116. Person. Ann. chim. phys. (3), 24, 136, 1848.
 117. Awberry, Griffits. Proc. Phys. Soc., 38, 378, 1926.
 118. Pionchon. Compt. rend., 102, 676, 1886.
 119. Pionchon. Compt. rend., 103, 112, 1886.
 120. Bede. Mem. Acad. Beld, 27, 1, 1885.
 121. Я. И. Герасимов. А. Н. Крестовников. Химическая термодинамика в цветной металлургии, т. II, ГОНТИ, 1933.
 122. Jaeger, Bottema, Koninkl. Acad. Watensch. Amsterdam Proceedings 35, 352, 1932.
 123. Rudberg. Pogg. Am. 19, 133, 1830.
 124. Person. Ann. chim. phys., 3, 24, 136, 1848; 3, 27, 252, 1849.
 125. Spring. Bull. de Bruxelles (3), 11, 400, 1886.
 126. Mazotto. Atti Torino, 17, 132, 1881—82.
 127. Mazotto. Mem. Inst. Lombardo, 16, 1, 1891.
 128. Robertson. Proc. chem. Soc., 18, 131, 1903.
 129. Guinchant. Compt. rend., 145, 68, 320, 1907.
 130. Roos. Z. anorg. Chem., 94, 329, 1916.
 131. Wüst. Forschungsarb. Ingenierw. Ver. № 204, 1918.
 132. Ludwik. Z. physik. Chem., 88, 632, 1914.
 133. Richards. J. Frankl. Inst. 143, 379, 1897.
 134. Weber. Z. anorg. Chem., 21, 305, 1899.
 135. Fränkel, Snipischsky. Z. anorg. Chem., 125, 235, 1922.
 136. Kelley. Bur. of Min. Bull., 5, 393, 1936.
 137. Henglein. Z. Elektrochem., 26, 431, 1920.
 138. Kelley. Bur. of Min. Bull., 3, 383, 1935.

139. Eickel. Metallwirtsch. 15, 27—63, 1936.
 140. Kelley, Bur. of Min. Bull., 10, 476, 1949.
 141. Eastman. J. Am. Chem. Soc., 45, 80, 1923.
 142. Meyer. Verhandl. d. Ges. deut. Naturw. Meran, 1905, III, S. 94.
 143. Laves. Taschenbuch f. Physiker und Chemiker. Berlin, 1943.
 144. Boullay. Ann. chim. phys. (2), 43, 266, 1830.
 145. Karsten. Schweigg. Journ. 65, 394, 1832.
 146. Schneider. Pogg. Ann., 95, 169, 1855.
 147. Clarke. Const. of Nature, Part I, Washington, 1898.
 148. Mourlot. Ann. chim. phys. (7), 17, 510, 1899.
 149. Ditte. Ann. chim. phys. (8), 12, 229, 1907.
 150. Pelabon. Compt. rend., 142, 1147, 1906.
 151. Biltz. Mecklenburg. Z. anorg. Chem., 64, 226, 1909.
 152. Heike. Met. 9, 318, 1912.
 153. Справочник metallurgen po цветным металлам под редакцией Н. Н. Мурача, т. II. Металлургиздат, 1947.
 154. Regnault. Ann. chim. phys. (3), 1, 129, 1841; Pogg. Ann., 53, 60, 243, 1841.
 155. Н. М. Крестовников, Е. И. Фейгина, ЖФХ, VIII, I, 74, 1936.
 156. Kelley, Bur. of Min. Bull. 11, № 477, 1950.
 157. Jellinek, Zakowski. Z. anorg. Chem., 142, 1—53, 1925.
 158. Э. В. Брицке, А. Ф. Капустинский. Цветные металлы, № 9, 1147, 1931.
 159. Britzke, Kapustinsky. Z. anorg. Chem., 194, 323, 1930.
 160. А. Н. Вольский. Основы теории металлургических плавок. Металлургиздат, 1943.
 161. Mixter. Amer. Journ. Sci. (4), 27, 229, 1909.
 162. Andrews. Phil. Mag. (3), 32, 321, 1848.
 163. И. С. Волынский, Н. Н. Севрюков. ЖХОХ, 25, 13, 2380, 1955.
 164. Wyckoff. Cristal Structures. New York—London, 1948.
 165. Fremy. Ann. chim. phys. (3), 23, 385, 1848.
 166. Nordenskjold. Pogg. Ann., 114, 612, 1861.
 167. Ditte. Compt. rend., 94, 792, 864, 1882.
 168. Levi. Nuovo Cimento (7), 1, 335, 1924.
 169. А. Н. Вольский. Теория металлургических процессов, т. I, ОНТИ, 1935.
 170. Brewege. Chem. Rev., 52, 1, 1—73, 1953.
 171. Millar. J. Am. Chem. Soc., 51, 207, 1929.
 172. Delepine, Hallopeau. Compt. rend., 129, 600, 1899.
 173. Chaudron. Pogg. Ann., 16, 220, 1921.
 174. Maier. J. Am. Chem. Soc., 51, 194, 1929.
 175. Berzelius. Schweigg. Journ. 6, 284, 1812.
 176. Herapath. Phil. Mag. 64, 321, 1824.
 177. Plaufair. Pogg. Ann., 23, 1, 1831.
 178. Joule. J. Am. Chem. Soc., 1, 137, 1847.
 179. Rose. Pogg. Ann., 75, 1, 1848.
 180. Daubree. Ann. Mines (4), 16, 137, 1849.
 181. Mallet. Phil. Mag. (3), 37, 394, 1850.
 182. Bergmann. N. Jahrb. Min., 395, 1857.
 183. Schröder. Pogg. Ann., 107, 113, 1859.
 184. Nordenskjeld. Pogg. Ann., 122, 614, 1864.
 185. Forde. Phil. Mag. (4), 30, 139, 1865.
 186. Michel—Leby. Compt. rend., 94, 1365, 1882.
 187. Brown. Amer. Chem. Journ., 6, 185, 1883.
 188. Drunnington. Chem. News, 50, 208, 1884.
 189. Gent. Proc. Am. Phil. Soc., 24, 29, 1887.
 190. Mich. Monatsh. 14, 345, 1893.
- 17 Я. И. Герасимов и др.

191. Stevanowic. Z. Krist., 37, 255, 1903.
 192. Weinschenk. Z. Krist., 38, 193, 1904.
 193. Dunstan. Bull. Imp. Inst., 3, 41, 1905.
 194. Davsy. Phys. Rev., 23, 763, 1924.
 195. Ipatiev, Nikolaew. Compt. rend., 185, 462, 1927.
 196. Н. Н. Мурач. Металлургия олова. Металлургиздат, 1947.
 197. Cussak. N. Jahrb. Min. 1, 196, 1899.
 198. Fletcher. Dublin Proc. (2), 13, 443, 1913.
 199. Ruff. Z. anorg. Chem., 82, 373, 1913.
 200. Kopp. Lieb. Ann. Suppl. 111, 1, 289, 1864; Phil. Trans., 155, I, 71, 1865.
 201. Neumann. Pogg. Ann., 23, 1, 1831.
 202. А. Ф. Капустинский, А. Зильберман, В. К. Веселовский. Труды Всесоюзного Ин-та Минерального сырья, 109, 68—94, 1936.
 203. Moose, Parr. J. Am. Chem. Soc., 46, 2656, 924.
 204. Lange. Die thermodynamischen Eigenschaften der Metalloxyde. Berlin, 1949.
 205. Fränkel, Snipischsky. Z. anorg. Chem., 125, 235, 1922.
 206. Ляшенко. Металлург, 1935, № 11, стр. 85.
 207. А. Ф. Капустинский, А. Грановская. Acta Physicochem. USSR, IV, № 4, 1936.
 208. Б. К. Веселовский. ЖПХ, 1943, XVI, 9—10, 397.
 209. Biltz, Birk. Z. anorg. Chem., 134, 132, 1923.
 210. Klemm, Biltz. Z. anorg. Chem., 152, 240, 1926.
 211. Lorenz, Herz. Z. anorg. Chem., 145, 88, 1925.
 212. Jaeger. Z. anorg. Chem., 101, 1, 1917.
 213. Biltz, Meyer. Z. physik. Chem., 2, 184, 1888.
 214. Graetz. Wied. Ann., 40, 28, 1890.
 215. Mengel. Z. anorg. Chem., 72, 162, 1911.
 216. Herrmann. Z. anorg. Chem., 77, 257, 1911.
 217. Rack. Zbl. Min. Geol., 373, 1913.
 218. Korring. N. Jahrb. Min., 37, 51, 1914.
 219. Kendall, Crittenden, Millar. J. Am. Chem. Soc., 45, 963, 1923.
 220. Karantassis. Compt. rend., 182, 134, 1926.
 221. Maier. Bur. of Min., Tech. Pap. 360, 1925.
 222. McGrae. Wied. Ann., 55, 95, 1895.
 223. Freyer, Meyer. Ber. 25, 622, 1892.
 224. Helfenstein. Z. anorg. Chem., 23, 255, 1900.
 225. Carnelly, Williams. J. Am. Chem. Soc., 85, 568, 1879.
 226. Thomsen. Thermochemische Untersuchungen, VII, 426, 1886.
 227. Thomsen. Therm. Unters. 3, 326, 1886.
 228. Klemm, Bräutigam. Z. anorg. Chem., 163, 225, 1927.
 229. Berthelot. Ann. chim. phys., 15, 185, 1878.
 230. Fichte. Die thermodynamischen Eigenschaften der Metallchloride. Veb. Verlag Technik. Berlin, 1953.
 231. Kelley. Bur. of Min. Bull., 9, 434, 1941.
 232. Körber, Oelsen. Mitt. K. W.-I. Eisenforschg., 14, 119, 1932.
 233. Biltz, Sapper. Z. anorg. Chem., 203, 277, 1931.
 234. Hagen. Pogg. Ann., 131, 117, 1867.
 235. Thorpe. Proc. Roy. Soc., 24, 283, 1876; J. Am. Chem. Soc., 37, 331, 1880.
 236. Hermann, Farber. Ztg. 18, 34, 1907.
 237. Stiefelhagen. Dispersion flüssiger Chloride für ultraviolette Strahlen, Berlin, 1905.
 238. Young. Dublin Pros. 12, 428, 1910.
 239. L. Brewer, D. F. Mastik. J. Chem. Phys., 19, 834, 1951.
 240. Randall, Crittenden. J. Am. Chem. Soc., 45, 26, 1923.
 241. Biltz, Meinecke. Z. anorg. Chem., 131, 1, 1923.

242. Bond, Beach. J. Am. Chem. Soc., 48, 348, 1926.
 243. Garner, Sudgen. J. Am. Chem. Soc., 12, 28, 1929.
 244. Mündel. Z. physik. Chem., 85, 4, 1913.
 245. Walden, Z. physik. Chem., 70, 581, 1910.
 246. Juliusberger. Ann. Phys. (4), 3, 618, 1900.
 247. Latimer. J. Am. Chem. Soc., 44, 90, 1920.
 248. Regnault. Ann. chim. phys. (3), 9, 322, 1843; Pogg. Ann., 63, 50, 1844.
 249. Andrews. Quart. Journ. Chem. Soc. London, 1, 27, 1849.
 250. Andrews. Phil. Mag. (3), 32, 321; Pogg. Ann., 75, 46, 247, 1848.
 251. Berthelot. Thermochemie, 2, 154, 1878.
 252. Herz. Z. anorg. Chem., 37, 453, 1924.
 253. Я. И. Герасимов, Е. В. Круглова, Н. Д. Розенблум, ЖХХ, 7, 1520, 1937.
 254. А. Ф. Капустинский, Маколкин. ЖФХ, 12, 361, 371, 1938.
 255. Маколкин. Acta Physicochim. URSS, 13, 361, 1940.
 256. Garret, Heiks. J. Am. Chem. Soc., 63, 562, 1941.
 257. Herman. J. Chem. Phys., 6, 7, 1938.
 258. Eastmann, Robinson. J. Am. Chem. Soc., 50, 1106, 1928.
 259. Emmet, Schultz. J. Am. Chem. Soc., 55, 1390, 1933.
 260. Müller. Pogg. Ann., 136, 51, 1869.
 261. Clarke. The Gas. Blowpipe, 1819; Pfaff. Handbook anal. Ch. 2, 336, 1822.
 262. Fink, Mantell. Trans. Amer. Elch. Soc., 51, 413, 429, 1927.
 263. Wöhler, Balz. Z. Elektrochem., 27, 45, 1921.
 264. Emmet, Schultz. J. Am. Chem. Soc., 55, 1390, 1933.
 265. Meyer, Scheffer. Rec. trav. Chim. Pays-Bas 51, 369, 1932.
 266. Ibbes, Crew. Proc. Pluss. Soc. 43, 142, 1931.
 267. Schlagdenhauffen, Pagel. Compt. rend. 128, 309, 1899.
 268. Stammer. Pogg. Ann., 82, 135, 1851.
 269. Gmelin's Handbuch der anorg. chemie. Tin, teil A, Berlin, 1955.
 270. Lepley, Laurent. Ann. Chim. Phys., 65, 406, 1837.
 271. Isutomi Maeda. Bl. Inst. Phys. Chem. Rec. (Japan), 2, 355, 1923.
 272. Klärding. Met. Erz, 32, 304, 1935.
 273. А. Ф. Капустинский, А. Зильберман-Грановская. Acta Physicochim. USSR, IV, № 4, 1936.
 274. Н. Н. Мурач, Ф. М. Лоскутов. ЖПХ, IX, № 5, 1938.
 275. Kern. Trans. Amer. Elch. Soc., 51, 403, 1927.
 276. Doeltz. Metall. 4, 420, 1907.
 277. Tammann, Sworykin. Z. anorg. Chem., 170, 69, 1928.
 278. Fink, Mantell. J. Phys. Chem., 32, 103, 1928.
 279. Meyer, Kerstein. Ber. 46, 2882, 1913.
 280. Rose. Pogg. Ann., 24, 305, 1832.
 281. Э. В. Брике, А. Ф. Капустинский. Цветные металлы, 1931, № 9, стр. 116.
 282. Bownlee. Nature, 166, 482, 1950.
 283. Н. Л. Покровский. Сборник научных трудов МИЦМиЗ, 30, 47, 1957.
 284. Никольский, Калакуцкая и др. Теплоэнергетика, № 2, 92, 1959.
 285. Searcy, Freeman. J. Am. Chem. Soc., 76, 20, 5229, 1954.
 286. Brewer, Porter. J. Chem. Phys., 21, 11, 2012, 1953.
 287. Baur, Brunner. Helv. Chem. Acta, 17, 958, 1934.
 288. Степл. Таблицы давления паров индивидуальных веществ, ИЛ, 1949.
 289. Kubashevskiy, Evans. Metallurgical Thermochemistry, 3rd ed., 1958.
 290. Goodman. C. r. Acad. Sci., 224, 24, 2899, 1957.

291. Веселовский. ЖПХ, XVI, 9—10, 397, 1943.
 292. А. Н. Крестовников. Сборник научных трудов МИЦМиЗ, 3, 26, 227, 1957.
 293. Stull, Sinke. Thermodynamic properties of the Elements, 1956.
 294. Vaughan. Trans. Farad. Soc., 50, 4, 332, 1954.
 295. М. Х. Карапетянц. Труды МХТИ, 20, 10, 1954.
 296. Ivanovic. Bull. Soc. Chim. Belgrade, 12, 51, 1947.
 297. А. Н. Крестовников. Сборник научных трудов МИЦМиЗ, 32, 20, 1960.
 298. J. N. Pratt. J. Birmingham Metallurg. Soc. 38, № 2, 56—75, 1958.
 299. Pearson. Handbook of Lattice Spacings and Structures of Metals and Alloys, 1958.
 300. Landolt—Börnstein. Phys.-chem. Tabellen, 6 Aufl., Bd 1, Teil 4, 1955.
 301. Бенуни, Цейдлер. Сборник научных трудов Гинцветмета 15, 198, 1959.
 302. Richards. Trans. Farad. Soc., 51, 9, 1193, 1955.
 303. St. Clair, Shibley, Solet. U. S. Bur. Mines Rep. Invest. 5095, 1954.
 304. Hisao, Eng. Min. J., 11, 1954.
 305. Orr, Christensen. J. Phys. Chem. 62, 1, 124, 1958.
 306. King, Todd. J. Am. Chem. Soc., 75, 12, 3023, 1953.
 307. Гультьяев, Петров. Физика твердого тела. I, 3, 368, 1959.
 308. Киреев. ЖОХ, 16, 10, 1569, 1946.
 309. Handbook of Chemistry and Physics, 1958.
 310. Н. Н. Севрюков. Сборник научных трудов МИЦМиЗ, 26, 253, 1957.
 311. Platteeuw, Meyer. Trans. Farad. Soc., 57, 8, 1066, 1956.
 312. Spandau, Ulrich. Z. anorg. Chem., 274, 271, 1953.
 313. Coughlin. Bur. of Min. Bull., 542, 1954.
 314. Feiser. Met., Erz., 26, 269, 1929.
 315. Silverman, Insby, Morey, Rossini. Nat. Res. Council Bull., 118, 193, 1949.
 316. The Chemistry and Metallurgy of Miscellaneous Materials. Thermodynamics, 1950.
 317. Kabesh, Nyholm. J. Chem. Soc., 3245, 1951.
 318. Spencer. J. Am. Chem. Soc., 67, 6, 1859, 1945.
 319. Crepaz. Atti Congr. naz. chim. pura appl. 5, 1, 446, 1936.
 320. Ishikawa, Ando. Sci. Rep. Tôhoku Univ., 34, 873, 1938.
 321. Sudo. Sci. Rep. Tôhoku Univ., A3, 187, 1951.
 322. Keysselitz, Kohlmeier. Met. Erz., 30, 185, 1933.
 323. Spandau, Kohlmeier. Z. anorg. Chem., 254, 65, 1947.
 324. Spandau, Kohlmeier. Z. f. Metallkunde, 40, 1, 1949.
 325. Lange. Neue Hütte, 139, 1955.
 326. Д. Н. Клушкин, О. В. Надинская, К. Т. Богаткина. Сборник научных трудов Гинцветмета 15, 180, 1959.
 327. Heming, O'Bryan. J. Am. Chem. Soc., 75, 2803, 1953.
 328. I. D'Ans, E. Lax. Taschenbuch Chem. u. Phys., 1053, 1943.

К главе VII и VIII (серебро)

1. Owen, Yates. Phil. Mag., 15, 472, 1933.
2. Jette, Foote. J. Chem. Phys., 3, 605, 1935.
3. Greenwood. Z. physik. Chem. 76, 484, 1911.
4. Straumanis u. Jevins. Präzisionsbestimmung von Gitterkonstanten, Berlin, 1940.
5. Hermann, Wegener. Z. angew. Phys., 7, 536, 1955.
6. Silber, Roth. Z. anorg. Chem., 29, 177, 1902.
7. Williamson, Jonston. J. Am. Chem. Soc., 41, 12, 1919.

8. Hoffman, Stahl. Met. Erz., 19, 248, 1922.
 9. Jones, Langmuir, Mackay. Phys. Rev., 30, 207, 1927.
 10. Sauerwald. Z. Metallk., 14, 460, 1922.
 11. Joupin, Bull. Soc. Chim. France, 47, 528, 1930.
 12. Кубашевский, Эванс. Термохимия в металлургии, ИЛ, 1954.
 13. Kelley. Bur. of Min. Bull., 383, 1935.
 14. Hansen, Anderson. Constitution of Binary Alloys, 1958.
 15. Попов. Термометрия и калориметрия, изд. МГУ, 1954.
 16. Poeser, Dan. Bur. of Stand. Journ. of Res., 10, 661, 1933.
 17. Славинский. Физико-химические свойства элементов, Металлургиздат, 1952.
 18. Person. Ann. chim. phys. (3), 21, 338, 1849.
 19. Pionchon. Ann. chim. phys. (6), 11, 33, 1887.
 20. Wirt, Merten, Durrer. Z. Instrument, 39, 294, 1919.
 21. Ludwik. Z. Phys. Chem., 88, 632, 1914.
 22. Guldberg. Ostwalds Klass. № 39, 24.
 23. Umino. Sci. Rep. Tôhoku Univ., 15, 615, 1926.
 24. Bates. J. Am. Chem. Soc., 61, 1040, 1939.
 25. Nix, McNair. Phys. Rev., 61, 74, 1942.
 26. Grueneisen. Handbuch der Physik, Bd. 3/2, Berlin, 1959.
 27. Buffington, Latimer. J. Am. Chem. Soc., 48, 230, 1926.
 28. Dorsey. Phys. Rev., 25, 88, 1907.
 29. H. Ebert. Z. Physik, 47, 712, 1908.
 30. Henning. Ann. Physik, 22, 631, 1907.
 31. Wegener. Z. angew. Phys., 7, 536, 1955.
 32. Van Liempt. Ber. 114, 105, 1920.
 33. Saini. Gelv. phys. acta, 6, 597, 1933.
 34. Шмарц, ЖЭТФ, 27, 62, 1954.
 35. Eucken. Metallwirtschaft, 15, 27—63, 1936.
 36. Schadel, Birchall. J. Metals, 188, 1134—8, 1950.
 37. Ю. В. Корнеев, Е. З. Винтайкин. ЖФХ, 30, 1540—1546, 1956; ДАН 107, 661—663, 1956.
 38. А. Н. Несмеянов, Л. А. Смехтин, В. И. Лебедев. ДАН, 112, 700—702, 1957.
 39. А. П. Любимов, А. А. Грановская. ЖФХ, 27, 473, 1953.
 40. Wartenberg. Z. Elektrochem., 19, 482—489, 1913.
 41. Д. Р. Стэлл, Таблицы давления паров индивидуальных веществ, ИЛ, 1949.
 42. Fischer. Z. anorg. Chem., 219, 367, 1934.
 43. Ruff, Bergdahl. Z. anorg. Chem., 106, 76, 1919.
 44. Greenwood. Proc. Roy. Soc. (A), 82, 396, 1909; 83, 483, 1910.
 45. Hansen. Ber. 42, 210, 1909.
 46. Van Liempt. Z. anorg. Chem. 114, 105, 1920.
 47. Tiede, Birnbrauer. Z. anorg. Chem., 87, 129, 1914.
 48. Hendlein. Z. Elektrochem., 26, 431, 1928.
 49. Richards. Metallurgical Calculations, 1, 70, 1906.
 50. Forcrand. Compt. rend., 156, 1648, 1913.
 51. Quil. Chemistry and Metallurgy of Miscellaneous Materials, N. Y., 1950.
 52. Bauer, Brügel. Helv. chim. Acta, 17, 958, 1934.
 53. Kelley. Bur. of Min. Bull., 371, 1934.
 54. Keesom. Kok. Kon. Acad. Wet. Amst. 35, 301, 1932.
 55. Nernst. Z. Elektrochem., 17, 817, 1911.
 56. Nernst. Ann. Phys. (4), 36, 395—420, 1911.
 57. Griffits. Proc. Roy. Soc. (A), 90, 557, 1914.
 58. Behn. Ann. Phys., 1, 257, 1900.
 59. Tilden. Proc. Roy. Soc. 71, 220, 1903.

60. Brönsted. Z. Elektrochem., 18, 74, 714, 717, 1912.
61. Griffits. Phil. Trans. (A) 213, 119, 1913.
62. Schimpf. Z. physik. Chem., 71, 257, 1910.
63. Schübel. Z. anorg. Chem., 87, 81, 1914.
64. Griffits. Proc. Roy. Soc. (A), 88, 549, 1913.
65. Eastman, Williams, Young. J. Am. Chem. Soc., 46, 1184, 1924.
66. Tilden. Chem. News, 78, 16, 1898.
67. Magnus, Hölder. Z. physik. Chem., 110, 188, 1924; Ann. Phys. (4) 80, 808, 1926.
68. Eucken, Clusius, Wojtinek. Z. anorg. Chem., 203, 47—54, 1931.
69. Umino. Sci. Rep. Tōhoku Univ. 15, 60, 1926.
70. Mellor. A Comprehensive Treatise on inorganic and theoretical Chemistry, III. 1946.
71. Jager, Rosenbohm, Veenstra. Kon. Acad. Wed. Amst. 36, 291, 1933.
72. Corak, Garfunkel, Satterthwaite, Wexler. Phys. Rev., 98, 1699, 1955.
73. Keesom, Pearlman. Phys. Rev., 88, 140, 1952.
74. Keesom, Pearlman. Phys. Rev., 98, 548, 1955.
75. Rayne. Phys. Rev., 95, 1428, 1954.
76. Hoare, Yates. Proc. Roy. Soc., 240, 42, 1957.
77. Meads, Forsythe, Giauque. J. Am. Chem. Soc., 63, 1902, 1941.
78. Dewar. Proc. Roy. Soc. (A), 89, 158, 1913.
79. Behn. Ann. Phys. 4, 254, 1900.
80. Bersihall. Z. Elektrochem., 17, 257, 1910.
81. Richards, Jackson. Z. physik. Chem., 70, 414, 1910.
82. Dulong, Petit. Ann. chim. phys. (2), 7, 113, 1818.
83. Tomlinson. Proc. Roy. Soc., 37, 111, 1884.
84. P. Weiß, Piccard, Carrald. Arch. Sci. Phys. (4), 43, 113, 1917.
85. Eucken, Dunnöhl. Z. Elektrochem., 40, 789, 1934.
86. Э. В. Брицке, А. Ф. Капустинский и др. Термические константы неорганических веществ. Изд. АН СССР, 1949.
87. Jaeger, Rosenbohm, Battema. Kon. Akad. Wet. Amsterdam, 35, 763, 1932.
88. Bronson, Wilson. Canad. J. Res., 14A, 161, 1936.
89. Bronson, Hewson, Wilson. Canad. J. Res., 14A, 194, 1936.
90. Jaeger, Rosenbohm, Battema. Res. Trav. Chim. Pays-Bas., 52, 61, 1933.
91. Stull, Sinke. Thermodynamic Properties of Elements, USA, 1956.
92. Le Verrier. Compt. rend., 114, 907, 1892.
93. Palacios, Salvia. Anales Fis. y Guim. (Madrid) 29, 269, 1931.
94. Emmons, Stockwell, Jones. Am. Mineralogist 11, 326, 1936.
95. Rahls. Z. physik. Chem., 31, 157, 1936.
96. Ramsdell. Am. Mineralogist, 28, 401, 1943.
97. Wilman, Sinha. Acta Cryst., 7, 682, 1954.
98. Boetcher, Haase, Trenpel. Z. angew. Phys., 7, 478, 1955.
99. Ramsdell. Am. Mineralogist 10, 281, 1925; 12, 25, 1927.
100. Schröder, Wenck. N. Jahrb. Min., 1875.
101. Clarke. Constants of Nature 1, 1888.
102. Hönigschmid, Sachtleben. Z. anorg. Chem., 195, 214, 1931.
103. Handbook of Chemistry and Physics, 33 ed., USA, 1952.
104. Bellati, Lussana. Atti inst. Veneto (6), 7, 1051—1059, 1889.
105. Bellati, Lussana. Z. physik. Chem., 5, 282, 1890.
106. Friedrich, Leroux. Met. 3, 361, 1906.
107. Sandonnini. Rend. Linee (5) 21, 480, 1912.
108. Jaeger, Klooster. Z. anorg. Chem., 78, 248, 1912.

109. Truthi. Z. anorg. Chem., 76, 168, 1912.
110. Уразов. Записки Политехнического института, Петроград, 23, 593, 1915.
111. Watanabe. Sci. Rep. Tōhoku Univ. 22, 902—1229, 1933.
112. Kelley. Bur. of Min. Bull., 406, 1937.
113. А. Ф. Капустинский, Б. К. Веселовский. ЖФХ, 11, 68, 1938.
114. Kracek. Trans. Am. Geophys. Union, 27, 364, 1946.
115. Richardson, Jeffes. J. Iron a. Steel Inst. 171, 165, 1952.
116. Lensen. Skrifter Norske Videnskaps-Acad. Oslo. I. Mat. Naturv. kl № 2, 1947.
117. Pelabon. Compt. rend., 137, 920, 1903.
118. Cambi. Tab. Ann. 78, 1912.
119. Bisset. J. Chem. Soc., 105, 1212, 1914.
120. Pellini. Gazz. chim. ital., 45, 11, 533, 1915.
121. Pelabon. Ann. chim. et phys., 17, 526, 1909.
122. Kelley. Bur. of Min. Bull., 393, 1936.
123. Wagner. J. Chem. Phys., 21, 1819, 1953.
124. Rosengqvist. J. Metals, 1, 451, 1949.
125. Rolla. Nuovo Cimento, 6, 197, 1905.
126. Sella. Götting. Nachrich., 331, 1891.
127. Tilden. Phil. Trans. (A), 201, 37, 1903.
128. Streintz. Boltzmann. Festschrift, 196, 1910.
129. Berthelot. Compt. rend., 78, 1175, 1874.
130. Thomsen. J. prakt. Chem., 19, 1, 1879.
131. Thomsen. Therm. Unter. 3, 312—382, 1905.
132. Watanabe. Bull. Phys. Chem. Res. 2, 85—86, 1929.
133. Felsing. Massachusetts Inst. of Technologie Thesis, 1914.
134. Капустинский. Z. Elektrochem., 38, 114, 1932.
135. Kimura. Sci. Rep. Tōhoku Univ. 24, 77, 1935; Bull. Inst. Phys. Chem. Res. (Tokyo), 13, 464, 1934.
136. Zeumer, Roth. Z. physik. Chem., 173, 365, 1935.
137. Sano. Sci. Rep. Tōhoku Univ., 25, 187, 1936.
138. А. Ф. Капустинский, И. А. Маколкин. Acta Phys. Chim. USSR 10, 245, 1939.
139. А. Ф. Капустинский, И. А. Коршунов. ЖФХ, 14, 131, 1940.
140. И. А. Маколкин. Acta Phys. Chim. USSR 13, 347, 1940, ЖФХ 16, 13, 1942.
141. Kordes, Rackow. Z. physik. Chem., 200, 129, 1952.
142. Goates, Cole, Grau, Faux. J. Am. Chem. Soc., 73, 707, 1953.
143. Kelley. Bur. of Min. Bull., 477, 1950.
144. Латимер. Окислительные состояния элементов и их потенциалы в водных растворах, Госхимиздат, 1954.
145. Kubaschewski, Cottrell. Thermochemical data of alloys, N-Y., 1956.
146. А. А. Воеводский, К. А. Гольберт. ЖФХ, 10, 831, 1937.
147. Kelley. Bur. of Min. Bull., 434, 1941.
148. Rossini, Wagman, Ewans, Lewine, Jaffe. U. S. Natl. Bur. Stand. Circ. 500. Washington, 1952.
149. Neyes, Fried. J. Am. Chem. Soc., 42, 476, 1920.
150. Jellinek, Czerwinski. Z. physik. Chem., 102, 438, 1922.
151. Niggli. Z. Krist., 57, 253—299, 1922.
152. Herapath. Phil. Mag. (2) 64, 321, 1824.
153. Böllay. Ann. chim. phys. (2) 43, 266, 1820.
154. Karsten. Schw. J., 65, 394, 1832.
155. Mem. Chem. Soc., 3, 84, 1848.
156. Schröder. Dichtigkeitsbestimmungen, 1879.
157. Berthelot. Thermochemie, 2, 367, 1897.

158. Lewis. Z. physik. Chem., 55, 449—463, 1906.
 159. Mixer. Sill. Journ. (4) 32, 202, 1911.
 160. Keyes, Hara. J. Am. Chem. Soc., 44, 479—484, 1922.
 161. Jirsa. Chem. Listy, 19, 191, 1925.
 162. Benton, Drake. J. Am. Chem. Soc., 54, 2189, 1932.
 163. Benton, Drake. J. Am. Chem. Soc., 56, 257, 1934.
 164. И. А. Маколкин. ЖФХ, 16, 13, 1942.
 165. Kobayashi. Sci. Rep. Tôhoku Univ. 35, 173—84, 1951.
 166. Pitzer, Smith. J. Am. Chem. Soc., 59, 2633, 1937.
 167. Coughlin. Bur. of Min. Bull., 542, 1954.
 168. W. Lange. Die thermodynamischen Eigenschaften der Metalloxyde, Berlin, 1949.
 169. Vacher. Metals Handbook 1948, 1151—52.
 170. Steacie, Johnsen. Proc. Roy. Soc. (London), 112, 542, 1926.
 171. Steacie, Johnsen. Z. Metallkunde, 21, 43, 1929.
 172. Allen. J. Inst. Metals, 49, 317, 1932.
 173. Lewis, Randall. Thermodynamics and Free Energy of Chemical Substances, N. Y., 1926.
 174. Le Chatelier. Z. physik. Chem., 1, 516, 1887.
 175. Luter, Pokorný. Z. anorg. Chem., 57, 290, 1908.
 176. Randall, Halford. J. Am. Chem. Soc., 52, 178, 1930.
 177. Graig, J. Electrochem. Soc., 104, 206, 1957.
 178. М. Х. Карапетьянц. Химическая термодинамика. Госхимиздат, 1953.
 179. Owen. J. Am. Chem. Soc., 60, 2229, 1938.
 180. Gledhill Mc Malan. Trans. Farad. Soc., 48, 258, 1951.
 181. Brewer. Chem. Rev., 59, 1, 1953.
 182. Kelley. Bur. of Min. Bull., 394, 1936.
 183. Б. Ф. Ормонт. Структуры неорганических веществ. Гостехтеоретиздат, 1950.
 184. Mayer. J. Chem. Phys., 1, 327, 1933.
 185. Willly. Phase Transformation in Solids. N. Y., 1951.
 186. В. Л. Шварц. ЖЭТФ, 27, 62, 1954.
 187. Schröder. Pogg. Ann., 107, 113, 1859.
 188. Richards, Stull. Цитируется по Landolt—Börnstein, 1307, 1923.
 189. Biltz. Z. anorg. Chem., 159, 96, 1926.
 190. Lorenz, Höchberg. Z. anorg. Chem., 94, 288, 1916.
 191. Rodwell. Phil. Trans., 173, 1125, 1882.
 192. Mönkemeyer. Z. Krist., 45, 609, 1908.
 193. Sandonnini. Rend. Linc (5), 20, 1, 475, 1912.
 194. Tubant, Lorenz. Z. physik. Chem., 87, 513, 1914.
 195. Tubant, Egger. Z. anorg. Chem., 110, 196, 1920.
 196. Wartenberg, Bosse. Z. Elektrochem., 28, 384, 1922.
 197. Kobayashi. Sci. Rep. Tôhoku Univ., 34, 112, 1950.
 198. Maier. U. S. Bur. Mines, Techn. pap. 360, 1929.
 199. Д. Н. Тарасенков, П. А. Кожмяков. ЖОХ, 5, 830, 1935.
 200. Bouton, Riddel, Duschak. U. S. Bur. Mines, Techn. pap. 317, 1929.
 201. Jellinek, Weberbauer. Z. anorg. Chem., 212, 337, 1933.
 202. Clusius, Hartek. Z. physik. Chem., 134, 243, 1928.
 203. Eastmann, Milner. J. Chem. Phys., 1, 444, 1933.
 204. Nernst, Schwers. Ber. Berl. Acad., 335, 1914.
 205. Eucken. Z. physik. Chem., 10, 586, 1892.
 206. Ewald. Ann. Phys., 44, 1213, 1914.
 207. Ehrhard. Wied. Ann., 24, 215, 1885.
 208. Goodwin, Kalmus. Phys. Rev., 28, 1, 1909.
 209. Magnus. Ann. chim. phys., 31, 59, 1910.

210. Regnault. Ann. Chim. phys., 46, 278, 1858.
 211. Weber. Z. anorg. Chem., 21, 305, 1899.
 212. Robertson. Proc. Chem. Soc., 18, 131, 1903.
 213. Fischer. Z. anorg. Chem., 211, 321, 1933.
 214. Rubens, Berlin. Sitzb. 513, 1913.
 215. Shibata, Taketa. J. Sci. Hiroshima Univ., 2, 243, 1932.
 216. Stevenson. J. Chem. Phys., 8, 898, 1940.
 217. Czepinsky. Z. anorg. Chem., 19, 258, 1899.
 218. Brönsted. Z. physik. Chem., 56, 645, 1906.
 219. Halla. Z. Elektrochem., 14, 411, 1908.
 220. Fischer. Z. Elektrochem., 18, 287, 1912.
 221. Wolf. Z. Elektrochem., 20, 19, 1914.
 222. Braune, Koref. Z. anorg. Chem., 87, 186, 1914.
 223. Ischikawa, Watanabe. Bull. Inst. Phys. Chem. Res. (Tokyo) 9, 87, 1930.
 224. Ischikawa, Watanabe. Sci. Rep. Tôhoku Univ., 22, 4011, 1933.
 225. Roth, Richter. Цитируется по Landolt—Börnstein «Phys.—Chem. Tabellen», II, 1931.
 226. Rossini. Bur. Stand. J. Res., 9, 679, 1932.
 227. Roth, Bertram. Цитируется по Landolt—Börnstein «Phys.—Chem. Tabellen», III, 1936.
 228. Roth, Bertram. Z. physik. Chem., 178, 227, 1937.
 229. Roth. Z. Elektrochem., 45, 335, 1939.
 230. Salstrom. J. Am. Chem. Soc., 56, 1272, 1934.
 231. Salstrom, Kew, Powell. J. Am. Chem. Soc., 58, 1948, 1936.
 232. Grube, Rau. Z. Elektrochem., 40, 352, 1934.
 233. Grube, Rau. Z. Elektrochem., 40, 352, 1934.
 234. Fichte. Die thermodynamischen Eigenschaften der Metallchloride, Berlin, 1953.
 235. Jellinek, Ulot. Z. physik. Chem., 119, 161, 1926.
 236. Harned, Ehler. J. Am. Chem. Soc., 55, 2179, 1933.
 237. Staude. Physikalisch-chemisches Taschenbuch, Bd II, Leipzig, 1949.
 238. Gerke. J. Am. Chem. Soc., 44, 1684, 1922.
 239. Richards, Jones. Z. anorg. Chem., 55, 86, 1907.
 240. Hülsmann, Biltz. Z. anorg. Chem., 219, 357, 1934.
 241. Hülsmann, Biltz. Z. anorg. Chem., 219, 359, 1934.
 242. Cornelly. J. Am. Chem. Soc., 33, 273, 1878.
 243. А. Потылицын. ЖРФХ, 24, 1, 1892.
 244. Ramsay, Eumertopoulos. Phil. Mag. (5), 41, 360, 1896.
 245. Nacken. N. Jahrb. Min., 24, 1, 1907.
 246. Friedrich. Zbl. Min. Geol., 207, 1912.
 247. Hofmann, Wanjuikow. Trans. Am. Inst. Min. Eng., 43, 523, 1912.
 248. Johansson. Arkiv Kemi, 8, 33, 1955.
 249. Latimer, Hicks, Schutz. J. Chem. Phys., 1, 424, 1933.
 250. Ishikawa. Sci. Rep. Tôhoku Univ., 22, 131, 1933.
 251. Ishikawa, Hagisawa. Bull. Inst. Phys. Chem. Res. (Tokyo), 14, 1205, 1935.
 252. Н. П. Жук. ЖФХ, 28, 1690, 1954.
 253. Bradford. Trans. Am. Inst. Min. Eng., 33, 50, 1903.
 254. Friedrich, Bickle. Met., 7, 323, 1910.
 255. Marchal. J. Chem. Phys., 22, 559, 1925.
 256. Druker. Z. anorg. Chem., 28, 361, 1901.
 257. Harkins. J. Am. Chem. Soc., 33, 1807, 1911.
 258. Kremers. Pogg. Ann., 85, 314, 1852.
 259. Справочник химика. Госхимиздат, 1952.
 260. Anderson. J. Am. Chem. Soc., 55, 3621, 1933.

261. Kobayashi. Sci. Rep. Tôhoku Univ., 35, 283, 1952.
 262. Centnerschwer, Krustinson. Z. physik. Chem., 12, 234, 1926.
 263. Watanabe. Bull. Inst. Phys. Chem. Res. (Tokyo), 10, 29, 1931.
 264. Drake, Benton. J. Am. Chem. Soc., 56, 509, 1934.
 265. Colson. Compt. rend., 132, 467, 1901.
 266. Kobayashi. Sci. Rep. Tôhoku Univ., 35, 173, 1951.
 267. Wabker, Bray, Jonston. J. Am. Chem. Soc., 49, 1235, 1927.
 268. Centnerschwer, Brus. Z. physik. Chem., 123, 111, 1926.
 269. Centnerschwer, Brus. Acta Univ. Latviensis 14, 485, 1926.
 270. Van Tiggelen, Vanreusel, Neven. Bull. Soc. Chim. Belgique 61, 561, 1952.
 271. Glaser. Z. anorg. Chem., 36, 1, 1903.
 272. Dejust. Compt. rend., 140, 1250, 1904.
 273. Pelabon. Ann. chem. phys. 25, 365, 1902.
 274. Keyes, Felsing. J. Am. Chem. Soc., 42, 246, 1920.
 275. Jellinek, Zakowsky. Z. anorg. Chem., 142, 1, 1925.
 276. Britzke, Karustinskiy. Z. anorg. Chem., 205, 95, 1932.
 277. А. Ф. Капустинский, И. А. Маколкин. ЖФХ, 12, 361, 371, 1938.
 278. Lilienfeld, White. J. Am. Chem., Soc., 52, 885, 1930.
 279. Cabell. Chem. News 50, 208, 1884.
 280. Hahn. Z. anorg. Chem., 99, 118, 1917.
 281. Jouniaux. Compt. rend., 129, 883, 1897.
 282. Jellinek, Podjaski. Z. anorg. Chem., 171, 261, 1928.
 283. Belladen, Noli, Sommariva. Gazz. Chim. Ital., 58, 443, 1928.
 284. Béger. Int. Crit. Tab. VIII, 272, 1928.

ОСНОВНАЯ ЛИТЕРАТУРА

по пирометаллургии меди, свинца, олова и серебра

- Справочник металлурга по цветным металлам, под ред. Н. Н. Мурача, т. I (изд. 2-е), Металлургиздат, 1956.
 Справочник металлурга по цветным металлам, под ред. Н. Н. Мурача, т. II, Металлургиздат, 1947.
 Х. К. Аветисяна. Основы металлургии, Металлургиздат, 1947.
 Ф. М. Лоскутов. Снижение потерь цветных металлов с отвальным шлаками, Металлургиздат, 1943.
 Н. Н. Севрюков, Б. А. Кузьмин, Е. В. Челищев. Общая металлургия, Металлургиздат, 1954.
 Д. М. Чижиков. Хлорный метод переработки полиметаллических руд и концентратов, Цветметиздат, 1936.
 Д. М. Чижиков. Металлургия тяжелых цветных металлов, АН СССР, 1948.
 Г. А. Шахов. Металлургия тяжелых цветных металлов, Металлургиздат, 1943.
 Г. А. Шахов. Металлургия, Общий курс, Металлургиздат, 1948.
 Г. Г. Уразов, Л. Р. Эдельсон. Материалы по металлургии цветных металлов, КУБУЧ, 1932.
 Х. К. Аветисяна. Металлургия черновой меди, Металлургиздат, 1954.
 Х. К. Аветисяна. Исследование штейнов медной плавки; о форме соединения меди в шлаках, Цветметиздат, 1932.
 Х. К. Аветисяна. Металлургия меди, Металлургиздат, 1943.
 С. И. Барабошкин. Бессемерование медных штейнов, Металлургиздат, 1936.
 Гофман. Металлургия меди. Перевод под ред. Ф. М. Лоскутова, ОНТИ, 1934.
 Н. П. Диев, Д. А. Кронберг. Огневое рафинирование меди. Металлургиздат, 1941.
 Ф. М. Лоскутов. Пути снижения содержания меди в отвальных шлаках, Металлургиздат, 1935.
 В. Я. Мостович. Металлургия меди. Изд. Комвузов. Томск, 1931.
 В. Я. Мостович, Д. Г. Новиков. Пирометаллургия меди, Металлургиздат, 1941.
 Раддл. Физическая химия пирометаллургии меди, Металлургиздат, 1953.
 В. И. Смирнов. Пирометаллургия меди. Изд. Уральского Политехнического института, 1933.
 В. И. Смирнов. Шахтная плавка медных и никелевых руд, Металлургиздат, 1938.
 В. И. Смирнов. Окислительный обжиг медных руд и концентратов, ОНТИ, 1938.
 В. И. Смирнов. Отражательная плавка, Металлургиздат, 1941.
 В. И. Смирнов. Металлургия меди и никеля, Металлургиздат, 1950.
 В. И. Смирнов, А. И. Тихонов. Обжиг медных руд и концентратов, Металлургиздат, 1958.

- А. А. Цейлер. Металлургия тяжелых цветных металлов, ч. I, Медь, никель, Металлургиздат, 1951.
 А. А. Цейлер. Металлургия меди и никеля, Металлургиздат, 1958.
 Гофман. Металлургия свинца, Перевод под ред. Г. Г. Уразова, Цветметиздат, 1932.
 М. М. Лакерник. Металлургия свинца, Металлургиздат, 1953.
 Ф. М. Лоскутов. Металлургия свинца, Металлургиздат, 1937.
 Ф. М. Лоскутов. Металлургия свинца, Металлургиздат, 1941.
 Ф. М. Лоскутов. Металлургия тяжелых цветных металлов, ч. II, Свинец и цинк, Металлургиздат, 1951.
 Ф. М. Лоскутов. Металлургия свинца и цинка, Металлургиздат, 1956.
 В. Я. Мостович, С. М. Анисимов. Металлургия свинца, Металлургиздат, 1940.
 Д. М. Чижиков. Рафинирование свинца, ГОНТИ, 1938.
 Д. М. Чижиков. Металлургия свинца, Металлургиздат, 1944.
 Н. Н. Мурач. Металлургия олова, Металлургиздат, 1947.
 И. Н. Плаксин. Металлургия золота, серебра и платины, ОНТИ, 1935.
 И. Н. Плаксин. Металлургия благородных металлов, Металлургиздат, 1943.

ОГЛАВЛЕНИЕ

Глава I

Термодинамические свойства меди и ее важнейших соединений

§ 1. Медь металлическая	5
§ 2. Закись меди Cu_2O	21
§ 3. Оксись меди CuO	30
§ 4. Полусернистая медь Cu_2S	37
§ 5. Сернистая медь CuS	43
§ 6. Сернокислая медь $CuSO_4$	46
§ 7. Хлористая медь $CuCl$	49
§ 8. Хлорная медь $CuCl_2$	54

Глава II

Термодинамика меди. Реакции прямого восстановления, окисления и хлорирования

§ 9. Реакции с окислами меди	59
§ 10. Реакции с сульфидами меди	64
§ 11. Реакции с хлоридами меди	68

Глава III.

Термодинамические свойства свинца и его важнейших соединений

§ 12. Свинец металлический	71
§ 13. Сернистый свинец PbS	80
§ 14. Оксись свинца PbO	86
§ 15. Двуокись свинца PbO_2	93
§ 16. Закись-окись свинца Pb_3O_4	96
§ 17. Хлористый свинец $PbCl_2$	97
§ 18. Сернокислый свинец $PbSO_4$	103
§ 19. Углекислый свинец $PbCO_3$	107

Глава IV.

Термодинамика свинца.

Реакции прямого восстановления, окисления и хлорирования

§ 20. Реакции с окислами свинца	110
§ 21. Реакции с сульфидом и сульфатами свинца	114
§ 22. Реакции с хлоридами свинца	121

Стр.

Глава V.

Термодинамические свойства олова и его важнейших соединений

§ 23. Олово металлическое	123
§ 24. Сернистое олово SnS	137
§ 25. Двусернистое олово SnS ₂	143
§ 26. Оксись олова SnO	145
§ 27. Двуокись олова SnO ₂	148
§ 28. Двуххлористое олово SnCl ₂	154
§ 29. Четыреххлористое олово SnCl ₄	159

Глава VI.

Термодинамика олова.

Реакции прямого восстановления, окисления и хлорирования

§ 30. Реакции с окислами олова	165
§ 31. Реакции с хлоридами олова	172
§ 32. Реакции с сульфидом олова	172

Глава VII.

Термодинамические свойства серебра и его важнейших соединений

§ 33. Серебро металлическое	175
§ 34. Сернистое серебро Ag ₂ S	186
§ 35. Оксись серебра Ag ₂ O	195
§ 36. Хлористое серебро AgCl	201
§ 37. Сернокислое серебро Ag ₂ SO ₄	213
§ 38. Углекислое серебро Ag ₂ CO ₃	218

Глава VIII.

Термодинамика серебра.

Реакции прямого восстановления, окисления и хлорирования

§ 39. Реакции с окислом серебра	224
§ 40. Реакции с сульфидом серебра	227
§ 41. Реакции с хлористым серебром	233
Литература	237

ЗАМЕЧЕННЫЕ ОПЕЧАТКИ

Стр.	Строка	Напечатано	Должно быть	По чьей вине
35	Табл. 41, гр. 1	оль	кал/моль	Тип.
54	Табл. 66, гр. 1	278000	27800	Авт.
59	14 сн.	$= \lg \frac{p_{CO_2}}{p_{CO_2}}$	$= \lg \frac{p_{CO}}{p_{CO_2}}$	Корр.
67	Табл. 79, гр. 1, 7 сн.	$+ 3,28 \cdot 10^6 +$	$+ 3,28 \cdot 10^5 T^{-1} +$	Считч.
89	Табл. 109, гр. 6, 1 сн.	19954	14995	Авт.
89	Табл. 109 гр. 7, 1 сн.	17960	13001	»
130	Табл. 164, гр. 1, 8 сн.	$c_p = 0,061293 -$ $- 0,02409482t +$	$c_p = 0,061293 -$ $- 0,04209482t +$	Тип.
164	14 сн.	SnCl ₂	SnCl ₄	Считч.
167	Табл. 214, гр. 4	-800 -900 -1000	800 900 1000	Ред.
168	8 сн.	$K = \sqrt{K_1 \cdot K_2} \frac{p_{H_2O}}{p_{H_2}}$	$K = \sqrt{K_1 \cdot K_2} \frac{p_{H_2O}}{p_{H_2}}$	Считч.
168	16 сн.	$SnO_2 + 2CO =$ $\Rightarrow Sn(\text{ж}) + 2CO_2$	$SnO_2 + 2CO =$ $\Rightarrow Sn(\text{ж}) + 2CO_2$	Считч.
210	4 сн.	$\Delta H^\circ_f = 22960 -$	$\Delta H = - 22960 -$	Авт.
220	4 сн.	$\Phi'' = \frac{H_T^\circ - H_{298}^\circ}{T} + S_T$	$\Phi'' = - \frac{H_T^\circ - H_{298}^\circ}{T} + S_T$	»
229	7 сн.	$+ 6,71T +$	$- 6,71T +$	»

А В Т О Р Ы:

ГЕРАСИМОВ Яков Иванович
КРЕСТОВНИКОВ Александр Николаевич
ШАХОВ Алексей Сергеевич

Редактор А. Н. ЧЕРНОВ

Редактор издательства О. М. КАМАЕВА

Технический редактор В. В. Михайлова

Сдано в производство 10/I 1961 г.

Подписано в печать 27/VII 1961 г.

Бумага 60 × 92 $\frac{1}{16}$ — 8,25 бум. л. = 16,5 печ. л.

Уч.-изд. л. 16,34

Т-09308

Заказ 889

Изд. № 2049

Тираж 6300 экз.

Цена 97 коп.

Металлургиздат
Москва, 2-й Обыденский пер. 14

Типография Металлургиздата,
Москва, Цветной б., 30